

I.G.  
23167  
B  
INSTITUTUL DE GEOLOGIE ȘI GEOFIZICĂ  
STUDII TEHNICE ȘI ECONOMICE

SERIA A

*Prospecții și explorări geologice*

Nr. 12

STUDII DE GEOLOGIE ECONOMICĂ



BUCUREȘTI  
1977



Institutul Geologic al României

**Responsabilitatea asupra conținuturilor articolelor  
revine în exclusivitate autorilor.**



**Institutul Geologic al României**

INSTITUTUL DE GEOLOGIE ȘI GEOFIZICĂ  
STUDII TEHNICE ȘI ECONOMICE

SERIA A

*Prospecțiuni și explorări geologice*

Nr. 12

STUDII DE GEOLOGIE ECONOMICĂ



BUCUREŞTI  
1977



Institutul Geologic al României

## CONTENU

(Résumés)

C. M. Brătianu. Les Calcaires de Sitorman . . . . .	10
F. Codarcea. Etude géologique des tourbières oligotrophes entre la rivière Dorna et le ruisseau Teșna . . . . .	54
A. Dimitriu. Evaluation économique des gisements de minéraux en vue de leur exploitation en carrière . . . . .	60
I. Huică, Aurora Cehlarov. On the Celestine Presence in the Valea Sării Badenian Deposits . . . . .	73
M. Mureșan, Georgea Mureșan. Minéralisations de sulfures volcanogènes-sédimentaires métamorphisées de la zone de Hărăgăia dans le contexte lithostratigraphique, magmatogène et tectonique de la série épimétamorphique de Tulgheș - Cambrien inférieur . . . . .	115
M. Mureșan, Georgea Mureșan. Concentrations hydrothermales plumbozincifères métamorphiques de la zone de Paltin-Singeroasa, un nouveau type génétique de minéralisation associée aux formations épimétamorphiques cambriennes de la série de Tulgheș . . . . .	146
A. Stillă. Considerations géologiques concernant les critères à partir desquels on peut prévoir la présence de gisements de charbons supérieurs cockifiables dans le Banat . . . . .	162



## CUPRINS

C. M. Brătuiu, Calcarele de la Sitorman . . . . .	5.
F. Codarcea. Studiul geologic al turbărilor oligotrofe dintré riu Dorna și pîriul Teșna . . . . .	13.
A. Dimitriu. Evaluarea economică a zăcămintelor de minereu în ipoteza explora-tării lor în carieră . . . . .	57
I. Huică, Aurora Cehlarov. Asupra prezenței celestinei în depozitele badeniene de la Valea Sării . . . . .	63.
M. Mureșan, Gerogeta Mureșan. Mineralizațiile de sulfuri vulcanogen-sedi-mentare metamorfozate din zona Hârlăgia în contextul lithostratigrafic, magma-togen și tectonic seriei epimetamorfice de Tulgheș – Cambrian inferior .	77
M. Mureșan, Gerogeta Mureșan. Concentrațiile hidrotermale plumbo-zin-cifere metamorfozate din zona Paltin-Singerioasa, un nou tip genetic de minerali-zație asociată formațiunilor epimetamorfice cambrian-inferioare ale serici de Tulgheș . . . . .	125.
A. Stîlă. Considerații geologice asupra criteriilor de prognoză pentru conturarea de zăcăminte de cărbuni superioiri coeificabili în Banat . . . . .	157





Institutul Geologic al României

# CALCARELE DE LA SITORMAN JUDEȚUL CONSTANȚA<sup>1</sup>

DE

CONSTANTIN MIRCEA BRĂTUIANU<sup>2</sup>

## Abstract

The Limestone from Sitorman - Constantza District. The above-mentioned deposit supplies with the raw material the port and hydronavigation constructions in Dobrudja. Based on some complex researches, the qualitative and quantitative characteristics of the Sitorman limestones have been established and the domains of utilization have been indicated.

Metodologia de cercetare a rocilor utile de construcții se adaptează tipului de zăcămînt și diferă în raport cu importanța acestuia, scopul urmărit și utilizarea preconizată. Cercetarea zăcămîntului de calcar de la Sitorman, județul Constanța realizată printr-un ansamblu de metode judicios combinate, constituie un exemplu pe care ne propunem să-l evidențiem în cele ce urmează.

Astfel, în anul 1973, pentru executarea lucrărilor de construcții portuare și de navigație de mare ampoloare, prevăzute în Dobrogea, în conformitate cu planurile de perspectivă, s-a impus precizarea unui zăcămînt care să furnizeze materia primă necesară în locul aceleia obținută de la cariera Ovidiu. Condițiile de exploatare de la această carieră, precum și faptul că zăcămîntul respectiv intră în vederile industriei chimice pentru o valorificare superioară, au făcut ca dolomitele de la Ovidiu să nu mai poată fi luate în considerare la proiectarea în continuare a unei exploatari masive.

Față de această situație, s-a căutat un perimetru în apropiere de Constanța, alegerea oprindu-se asupra zonei Sitorman, unde se cunoșteau condițiile generale de zăcămînt, din lucrările efectuate anterior. Într-adevăr în anul 1972, ca urmare a cerințelor industriei locale, au fost executate

<sup>1</sup> Predată la 21 noiembrie 1974, acceptată pentru publicare la 14 decembrie 1974, comunicată în ședința din 9 mai 1975.

<sup>2</sup> Întreprinderea geologică de prospecționi pentru substanțe minerale solide, str. Caransebeș nr. 1, București 32.



lucrări geologice, care au permis conturarea unor rezerve exploataabile. Paralel cu aceste lucrări, s-a efectuat și un studiu privind perspectivele întregii zone Sitorman, pentru eventualitatea folosirii zăcământului de calcar în locul aceluia de la Ovidiu (B rătuia n u, 1972 <sup>3,4</sup>).

O dată alegerea făcută, s-au executat lucrări geologice necesare conturării zăcământului și stabilirii parametrilor calitativi, într-un perimetru pe care îl localizăm astfel : la N, pîriul Sitorman, limita sudică a perimetrului cu rezerve al industriei locale și pîriul Casimcea ; la V, șoseaua Constanța-Tulcea (distanța pînă la Constanța este de 30 km) ; la S și E, linii convenționale care urmăresc limita terenurilor agricole și a pădurilor. Din punct de vedere administrativ, perimetru se înscrie în teritoriul comunei Mihail Kogălniceanu, județul Constanța.

Perimetru cercetat e străbătut de rîul Casimcea și affluentul său drept — pîriul Sitorman (fără debit permanent). Notăm forma domoală a reliefului, care constituie începînd de aici și în continuare spre S, podișul Tortomanului. Diferența dintre cota talvegului pîriului Sitorman și cota cea mai înaltă, vîrful Dolufac — Piatra Sitorman (104,70 m), este de aproximativ 80 m, energia de relief fiind favorabilă lucrărilor de exploatare a rocii în deschideri de carieră cu fronturi largi, etajate.

Baza geologică a lucrărilor noastre a fost oferită de cercetările de mare detaliu efectuate de M. Chiriac et al. (1959)<sup>5</sup> și M. Chiriac, A. Lacătușu (1963) potrivit cărora în nordul perimetrului se dezvoltă formațiunea șisturilor verzi algonkiene, alcătuite din șisturi cloritoase cu aspect filitos, gresii cloritoase, arcoze, microconglomerate arcoziene etc. În limitele perimetrului investigat se dezvoltă depozitele jurasice, bathonian-caloviene și oxfordiene, reprezentate prin calcare recifale și recifogene, precum și calcare silicioase. Aceste calcare, după Lazar<sup>7</sup>, au o structură cristalină, granulară, în care unele zone pot fi deosebite structuri secundare de îngrămadire, pseudoolitice și organogene.

Calcarele citate mai sus se caracterizează prin următoarele : culoare alb-gălbui, tentele mai roșietice fiind probabil datorate creșterii procen-tajului în oxizi de fier ; stratificate în bancuri, obișnuit avînd grosimea de 1—1,5 m ; prezența argilelor reziduale care colmatează fisurile și golurile carstice din masa calcarelor ; prezența accidentelor silicioase disperse sau constituind aglomerări locale.

Depozitele jurasice descrise acoperă relieful vechi al șisturilor verzi, aria de răspindire a depozitelor jurasice fiind legată de o zonă mai mare cu caracter de-sinclinoriu (Chiriac, 1959 ; 1963)<sup>8</sup>. Astfel, depozitele jurasice de la Sitorman aparțin de flancul nord-estic și de zona axială a sinclinalului Casimcea-Capu Midia, prezintînd următoarele caracteristici : sinclinalul are orientarea generală NW-SE ; flancul sinclinalului are înclinări mici (între 5 — 20°), accidental mai ridicate ; stratele prezintă cute secun-

<sup>3,4</sup> Arh. I.G.P.S.M.S., București.

<sup>5</sup> Arh. I.G.P.S.M.S. București.

<sup>7</sup> Aurelia Lazar, Op. cit. pct. 4.

<sup>8</sup> Op. cit. pct. 5, 6.



dare de origine tectonică sau de tasare diferențială evidențiate prin direcția de înclinare diferită a stratelor.

Menționăm faptul că în nordul perimetrlui se remarcă o apariție redusă de șisturi verzi de sub cuvertura de sedimentar jurasic, determinată de o ridicare a fundamentului și nu din cauze tectonice.

Conform utilizărilor deja menționate problemele care au fost rezolvate prin cercetări efectuate, trebuiau să răspundă dacă cantitativ și calitativ, calcarele de la Sitorman pot fi sau nu întrebuintate în condițiile mediului marin, cu următoarele precizări : — rezervele de rocă utilă să asigure o exploatare de mare anvergură ; datele de proiectare prevăzind în această direcție o dinamică de producție, astfel ca după 3—4 ani aceasta să atingă un volum care să situeze Sitorman printre cele mai mari cariere de roci utile din țară. Rezervele confirmate între cerințele referitoare la volumul total cu o cantitate însemnată ;

- roca utilă să aibă parametri fizico-mecanici corespunzători utilizării sale la anrocamente și la betoane (pentru fabricarea stabilopozilor), îmbrăcăminți pentru cheiuri, blocuri pentru suplimentarea anrocamentelor naturale etc ;

- să se poată obține blocuri de 2—12 tone într-o proporție anumită în raport cu volumul total al rezervelor ;

- materialul supus influenței mediului marin să nu fie afectat de acesta ;

- să se indice posibilitatea de utilizare a rocii utile în industria chimică.

Pentru rezolvarea acestor probleme, au fost efectuate o serie de lucrări, care vor fi analizate mai jos.

Astfel, conturarea și calcularea rezervelor de rocă utilă a fost posibilă datorită executării unor foraje repartizate după o rețea răspândită pe toată suprafața perimetrlui. De asemenea, au fost săpate 2 puțuri și mai multe derocări.

La executarea forajelor s-a ținut seama ca adincimile lor să atingă și chiar să depășească nivelul de bază stabilit pentru viitoarea exploatare.

Forajele execute mecanic, au ridicat de la bun inceput o serie de puncte de întrebare, dintre care amintim ; imbu�ătăierea recuperajului, rezolvată prin schimbarea diametrelor tuburilor carotiere de la 112 mm (care permitea confectionarea epruvetelor cubice pentru încercările fizico-mecanice) la 76 mm și introducerea carotierelor duble (s-au obținut astfel epruvete cilindrice pentru aceeași încercări) ; de asemenea existența în masa calcarelor a unui material de umplutură (argilă reziduală și calcar sfărîmat) care a colmatat sistemul fisural și goulurile carstice din masa calcarelor. Corelat cu observațiile din deschiderile naturale și artificiale, respectiv cele 12 mici deschideri de carieră abandonate, existența acestui material de umplutură nu a fost socotită ca îngrijorătoare în ceea ce privește contribuția sa procentuală față de volumul total de rocă utilă (fapt deosebit de important pentru viitoarea exploatare), pe următoarele considerente : garnitura de foraj are tendința de a înainta pe linia de cea mai slabă rezistență, în cazul nostru pe fisurile și goulurile carstice ; în deschi-

derile naturale și artificiale fisurile și golurile carstice nu depășesc procentul de 5% față de roca utilă.

Reiese deci că procentajul de material de umplutură (24%) nu este cel pe care îl evidențiază fișele de foraj, fapt demonstrat de deschiderile existente.

Pentru caracterizarea fizico-mecanică a calcarelor de la Sitorman, s-a făcut o probare din toate deschiderile de carieră abandonate și din forajele și puțurile executate. Menționăm că din cariere și puțuri au fost extrase blocuri monolit, încercările fiind efectuate pe epruvete cubice iar din foraje, pe tronsoane de cîte 10 m, au fost confectionate epruvete cilindrice, obținute din carote.

Paralel cu acestea a fost colectat material din puțuri și din derocări, grupate în 4 probe de piatră spartă.

#### TABEL

*Valorile medii obținute pe încercările fizico-mecanice din zona Sitorman*

Caracteristici fizico-mecanice	Unitatea de măsură	Valori medii
Determinări pe epruvete :		
Densitate	g/cm <sup>3</sup>	2,750
Densitate aparentă	g/cm <sup>3</sup>	2,456
Compactitate	%	88,6
Porozitate totală	%	11,34
Porozitate aparentă	%	5,85
Absorția de apă la presiuni și temperaturi normale	%	2,46
Absorția de apă la fierbere	%	3,90
Coeficientul de saturatie	—	0,69
Rezistența la compresiune în stare uscată	daN/cm <sup>2</sup>	863
Rezistența la compresiune în stare saturată	daN/cm <sup>2</sup>	717
Rezistența la compresiune după 25 cicluri îngheț-dezgeț	daN/cm <sup>2</sup>	652
Coeficient de înmuiere după saturatie normală	%	16,46
Coeficient de înmuiere după 25 cicluri îngheț-dezgeț	%	25,22
Rezistența la uzură	g/cm <sup>2</sup>	0,395
Rezistența la soc	daN cm/cm <sup>3</sup>	14
Determinări pe piatră spartă :		
Rezistența la uzură prin rostogolire (mașina Deval)	%	7,18
Coeficient de calitate	%	6,4
Rezistența la sfârșimare prin soc	%	82,85

Analiza datelor menționate arată că, zăcămîntul de calcar de la Sitorman este caracterizat prin rezistență la compresiune normale pentru acest tip de roci, nu sunt gelive, nu sunt absorbante, dar nu sunt nici rezistente la uzură și soc. Reiese că acestea pot fi întrebuită în condițiile STAS 677—69, ca piatră spartă și piatră brută la lucrări de drumuri acolo unde materialul respectiv este protejat și nu este supus acțiunii directe



de uzură și soc. Se mai poate afirma că roca nu îndeplinește condițiile STAS 2246—71, pentru folosirea acesteia la balastarea căilor ferate.

Problema obținerii procentajului minim de 10% blocuri având greutatea de 2—12 tone a fost rezolvată experimental, prin pușcările masive executate sub îndrumarea Întreprinderii de construcții hidrocentrale din Constanța. Pușcările respective au fost organizate în două deschideri de carieră și au fost efectuate la o carieră prin camere de minare, iar la o a doua carieră, cu ajutorul găurilor de sonde efectuate de I.F.L.G.S.

Ca urmare a pușcărilor efectuate au fost obținute blocuri de dimensiuni și greutăți mari, astfel încât s-a estimat că procentajul de 10% cerut de beneficiar poate fi satisfăcut.

Amintim faptul că bazat pe gradul de fisurare avansat (așa cum reiese din lungimile carotelor ce nu depășesc 80 cm, precum și din observațiile efectuate în deschiderile artificiale și naturale) în documentația prezentată la Comisia Republicană de Rezerve Geologice înainte de efectuarea pușcărilor, ne-am exprimat rezerva față de posibilitatea obținerii procentajului de blocuri indicat, fapt infirmat însă de datele experimentale. Reiese din cele expuse că multe din fisurile din masa calcarelor sunt fisuri închise și că fără executarea unei cariere și pușcare experimentală, nu se pot trage concluzii definitive asupra posibilităților de extragere de blocuri.

Studiul influenței mediului marin a fost efectuat de către Institutul de studii și cercetări pentru transporturi (Pantea, 1974)<sup>9</sup> în colaborare cu Institutul român de cercetări marine — Constanța (Vizit u fide Pantea)<sup>10</sup>.

În elaborarea acestui studiu, au fost luate în considerare date de ordin teoretic și de experiment dintre care notăm unele în cele ce urmează.

a) Apele Mării Negre nu sunt în general nocive pentru roci calcaroase utilizate, fie ca atare, fie ca betoane hidrotehnice. Acest fapt este ilustrat de salinitatea medie a apei care în jurul coastelor este de cca 10%, conținutul scăzut de  $\text{CO}_2$  pe primii metri de la suprafață,  $pH = 8,35$  la suprafața apei (deci mediu alcalin), variația maximă de temperatură nu depășește  $20^\circ\text{C}$ .

b) Porturile franceze și olandeze cît și unele dintre porturile engleze de pe coasta Oceanului Atlantic sunt construite din calcare.

c) Aderența calcarelor față de cimenturile Portland (ex. Portland 210/325) este mai bună decât a oricărei roci, în special acele calcare care au densitățile de  $2,75 \text{ g/cm}^3$  și o rezistență de rupere la compresiune de  $275 - 1100 \text{ daN/cm}^2$ .

d) Activitatea vitală (acțiunea distructivă a algelor, moluștelor, viermilor etc.), este restrinsă pe o adâncime de cîțiva mm de la suprafața rocii, ceea ce nu va conduce la distrugerea materialului imersat. Dimpotrivă, după producerea acțiunii distructive, materializată prin crearea unor mici excavății în rocă, organismele acoperă roca cu un strat protector, prin fixare sau prin secreții.

<sup>9</sup> Arh. I.S.C.T. București.

<sup>10</sup> Op. cit. pct. 9.

e) Probe de roci preluate de la Sitorman (calcare) și de la Ovidiu (dolomite), păstrate în condiții de laborator (apă de mare barbotată continuu cu aer) sau scufundate în mare (punctul Agigea și punctul port Tomis, distanță cca 50 m de țărm), timp de 120 zile, nu au prezentat practic modificări după încercări efectuate după o metodologie complexă (gravimetrie, spectrofotometrie de absorbție atomică etc.).

f) Analiza secțiunilor subțiri executate pe probele de mai sus, nu indică schimbări de natură mineralogică, structurală sau texturală.

Calcarele de la Sitorman, conform datelor de mai sus, sunt socotite apte pentru a fi folosite ca anrocamente în condițiile mediului marin. În același timp, ele pot fi întrebuită și la fabricarea betoanelor pentru stabilopozii, îmbrăcăminte la cheiuri, blocuri pentru suplimentarea antrocamerelor naturale etc.

Analizele chimice efectuate pe tronsoane de cîte 10 m din fiecare foraj executat, au rezolvat și problema dacă calcarele de la Sitorman sunt sau nu indicate să fie folosite ca materie primă în industria chimică.

De la bun început arătăm că acest lucru nu este posibil deoarece caracteristicile chimice (prezența  $\text{SiO}_2$  în procentaj mare), ale calcarelor de la Sitorman, nu îndeplinesc condițiile prevăzute de standardele cu utilizări în acest domeniu.

Pentru informare, indicăm cîteva caracteristici chimice : conținutul de  $\text{CaCO}_3$  variază între 83,12 – 94,44 % ; conținutul redus de  $\text{MgCO}_3$  (0,35 – 0,90 %) reflectă caracterul nedolomitic al rocii ; se constată o creștere a conținutului de  $\text{SiO}_2$  de la nord la sud și mai ales, la vest (de la 2,57 % la 13,97 %) ; procentajul mic al mediilor obținute  $\text{Al}_2\text{O}_3 + \text{Fe}_2\text{O}_3$ , pentru întreg zăcămîntul ; prezența redusă sau lipsa totală a  $\text{TiO}_2$ ,  $\text{Cr}_2\text{O}_3$ ,  $\text{Mn}$ ,  $\text{P}$ ,  $\text{K}$ ,  $\text{As}$ ,  $\text{S}$ .

Corelarea datelor obținute din analize cu datele de observație privind litologia zăcămîntului, explică unele situații. Astfel prezența constantă în procentaj ridicat de  $\text{SiO}_2$ , este materializată prin existența concrețiunilor și diseminărilor silicioase din masa rocii.

Ca o concluzie la cele expuse, rezultă că zăcămîntul de calcar de la Sitorman își anunță intrarea în circuitul economic al țării, ponderea sa cantitativă și calitativă situîndu-l la nivelul zăcămîntelor de importanță republicană.

## LES CALCAIRES DE SITORMAN DISTRICIT DE CONSTANTZA

(Résumé)

Le gisement de calcaires de Sitorman, district de Constantza est situé à environ 30 km nord de la ville de Constantza ; il peut fournir la matière première pour les travaux de constructions portuaires et de hydronavigation prévus à être exécutés en Dobrogea.

L'investigation du gisement a eu un caractère complexe, à cause de la nécessité d'établir les caractéristiques qualitatives et quantitatives du gisement et en même temps, de faciliter la possibilité d'indiquer les domaines d'utilisation.

Du point de vue géologique, les recherches effectuées antérieurement par Chiriac dans la région de Sitorman (1959—1963) ont mises en évidence la présence de schistes verts algonkiens (phyllites, grès chloriteux, arkoses, microconglomérats etc.) et des formations jurassiques bathoniennes-calloviennes et oxfordiennes (calcaires récifaux et récifogènes, calcaires siliceux). Les formations jurassiques constituent le synclinorium de Casimcea-Capul Midia (orienté vers NW-SE). Les roches utiles qui ont constitué l'objet des recherches ont été les calcaires d'âge oxfordien.

Pour délimiter le gisement et effectuer le calcul des réserves on a exécuté 33 forages, puits et dérochers.

Dans le but d'établir les caractéristiques qualitatives des travaux effectués aussi bien que des petites fentes de carrière à présent abandonnées, on a recueilli des échantillons systématiques, en indiquant, à partir de leur investigation, des paramètres physico-mécaniques et chimiques. Les valeurs ainsi obtenues ont démontré que les paramètres physico-mécaniques du gisement de Sitorman sont communs pour ce type de rochers, mais du point de vue chimique on remarque la présence de  $\text{SiO}_2$  ayant une grande teneur.

Le volume des blocs (d'environ 10% par gisement) a été déterminé sur la base de l'étude de la fissuration et par des explosions expérimentales.

Son comportement à l'action de l'eau de mer a été étudié — Pantea et al. (1974) — par des méthodes de laboratoire et par l'immersion de certains échantillons durant 120 jour dans les zones du port de Tomis et d'Adgidjea. Après ces épreuves, on a constaté qu'il n'y a pas de différences entre la roche telle quelle et la roche soumise à l'influence du milieu marin.

Sur la base des données ainsi obtenues, on a précisé que le gisement de calcaires de Sitorman peut être utilisé dans les constructions portuaires et de hydronavigation dans les conditions du milieu marin. Egalement, il peut être utilisé dans les travaux de construction des routes carrossables, son emploi étant limité par la nonrésistance au choc et à l'usure. La teneur élevée en  $\text{SiO}_2$  exclue la possibilité d'utiliser des calcaires de Sitorman dans l'industrie chimique.





Institutul Geologic al României

STUDIUL GEOLOGIC AL TURBĂRIILOR  
OLIGOTROFE DINTRÉ RÎUL DORNA ȘI PÎRÎUL TEȘNA  
(CARPAȚII ORIENTALI)<sup>1</sup>

DE  
FLORIN CODARCEA<sup>2</sup>

### Abstract

The Geological Study of the Oligotroph Peat-bog between the Dorna River and Teșna Brook, the East Carpathians. The present paper deals with the oligotroph peat-bog between the Dorna River and Teșna Brook, north of the East Carpathians. There were researched 12 peat-bogs and for each peat-bog a lithological column was drown up. Chemical analyses carried out, regarding the content in humic, huminic and fulvic, acids, pH-value, the content in metals from the peat ash and muds, sporopolinic and petrographic analyses.

### I. INTRODUCERE

Studiul turbei și turbăriilor a făcut în ultimii ani progrese considerabile pe plan mondial. De la descrierile botanice și observațiile geologice de ordin general, s-a trecut la cercetări detaliate având ca obiective: determinarea conținutului chimic, a conținutului sporopolinic, a diferențelor stadii de transformare a materiei vegetale, datele de vîrstă și geneză.

A apărut astfel o nouă ramură a științelor geologicobotanice, „Lithobiontika” (Lüttig, 1971).

Pentru țara noastră, studiile asupra turbăriilor au fost făcute fie în cadrul unor probleme geologice mai generale (Semak, 1954, 1957), fie în cadrul unor studii botanice sau agrochimice (Eneulescu, 1916; Nyaryady, 1926; Pop, 1928; Obrejanu et al., 1956).

Cercetările întreprinse de autor pe teren au constat din examinarea a 12 turbării situate între rîul Dorna și pîrîul Teșna (fig. 1), cu delimitarea cadrului geologic al turbăriilor, determinarea estimativă a suprafeței

<sup>1</sup> Formă prescurtată a tezei de doctorat susținută la 3 noiembrie 1973 la Facultatea de geologie-geografie, București; lucrare primită la redacție la 19 martie 1974 și acceptată pentru publicat la 13 martie 1976.

<sup>2</sup> Comisia republicană de rezerve geologice, str. Mendelev nr. 36, București.



și grosimii turbăriilor, cu indicarea posibilităților de valorificare superioară a turbei.

Studiile de laborator s-au axat în principal pe determinarea conținutului în acizi humici, huminici și fulvici, a *pH*-ului turbei, a conținutului chimic al cenușii turbelor, a spectrelor sporopolinice capabile să desciereze oscilațiile paleoclimatice. La acestea se adaugă analizele spectrale și studiile microscopice.

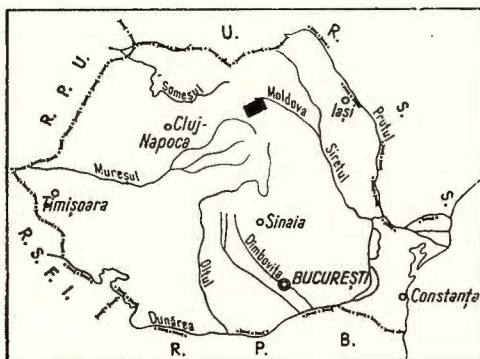


Fig. 1. — Localizarea geografică a zonei cercetate.

Localisation géographique de la zone recherchée.

Cele 12 turbării au fost cercetate prin 169 foraje de unde s-a recoltat un număr de 282 probe iar datele obținute au fost folosite la întocmirea unor coloane litologice tip, pentru fiecare turbărie în parte.

## II. ISTORIC

Primele însemnări referitoare la turbăriile din bazinul Dornei aparțin naturalistului polonez Hacquet (1788).

Studii botanice în regiune au mai întreprins: Dörfler (1890) care, pe lîngă varietatea speciilor vegetale determinate în bazinul Dornei și Dornișoarei, menționează și prezența speciei *Sphagnum wulfianum* și Müldorf (1925) care confirmă existența acestei specii, arătând că aria geografică de extindere este una din cele mai sudice din lume.

László (1915) informează despre prezența turbelor din bazinul Dornei, iar Enculeșcu (1916), studiind turbăriile din această regiune, le împarte în 2 categorii: turbării joase și turbării de înălțime.

Nyárady (1926) îmbogățește inventarul floristic al țării prin descrierea și determinarea de noi specii vegetale din bazinul Dornei.

Pop (1928) studiază pentru prima dată turbăriile din bazinul Dornei, pe baza spectrelor sporopolenice și elaborează ulterior (1960) un amplu studiu botanic asupra mlaștinilor de turbă din România. Pop (1960) a determinat asociațiile floristice fundamentale, specifice fiecărei turbării și a menționat prezența unor plante necunoscute pînă atunci, ca *Betula nana* și *Betula humilis*.

Munteanu (1935) a identificat în nămolurile de turbă de la Colăcelu prezența unor substanțe oesterogene, cu acțiune identică cu a foliculinei.

Cercetările botanice ale lui Stefureac, începute în anul 1948 și continuante pînă în prezent, au avut ca rezultat determinarea unor noi genuri și specii vegetale, prezente în regiunea bazinului Dornei.

Semaka (1954, 1957) cercetează cîteva turbării în regiunea Vatra Dornei și îndeosebi turbăria de la Grădinița.

Obreja et al. (1956) întreprind studii agrochimice asupra tinoavelor din nordul Carpaților Orientali.

Bulum (1956) s-a ocupat îndeaproape de chimismul și tehnologia turbelor eutrofe și oligotrofe din țara noastră.

Codarcă (1967 a) a descris zăcămîntul de turbă de la Pilugani — Poiana Stampei, considerind că cenușa turbelor, prin elementele pe care le conține, poate fi un indicator geochemical.

Datele economice privind situația rezervelor de turbă din bazinul Dornei, obținute prin lucrările de foraj și lucrările miniere, au fost prezentate de S. Ionescu et. al.<sup>3</sup>.

### III. GENERALITĂȚI PRIVIND TURBA ȘI TURBĂRIILE

Turba este inițial un sediment biogen, generat de o anumită formațiune vegetală din care, în urma activității unui șir de procese biochimice chimice și fizice, rezultă o rocă cu un conținut de carbon mai mare decît cel din vegetația pe seama căreia s-a format turba.

În general, botaniștii consideră turba ca un sediment biogen, în timp ce geologii se referă la roca ce rezultă ca produs final al ansamblului de procese de transformare cunoscute sub denumirea de turbificare.

Este cunoscută de altfel tendința unor specialiști (Schwartz, 1971; Lüttig, 1971) de a considera studiul turbei la granița dintre științele geologice și botanice, prin noua ramură denumită „Lithobiontika”.

Materia vegetală suferă în natură o serie de modificări care conduc la transformarea ei, cum ar fi : putrezirea, putrezirea incompletă, turbificarea și sapropelitizarea.

Turbificarea este reprezentată de ansamblul de procese de transformare a materiei vegetale, care se desfășoară într-un stadiu intermedian între putreziea incompletă și sapropelitizare. Inițial, procesul de turbificare începe în prezența oxigenului, pentru ca apoi să se continue cu mai puțin oxigen, pînă la absența totală a acestuia. Acestui proces î se supun în special plantelor de uscat și mai puțin cele de apă statătoare, produsul final fiind turba.

Apariția diferitelor varietăți de turbă se explică prin vegetația diversă care a contribuit la formarea ei, condiționată la rîndu-i de factorii climatici.

<sup>3</sup> Arh. M.M.P.G., București.

După caracterele floristice, turbăriile se împart în 2 categorii principale : eutrofe și oligotrofe.

*Turbăriile eutrofe* (sau turbării joase sau plane) se alimentează din apele de infiltrație cu un conținut ridicat în substanțe minerale nutritive, necesare plantelor. Ele au o reacție ușor acidă, neutră și foarte rar alcalină. Asociațiile de plante specifice acestor turbării sunt reprezentate prin speciile : *Phragmites communis*, *Typha latifolia* și *Scirpus lacustris*. Turba care se formează sub apă are o culoare închisă, părțile vegetale care au contribuit la formarea ei recunoscindu-se foarte greu. Turbăriile de acest fel se întâlnesc în Cîmpia Transilvaniiei sau în șesurile aluvionare ale Oltului și Mureșului.

*Turbăriile oligotrofe* (sau turbării înalte, bombate, tinoave<sup>4</sup>) se alimentează cu apele provenite din precipitațiile atmosferice și într-o mai mică măsură din apele de infiltrație. Datorită cantității reduse de substanțe nutritive dizolvate în aceste ape, plantele din aceste turbări (*Sphagnum*) își pot reduce la maximum nevoie de hrănă, dezvoltându-se bine numai în regiunile cu precipitații abundente. Turbăriile de acest gen sunt localizate în special în Carpații Orientali. Aceste turbări furnizează date prețioase pentru reconstituiriile de areale floristice și faunistice, conducind la tragerea unor concluzii de ordin biogeografic și fitogeografic, oferindu-ne date pentru stabilirea relicvelor floristice boreale sau putindu-se stabili procesele de migrație și adaptare în condiții ecologice și cenotice schimbante.

Problema nutriției plantelor din aceste turbări a fost amplu dezvoltată prin cercetările moderne (Pop, 1960). Astfel, se știe că plantele din turbării au putere de absorbtie numai pînă la adîncimea de 50–60 cm, de la această adîncime în jos plantele turbicole încetează de a se mai hrăni din substrat. *Sphagnum*-ul, neavînd rădăcini, își ia substanțele nutritive de la suprafața mlaștinilor sau dintr-un strat superficial; substanțele minerale aduse prin precipitații sau eolian sunt în mare parte spălate. Analizele chimice au evidențiat prezența unor elemente principale care constituie hrana lor, cum ar fi azotul, cu medii anuale de 4,5–7,5 kg/hectar. Cantitatea cea mai mare de azot (prezent sub formă de amoniac) provine din precipitații, deoarece azotul minetal (sub formă de nitrăți) adus de vînt nu poate fi luat în considerare.

Experiențele de laborator au arătat că plantele utilizează numai azotul amoniacal, lipsa acestuia, accentuîndu-le caracterele xeromorfice, prin inhibarea creșterii.

Clorul este mai abundant în precipitațiile din zonele litorale (cu conținuturi de 34 kg clor la hektar, la o depărtare de 100–150 km de litoral), în schimb sulful atinge cantitatea de 14 kg la hektar într-un an, indiferent de poziția geografică a turbăriilor. Fosforul din turbăriile oligotrofe își are originea în polenul adus de vînturi. Celelalte elemente ca aluminiu, calciu, magneziu, staniu, plumb, zinc, nichel, crom, molibden, vanadiu, germaniu și cupru provin din particulele minerale transportate de apele de infiltrație.

<sup>4</sup> Tinov -- termen popular sub care este cunoscută turbăria oligotrofă.

Turbăriile oligotrofe de la noi din țară s-au format prin acumularea turbei de la an la an, rezultând în general două orizonturi de turbă : unul la suprafață, format din *Sphagnum* și alte varietăți de mușchi de culoare gălbuiie, cu materia vegetală puțin descompusă și altul de culoare mai neagră, mai intens descompus la partea inferioară a turbărilor, format din *Hipnaceae* și *Cyperaceae*. Aceste tinoave s-au format în postglacial și formarea lor continuă și în prezent datorită îndeosebi existenței unei excesive umidități, cum este cazul bazinului Dornelor. Cele 2 orizonturi semnalate în turbăriile oligotrofe s-au format în perioada subboreală și boreală (orizontul inferior) și în Subatlantic (orizontul superior).

După P ot o n i é (1908—1915), turbăriile oligotrofe (tinoavele) se împart în două : *tinovul oceanic*, frecvent întâlnit în regiunile litorale, format dintr-o masivă acumulare de sphagnet, cu umiditate mare, cu rare specii ierboase și *tinovul continental*, format în interiorul continentului, dintr-un sphagnet bombat, cu mai puțină apă, creștere mai lentă cu o floră mai variată. La acestea, P ot o n i é (1908—1915) a adăugat și *tinovul înalt*, asemănător celor din regiunile montane din țara noastră.

De asemenea P o s t, G r a n l u n g (1925) distinge două categorii de tinoave : *tinoave ombrogene* (tipice), care se alimentează exclusiv din apă atmosferică, situate în zone bogate în precipitații (localizate în Europa centrală și nordică) și *tinoave topogene* (netipice) care se dezvoltă exclusiv în zonele bogate în apele de infiltratie.

Conform acestei ultime clasificări, cea mai mare parte a tinoavelor (turbărilor oligotrofe) din România se încadrează în grupa tinoavelor ombrogene, inclusiv cele situate în bazinul Dornelor. Caracterul ombrogen al acestor tinoave este dat de existența în regiune a unui regim bogat de precipitații, altitudinea mare, vegetația caracteristică, aspectul bombat al turbărilor și stratul destul de gros de turbă care separă vegetația actuală de cea veche.

#### IV. FORMAREA TURBĂRIILOR OLIGOTROFE DINTRE DORNA ȘI TEȘNA

Dintre multitudinea de factori care au contribuit la formarea turbărilor dintre rîul Dorna și pîrîul Teșna, îi menționăm pe cei mai importanți :

- existența unui climat propice, cu multă umiditate necesară creșterii vegetației turbicole ;
- prezența unor zone morfologice cborîte, avînd aspectul unor zone scufundate sau adîncituri, în care a fost posibilă acumularea apei și dezvoltarea lentă a unei vegetații specifice turbărilor ;
- existența unui strat bazal impermeabil argilos și a unui substrat cu caracter acid.

Toate aceste condiții au apărut în urma glaciațiunii, în Holocen, iar terasele Dornei și Teșnei, pe care s-a dezvoltat o serie de turbării, s-au format în Tardeglacial (faza Postarctică).

Existența unui climat favorabil în Boreal, Subboreal și Subatlantic, ca și existența unui fundament silicios, au fost elementele hotărîtoare formării turbărilor oligotrofe din bazinul Dornei.

Se presupune că spre sfîrșitul perioadei glaciare, ghețarii din Rodna și Călimani au început să se topească iar apa rezultată, împreună cu milurile argiloase, au umplut adinciturile în terasele Dornei și Teșnei, în care fuseseră depuse pietrișuri și nisipuri (pl. VI, faza I și II).

În faza următoare (pl. VI, faza III) s-a format milul organic din resturile viețuitoarelor care au populat lacul; aceste resturi s-au depus peste stratul de argilă, rezultat din diagenizarea milului argilos din fundul lacului, generind nămolul de turbă sau gyttja. În unele foraje executate în regiune, acest nămol are grosimi cuprinse între 20—65 cm.

Într-o altă fază (pl. VI, faza IV), vegetația alcătuită de *Typha*, *Carex*, și *Phragmites communis* a început să se dezvolte, invadând lacul pînă la umplerea lui.

Din plantele care au murit și au căzut pe fundul lacului începe să se formeze orizontul de turbă eutrofă (pl. VI, faza IV și V). Concomitent încep și procesele de descompunere a materiei vegetale (celuloza și lignina), formîndu-se acizi humici (huminici și fulvici).

Treptat, turbăria începe să se bombeze și se formează o vegetație oligotrofă, în special de sphagnet, care se hrănește cu substanțe aduse de apa ploilor și de vînt (pl. VI, faza VI, VII și VIII).

În ultima fază (pl. VI, faza IX), prin procese fizico-chimice complexe, turba se maturizează, se îmbogățește în carbon și capătă o culoare neagră, trecînd spre lignit. Această ultimă fază nu a fost identificată în regiunea cercetată de noi, dar presupunem că va avea loc.

#### A) Considerații asupra vegetației tinoavelor din bazinul Dornelor

Vegetația caracteristică tinoavelor din această regiune este reprezentată prin pinet, din care abundă specia *Pinus silvestris*, cu varietatea *turfosa*. De asemenea se semnalează prezența relictă a speciilor arctice ca *Sphagnum wulfianum*, *Meesea triquetra*, *Helodium lantanum*, *Dryopteris cristata*, *Calla pallustris*, *Betula humilis*, *Viola epispsila*, *Ligularis sibirica*.

Cea mai reprezentativă vegetație a fost întîlnită în turbăria de la Pilugani — Poiana Stampei, unde au fost identificate numeroase specii vegetale ca : *Sphagnum magellanicum*, *Polytrichum*, *Eriophorum vaginatum*, *Andromeda polifolia*, *Oxycoccos microcarpa*, *Vaccinium vitis idaea*, *Drosera rotundifolia*, *Vaccinium myrtillus*.

Vegetația lemnoasă ce crește pe tinoavele dintre Dorna și Teșn este reprezentată prin *Pinus silvestris*, *Betula alba*, *Betula versucosa* și *Picea excelsa*.

Molizii și pinii din turbăriile oligotrofe se deosebesc în general de cei care formează pădurile din jur ; de regulă sunt mai mici și cu inelele anuale foarte înguste. În mod curent, copacii din turbării sunt invadați de licheni, molizii au frunzele mai înguste, mai scurte și mai decolorate, iar pinii au frunze scurte și țepoase, conurile lor fiind mai stufoase numai în părțile însorite. Pe tulpinile copacilor din tinoavele Coșna și Grădinița se remarcă enorme perne de *Sphagnum*, uneori mai înalte de 1 m. În părțile mar-

ginale, unde apa de infiltrație înconjoară tinovul, *Sphagnum*-ul este mai puțin răspândit, iar speciile arborescente sunt reprezentate prin *Salix*. La periferia tinovului pătura de *Sphagnum* se subțiază și formează o bandă circulară de înmlăștinire mezotrofă, sau chiar eutrofă, deoarece o mare contribuție la nutriția vegetației în această porțiune o are și solul mineral sau roca-mamă. Acest inel mlăștinos este cunoscut în literatură sub denumirea de lagg (termen scandinav).

Flora laggului diferă în mare măsură de cea a tinoavelor propriu-zise iar plantele tipice ale tinovului oligotrof au în cazul laggului un rol subordonat. Astfel sphagnetul nu mai crește sub formă de perne ci sub formă de pături laxe și plane, asociindu-se cu diferite specii de mușchi cum este *Aula comunitum palustre*, iar dintre plantele comune tinovului, în lagguri apare foarte rar *Eriophorum vaginatum*, *Andromeda* și *Vaccinium oxyccocos*. Atunci cînd zona sphagnetului ajunge la un teren ceva mai ridicat, spre pădure, laggul tipic nu se mai formează iar flora tinovului se amestecă cu speciile învecinate dînd naștere unei asociații de vegetație de tinov și pădure (turbaria Căsoi).

### B) Descrierea turbăriilor oligotrofe dintre rîul Dorna și pîrîul Teșna

Apariția turbăriilor în zona bazinului Dornei își are explicația în condițiile geologice, morfologice și climatice ale acestei regiuni, considerată pe drept cuvînt cea mai tipică regiune de tinoave din România.

Turbăriile se dezvoltă pe terasele rîurilor, într-o regiune cu altitudinea medie de 900 m, unde predomină molidul. Vegetația turbăriilor este însă formată dintr-un pinet pipernic și *Sphagnum* care apar sub formă de mici insule în imensul ocean al molidului. Clima regiunii este rece, cu puține zile însorite și un regim bogat de precipitații; media temperaturii anuale este de +4,2°C, media celei mai calde luni este de +13,8°C, iar media celei mai reci luni este de -7,1°C; media precipitațiilor lunare este de 56 l/m<sup>2</sup>.

Principala caracteristică geobotanică a tinoavelor dintre Dorna și Teșna este redată de prezența *Sphagnumului* (pl. III, fig. 1) și apariția sporadică a pinetului în mijlocul turbăriilor, ca urmare a puternicei regenerări a sphagnetului care sufocă în unele porțiuni pinetul.

Turba din zăcăminte acestei regiuni prezintă 2 nivele distincte;

- la suprafață se dezvoltă o turbă de *Sphagnum*, cu un grad mic de descompunere și *pH* acid (turba oligotrofă);

- iar în adîncime se dezvoltă o turbă de culoare închisă, cu un grad mai avansat de descompunere, cu *pH*-ul mai puțin acid, chiar neutru, formată din papură, rogoz și trestie (turba eutrofă, evidențiată cu ajutorul forajelor).

În cele ce urmează redăm descrierea litologică a celor 12 turbării oligotrofe din bazinul Dornelor, cercetate de autor, precum și principalele caracteristici chimice ale turbelor (fig. 2).

**1. Turbăria Pîrîul Coșnei (Podul Coșnei)** este situată pe terasa stîngă a pîrîului Coșnei, la cca 1,4 km N de confluența cu pîrîul Teșna și a fost



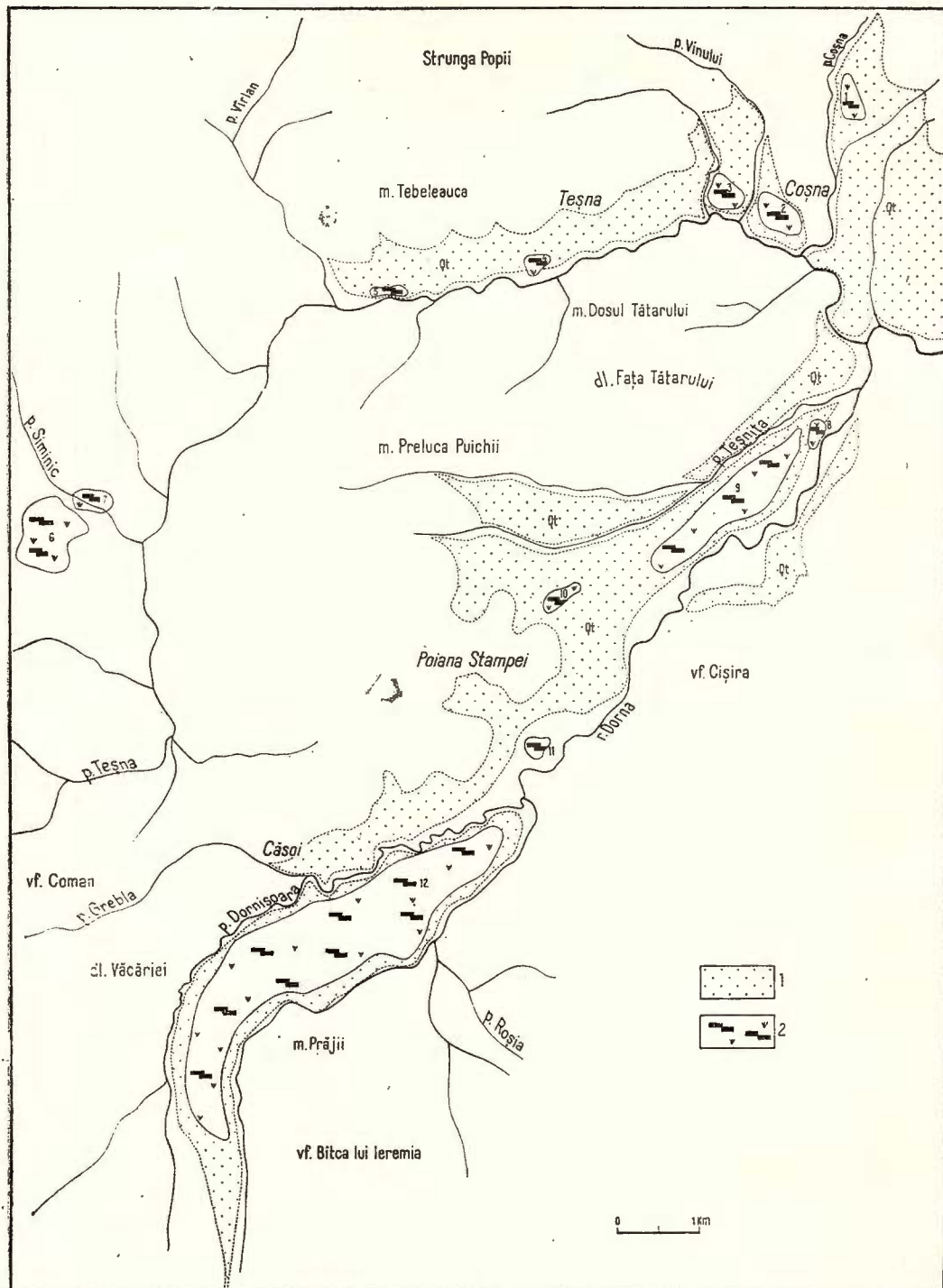


Fig. 2. — Harta cu amplasamentul turbăriilor dintre rîul Dorna și pîrul Teșna.  
1, depozite de terasă ; 2, turbării.

Carte à emplacement des tourbières entre le ruisseau de Dorna et le ruisseau de Teșna.  
1, dépôts de terrasse ; 2, tourbières.



cercetată prin 21 foraje executate de o echipă a I.G.P. condusă de Ionescu<sup>5</sup>.

O coloană litologică tip prin acest tinov evidențiază (fig. 3) :

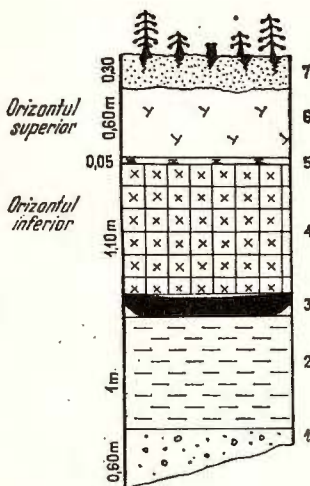
— în bază, pietrișuri de terasă peste care se găsește o argilă cu grosimea de 1 m, peste care repauzează orizontul inferior de turbă (cca 1,10 m),

Fig. 3. — Turbăria pîrul Coșna.

1, pietriș de terasă ; 2, argilă ; 3, nămol ; 4, turbă puternic descompusă de culoare brun inchisă cu fragmenți lemoașe (de pin, vîrstă boreală) ; 5, orizont-limită de culoare deschisă format din material ierbos ; 6, turbă slab descompusă formată din *Sphagnum* curat (vîrstă subatlantică) ; 7, zona vegetației actuale.

Turbrière ruisseau de Coșna.

1, gravier de terrasse ; 2, argile ; 3, limon ; 4, tourbe fortement décomposée de couleur brun foncé à fragments ligneux (de pin, âge boréale) ; 5, horizon limite de couleur claire formé du matériel herbeux ; 6, tourbe faiblement décomposée forme de *Sphagnum* (âge subatlantique) ; 7, zone de la végétation actuelle.



format dintr-o turbă închisă la culoare, cu un grad mare de descompunere ; partea bazală a orizontului turbos este reprezentată prin nămol (cca 0,20 m) ;

— un orizont intermediar de turbă, de culoare deschisă și grosime mică (cca 0,05 m) cunoscut în literatură ca „orizontul limită” corespunde unei perioade de intensă uscăciune, ce a limitat dezvoltarea turbei. Se maka (1957) îl consideră un „orizont reper” deoarece apare și în alte turbării (Pilugani, Colăcelu) ;

— un orizont superior format din turbă de culoare gălbui-cafenie, ușor descompusă (0,60 m) ; deasupra acestui orizont se întâlnește vegetația actuală formată din *Sphagnum* și alte briofite, specifice vegetației oligotrofe (0,30 m) ; turbăria este acoperită de o pădure de pini.

Valorile *pH*-ului și ale conținutului în acizi sunt redate în tabelul 1.

TABELUL 1

*Analizele chimice ale turbei din turbăria Pîrul Coșnei*

Orizont	<i>pH</i>	acizi humici %	acizi huminici %	acizi fulvici %
la suprafață orizontul superior (adîncimea 0,40 m)	4–4,5 6,14–6,55	10,20 7,44	7,44 3,48	2,76 2,96

<sup>5</sup> Op. cit. pct. 3.

Analizele polenice efectuate de Boscaiu (1970) au indicat pentru orizontul inferior de turbă vîrstă subboreală iar pentru cel superior vîrstă subatlantică.

**2. Turbăria Coșna Sat** Sat este situată la altitudinea de 850 m, pe terasa stîngă a Teșnei, în apropiere de confluența acesteia cu pîrîul Coșna. Seama (1954) o consideră că face parte din așa-zisele „Tinoave ale

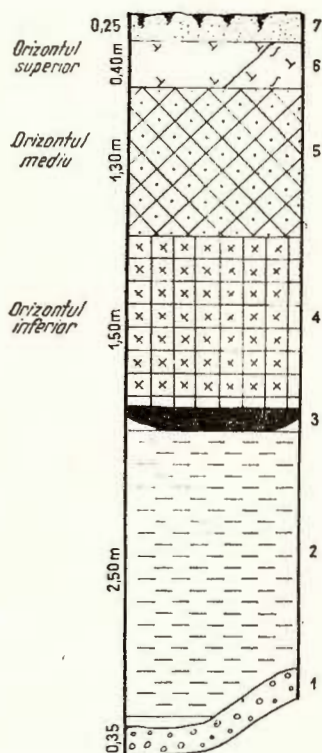


Fig. 4. — Turbăria Coșna Sat.

1, pietriș; 2, argilă; 3, nămol; 4, turbă puternic descompusă de culoare brun inchisă (vîrstă boreală); 5, turbă cu o descompunere medie cu resturi de *Sphagnum*; 6, orizontul superior de turbă: a, turbă slab descompusă cu *Sphagnum* și *Eriophorum*; b, variație laterală de turbă amestecată cu material argilos; 7, zona vegetației actuale.

Tourbière de Coșna Sat.

1, gravier; 2, argile; 3, limon; 4, tourbe fortement décomposée de couleur brun foncé (âge boréale); 5, tourbe avec une décomposition moyenne à restes de *Sphagnum*; 6, horizon, supérieur de tourbe: a tourbe faiblement décomposée à *Sphagnum* et *Eriophorum*; b, variation latérale de tourbe mêlée au matériel argileux; 7, zone de la végétation actuelle.

Borcutului". Suprafața turbăriei este de cca 22 hectare și este aproape în întregime defrișată; a fost cercetată printr-un număr de 40 foraje și 2 sănțuri, pe baza căror s-a realizat o coloană litologică (fig. 4) care arată astfel, începînd din bază:

— un nivel de pietrișuri de terasă, peste care urmează argile cenușii cu o grosime de cca 2,5 m.

— un orizont inferior de turbă (1,50 m) cu materia vegetală intens descompusă; în partea inferioară a acestui orizont turba are o culoare brun inchisă, sub care apare un strat de nămol, cu o grosime de 0,20 m;

— un orizont intermediar de turbă, de culoare cafeniu-neagră, cu o grosime medie de 1,30 m, în care resturile vegetale sunt formate din *Sphagnum*;

— un orizont superior constituit din turbă puțin descompusă, de culoare gălbui-deschisă, cu grosimea medie de 0,40 m.

Analizele chimice efectuate pe 23 de probe au evidențiat prezența acizilor humici la suprafață, în procente de 36,23 (din care 24,22% revine acizilor huminici și 12,01% revine acizilor fulvici).

Din analizele polinice efectuate de Pop (1928) reiese că orizonturile superioare și mediu au vîrstă subatlantică, iar cel inferior are vîrstă boreală.

TABELUL 2

*Caracteristicile agro-chimice ale turbei din turbăria Coșna Sat*

pH	Capacitate schimb cationic me/100 g	Aciditate hidrolitică me/100 g	Aluminiu schimbabil me/100 g	Fosfor total me/100 g	Azot total me/100 g	Azot hidrolizabil me/100 g	Humus %
4,68	70,05	38,56	0,96	2,735	60,249	10,415	41,23

TABELUL 3

*Compoziția elementară a turbei din turbăria Coșna Sat*

C %	H %	O %	N %
25,24	2,53	15,90	1,00

TABELUL 4

*Caracteristicile tehnice ale turbei din turbăria Coșna Sat*

Umiditate %	Cenușă %	Materii volatile %	Carbon fix %	Cocs %	Putere calorifică kcal/kg		Gr. vol. t/mc
					superior	inferior	
87,89	5,19	31,42	13,39	18,57	2383	1948	0,579

Turbăria nu se exploatează dar caracteristicile agrochimice recomandă posibilitatea utilizării turbei ca îngrășămînt în agricultură.

3. Turbăria Poiana Vinului se găsește la cca 200 m vest de turbăria Coșna Sat, în terasa stîngă a Teșnei. Forajele, amplasate în zonele defrișate ale tinovului, au acoperit o suprafață de 8 hectare. O coloană litologică prin acest zăcămînt (fig. 5) a evidențiat următoarele :

- o zonă de culcuș formată din argile cenușiu-negricioase, cu grosimea de 1,50 m, care repauzează peste pietrișul de terasă ;
- un orizont de nămol (0,20 m) ;



- un orizont inferior de turbă, de culoare brun-închisă, puternic descompusă, cu grosimea de 0,90 m; vîrsta acestui orizont este boreală;
- un orizont mediu cu grosimea de 0,60 m, format dintr-o turbă cu un grad de descompunere mediu, de culoare cafenie, de vîrstă subatlantică;

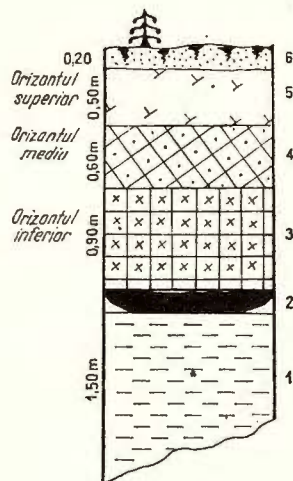


Fig. 5. — Turbăria Poiana Vinului.

1, argilă; 2, nămol; 3, turbă puternic descompusă, de culoare brun închisă (vîrstă boreală); 4, turbă cu o descompunere medie, cu resturi de *Sphagnum*; 5, turbă slab descompusă, formată din *Sphagnum* curat (vîrstă subatlantică, 4, 5); 6, zona vegetației actuale.

Tourbière de Poiana Vinului.

1, argile; 2, limon; 3, tourbe fortement décomposée, de couleur brun foncé (âge boréal); 4, tourbe avec une décomposition moyenne, à restes de *Sphagnum*; 5, tourbe faiblement décomposée, formée de *Sphagnum* (âge subatlantique 4, 5); 6, zone de la végétation<sup>9</sup>

- un orizont superior format dintr-o turbă slab descompusă, cu grosimea de 0,50 m de vîrstă subatlantică; o examinare macroscopică atentă, evidențiază prezență a numeroase resturi vegetale care păstrează structura inițială aproape intactă. Vegetația de la suprafață este formată din *Sphagnum* și *Pinus silvestris*.

Rezultatele analizelor chimice executate de I. Iancu de la I.G.P. pe probele colectate de noi sunt cuprinse în tabelul 5.

TABELUL 5

*Analize chimice ale turbei din turbăria Poiana Vinului*

Orizont	Acizi humici %	Acizi humini-nici %	Acizi fulvici %
la suprafață orizontul superior (adincimea 0,40 m)	40,08	33,60	6,48
	32,40	22,80	9,60

Analizele chimice efectuate pe probe recoltate din zona orizontului inferior de turbă au arătat prezența acizilor humici și în apa turbei.

TABELUL 6

*Caracteristici agro-chimice ale turbei din turbăria Poiana Vinului*

pH	Capacitatea de schimb cationic me/100 g	Aciditate hidrolitică me/100 g	Aluminiu schimbabil me/100 g	Fosfor total me/100 g	Azot total me/100 g	Azot hidrolizabil me/100 g	Huminus %
4,01	66,29	60,73	3,15	1,373	55,14	7,614	45,56

TABELUL 7

*Compoziția elementară a turbei din turbăria Poiana Vinului*

C %	H %	O %	N %
25,56	2,76	17,86	0,61

TABELUL 8

*Caracteristicile tehnice ale turbei din turbăria Poiana Vinului*

Umiditate %	Cenușă %	Materii volatile %	Carbon fix %	Cocș %	Putere calorifică kcal/kg		Greutatea volum t/mc
					superior	inferior	
90,28	2,15	34,75	13,09	15,24	2597	1510	0,555

4. **Turbăria Coșna Gară** se află la cca 1,3 km vest de gara Coșna, pe malul stâng al pârâului Teșna, în apropiere de confluența acestuia cu Pârâul Popii. Cele 25 foraje executate de I.G.P. au conturat o suprafață de 6 hectare.

Un profil prin acest zăcămînt (fig. 6) se prezintă astfel :

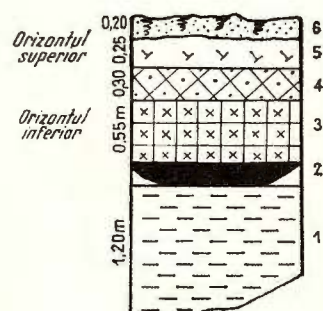
— în partea bazală a turbăriei se întîlnesc argile cu o grosime medie de 1,20 m;

Fig. 6. — Turbăria Coșna Gară.

1, argilă; 2, nămol; 3, turbă puternic descompusă de culoare brun închisă (vîrstă boreală); 4, turbă cu descompunere medie cu resturi de *Sphagnum*; 5, turbă slab descompusă din *Sphagnum* curat (vîrstă subatlantică); 6, zona vegetației actuale.

Tourbière de Coșna Gară.

1, argile; 2, limon; 3, tourbe fortement décomposée de couleur brun foncé (âge boréale); 4, tourbe avec une décomposition moyenne à restes de *Sphagnum*; 5, tourbe faiblement décomposée de *Sphagnum* (âge sub-atlantique); 6, zone de végétation actuelle.



— orizontul inferior de turbă, care are în partea sa inferioară un mic strat de nămol, are o grosime de 0,55 m, o culoare neagră, cu un grad avansat de descompunere; vîrsta acestui orizont este boreală;

— orizontul mijlociu este constituit dintr-o turbă mai puțin descompusă, de culoare cafenie, cu o grosime de 0,30 m, în care se mai văd resturi vegetale; vîrsta acestui orizont este subatlantică;

— orizontul superior, alcătuit din turbă de *Sphagnum*, are o culoare galben-deschisă și un grad de descompunere foarte puțin avansat; grosimea medie este de 0,25 m și vîrsta subatlantică; covorul vegetal este format din mari perne de *Sphagnum* cu grosimi de 0,20 m și pinet, care luate în ansamblu conferă turbăriei un colorit pitoresc.

TABELUL 9

*Analize chimice efectuate pe turba din turbăria Coșna Gară*

Orizont	Acizi humici %	Acizi huminici %	Acizi fulvici %
la suprafață orizontul inferior (adâncimea 0,40 m)	33,60 31,20	26,40 22,80	7,20 8,40

TABELUL 10

*Caracteristici agro-chimice la turba din turbăria Coșna Gară*

pH	Capacitate de schimb cationic me/100 g	Aciditate hidrolitică me/100 g	Aluminiu schimbabil me/100 g	Fosfor total me/100 g	Azot total me/100 g	Azot hidrolizabil me/100 g	Humus %
4,28	60,47	45,22	3,61	3,453	55,104	10,013	39,30

TABELUL 11

*Compoziția elementară a turbei din turbăria Coșna Gară*

C %	H %	O %	N %
24,72	2,50	16,26	0,80

TABELUL 12

*Caracteristicile tehnice ale turbei din turbăria Coșna Gară*

Umiditate %	Cenușă %	Materii volatile %	Carbon fix %	Cocs %	Putere calorifică kcal/kg		Gr. vol. t/mc.
					superior	inferior	
86,51	5,52	31,81	12,67	18,18	2442	2006	0,596



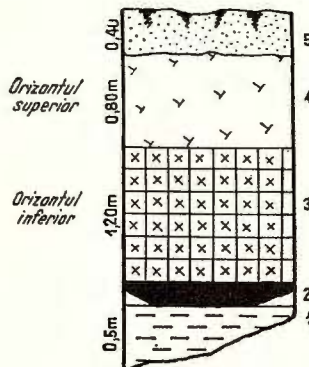
**5. Turbăria Pîriul Teșna** este situată pe malul stîng al pîriului Teșna, în apropierea confluenței pîriului Teșna cu pîriul Cucureasa, mărginindu-se la nord cu calea ferată Vatra Dornei-IIva Mică. Suprafața conturată prin cele 18 foraje executate este de 3 hectare, fiind singurul zăcămînt care oferă bune deschideri naturale, utilizate la alcătuirea coloanei litologice (fig. 7), care prezintă de la bază către suprafață, următoarea succesiune :

Fig. 7. — Turbăria Pîriul Teșna.

1, argilă; 2, nămol; 3, turbă puternic descompusă de culoare brun închisă; cu fragmente lemnăsoase (de pin, vîrstă subboreală); 4, turbă slab descompusă, formată din *Sphagnum* curat (vîrstă subatlantică); 5, zona vegetației actuale.

Tourbière de Pîriul Teșna.

1, argile; 2, limon; 3, tourbe fortement décomposée de couleur brun foncé, à fragments ligneux (de pin, âge subboréale); 4, tourbe faiblement décomposée, formée de *Sphagnum* (âge subatlantique); 5, zone de la végétation actuelle.



— un strat basal de argilă de culoare cenușiu-negricioasă (0,5 m);  
— un orizont inferior de turbă, cu o grosime medie de 1,20 m, cu un grad de descompunere a materiei vegetale destul de puternic; la partea inferioară se întâlnește un orizont subțire de nămol, cu grosimea de 0,25 m; vîrstă acestui orizont, determinată pe baza analizelor polenice executate de Boșcaiu (1970), este subboreală;

— un orizont superior, format dintr-o turbă de *Sphagnum* slab descompusă, cu o grosime de 0,80 m, de vîrstă subatlantică.

Rezultatele analizelor chimice efectuate pe probe recoltate de la diferite adîncimi sunt arătate în tabelul 13.

TABELUL 13

Analize chimice efectuate pe turba din turbăria Pîriul Teșna

Orizont	Adîncime m	Acizi humici %	Acizi huminici %	Acizi fulvici %
orizontul superior	0,50	36,64	24,00	12,64
orizontul inferior	1,5	32,16	24,00	8,64
	2,0	39,12	33,60	5,52
	2,30	11,40	7,44	3,96

TABELUL 14

*Caracteristici agro-chimice ale turbei din turbăria Pîrîul Teșna*

<i>pH</i>	Capacitatea de schimb cationic me/100 g	Aciditate hidrolitică me/100 g	Aluminiu schimbabil me/100 g	Fosfor total me/100 g	Azot total me/100 g	Azot hidrolizabil me/100 g	Humus %
4,06	61,78	52,15	5,26	2,616	55,428	9,436	41,70

TABELUL 15

*Compoziția elementară a turbei din turbăria Pîrîul Teșna*

C %	H %	O %	N %
26,20	2,60	16,17	0,77

TABELUL 16

*Caracteristicile tehnice ale turbei din turbăria Pîrîul Teșna*

Umiditate %	Cenușă %	Materii volatile %	Carbon fix %	Cocs %	Putere calorifică kcal/kg		Gr. vol. t/mc
					superior	inferior	
85,92	4,12	32,85	13,02	17,15	2587	2147	0,597

6. Turbăria Grădinița este situată la altitudinea de 800 m, la cca 400 m sud de gara Grădinița, pe unde trece calea ferată Ilva-Coșna. Po p (1960) o menționează în studiile botanice pe care le-a întreprins pentru această turbărie sub numele de „Tinovul Cîmpeilor”. Această turbărie este înzestrată cu un frumos covor vegetal alcătuit din perne de *Sphagnum*, iar pinetul existent întregește pitorescul regiunii. Se m a k a (1957) înglobează și turbăria de la Grădinița în ansamblul pădurii înmlăștinite din bazinul superior al Teșnei, pe care îl descrie sub denumirea de „Teșna împuștată”.

Prin cercetările geologice și lucrările de foraj (în număr de 13) s-a conturat un zăcămînt cu o suprafață de 31 hectare. Coloana litologică (fig. 8) arată următoarea succesiune :

— un strat la suprafață format din vegetație tipic oligotrofă, cu pinet, în grosime de 0,25 m ;

— un orizont superior de turbă, cu o grosime de 1,10 m, de culoare gălbuiu, formată din *Sphagnum*, de vîrstă subatlantică ;



— un orizont mediu, format dintr-o turbă de culoare cafenie, cu o grosime de 1,5 m, cu un grad mediu de descompunere a materiei vegetale, de vîrstă subatlantică;

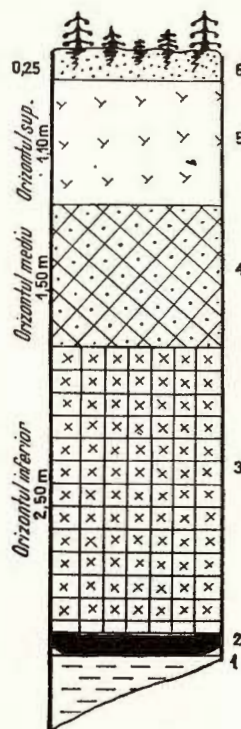
— un orizont inferior în care materia vegetală prezintă un grad de descompunere avansat care generează și culoarea neagră-brună a turbei grosimea medie este de 2,50 m iar vîrstă este boreală; la partea bazală a orizontului inferior se găsește nămolul de turbă, a cărui grosime nu depășește 0,25 m.

Fig. 8. — Turbăria Grădinița.

1, argilă; 2, nămol; 3, turbă puternic descompusă de culoare brun închisă (vîrstă boreală); 4, turbă cu o descompunere medie cu resturi de *Sphagnum* (vîrstă subatlantică); 5, turbă slab descompusă formată din *Sphagnum curat* (vîrstă subatlantică); 6, zona vegetației actuale.

Tourbière de Grădinița.

1, argile; 2, limon; 3, tourbe fortement décomposée de couleur brun foncé (âge boréale); 4, tourbe avec une décomposition moyenne à restes de *Sphagnum* (âge subatlantique); 5, tourbe faiblement décomposée formée de *Sphagnum* (âge subatlantique); 6, zone de la végétation actuelle.



TABELUL 17

Analize chimice efectuate pe turbă din turbăria Grădinița

Orizonturi	Adîncime m	Acizi humici %	Acizi huminici %	Acizi fulvici %
superior	0,40	19,55	13,03	6,52
mediu	1,40	21,27	13,18	8,09

TABELUL 18

*Caracteristicile agro-chimice ale turbei din turbăria Grădinița*

pH	Capacitate de schimb cationic me/100 g	Aciditate hidrolitică me/100 g	Aluminiu schimbabil me/100 g	Fosfor total me/100 g	Azot total me 100 g	Azot hidrolizabil me/100 g	Humus %
4,28	60,47	45,22	3,61	3,453	55,104	10,104	39,30

TABELUL 19

*Compoziția elementară a turbei din turbăria Grădinița*

C %	H %	O %	N %
23,80	2,45	15,95	0,80

TABELUL 20

*Caracteristici tehnice la turba din turbăria Grădinița*

Umiditate %	Cenușa %	Materii volatile %	Carbon fix %	Cocs %	Putere calorifică kcal/kg		Gr. vol. t/mc
					superior	inferior	
88,85	6,90	30,90	12,90	19,10	2338	1906	0,579

7. Turbăria Siminic este situată chiar la confluența pîriului Siminic cu pîriul Teșna și se aseamănă, din punct de vedere al vegetației și succesiunii orizonturilor de turbă, cu turbăria Grădinița de care o desparte o pădure înmlăștinată.

Această turbărie a fost cercetată prin 6 forje și 2 sănțuri.

Coloana litologică (fig. 9) evidențiază următoarea succesiune :

- un covor vegetal alcătuit predominant din *Sphagnum* și pinet cu grosimi reduse (0,20 m) ;
- un orizont superior format dintr-o turbă de culoare galbuie, de *Sphagnum*, materia vegetală fiind slab descompusă ; grosimea medie a acestui orizont este de cca 1 m, iar vîrstă subatlantică ;
- un orizont mediu format dintr-o turbă cu un grad de descompunere mai avansat al materiei vegetale, cu grosimi de cca 0,40 m, de vîrstă subatlantică ;
- un orizont inferior, cu grosimea medie de 1,60 m, format dintr-o turbă de culoare brun-închisă, de vîrstă boreală ; gradul de descompunere



a materiei vegetale este foarte avansat; în baza acestui orizont se întinde un nămol de culoare neagră, cu o grosime de cca 0,20 m.

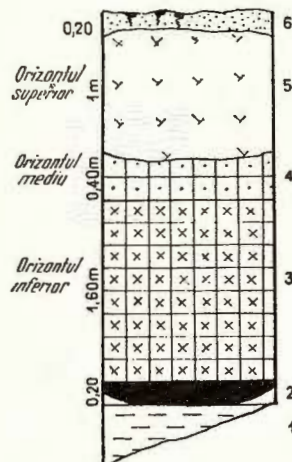
Analizele chimice au demonstrat prezența acizilor humici în procent de 36% din care 30% revine acizilor huminici iar 6% acizilor fulvici, iar compoziția elementară a indicat procente mai ridicate pentru carbon și oxigen (39,15% și respectiv 31%) și mai mici pentru azot și hidrogen (1,92% și respectiv 4,22%).

Fig. 9. — Turbăria Siminic

1, argilă; 2, nămol; 3, turbă puternic descompusă (vîrstă boreală); 4, turbă mediu descompusă; 5, turbă slab descompusă (vîrstă subatlantică); 6, vegetația actuală.

Tourbière de Siminic.

1, argile; 2, limon; 3, tourbe fortement décomposée (âge boréale); 4, tourbe moyennement décomposée; 5, tourbe faiblement décomposée (âge subatlantique); 6, végétation actuelle.



8. Turbăria Izvorul Borcutului este denumită astfel datorită prezenței unui izvor mineral folosit de localnici. Turbăria este situată în lunca văii Dorna, pe malul stîng al Dornei, la intrarea în comuna Poiana Stampei venind dinspre Vatra Dornei. Suprafața turbăriei este mică (cca 1 hecata). Coloana litologică (fig. 10) arată următoarea succesiune:

Fig. 10. — Turbăria Izvorul Borcutului.

1, argilă; 2, turbă puternic descompusă de culoare brun inchisă (vîrstă subboreală); 3, turbă cu o descompunere medie cu resturi de *Sphagnum* (vîrstă subatlantică); 4, turbă slab descompusă, formată din *Sphagnum* curat (vîrstă subatlantică); 5, zona vegetației actuale.

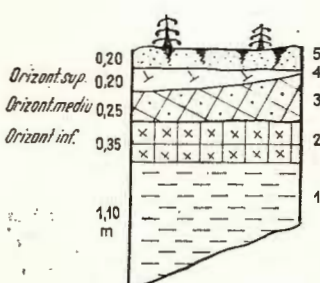
Tourbière de Izvorul Borcutului.

1, argile; 2, tourbe fortement décomposée de couleur brun foncé (âge subboréale); 3, tourbe avec une décomposition moyenne à restes de *Sphagnum* (âge sub atlantique); 4, tourbe faiblement décomposée, formée de *Sphagnum* (âge subatlantique); 5, zone de la végétation actuelle.

— la suprafață un covor vegetal cu grosimi reduse;

— un orizont superior de turbă de culoare deschisă, în care materia vegetală este slab descompusă, cu grosimi reduse (0,20 m);

— un orizont mediu de turbă de culoare cafenie, cu grosimi de 0,25 m;



— un orizont inferior de turbă de culoare mai închisă în care materia vegetală este puternic descompusă, cu grosimea de 0,35 m.

Orizonturilor mediu și superior în urma determinărilor făcute le-a fost atribuită vîrstă subatlantică și celui inferior vîrstă subboreală. Ultima parte a orizontului inferior de turbă are un aspect asemănător cu gyttja, sub care a fost întîlnit un nivel argilos.

TABELUL 21

*Analize chimice efectuate pe turbă din turbăria Izvorul Borcului*

Orizont	Adincime m	Acizi humici %	Acizi huminici %	Acizi fulvici %
superior	0,25	30	20,40	9,60
mediu	0,60	31,80	21,60	10,20

TABELUL 22

*Caracteristici agro-chimice la turba din turbăria Izvorul Borculului*

pH	Capacitatea de schimb ecationic me/100 g	Aciditate hidrolitică me/100 g	Aluminiu schimbabil me/100 g	Fosfor total me/100 g	Azot totatl me/100 g	Azot hidrolozabil me/100 g	Humus %
4,61	51,10	31,05	3,36	6,350	65,064	11,053	29,30

9. **Turbăria Pilugani-Poiana Stampei** este situată la altitudinea de 880 m, pe terasa stîngă a Dornei, în dreptul comunei cu același nume. Turbăria este cunoscută și sub denumirea de „Putredu” sau „Exploatarea Măgura”, fiind singura turbărie în exploatare și în același timp foarte accesibilă, deoarece se găsește atât în vecinătatea șoselei Vatra Dornei-Bistrița, cit și a căii ferate Ilva Mică-Vatra Dornei.

Lucrările de exploatare în zăcămînt ne-au oferit bune condiții de lucru și observații pe teren, cit și posibilitatea recoltării a numeroase probe și eșantioane.

Coloana litologică prin acest zăcămînt (fig. 11) arată următoarea succesiune :

— partea de suprafață a zăcămîntului este lipsită de vegetație datorită exploatarii și defrișării, pinetul și *Sphagnum*-ul aflindu-se doar la periferia tinovului, unde vegetația se dezvoltă bine, constituind un inel vegetal gros ce înconjoară turbăria ;

— urmează un orizont superior de turbă, cu grosimea de 3,21 m, format dintr-o turbă de *Sphagnum* de culoare gălbui-cafenie, de vîrstă subatlantică ;

— orizontul mediu de turbă are aceeași vîrstă subatlantică, dar culoarea brun-cafenie indică un grad mai avansat de descompunere a ma-



terie vegetale; limita dintre aceste două orizonturi este tranșantă, grosimea orizontului mediu fiind de cca 2 m;

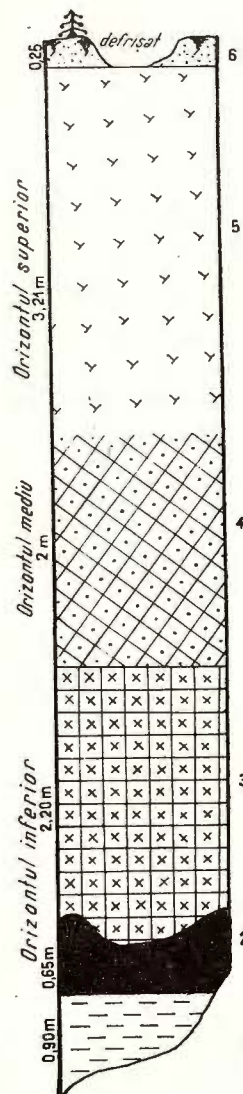


Fig. 11. — Turbăria Pilugani-Poiana Stampei  
1, argilă; 2, nămol; 3, turbă puternic descompusă de culoare brun închisă, cu fragmente lemnăsoase (de pin, vîrstă boreală); 4, turbă mediu descompusă; 5, turbă mediu descompusă, formată din *Sphagnum* (vîrstă subatlantică); 6, zona vegetației actuale.

Tourbière de Pilugani-Poiana Stampei

1, argile; 2, limon; 3, tourbe fortement décomposée de couleur brun foncé, à fragments ligneux (de pin, âge boréal); 4, tourbe moyennement décomposée; 5, tourbe moyennement décomposée, formée de *Sphagnum* (âge subatlantique); 6, zone de la végétation actuelle.

— orizontul inferior este constituit dintr-o turbă de culoare negru-brună, cu grosimi medii de 2,20 m, de vîrstă boreală;

— în baza orizontului inferior se dezvoltă un orizont de nămol bine dezvoltat (dintre toate cele 12 turbării cercetate, la acest tinov, orizontul de nămol este cel mai bine dezvoltat), cu grosimi medii de 0,65 m;

— sub orizontul de nămol apare un strat de argilă care repauzează pe pietrișurile terasei stîngi ale rîului Dorna.

Din 2 probe colectate de S e m a k a (1954) au fost efectuate două analize chimice din centrul turbăriei (*A*) și de la periferia turbăriei (*B*), care au dat următoarele rezultate :

	<i>A</i>	<i>B</i>
apă	11,60 %	19,00 %
răsină eterică	7,5 %	5,5 %
substanțe organice	78,70 %	56,70 %
substanțe minerale	2,20 %	18,80 %

Analiza elementară a turbei de la Pilugani-Poiana Stampei, efectuată pe probe colectate de noi, indică un *pH* de 6,6 — 6,5 și următoarele conținuturi :

carbon	47,6—52,5 %	azot	0,7—1,1 %
hidrogen	5,0—6,4 %	oxigen	26,3—31,80 %
sulf	0,1—0,8 %	cenușă	1,7—7,8 %

Analizele chimice efectuate pe probe colectate de noi au consemnat următoarele valori procentuale, redate în tabelul 23.

TABELUL 23

*Analize chimice la turba de la turbăria Pilugani—Poiana Stampei*

Orizont	Adâncime m	Acizi humici %	Acizi huminici %	Acizi fulvici %
suprafață	0,20	19,52	10,14	9,41
orizont superior	2 3	28,75 51,37	19,35 47,54	8,82 3,87
orizont mediu	3,50	35,07	26,70	9,20
nămol	7,00	35,07	25	10,07

Din „apa turbei” care se găsește în cantități mari la baza turbăriei, au fost recortate cîteva probe pentru a fi supuse analizelor chimice<sup>6</sup>. Aceste ape de culoare brun-gălbuiie cu aspect milos, conțin cantități apreciabile de deuteriu și anume 146,45 p.p.m. d/H. Prezența acestui element în „apa turbăriei” se explică prin acumularea lui în decursul mai multor mii de ani din apele de infiltratie.

Zăcămîntul de turbă de la Pilugani — Poiana Stampei a constituit încă din 1912 obiectul unor mici exploatări. În anul 1950 s-a reluat exploa-

<sup>6</sup> Analizele au fost executate de chimistul L. Blaga de la Institutul de izotopi stabili din Cluj-Napoca.



tarea de către industria locală Suceava, actualmente fiind singura exploatare de turbă din bazinele Dornelor. Exploatarea se face în carieră, în trepte, de sus în jos, turba tăindu-se sub formă de calupuri (cărămizi), care după perioada de uscare sunt transportate la stația de sfârșit și supuse unor procedee speciale de măcinare și presare, ambalându-se în final în baloți de 40 kg. Construirea unor uscătorii artificiale și a unor benzi de transport ar mări considerabil producția de turbă.

De asemenea se exploatează și nămolul din baza orizontului inferior, care prin numărul mare de elemente și substanțe chimice pe care le conține, are proprietăți terapeutice remarcabile. Astfel, în afara folosirii lui în tratamentele balneologice, din nămol se extrag diferite substanțe care folosesc la obținerea medicamentelor contra parodontozei sau a unor medicamente cu aplicații ginecologice. Acest nămol terapeutic este rezultat din acumularea resturilor floristico-faunistice și a suspensiilor pelitice care au fost supuse apoi unor procese de transformare, asemănătoare celor din orizonturile de turbă.

Compoziția chimică<sup>7</sup> a nămolului terapeutic de la Pilugani – Poiana Stampei evidențiază prezența următoarelor elemente solubile de 1 kg de nămol :

Elemente	mg	Elemente	mg
Cl	751,7	Ca	82,5
NO <sub>2</sub>	4,8	Mg	77,9
NO <sub>3</sub>	0,5	F	2,1
SO <sub>4</sub>	228,3	H <sub>2</sub> SO <sub>4</sub>	1,9
HCO <sub>3</sub>	780,8	H <sub>2</sub> TiO <sub>3</sub>	0,006
Na	625,1	NH <sub>2</sub>	0,8
K	47,2	substanțe organice	84,86
NH <sub>4</sub>	8,5	mineralizare totală	2698,966
		acizi humici	22,0

Din aceste date rezultă că faza apoasă a nămolului are următoarea caracteristică : soluție clorurată bicarbonată sodică, calcică, magneziană, hipotonă. Toate aceste proprietăți recomandă utilizarea nămolului în tratamentul reumatismal.

**10. Turbăria Poiana Stampei – Hotel Comunal** este localizată la circa 1,5 km sud de zăcămîntul Pilugani – Poiana Stampei, pe terasa de pe malul drept al pîrîului Teșnița (afluent drept al Teșnei).

Turbăria a fost cercetată prin 29 foraje și are o suprafață de 6 hectare.

O coloană litologică (fig. 12) prin acest zăcămînt se prezintă astfel :

— la suprafață turbăria este acoperită de o vegetație formată din *Sphagnum* și un pinet des, a cărei grosime nu depășește 0,20 m ;

— urmează orizontul superior de turbă de culoare galbuiie, de vîrstă subatlantică, cu o grosime de 0,50 m ;

<sup>7</sup> Analizele au fost efectuate de chimista Berta Demaiu de la Laboratoarele de chimie ale Spitalului Brîncovenesc.

— următorul orizont este cel mediu, în care turba are o culoare castanie, cu grosimi de 0,30 m, avind aceeași vîrstă ca și orizontul superior;

— orizontul inferior, bazal, este format dintr-o turbă de culoare brun-închisă, cu grosimea medie de 0,70 m, de vîrstă boreală, materia vegetală fiind cel mai intens descompusă în acest orizont; în baza acestui orizont a fost identificat un mic orizont de nămol, cu o grosime de 0,20 m.

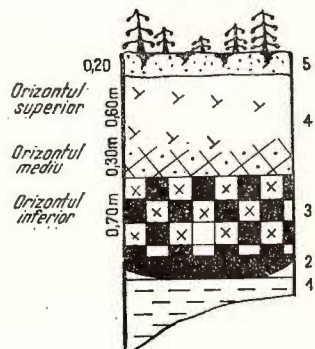


Fig. 12. — Turbăria Poiana Stampei — Hotel Comunal.

1, argilă; 2, nămol; 3, turbă puternic descompusă cu rădăcini de copaci (vîrstă subboreală); 4, turbă slab descompusă cu trecere spre turbă mediu descompusă formată din *Sphagnum* (vîrstă subatlantică); 5, zonă vegetației actuale.

3 Tourbière de Poiana Stampei — Hôtel Communal,  
1, argile; 2, limon; 3, tourbe fortement décomposée  
à racines d'arbres (âge subboréal); 4, tourbe faiblement  
décomposée passant vers tourbe moyennement  
décomposée, formée de *Sphagnum* (âge subatlantique);  
5, zone de la végétation actuelle.

#### TABELUL 24

*Analizele chimice la turba din turbăria Poiana Stampei — Hotel Comunal*

Orizont	Adîncimea m	Acizi humici %	Aciz huminici %	Acizi fulvici %
superior	0,25	27,12	23,28	3,84
mediu	0,85	26,52	25,20	1,32
inferior	1,20	18,84	13,44	5,40

#### TABELUL 25

*Caracteristici agro-chimice la turba din turbăria Poiana Stampei — Hotel Comunal*

pH	Capacitate de schimb cationic me/100 g	Aciditate hidrolitică me/100 g	Aluminiu schimbabil me/100 g	Fosfor total %	Humus %
4,21	50,11	40,00	0,044	3,381	39,43

Prin analizele chimice efectuate s-a identificat și în apa turbei prezența acizilor humici.



TABELUL 26

*Compoziția elementară a turbei din turbăria Poiana Stampei – Hotel Comunal*

C %	H %	O %	N %
24,75	2,50	14,85	1,15

TABELUL 27

*Cacacteristici tehnice pentru turba din turbăria Poiana Stampei – Hotel Comunal*

Umiditate %	Cenușă %	Materii volatile %	Carbon fix %	Cocs %	Putere calorifică kcal/kg		Gr. vol. t/mc
					superior	inferior	
83,65	6,65	21,00	12,35	19,00	2450	2015	0,634

**11. Turbăria Poiana Stampei – Islaz** se întinde pe o suprafață de cca 5 hectare și este amplasată pe malul stîng al rîului Dorna, în vecinătatea islazului comunal, de unde și-a împrumutat și numele.

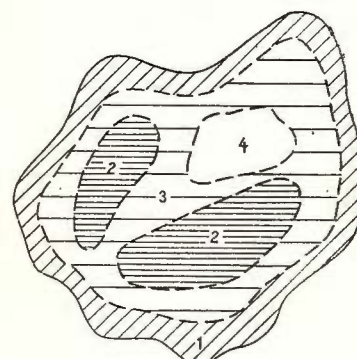
Pinetul are o răspindire neuniformă, uneori fiind des, alteori rar, cu tranziții spre bahnă, în schimb sphagnetul este bine dezvoltat, fiind reprezentat prin numeroase specii, dintre care cităm pe *Vaccinium oxy-*

Fig. 13. — Modelul dezvoltării vegetației din turbăria Poiana Stampei – Islaz.

1, zonă cu vegetație de lagg ; 2, zonă cu vegetație oligotrofă puternic dezvoltată ; 3, zonă cu vegetație oligotrofă slab dezvoltată ; 4, zonă lipsită de vegetație oligotrofă.

Modèle du développement de la végétation de la tourbière de Poiana Stampei – Islaz.

1, zone à végétation de lagg ; 2, zone à végétation oligotrophe fortement développée ; 3, zone à végétation oligotrophe faiblement développée ; 4, zone dépourvue de végétation oligotrophe.



0 50 100 m

*coceos, Andromeda, Drosera și Eriphorum vaginatum*. Turbăria este înconjurată de un inel cu vegetație de lagg.

Există și o zonă în care vegetația turbicolă nu este prezentă.

Pentru a sublinia cele descrise mai sus redăm schematic un model al dezvoltării vegetației oligotrofe al acestei trubării.

Turbăria a fost cercetată prin 23 foraje, iar coloana litologică arată următoarea succesiune :

- un covor vegetal, cu grosime medie de 0,15 m ;
- un orizont superior de turbă de culoare gălbui-castanie, cu grosimea medie de 0,30 m, de vîrstă subatlantică ;

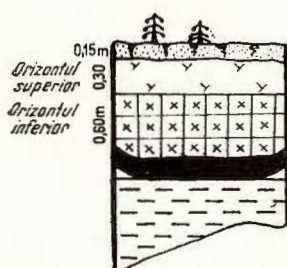


Fig. 14. — Turbăria Poiana Stampei — Islaz.

1, argilă ; 2, nămol ; 3, turbă puternic descompusă, de culoare brun inchisă (vîrstă subboreală) ; 4, turbă slab descompusă formată din *Sphagnum* curat (vîrstă subatlantică) ; 5, zona vegetației actuale.

Tourbière de Poiana Stampei — Islaz.

1, argile ; 2, limon ; 3, tourbe fortement décomposée de couleur brun foncé (âge subboréale) ; 4, tourbe faiblement décomposée, formée de *Sphagnum* (âge subatlantique) ; 5, zone de la végétation actuelle.

- un orizont inferior, format din turbă de culoare cafenie spre brună, cu grosimea medie de 0,60 m, de vîrstă subboreală ;
- un orizont subțire de nămol (0,15 m) ;
- culcușul zăcămîntului reprezentat prin argile.

TABELUL 28

*Analize chimice efectuate pe turba din turbăria Poiana Stampei — Islaz*

Orizont	Adîncime m	Acizi humici %	Acizi huminici %	Acizi fulvici %
superior	0,20 m	31,20	18,48	12,72
inferior	0,50 m	32,80	25,20	7,08

TABELUL 29

*Caracteristici agro-chimice ale turbei din turbăria Poiana Stampei — Islaz*

pH	Capacitate de schimb cationic me/100 g	Aciditate hidrolitică me/100 g	Aluminiu schimbabil me/100 g	Fosfor total me/100 g	Azot total me/100 g	Azot hidrolizabil me/100 g	Humus %
3,64	4,07	55,75	8,06	3,762	88,643	7,214	38,10

TABELUL 30

*Compoziția elementară a turbei din turbăria Poiana Stampei – Islaz*

C %	H %	O %	N %
24,05	2,55	18,25	0,90

TABELUL 31

*Caracteristici tehnice ale turbei din turbăria Poiana Stampei – Islaz*

Umiditate %	Cenușă %	Materii volatile %	Carbon fix %	Cocs %	Putere calorifică kcal/kg		Gr. vol. t/mc
					superior	inferior	
84,55	4,15	32,30	13,95	17,70	2644	2206	0,521

12. Turbăria Căsoi mai este cunoscută și sub numele de „Tinovul mare de la Poiana Stampei”. Prin frumusețea și varietatea vegetației, precum și raritatea unor exemplare vegetale, a fost declarată monument al naturii și face parte din patrimoniul Rerzervațiilor Academiei R.S.R.

Suprafața acestei turbării este de 612 hectare fiind prin aceasta cea mai mare din regiunea studiată, dintre care cca 400 hectare sunt ocupate de tinovul propriu-zis, iar restul este acoperit de molizi (către malurile Dornei și Dornișoarei), sau de mici zone de bahnă către NE. Predomină varitatea de *Pinus silvestris* (P o p, 1960), piperi-niciți în zona centrală unde domină sphagnetul și mai bine dezvoltăți marginal, unde se remarcă întrepătrunderi între pinet, molidiș și mestecăniș.

Turbăria are o lățime mică în dreptul confluenței Dornei cu Dornișoara, dar pe măsura depărtării de confluență, turbăria se lățește.

O coloană litologică prin turbăria Căsoi (fig. 15) se prezintă astfel:

— vegetația actuală de la suprafața turbei, care nu depășește 0,20 m grosime ;

— un orizont superior format dintr-o turbă de *Sphagnum*, cu o grosime de 0,90 m, de culoare cafenie, în care materia vegetală este puțin descompusă ;

— un orizont mediu format dintr-o turbă cu grosimea mai mică (0,40 m) în care materia vegetală a suferit o descompunere ceva mai avansată, de vîrstă subatlantică ;

— un orizont inferior constituit din turbă de culoare brună, cu grosimea medie de 1,70 m, de vîrstă boreală ; în baza acestui orizont a fost întlnit un nivel de nămol cu grosimea de 0,35 m ;

— culcușul turbăriei este reprezentat prin argile.



TABELUL 32

*Analize chimice ale turbei din turbăria Căsoi*

Orizont	Adâncimea m	Acizi humici %	Acizi huminici %	Acizi fulvici %
superior	0,25	27,61	15,33	12,27
mediu	0,60	36,22	28,82	7,40

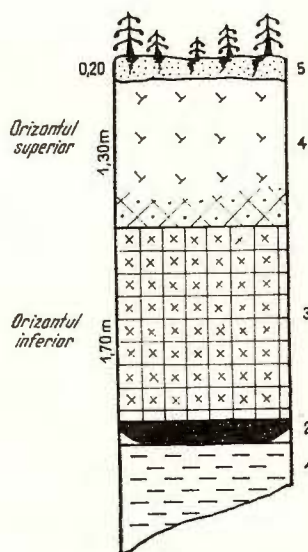


Fig. 15. — Turbăria Căsoi (rezervația Academie R.S.R.).

1, argilă; 2, nămol; 3, turbă puternic descompusă, de culoare brun inchisă (vîrstă boreală); 4, turbă slab descompusă cu trecere spre turbă mediu descompusă, formată din *Sphagnum* (vîrstă subatlantică); 5, zona vegetației actuale.

Tourbière de Căsoi (réserve de l'Académie de R.S.R.).  
1, argile; 2, limon; 3, tourbe fortement décomposée de couleur brun foncé (âge boréal); 4, tourbe faiblement décomposée passant vers tourbe moyenement décomposée, formée de *Sphagnum* (âge subatlantique); 5, zone de la végétation actuelle.

Analizele chimice efectuate pe probe colectate din această turbărie au arătat valori cuprinse între 4—5,20 pentru  $pH$  și valori ridicate pentru acizi humici.

În probele recoltate din partea centrală a turbăriei au fost identificate acizi humici și în apa turbei.

### C) Considerații asupra vîrstei turbei

Rezultatele analizelor sporo-polinice au dus la constatarea că evoluția pădurilor post-glaciare din Europa centrală și nordică este destul de uniformă în ce privește genurile de copaci și etapele de extensiune maximă ale acestora.

Uniformitatea mai mult sau mai puțin accentuată a imaginii forestiere din diferite ținuturi, în aceeași perioadă climatică, nu se poate explica numai prin condiții biotice, nici prin condiții pur edafice. Pop (1960) consideră că factorul cel mai important în alcătuirea și remanierea aspectului floristic este clima.

Büllow (1929) arată că de la ultimul glaciar în Europa centrală și nordică au fost 2 faze cu climat uscat (boreal și subboreal) și 2 faze cu climat umed (atlantic și subatlantic).

După Semaka (1954), regiunea Vatra Dornei pare să fi avut, din ultima glaciațiune și pînă astăzi, o evoluție climatică asemănătoare cu aceea din Europa centrală.

După acest cercetător variația climei și vegetației în regiunea Dornelor în decursul timpului, este următoarea :

*Faza arctică* se caracterizează printr-un climat rece și corespunde ultimei glaciațiuni. Regiunea imediat învecinată Rodnei a fost acoperită de ghețari. Vegetația nu se cunoaște precis, dar se poate presupune că a existat numai genul *Pinus*, prin analogie cu regiunile învecinate.

În *faza subarctică* climatul a fost mai puțin rece. În masivele apropiate ale Rodnei și Călimanilor începe topirea ghețarilor și zăpezilor. În regiunea Vatra Dornei a luat naștere terasa inferioară a Dornei. Vegetația e puțin cunoscută.

În *faza preboreală* climatul a fost uscat și rece. Regiunea a fost, în parte încă, inundată de apele provenite din topirea ghețarilor și zăpezilor și s-au format stratele inferioare de argilă plastică, de la baza turbei. Vegetația este puțin cunoscută.

În *faza boreală*, climatul a fost uscat și călduros de tip continental. În ceea ce privește raportul dintre temperatură și precipitații, el a fost foarte asemănător celui actual. În regiune au luat naștere orizonturile inferioare ale unora dintre turbării (în turbă predomină *Cyperacee*).

La începutul fazei se găsește polenul de *Betula* și *Salix* (în proporție mică și ca reminiscență a fazelor preboreale).

În general polenul de *Pinus* predomină cu o majoritate absolută (90%).

În *faza atlantică*, climatul a fost umed și călduros, cu foarte numeroase precipitații. Regiunea a fost în parte inundată de ape curgătoare sau stătătoare. Vegetația este puțin cunoscută.

În *faza subboreală*, climatul a fost uscat și răcoros; turba s-a depus din nou, fiind reprezentată prin orizontul mediu (respectiv la turbăriile mai tinere prin orizontul inferior) constituit aproape pretutindeni dintr-un sphagnet mai mult sau mai puțin curat, cu rare *Cyperaceae*; polenul de *Pinus*, *Picea*, *Alnus*, *Ulmus*, *Quercus* este destul de frecvent.

La sfîrșitul Subborealului și la începutul fazelor următoare, subatlantică, a avut loc o puternică variație climatică, reprezentată printr-o perioadă de uscăciune excesivă. Aceste variații s-au făcut resimțite în procesul de formare a turbei, apărind un orizont limită, de grosime mică; predomină polenul de *Picea* și *Carpinus*.

La începutul fazelor subatlantice, condițiile climatice au permis continuarea depunerii orizontului limită (de uscăciune excesivă). Climatul devine mai umed și rece către sfîrșitul Subatlanticului. În acest interval se formează orizontul superior al turbei, dintr-un sphagnet mai curat și predomină polenul de *Fagus* și *Picea*; polenul de *Alnus* este foarte rar.

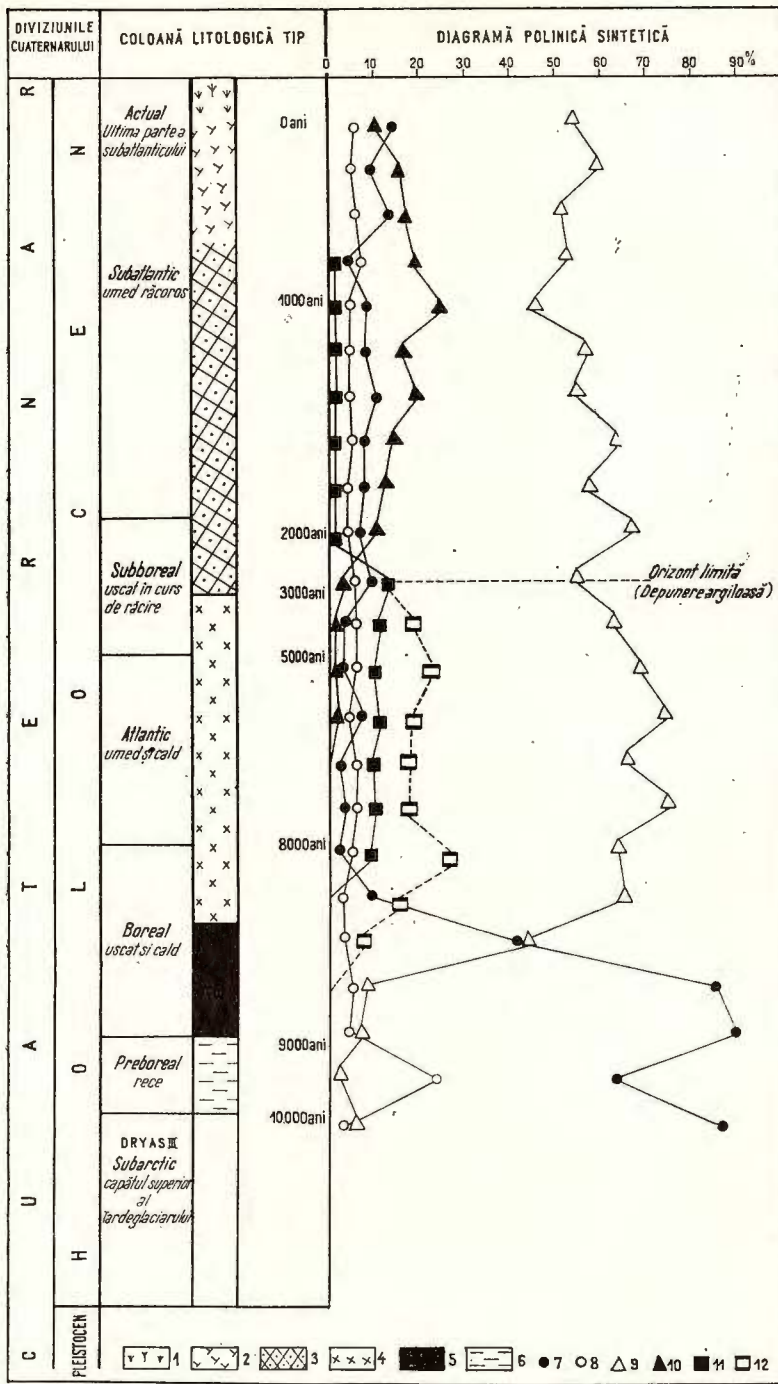


Fig. 16.— Diagrama polinică și coloana litologică tip a turbăriilor din bazinul Dornelor, după Boșcaiu, Codarcea.

1, vegetație actuală; 2, turbă oligotrofă, orizontul superior; 3, turbă oligotrofă, orizontul inferior; 4, turbă eutrofă; 5, nămol; 6, argilă; 7, *Pinus*; 8, *Betula*; 9, *Picea*; 10, *Fagus*; 11, *Quercetum mixtum*; 12, *Corylus*.

Diagramme polynique et colonne lithologique type des tourbières du bassin des Dorne, selon Boscaiu, Codarcea.

1, végétation actuelle; 2, tourbe oligotrophe, horizon supérieur; 3, tourbe oligotrophe, horizon inférieur; 4, tourbe eutrope; 5, limon; 6, argile; 7, *Pinus*; 8, *Betula*; 9, *Picea*; 10, *Fagus*; 11, *Overcetum mixtum*; 12, *Corylus*.



Faza subatlantică se continuă cu faza actuală în care stratul de turbă continuă să crească aproape în toate locurile unde omul nu a intervenit.

Analizele polinice din probele colectate de noi din profile (echidistante de 0,50m) determinate de N. Boscariu împreună cu cele vechi (Pop, 1960), ne-au permis să ajungem la următoarele concluzii :

— formarea terasei inferioare a Dornei considerăm că s-a produs în Postarcic (cca 10.000 ani) ;

— orizontul inferior de turbă s-a format în Boreal (cca 8 500 ani) la următoarele turbării : Pîriul Coșnei, Coșna Sat, Poiana Vinului, Coșna Gară, Grădinița, Siminic, Pilugani — Poiana Stampei, Căsoi și în Subboreal (cca 5 000 ani) la următoarele turbării : Pîriul Teșna, Poiana Stampei, Hotel Comunal, Islaz și Izvorul Borcutului. Aceste diferențe de timp în formarea orizontului inferior de turbă o explicăm prin existența, la unele din turbării, a unor condiții neprielnice în Boreal cum ar fi : inexistența unor adâncituri în care să se poată acumula materia vegetală și inexistența unui substrat edafic ; nămolul de turbă, din partea bazală a orizontului inferior, s-a format în Boreal (cca 8 500 ani) ;

— orizontul mediu de turbă s-a format în Subatlantic (cca 2 000 ani) ;

— orizontul superior de turbă a început să se formeze în urmă cu cca 1 000 ani, în Subatlantic, continuându-se și în prezent.

#### D) Observații asupra pH-ului turbăriilor

Studiul valorilor *pH*-ului din turbării prezintă o deosebită importanță deoarece este cunoscut faptul că tinoavele se formează în medii acide.

Din interpretarea rezultatelor analizelor efectuate se constată că :

— la unele din turbăriile oligotrofe (Căsoi, Pilugani-Poiana Stampei și Pîriul Coșna) valorile *pH*-ului la suprafață sunt cuprinse între 5—6,30, spre deosebire de valorile orizontului superior unde acestea sunt mai mici și sunt în ordine pentru cele trei turbări de 4,30, 4,85 și 4,40 ;

— la Grădinița în schimb, valorile *pH*-ului din probele de la suprafață și cele din orizontul superior sunt aproximativ egale cca 5,1, dar mergeind către orizontul inferior, valorile cresc evident, ajungind la 6,45 ;

— *pH*-ul variază pe verticală observindu-se schimbări valorice pentru fiecare orizont de turbă în parte (fig. 1) astfel : la Pilugani-Poiana Stampei, valorile *pH*-ului sunt mari în porțiunea de suprafață, corespunzătoare vegetației actuale și părții superficiale a orizontului superior (5,50—6), scad în orizontul superior (4,05—5,30), cresc în orizontul mediu (5,30—6,95) și scad sensibil în orizontul inferior de turbă (4,75—5,75).

Pop (1960) consideră că variația valorilor *pH*-ului se datorează în special schimbării vegetației în decursul evoluției turbăriilor. Noi considerăm că valorile diferite ale *pH*-ului se datorează și gradului diferit de turbificare al fiecărui orizont în parte. Reiese aşadar că cei 2 factori importanți care concură la schimbarea valorilor *pH*-ului sunt vegetația și procesul de turbificare. Cunoscind valorile *pH*-ului într-un zăcămînt se pot face deducții cu privire la tipul de vegetație care a generat turba. În plus cu-

## TABELUL 33

Variația pH în funcție de adâncime la trei turbării

Turbăria Grădinița			
Adâncimea	pH-ul	Adâncimea	pH-ul
20 cm	3,85	215 cm	6,00
35 cm	4,10	230 cm	4,65
50 cm	4,45	245 cm	4,80
65 cm	4,35	260 cm	5,20
80 cm	4,00	275 cm	6,20
95 cm	4,15	290 cm	6,45
Turbăria Poiana Stampei — Pilugani			
Adâncimea	pH-ul	Adâncimea	pH-ul
Suprafață	5,50	305 cm	4,30
20 cm	4,55	320 cm	4,45
35 cm	6,00	340 cm	4,80
50 cm	5,50	355 cm	4,65
65 cm	4,85	370 cm	4,55
80 cm	4,60	385 cm	5,80
95 cm	5,00	400 cm	5,40
110 cm	4,95	420 cm	4,30
125 cm	4,05	435 cm	4,95
140 cm	4,90	450 cm	4,30
155 cm	4,95	465 cm	6,90
170 cm	4,95	480 cm	6,90
185 cm	4,95	495 cm	5,30
200 cm	5,50	510 cm	4,80
215 cm	5,40	525 cm	6,95
230 cm	5,30	545 cm	6,25
245 cm	5,00	560 cm	5,25
260 cm	4,55	570—80 cm	4,75
275 cm	4,60	590 cm	5,75
290 cm	4,90		
Turbăria Poiana Stampei — Căsoi			
Adâncimea	pH-ul	Adâncimea	pH-ul
20 cm	5,05	115 cm	4,90
50 cm	4,85	130 cm	4,30
65 cm	4,30	145 cm	4,00
82 cm	4,90	175 cm	4,20
100 cm	5,20	205 cm	4,50



noașterea *pH*-ului are o importanță practică deoarece el este un indicator important la utilizarea turbei ca îngrășămînt în agricultură și horticultură.

În acest, sens la turbăria Pilugani – Poiana Stampei, s-au efectuat cercetări amănunțite (studiuindu-se variația acestuia în funcție de adîncime), fapt care a contribuit la valorificarea superioară a turbei.

#### E) Considerații asupra gradului de descompunere a vegetației

Din examinarea profilelor de turbă, a panourilor de exploatare sau a șanțurilor de drenare se observă schimbarea culorilor din orizonturile de turbă. Deosebirile de culoare sunt mai evidente între primele 2 orizonturi și cel de-al treilea. Astfel, în timp ce orizonturile superior și mediu au o culoare galben-cafenie și respectiv galben-brună, orizontul inferior are o culoare brun-negricioasă. Schimbarea culorilor orizonturilor de turbă își are de fapt explicația, pe de o parte, în compoziția vegetală, iar pe de altă parte în modificările chimice.

Pentru orizonturile superior și mediu, materia vegetală este în general aceeași (*Sphagnacee*), iar pentru orizontul inferior materia vegetală este reprezentată prin plante eutrofe și mezotrofe.

Gradul de descompunere a celulozei și ligninei în acizi humici este diferit pentru fiecare orizont în parte, fiind slab pentru orizontul superior, avansat pentru cel mediu și puternic pentru cel inferior.

Analizele chimice privind conținutul în acizi humici<sup>8</sup> demonstrează că orizonturile inferioare de turbă conțin procente mult mai mari de acizi humici și scad pe măsura trecerii la orizonturile superioare. Exemplul clasic îl oferă turbăria de la Pilugani-Poiana Stampei, unde, orizontul inferior conține 51,37 g/100 g probă, față de 28,75 g/100 g probă în orizontul mediu și 19,52 g/100 g probă pentru orizontul superior. Creșterea cantității de acizi humici, cu adîncimea, echivalează cu o polimerizare mai intensă a moleculelor lor și implicit cu un grad mai avansat de maturizare a turbei.

Din cadrul acizilor humici cel mai mult cresc cu adîncimea acizii huminici, spre deosebire de cei fulvici care scad o dată cu creșterea adîncimii.

Pentru nămolul de turbă aflat în partea bazală a orizonturilor inferioare, se remarcă o scădere a conținutului în acizi humici (35 g/100 g probă, în nămolul de la Pilugani – Poiana Stampei) în schimb crește conținutul în acizi fulvici și scade cel în acizi huminici. Deosebirile cantitative dintre acizii orizontului inferior de turbă și cei ai nămolului rezidă în materia organică și minerală care a contribuit la formarea nămolului (în general microorganismele la nămol iar la orizontul inferior vegetația turbicolă).

Un alt exemplu pivind creșterea conținutului în acizi humici în raport cu adîncimea și deci cu creșterea maturității turbei, îl oferă turbăria Pârâul Teșna (fig. 17).

<sup>8</sup> Analizele au fost efectuate de chimista Sofia Zanelli de la laboratorul de Chimie al Academiei de Științe Agricole, București.

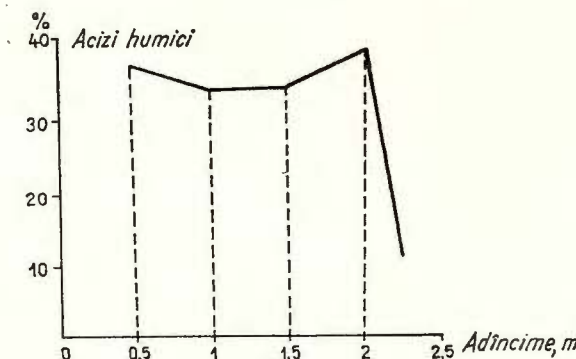


Fig. 17 — Grafic cu variația acizilor humici cu adâncimea la turbăria pîrîul Teșna.

Graphique de la variation des acides humiques atteignant la plus profondeur à la tourbière de ruisseau Teșna.

### F) Observații asupra procesului de turbificare

P o p (1960) citează cîteva cercetători (B e g a k, B e l i k o v a și K u r b a t o v), care ocupîndu-se de studierea unor turbării în URSS au delimitat în mlaștini un strat superior „turbogen” caracterizat prin procesul de turbificare provocat de activitatea bacteriană.

B e n a d e (1954) citează pe W a k s m a n, S t e v e n s, D r e v e s, care au arătat că intensitatea activității bacteriene este dependentă de valorile *pH*. Acești autori consideră că frecvența microorganismelor este mare atunci când valorile *pH*-ului sunt mai puțin acide. Reiese aşadar că acești autori atribuie activității biologice un rol important în procesul de turbificare. Noi considerăm această activitate biologică desfășurată în prima fază a procesului de formare a turbei (tab. 34).

P o p (1960) consideră că dintre factorii fizici, cel mai de seamă rol în formarea turbei îl are presiunea, iar dintre factorii chimici menționează: reacția acidă a apei, apariția acizilor humici și absența oxigenului liber. Totalitatea acestor factori acționează în faza a 2-a a procesului de formare a turbei. Acțiunea conjugată a acestor factori fizico-chimici conduce la transformarea materiei vegetale în turbă și apariține proceselor de dia-

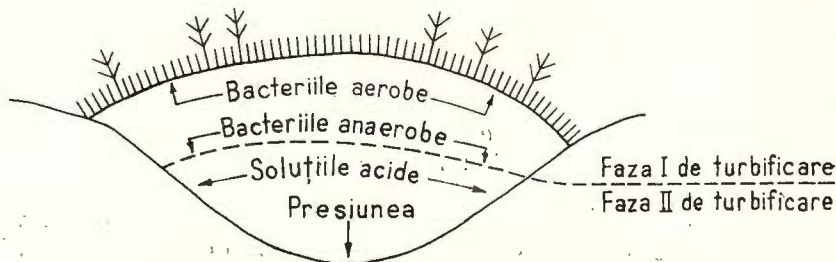


Fig. 18. — Fazele și principaliii factori care determină transformarea materiei vegetale în turbă.

Phases et principaux facteurs qui déterminent la transformation de la matière végétale en tourbe.

geneză (tab. 34). Ideea majoră ce se desprinde din studierea procesului este că îmbinarea factorilor biochimici cu cei diagenetici conduce la formarea turbei.

Desfășurarea procesului de turbificare este redată în tabelul 34.

TABELUL 34  
*Procesul de turbificare*

Turbifi- carea	Faza I	Transformarea materiei ve- getale în acizi humici sub acțiunea microorganismelor aerobe și anaerobe.	Rezultă acizi humici (fulvici și hu- minici). Se formează hidroturbă. Această fază se întâlnește în special la orizontul superior și mediu al turbări- ilor. Turba are o culoare galben-cafenie.
	Faza II	Eliminarea în mare măsură a apei din turbă. Circulația soluțiilor acidic. Presiunea începe să joace un rol important.	Compactizarea turbei. Turba are o cu- loare brun-negricioasă. Această fază se întâlnește în special la orizontul inferior al turbei.

### G) Cenușa turbei, un indicator geochimic

Analizele chimice de laborator<sup>9</sup> au evidențiat prezența în cenușa turbelor a unor metale ca staniu, cupru, plumb și zinc. Acumularea acestor elemente în cenușa turbelor se explică prin aducerea lor din apele de infiltrație, care au spălat rocile înconjurătoare, turba funcționând în acest caz ca un element absorbant.

Natura diferitelor componente din cenușa turbelor poate fi legată pe de o parte de concentrațiile metalice sub forma de combinații chimice din plante (care prin ardere formează cenușa endogenă a turbei) iar pe de altă parte de elementele aduse prin apele de infiltrație în turbă și care prin ardere alcătuiesc cenușa exogenă a turbelor.

Concentrațiile mai ridicate de metale din cenușa turbei, cum este de exemplu cazul staniului, se dătoresc în special elementelor aduse de ape din afara turbăriei, contribuind la formarea cenușii exogene.

Studiile de laborator au arătat că staniul din cenușa turbei a fost transportat de ape sub formă de casiterit (Douce-t-Perrier, 1968). Prezența staniului în cenușa turbei din zăcămîntul Pilugani – Poiana Stampei a fost semnalată pentru prima dată prin analizele spectrale<sup>10</sup> efectuate pe probele recoltate de noi (Codarcea, 1967 a).

Redăm în tabelul 35 concentrația staniului în cenușa turbei.

Din examinarea tuturor acestor date se observă că, concentrația în staniu a cenușei turbei de la Pilugani – Poiana Stampei depășește cu

<sup>9</sup> Analizele chimice au fost executate de A. Kizik (I.G.P.)

<sup>10</sup> Analizele spectrale au fost efectuate de T. Dumitrescu (I.G.P.).

**TABELUL 35**  
*Concentrația staniului în cenușa turbei*

Nr. eșantion	Cenușă %	Staniu în cenușă %	Staniu în turbă g/t	Orizontul de turbă
1	3,2	0,02	6,4	orizont superior
2	1,7	0,05	8,5	orizont mediu
3	7,8	0,12	93,6	
4	5,1	0,26	123,5	orizont inferior
5	4,6	0,30	138,5	
valoare medie	4,48	0,15	75,8	

**TABELUL 36**  
*Analize spectrale și chimice*

Rezultatele analizelor spectrale		Rezultatele analizelor chimice	
metale	%	oxizi	%
Sn	0,3 — 0,02	SnO <sub>2</sub>	0,30—0,026
Cu	0,3 — 0,1	SiO <sub>2</sub>	43,2 — 18,2
Pb	0,03 — 0,01	Fe <sub>2</sub> O <sub>3</sub>	51,2 — 21,4
Ni	0,03 — 0,01	Al <sub>2</sub> O <sub>3</sub>	29,2 — 7,9
Cr	0,03 — 0,001	P <sub>2</sub> O <sub>5</sub>	4,1 — 1,6
Co	0,03 — 0,001	TiO <sub>2</sub>	0,5 — 0,4
Mo	0,2 — 0,001	CaO	11,7 — 6,7
V	0,4 — 0,003	MgO	3,4 — 1,7
Zn	0,15 — 0,1	Mn <sub>2</sub> O <sub>3</sub>	0,7 — 0,3
Ge	0,002 — 0,001	SO <sub>3</sub>	12,4 — 3,4
		Na <sub>2</sub> O	8,6 — 7,6
		K <sub>2</sub> O	1,8 — 0,5



mult clarkul (care este de 2g/t Sn), cele mai ridicate valori în staniu (0,3%) găsindu-se în partea bazală a zăcământului (fig. 19).

Având în vedere faptul că fundamentul zăcământului este format din argile, prezența staniului, în procente ridicate, în cenușa turbiei își are originea în masivele cristaline din apropierea turbărilor; această pre-

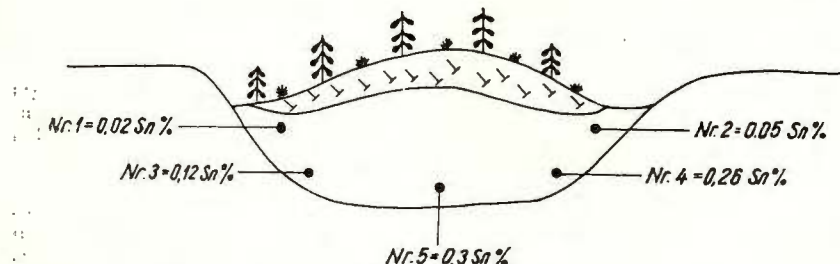


Fig. 19. — Creșterea conținutului de staniu la turbăria Poiana Stampei — Pilugani.

Augmentation du contenu de l'étain à la tourbière de Poiana Stampei — Pilugani.

supunere se bazează și pe faptul că în partea nordică a Carpaților Orientali cristalinul prezintă concentrații însemnante în staniu (Leșu Ursului, Burloaia).

#### H) Considerații petrografice

Asupra turbelor din România, pînă în prezent, nu s-au făcut cercetări petrografice.

În anul 1970, din turbele de la Pilugani — Poiana Stampei și Grădinița s-au executat secțiuni lustruite prin metoda impregnării cu rășini sintetice în cadrul laboratoarelor de mineralogie de la Bureau de Recherches Géologiques et Miniers (B.R.G.M.) din Orleans (Franța) de către geolog R a g o t împreună cu autorul lucrării de față.

Din examinarea microscopică a probelor colectate de la adîncimea de 3 m s-a observat că în compoziția turbei apare un detritus humic — attrinit — (pl. I, fig. 1), în care se disting numeroase țesuturi vegetale negelificate — textinit — (pl. I, fig. 2), precum și lentile sau cuiburi de dopplerinit — gelinit — (pl. II, fig. 1, 2). De asemenea s-au observat și granule de polen.

În probele recoltate de la adîncimea de 0,80 m din turba de la Pilugani — Poiana Stampei, la microscop s-au observat numai resturi vegetale și aceasta se datorează faptului că la această adîncime turba nu este suficient de matură, procesele chimice de transformare a celulozei și ligninei în acizi humici fiind într-o fază incipientă.

Dintre cercetătorii străini doar A m o s o v (1964) și M u s i l (1965) citează apariția unor compoziții petrografice în turbele de la Novinsk (URSS) și în cele din Cuba.

În urma analizei petrografice a turbei constatăm că apariția primilor compoziți petrografici coincide cu creșterea procentuală a acizilor humici, care se face gradat de la suprafață către adâncimea turbăriei, fiind în strînsă legătură și cu creșterea gradului de descompunere a materiei vegetale (fig. 20). Astfel, în turbăria Pilugani – Poiana Stampei concentrația

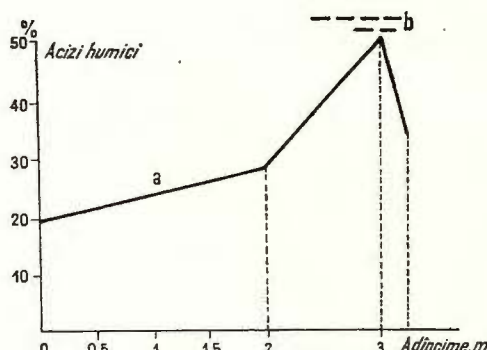


Fig. 20. — Diagramă cu variația acizilor humici (a) și apariția compoziți petrografici ai turbei (b) la turbăria Poiana Stampei – Pilugani.

Diagramme de la variation des acides humiques (a) et apparition des composants pétrographiques de la tourbe (b), dans la tourbière de Poiana Stampei – Pilugani.

maximă de acizi humici (51,37 %) o întâlnim la adâncimea de 3 m, unde încep să se individualizeze compoziți petrografici cități.

E g l i n t o n, M u r p h y (1969) prezintă formulele structurale ale celulozei, ligninei, acizilor humici și vitrinitului (fig. 21). Ei demonstrează că trecerea de la celuloză (a) și lignină (b) la acizi humici (c) este un rezultat al activității microbacteriene, iar trecerea spre vitrinit (d) se produce prin polimerizarea acizilor humici.

#### V. UTILIZAREA TURBEI ȘI NĂMOLULUI DE TURBĂ

Datorită azotului pe care îl conține, a capacitatei de schimb cationic, a unui *pH* optim, precum și a proprietății de a menține umiditatea solului mult timp, turba de la Pilugani – Poiana Stampei este deosebit de solicitată în țară și străinătate ca îngrășămînt agricol.

Proprietățile agrochimice ale turbei din toate cele 3 orizonturi din turbăria menționată, o recomandă ca îngrășămînt și în horticultură.

Recent în unele țări (Franța, Norvegia și Polonia) s-au executat din turbă ghivece nutritive care dau rezultate excelente în legumicultură (răsadurile se dezvoltă cu 2–3 săptămâni mai repede decât în mod obișnuit). Și la noi în țară a început folosirea acestor ghivece (Jivy pots) dar după părerea noastră numai introducerea unor linii tehnologice poate asigura valificarea superioară a turbei brute.

În vederea măririi potențialului de fertilizare a solului, s-a încercat tratarea turbelor cu diferite substanțe chimice și îndeosebi cu amoniac (A n g h e l, C a r a n d a, 1973). În acest fel se obține o îmbogățire a materialului în humăți de amoniu, substanțe mult mai folositoare decât sărurile anorganice de amoniu.

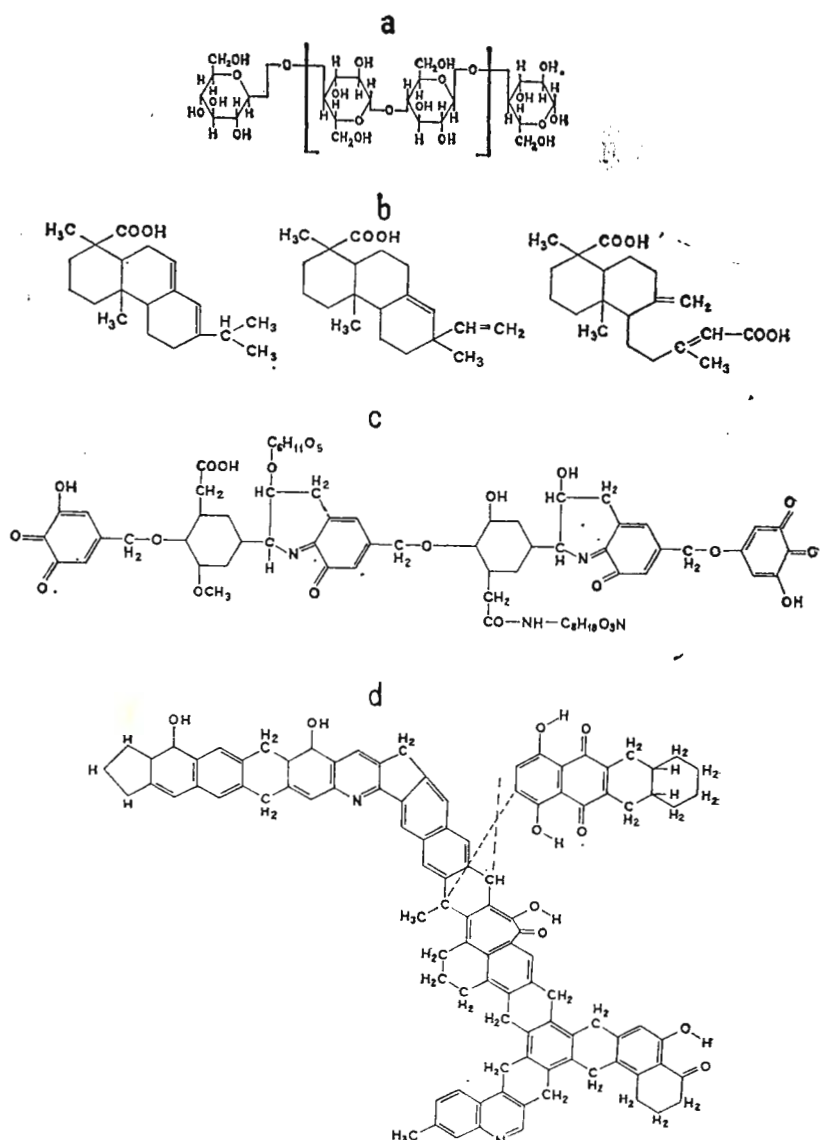


Fig. 21. Formulele structurale ale celulozei (a), ligninei (b), acizilor humici (c) și vitrinitului (d).

Formules structurales de la cellulose (a), de la lignine (b), des acides humiques (c) et du vitrinite (d).

În afară de sectoarele agricol și horticul, turba se utilizează în U.R.S.S. pentru producerea de mase plastice; în R.F.G. se folosește la obținerea de plăci termo-izolante, apreciate mult pentru greutatea lor mică, iar în Polonia turbele oligotrofe, situate în zona lacurilor Mazuriene și în zona Karaska, servesc la industria electrozilor și a cerurilor.

Nămolul de turbă, prin compoziția și proprietățile curative este folosit în tratamentul balneologic. Prin conținutul în substanțe oestrogenice, nămolul poate fi folosit în industria farmaceutică în producerea unor medicamente cu acțiune stimulativă asupra metabolismului.

#### VI. CONCLUZII

Din studierea celor 12 turbării situate între rîul Dorna și pîrul Teșna, s-a ajuns la următoarele concluzii mai importante:

Cei mai însemnați factori care au contribuit la formarea turbei au fost: existența unui climat propice cu multă umiditate, prezența unor zone morfologice cobești; existența unui strat bazal impermeabil argilos. Toate aceste condiții au apărut în urma glaciațiunii, în Holocen, iar terasele Dornei și Teșnei, pe care s-au dezvoltat o serie de turbării s-au format în Tardeglaică (Postactic).

Orizontul superior de turbă este format dintr-o vegetație oligotrofă, iar orizontul inferior din vegetație eutrofă; numai la unele turbării a fost identificată și prezența unui orizont mediu format în cea mai mare parte tot din *Sphagnum*.

Pe baza analizelor s-a stabilit vîrsta orizonturilor de turbă din regiunea cercetată. Astfel, orizontul inferior are vîrstă boreală și uneori subboreală, iar orizontul superior este de vîrstă subatlantică.

Analizele chimice au arătat creșterea procentuală a acizilor humici (în special a celor huminici) în raport cu adâncimea.

Maxima de concentrație a acizilor humici coincide cu apariția primilor componenți petrografici ai turbei. Cele mai interesante observații care s-au făcut în acest sens, au fost la turbăriile Pilugani — Poiana Stampei și Grădinița.

Datorită conținutului în metale, cenușa turbei poate fi socotită un indicator geochimic, semnalindu-se prezența staniului, cuprului, plumbului, zincului, cromului, cobaltului vanadiului, molibdenului și germaniului.

Observațiile făcute asupra procesului de turbificare confirmă părerea celor cercetători care consideră acest proces ca o îmbinare între factorii biochimici, ce se manifestă prin activitatea bacteriilor aerobe și anaerobe, cu cei diagenetici, în care un rol important îl are circulația soluțiilor acide și presiunea.

Prin calitățile sale, turba oligotrofă poate fi folosită ca îngrășămînt în horticultură, agricultură, în legumicultură, la producerea de mase plastice și de plăci termoizolatoare, iar nămolul în tratamentul balneologic și la fabricarea unor medicamente.

## BIBLIOGRAFIE

- A m o s o v I. I.** (1964) Composition petrographique des charbons Humiques de l'URSS. *C.R.V. Congres Int. de Sir. et Géol. du Carbonifère.* III, p. 909—916. Paris.
- A n g h e l V., C a r a n d a L.** (1973) Cercetări privind înșurările calitative și tehnologice a turbei din România, *An. ICEMIN*, 14, p. 329—336, București.
- B e n a d e W.** (1954) Mikrobiologie der Moore — Linz — Wien.
- B l u m I.** (1956) Studiu chimic și tehnologic al turbelor din R.P.R. *Anal. Acad. R.P.R.*, VI, 1, 2, 3, p. 67—80 București.
- B o s c a i u N.** (1970) Informația palinologică și mesajul sporopolinic. *Simpoz. de Palinologie. Cluj*, Edit. Acad. București.
- B ü l o w I.** (1929) Handbuch der Moorkunde. I. Allgemeine Moorgeologie. Berlin.
- C o d a r c e a F.** (1966) Unele considerații geologice asupra turbelor de la Pilugani-Poiana Stampei. *Rev. Min.*, 12, p. 550—552, București.
- (1967 a) Considerations sur la présence du l'étain dans la cendre de tourbe de Pilugani-Poiana Stampei. *VIII-eme Congr. de l'Assoc. Carp-Balc.*, p. 205—208, Belgrad.
  - (1967 b) Zăcămîntul de turbă Dersca-Lozna. *Rev. Natura, ser. geol. geogr.*, 4, p. 42—45, București.
- D ö r f l e r K.** (1890) Beiträge und Betrachtungen zur Gefäss-Kryptogamen-Flora. *Osterr. Bot. Zeitschr.* XL, p. 196—302, Wien.
- D o u c e t-P e r r i e r S i m o n n e** (1968) L'alteration supèrgene de la cassiterite, de la wolframite, du beryle et du zircon. Paris.
- D u b o i s G.** (1945) La tourbe, ses origines et ses caractères. *Rév. Sc. Nat. Auvergne*. nouv. sér. 11, 3—4, p. 24—46, Clermont Ferrand.
- (1949) Chemie de la tourbe et des tourbières. Paris.
- E n c u l e s c u P.** (1916) Contribuții la studiul turbei și turbărilor din România. *D.S. Inst. Geol. Rom.*, V, p. 80—86, București.
- E g l i n t o n G., M u r p h y T. M.** (1969) Organic geochemistry. p. 712—715. Springer Verlag, Berlin-Heidelberg-New York.
- H a c q u e t B.** (1788) Neueste physikalische Reisen in den Jahren 1788 und 1789 durch die Dacischen und Sarmatischen oder nördlichen Karpaten. Nürnberg.
- H e r b i c h F.** (1871) Eszakkeleti Erdely földtani viszonyai. *Ao.m.K. Földt. Int. Evk.* I, p. 322—323, Budapest.
- K i m m e l m a n S.** (1971) Turbele din R.S.R. și perspectivele de valorificare. M.M.P. și O.D.P.T., București.
- L a s z l o G.** (1915) A, tözeglápkos elofordulásuk Magyarországon. *A.m.k. Földt. Int. Kiado* 1915. Budapest.
- L e m é e G.** (1946) L'évolution forestière postglaciare dans le massif du Mézenc (Haute Loire). *C.R.Ac.Sc.* 223, p. 956—958, Paris.
- L ü t t i g G.** (1971 a) Lithobiontik, Aufgaben, Gebiet, Tätigkeiten, Zukunft. *Hanov. Geol. Jb.*, 89, p. 575—582, Hannover.
- (1971 b) Ist Moor und Torfforschung heute noch aktuell? Telma. p. 5—9, Hannover.
- M u n t e a n u N.** (1935) Asupra prezenței unei substanțe osterogene în nămolurile terapeutice. *Clujul medical*, XVI, p. 384—385, Cluj.
- M u s i l I. A.** (1965) Petrograficescă isledevanie torfov cac pervoia stadica ugleobrazovaniia. *Sov. geol.*, 7, p. 134—139, Moscova.
- M ü l d o r f A.** (1925) Sphagnum wulfianum Girges. *Bul. Grăd. Bot., Muz. Bot. Univ.* IV, Cluj.
- N y a r a d y E. I.** (1926) Adnotări la flora României II. *Bul. Grăd. Bot., Muz. Univ.* VI, Cluj.
- O b r e j a n u G., S t ī n g ā N., B l ā n a r u V.** (1956) Caracterizarea geochemicală a unor zăcăminte de turbă din R.P.R. *Bul. St. Sect. Biol. St. Agr. Acad. R.P.R.* VIII, 4, p. 809—816, București.
- P o p E.** (1928) Exploatarea turbei și întrebuițarea ei în România. *Bul. Grăd. Bot. Univ. Cluj*, VIII, p. 1—54, Cluj.
- (1929) Spectru polinic al turbei de la Colăcelu-Bucovina., *Întîiul Cong. al Nat. din România*. D.S., p. 357—363, Cluj.
  - (1929) Analize de polen în turba Carpaților Orientali., *Bul. Grăd. Bot. Univ. Cluj*, IX, p. 130, Cluj.



- (1960) Mlaștinile de turbă din R.P.R. Edit. Acad., București.
- Post L. V., Granlung C. (1925). Södra sveriges torvtillgangar I. Ser. C. Arh. Arsbok XIX.
- Potonić H. (1908–1915) Die regenten Kaustobiotithe und ihre Lagerstätten I–III, Abhand. d. Königl. Preussisch Geol. Landesanstalt 1908–1915, III.
- Schwarz W. (1971) Geomicrobiology on „Lithobiontik” basic research and economical, Bombay.
- Semak A. (1954) Geologia regiunii Dorna – Cindreni – Coșna. D.S. Com. Geol., XXXVIII p. 102–178, București.
- (1957) Turbăriile din regiunea Vatra Dornei – Grădinița. D.S. Com. Geol., XIV Bul., 1957, p. 66–80, București.
- Stefureac T. (1949) Cercetări biologice asupra unor specii noi de Splachnaceae din Carpați, Anal. Acad. R.P.R., Secț. geol. geogr. biol. St. tehn. și agric., Mem. 27, București.
- (1953) Ocrotirea unor plante rare pe cale de dispariție în flora R.P.R. Rev. Natura, V, 6, p. 46–55 București.
- Tisu L., Codarcea F. (1968) Despre fuzit și răspândirea sa în cărbunii din România. Bul. geol., 1 1968, O.D.P. M. M. p. 72–91, București.
- Tolpa S. (1952) Contribuții critice la cunoașterea florei R.P.R. Stud. Cerc. St. Acad. R.P.R. Fil. Cluj, III, 1–2, p. 154–169, Cluj.
- Verrier M. L. (1929) Sur la biologie de quelques plantes de tourbières d'Auvergne. C.R Soc. Biol., 102, p. 995, Paris.
- Vierhapper F. (1927) Régionale Moorforschung in Europa. Oesterr. bot. Zeitsh., 76, p. 128–131 Wien.
- Waksman S. A., Stevens K. R., (1928) Contribution to the chemical composition of peat and method of analysis. Soil Science Baltimore, Williams and Wilkins, 26, p. 113–137.
- Weil R. (1946) Les espèces minérales des gisements de combustibles solides. Rev. Scient. 84, 3259, p. 423–427, Paris.

## ETUDE GÉOLOGIQUE DES TOURBIÈRES OLIGOTROPHES ENTRE LA RIVIÈRE DORNA ET LE RUISSEAU TEȘNA (CARPATES ORIENTALES)

(Résumé)

La recherche de terrain complétée avec les études de laboratoire ont permis à l'auteur de faire des observations et de tirer quelques conclusions sur la formation de la tourbe et des tourbières oligotropes du bassin des Dornes (nord-est de la Roumanie).

Ainsi, les tourbières oligotropes entre Dorna et Teșna (bassin supérieur des Dornes) ont provenu, selon l'opinion de l'auteur, d'un stade de transformation en marais topogène, étant déterminées par l'existence de petits lacs avec le fond limoneux, attestés par la présence des sédiments pélitiques qui se trouvent à la base des tourbières d'âge tardéglaciaire.

Le limon pélitique et ensuite le limon organique „gyttja” s'est déposé pendant le boréal, phase après laquelle commence le colmatage du lac à végétation eutrophe, formée de roseau, junc, carex.

La phase de tourbe eutrophe se prolonge même après le boréal jusqu'à la fin de l'atlantique (jusque il y a 5000 ans environ).

Le refroidissement du climat au cours du subboréal et surtout l'accroissement de l'humidité du climat subatlantique ont déterminé la formation rapide des horizons à Sphagnum.

La végétation caractéristique des tourbières oligotropes entre Dorna et Teșna est composée d'Eriophorum vaginatum et Sphagnum auxquels s'ajoute le pinède.

Du point de vue du nombre et de la nature des horizons de tourbe observés à ces 12 tourbières étudiées on remarque que : à la partie supérieure on rencontre, chez toutes les tourbières, un horizon formé de la tourbe où la matière végétale est peu décomposée, de couleur jaunâtre (tourbe de sphagnum). Vers la partie basale de l'horizon supérieur la tourbe commence à avoir une couleur café, la végétation dont la constitue étant plus décomposée et le contenu



en acides humiques plus élevé ; sous l'horizon supérieur suit un horizon moyen qui n'apparaît pas chez toutes les tourbières oligotrophes ; l'horizon inférieur de tourbe est en général d'une couleur plus foncée (noir-brun), étant formé de la tourbe où la matière végétale est plus décomposée et qui contient des acides humiques (en particulier ceux huminiques) en quantité plus grande que dans les autres horizons. Cet horizon est constitué de la tourbe eutrophe, étant le premier horizon qui, chronologiquement, s'est formé dans le lac existent.

Chez la partie basale de l'horizon inférieur, dans la plus grande partie des tourbières (excepté les transformations en marais récentes), on observe la présence du limon organique de tourbe, ayant un chimisme différent du restant de la tourbe et un contenu plus réduit d'acides humiques.

Le soubassement des tourbières est constitué de l'argile.

L'étude microscopique des coupes polies des tourbières de Pilugani-Poiana Stampei et de Grădinița, situées dans la région étudiée, met en évidence la présence d'un détritus humique, de nombreux tissus végétaux ainsi que des lentilles de dopplérinite, composants pétrographiques signalés pour la première fois dans les tourbières de Roumanie.

Des observations faites sur les acides humiques, on a constaté qu'en même temps avec l'augmentation en profondeur du contenu des acides humiques apparaissent également des composants pétrographiques des tourbes.

On estime que la cendre de la tourbe de Pilugani-Poiana Stampei est un indicateur géochimique, due aux concentrations élevées de Sn de 3000 gr/t par rapport aux concentrations de clark de 2 gr/t. Cet élément provient des gisements polymétriques faiblement stanifères du cristallin des Carpates Orientales et s'est accumulé des eaux d'infiltration par l'activité adsorbante des constituants de la tourbe.

Les observations concernant les tourbières entre Dorna et Teșna, surtout les tourbières de Grădinița et Pilugani-Poiana Stampei et Poiana Stampei-Hôtel communal ont permis de considérer le processus de tourbification comprenant deux phases plus importantes :

- a) l'activité biologique des microorganismes, (représentés par bactéries aérobies et anaérobies) se manifeste dans la première phase des processus de formation de la tourbe.
- b) les solutions acides et la pression (facteurs diagénétiques) se manifestent plus intensément dans la deuxième phase de formation de la tourbe.

Les considérations de l'auteur sur le processus de tourbification diffèrent des autres considérations connues jusqu'à présent dans la littérature de spécialité, par le rôle important accordé à la diagenèse dans le processus de tourbification en rapport avec le rôle subordonné attribué auparavant.

L'emploi des tourbes de Pilugani-Poiana Stampei comme engrais pour l'agriculture et horticulture, actuellement, et les possibilités de l'emploi des tourbes de cette région dans d'autres domaines (masses plastiques, isolateurs électriques, isolateurs thermiques, coke de tourbe, et le limon de tourbe dans la fabrication des divers médicaments) confirme l'importance économique de cette substance.





Institutul Geologic al României

## PLANŞA I

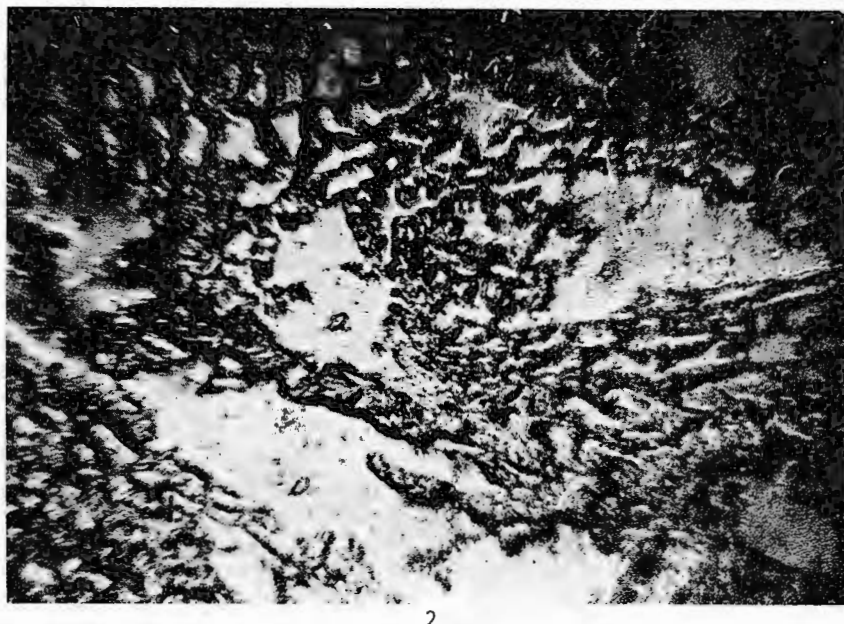
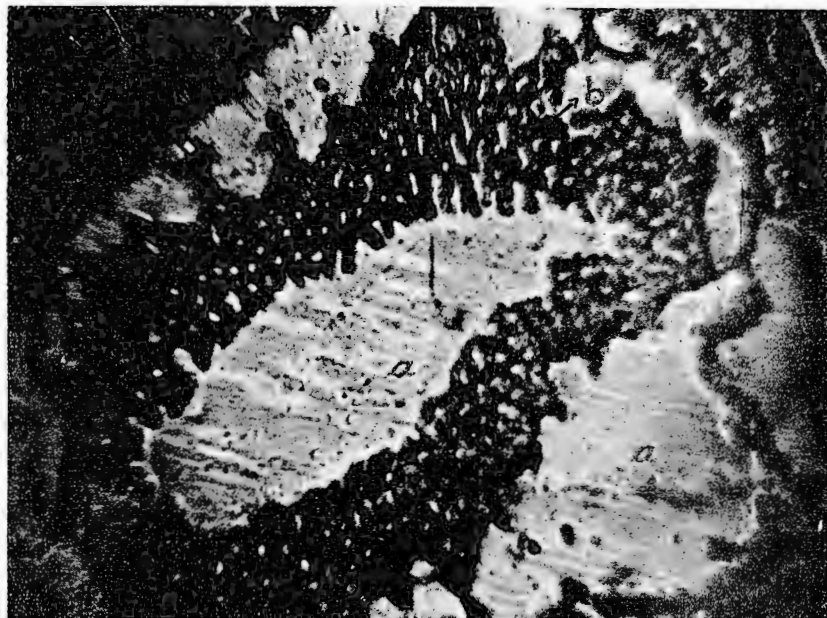


Institutul Geologic al României

## PLANŞA I

- Fig. 1. — Secțiune lustruită printr-un fragment de turbă de la Pilugani — Poiana Stampei :  
a, dopplerinit (gelinit) ; b, țesut vegetal (textinit). N //,  $\times 250$ .  
Section polie d'un fragment de tourbe de Pilugani — Poiana Stampei : a, dopplérinite (gélinite) ; b, tissu végétal (textinite). N //,  $\times 250$ .
- Fig. 2. — Secțiune lustruită printr-un fragment de turbă de la Pilugani — Poiana Stampei :  
a, dopplerinit (gelinit) ; b, țesuturi vegetale (textinit). N //,  $\times 250$ .  
Section polie d'un fraginent de tourbe de Pilugani — Poiana Stampei : a, dopplérinite (gélinite) ; b, tissus végétaux (textinite). N //,  $\times 250$ .





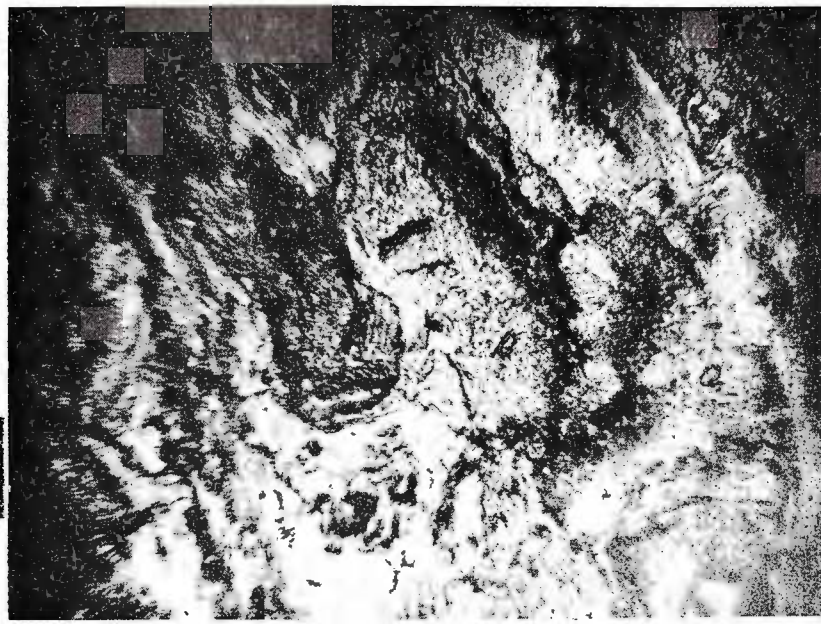
2

Studii tehnice și economice, seria A, nr. 12.

## PLANŞA II

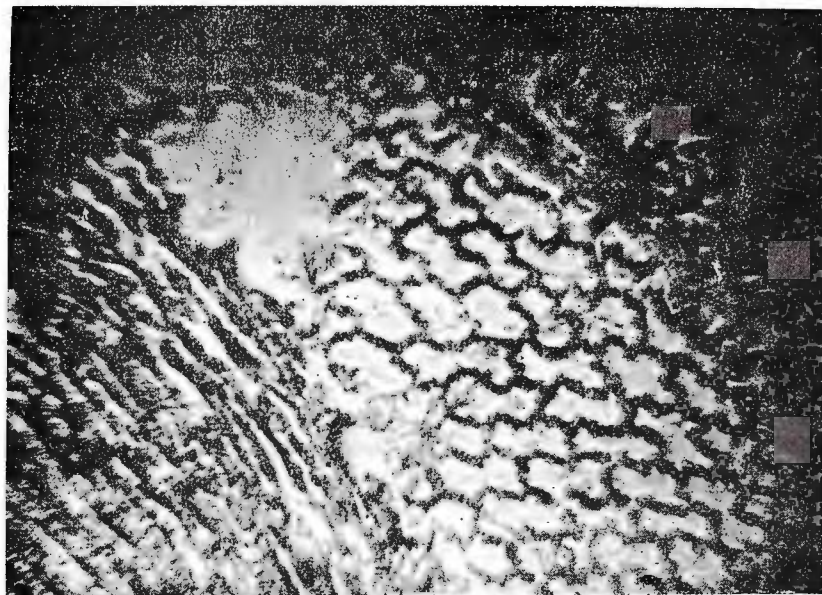
- Fig. 1. — Secțiune lustruită printr-un fragment de turbă de la Grădinița : a, detritus humic (trinit). N //,  $\times 250$ .  
Section polie d'un fragment de tourbe de Grădinița : a, détritus humique (atrinite). N //,  $\times 250$ .
- Fig. 2. — Secțiune lustruită printr-un fragment de turbă de la Pilugani — Poiana Stampei. Structură celulară a țesuturilor vegetale negelifiate (textinit). N //,  $\times 250$ .  
Section polie d'un fragment de tourbe de Pilugani — Poiana Stampei. Structure cellulaires des tissus végétaux gélifiés (textinite). N //,  $\times 250$ .





1

12367



2

Studii tehnice și economice, seria A, nr. 12.

### PLANŞA III

Fig. 1. — *Sphagnum* în turbăria Căsoi.  
*Sphagnum* dans la tourbière de Căsoi.

Fig. 2. — „Cărămizi” de turbă (turbăria Pilugani — Poiana Stampei).  
„Briques” de tourbe (tourbière de Pilugani — Poiana Stampei).



F. CODARCEA. Turbăriile oligotrofe dintre Dorna și Teșna. Pl. III.



1



2

Studii tehnice și economice, seria A, nr. 12.

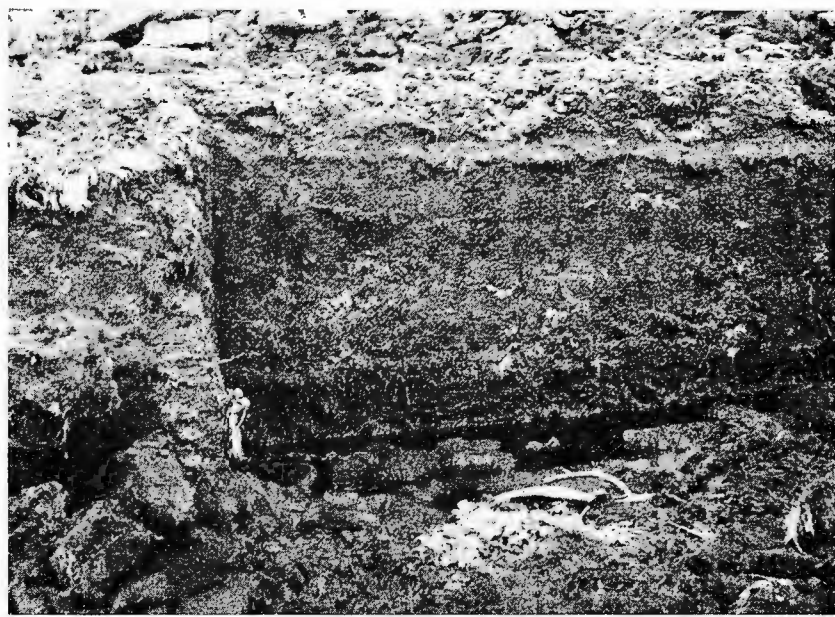
## PLANŞA IV

Fig. 1. — Turbă oligotrofă cu numeroase resturi vegetale (turbăria Pilugani — Poiana Stampei)  
Tourbe oligotrophe à nombreux restes végétaux (tourbière de Pilugani — Poiana Stampei).

Fig. 2. — Orizontul superior de trubă la turbăria Pilugani — Poiana Stampei.  
Horizon supérieur de tourbe à la tourbière de Pilugani-Poiana Stampei.



F. CODARCEA. Turbăriile oligotrofe dintre Dorna și Teșna. Pl. IV.



Studii tehnice și economice, seria A, nr. 12.



Institutul Geologic al României

## PLANŞA V

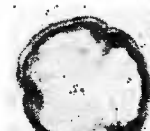
- Fig. 1. — Polen de *Quercus*; proba 3, adincimea 1,50 m × 70; turbăria Grădinița.  
Pollen de *Quercus*; échantillon 3, profondeur 1,50 m, × 70; tourbière de Grădinița.
- Fig. 2. — Polen de *Fagus*; proba 5, adincimea 2,50 m, × 20; turbăria Grădinița.  
Pollen de *Fagus*; échantillon 5, profondeur 2,50 m, × 20; tourbière de Grădinița.
- Fig. 3. — Polen de *Alnus*; proba 4, adincimea 2 m, × 70; turbăria Grădinița.  
Pollen d'*Alnus*; échantillon 4, profondeur 2m, × 70; tourbière de Grădinița.
- Fig. 4. — Nervuri în frunze de *Sphagnum*; proba 8, adincimea 4 m, × 120; turbăria Pilugani — Poiana Stampei.  
Nervures en feuilles de *Sphagnum*; échantillon 8, profondeur 4 m, × 120; tourbière de Pilugani — Poiana Stampei.
- Fig. 5. — 6. — Polen de *Pinus*; proba 9, adincimea 5 m, × 320; turbăria Pilugani — Poiana Stampei.  
Pollen de *Pinus*; échantillon 9, profondeur 5 m, × 320; tourbière de Pilugani — Poiana Stampei.
- Fig. 7. — Polen de *Abies*; proba 4, adincimea 2 m, × 320; turbăria Pilugani — Poiana Stampei.  
Pollen d'*Abies*; échantillon 4, profondeur 2 m, × 320; tourbière de Pilugani — Poiana Stampei.
- Fig. 8. — Spor de *Sphagnum*; proba 7, adincimea 3,50 m, × 400; turbăria Pilugani — Poiana Stampei.  
Spore de *Sphagnum*; échantillon, 7, profondeur 3,50 m, × 400; tourbière de Pilugani — Poiana Stampei.



F. CODARCEA. Turbăriile oligotrofe dintre Dorna și Teșna. Pl. V.



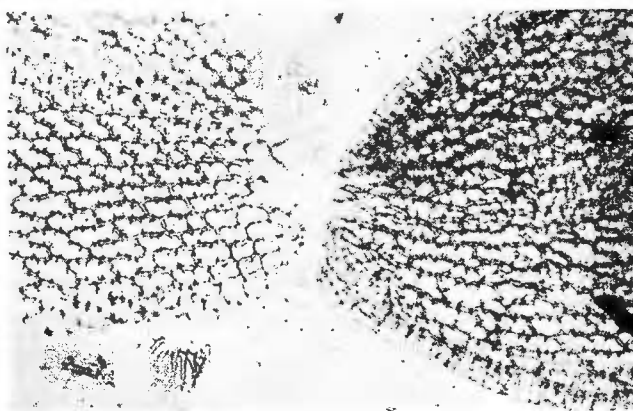
1



2



3



4



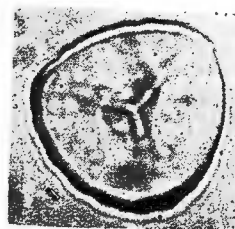
5



6



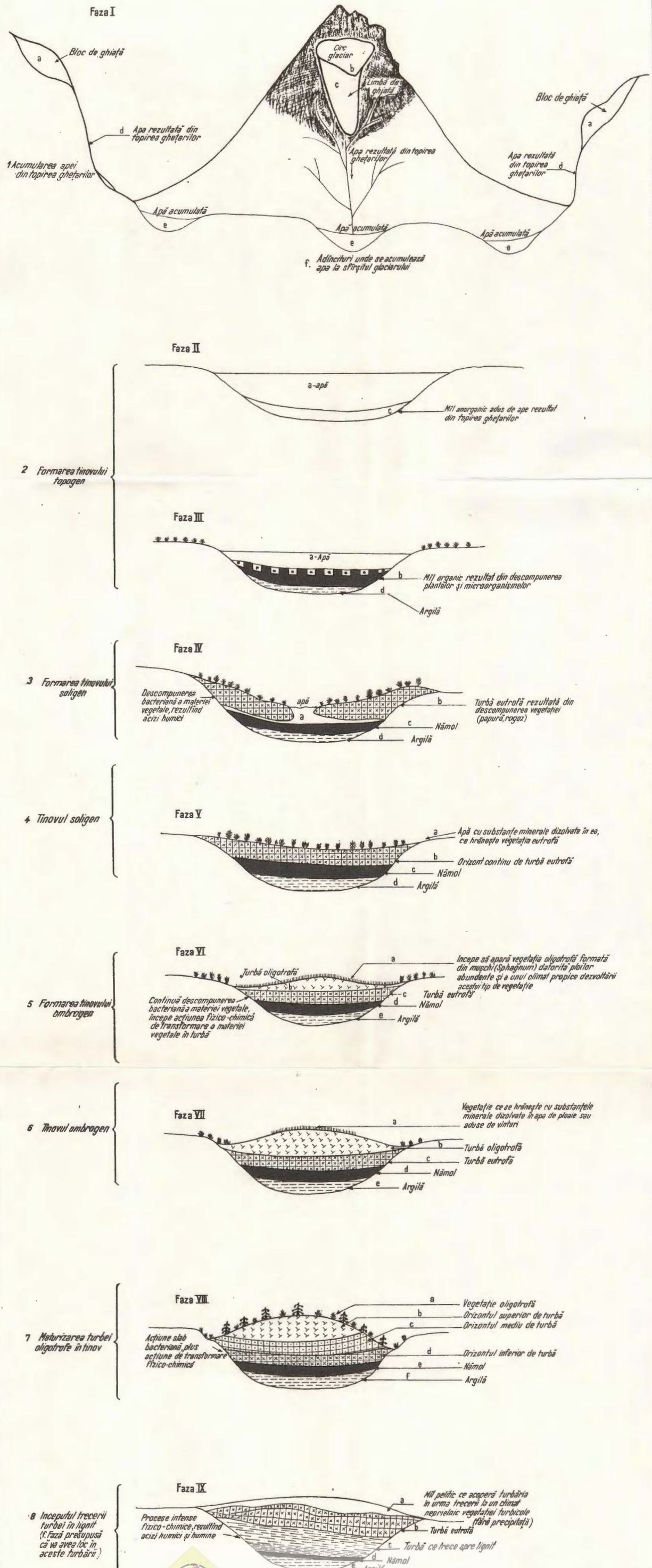
7



8

Studii tehnice și economice, seria A, nr. 12.

# SCHEMA TIP A FAZELOR DE FORMARE A TURBĂRIILOR DINTRE DORNA ȘI TEȘNA



# EVALUAREA ECONOMICĂ A ZĂCĂMINTELOR DE MINEREU ÎN IPOTEZA EXPLOATĂRII LOR ÎN CARIERĂ<sup>1</sup>

DE

ALEXANDRU DIMITRIU<sup>2</sup>

## Abstract

Economic Estimation of the Ore Deposits with a View to Their Mining in the Quarry. In this paper, the author presents the general algorithm of an automatic processing of the technic parameters of open pit concerning the ore mining in the quarry. The system is represented by a set of 12 programmes written by the author in FORTRAN IV. It has been used by means of an IBM 370/135 to the mining projection of three ore deposits in Romania.

Prețul ridicat al metalelor și perfecționarea industriei miniere au determinat o schimbare radicală a conceptului de corp de minereu. Astfel, terenuri cu conținut în metale puțin mai mari decât clarck-ul rocii respective sunt exploatate în scopul valorificării metalelor, ele fiind acceptate ca zăcăminte.

Se observă totodată că în cazul valorificării unor asemenea zăcăminte, profitul la o tonă minereu (rocă mineralizată) este însă foarte mic. Ca o tendință firească, obținerea unui profit însemnat determină creșterea numărului de tone de minereu ce poate fi valorificat zilnic. Evident, producția zilnică poate fi limitată de posibilitățile exploatării în carieră, de transport, de capacitatea uzinei de îmbogățire și de mulți alți factori. În general, ea se dovedește nerentabilă sub 20000 tone/zi, atingând și depășind chiar în unele cariere nivelul de 100 000 tone/zi.

Nivelul ridicat al capacitații de producție determină ca problema profitului să fie examinată cu o atenție specială. Fluctuații neglijabile ale profitului la tona de minereu au foarte repede repercușiuni financiare sensibile. Aceasta se produce deoarece miciile fluctuații se multiplică cu numărul mare de tone de minereu extras și prelucrat zilnic. Dacă ne imaginăm că diferența dintre costul zilnic prevăzut și cel obținut ar fi de

<sup>1</sup> Predată la data de 16 noiembrie 1974, acceptată pentru publicare la data de 18 noiembrie 1974, comunicată în ședința din 22 noiembrie 1974.

<sup>2</sup> Institutul de geologie și geofizică, str. Caransebeș nr. 1 București.



numai 1 leu/tonă, rezultă că pentru o producție de 40 000 tone/zi se modifică costul într-o zi cu 40 000 lei, ceea ce anual va provoca o modificare în bugetul întreprinderii respective de 12 milioane lei. Desigur, asemenea surpriză este foarte neplăcută cînd ea înseamnă o majorare a costului. De aceea luarea deciziei de a exploata asemenea zăcăminte, este o sarcină de mare răspundere a analizei economice.

În ultimul timp, și în țara noastră valorificarea zăcămintelor sărace, îndeosebi de cupru, reprezintă unul din obiectivele căruia i se acordă o deosebită atenție. Ne-am propus ca în această comunicare să prezentăm sistemul de calcul automat ce l-am elaborat pentru fundamentarea analizei economice.

Problema evaluării economice a zăcămintelor în ipoteza exploatarelior în carieră, se plasează la intersecția dintre geologia economică, calculul rezervelor și minerit. Ea însemnă determinarea valorii economice a zăcămintelor în condițiile respectării restricțiilor impuse de către tehnologia minieră.

Partea esențială a problemei o constituie amplasarea optimă a carierei față de poziția corpului de minereu. În acest fel se urmărește să se valorifice o parte cît mai mare din rezervele geologice în aşa fel încît cantitatea de rocă înconjurătoare, nemineralizată, adică sterilul să fie minimă. Aceasta este aspectul principal ce se cercetează și ne oprim la el.

Datele de input sunt reprezentate prin trei fișiere: geologic, topografic și tehnologic – minier.

*Fișierul geologic* conține date asupra dezvoltării spațiale a corpului de minereu și a conținuturilor în metal. El trebuie să asigure reprezentarea în calculator a corpului de minereu atât sub raport cantitativ și calitativ cît și în ceea ce privește poziția lui în teren.

*Fișierul topografic* conține date asupra topografiei terenului în măsură de a permite obținerea unei imagini precise asupra variațiilor de relief. De asemenea el conține coordonatele X, Y, și Z, panta și azimutul lucrărilor geologice și miniere. În fișierul geologic, probele chimice sunt figurate împreună cu codul lucrărilor și distanța de la originea lucrării, care împreună cu datele topografice ale lucrărilor vor servi la calculul coordonatelor fiecărui conținut în metal.

Al treilea fișier, *fișierul tehnologic* conține variantele modelului matematic al carierei. Acest fișier este propus de către proiectantul minier și reprezintă concepția sa asupra exploatarii zăcămintului. El este întocmit pentru a schimba identitatea zăcămintului din obiect geologic în obiect minier.

Fiecare variantă este definită prin următoarele informații: adâncimea carierei, conturul la talpa carierei, conturul la suprafață avîndu-se în vedere unele restricții impuse de căile de acces sau de părăsirea unor zone, de asemenea înălțimea treptelor de exploatare și unghiul de stabilitate a taluzelor. Numărul de variante propuse este pe cît posibil mai mare deoarece determinarea amplasării optime a carierei se concretizează tocmai în alegerea uneia dintre aceste variante.



Dorim să subliniem că obținerea acestor trei fișiere constituie o cehiune delicată și laborioasă. În afara de faptul că trebuie să aibă prețizia menționată, ele trebuie astfel întocmite încât să permită corelarea dintre corpul de minereu, suprafața terenului și modelul carierei. Problema este de altfel mai complexă dacă avem în vedere că în fișierul tehnologic este dat numai conturul carierei la talpă, pe cind dezvoltarea spațială a carierei la diferite nivele ale treptelor de exploatare se obține prin calcul.

Corelarea din punct de vedere topografic a tuturor datelor se asigură prin digitizarea terenului, a corpului mineralizat și a modelului carierei pe baza utilizării unei rețele având originea de coordonate X și Y comună în toate documentele. Se utilizează în general o rețea dreptunghiulară ale cărei dimensiuni sunt direct proporționale cu dimensiunile microsuprafeței ocupate de un caracter al imprimantei calculatorului. În acest fel se obține ușor interpretarea hărților de contur a treptelor afișate cu ajutorul calculatorului, ele având o scară apropiată de scară hărților topografice.

În toate documentele se utilizează 15 machete ale cartelei perforate. Numărul machetelor crește în caz că rezervele geologice au fost separate în mai multe categorii sau, mai ales, dacă zăcământul este exploatat parțial prin lucrări miniere subterane, ca în cazul unuia din zăcăminte studiate (Moldova Nouă) (D i m i t r i u, 1972)<sup>3</sup>.

Etapa de input se continuă cu controlul alfa și logic al cartelelor. Ea se încheie cu scrierea cartelelor pe disc magnetic, organizîndu-le în fișiere pe principiile băncilor de date.

Înainte de a prezenta propriu-zis sistemul de calcul, menționăm unele detalii asupra datelor de output.

Se știe că o carieră este reprezentată printr-o succesiune de trepte de exploatare și că treptele sunt fragmentate în blocuri. Studiul economic are sarcina să evalueze pentru fiecare treaptă următoare parametri economici :

- cantitatea de rezervă geologică ce se găsește în spațiul carierei, deci care poate fi valorificată ;
- cantitatea de metale valorificabilă ;
- conținutul mediu în metale în acord cu legea de distribuție statistică ;
- cantitatea de steril ce se extrage o dată cu rezerva ;
- raportul dintre cantitatea de steril față de cantitatea de rezervă valorificabilă.

Calculul primilor trei parametri cu privire la rezervele valorificabile se repetă prin excluderea succesivă a blocurilor cu conținut în metal mai mic decât un sir dat de conținuturi. Valorile astfel obținute fundamentează recomandarea analizei economice de a se introduce în uzina de preparare fie întreaga cantitate de rezervă, fie numai o parte din rezervă, al cărei conținut în metal depășește o anumită valoare.

<sup>3</sup> Arh. Inst. Geol. Geof. București.

Dacă admitem că calculul propriu-zis înseamnă evaluarea parametrilor amintiți, atunci se poate considera că algoritmul general se realizează în patru mari pași.

Primul pas constă din completarea prin calcul a fișierelor geologic, topografic și tehnologic; organizarea datelor obținute ca fișiere pe discul magnetic. Ne referim la interpolarea cotelor terenului, la calculul coordonatelor X, Y și Z a fiecărei probe chimice și la generarea familiei de curbe ce reprezintă conturul treptelor de exploatare. De asemenea, în această etapă se reunesc rezerve geologice de diferite categorii și, eventual, se determină zonele exploatației din fiecare treaptă.

Pasul al doilea constă fie în repartiția probelor chimice în blocurile în care sunt fragmentate treptele și calculul conținutului mediu în metale a fiecărui bloc, fie în calculul conținutului în metale a blocurilor prin aproximare polinomială.

Al treilea pas se referă la evaluarea parametrilor economici menționați prin chemarea de pe disc a fișierelor și introducerea lor în studiul fiecărei trepte. La baza calculelor stă intersecția rezervelor geologice din treapta curentă cu terenul la cota treptei, în limitele conturului treptei. Valorile obținute se scriu de asemenea pe discul magnetic.

Al patrulea pas, și ultimul, îl constituie editarea valorilor parametrilor economici și a hărților de contur a treptelor prin regăsirea lor de pe disc.

Sistemul de calcul a fost elaborat pe principiile metodologiei folosite în S.U.A. El este reprezentat printr-un pachet de 12 programe ce au fost scrise în limbajul FORTRAN IV de către A. Dimitriu. Exploatarea programelor se realizează la calculator.

Sistemul de calcul prezentat a fost aplicat la studiul zăcămintelor cuprifere de la Moldova Nouă<sup>4</sup> și Roșia Poieni (Dimitriu, 1971)<sup>5</sup>, precum și a zăcămintului de șisturi bituminoase de la Anina (Caransebeș) (Dimitriu, 1973). Rezultatele obținute au fundamentat soluțiile elaborate în studiile tehnico-economice pentru exploatarea în carieră a celor trei mari zăcăminte.

## EVALUATION ÉCONOMIQUE DES GISEMENTS DE MINÉRAIS EN VUE DE LEUR EXPLOITATION EN CARRIÈRE

(Résumé)

L'étude porte sur le problème de la valorisation des gisements de minérais en carrière insistant tout spécialement sur la détermination de l'emplacement favorable de la carrière envers la position du corps de minéral. L'un des aspects principaux est d'obtenir une valeur convenable du point de vue économique du rapport de découverte (rapport stérile/utile).

<sup>4</sup> Op., cit. pct. 3.

<sup>5</sup>, <sup>6</sup> Arh. Inst. Geol. Geof. București.



On présente l'algorithme général d'un système de calcul automatique des paramètres techniques de la découverte, qui influence directement la décision de l'analyse économique. Comme paramètres, mentionnons : réserves géologiques (tonnage, métal) qui peuvent être valorisées par flottation et par leaching, contenu moyen en métal, quantité de stérile. On calcule également les paramètres pour diverses variantes de la géométrie de la carrière, proposées par le technologue minier. Dans le cadre de chaque variante, les paramètres sont calculés par l'enlèvement successive des blocs (où on a divisé les stades d'exploitation) à contenu en métal plus petit qu'une rangée donnée de contenus, pour établir le contenu limite économique.

Le système de calcul emploie comme données d'entrée trois fichiers principaux : topographique, géologique et technologique. La corrélation du point de vue topographique de toutes les données est assurée par la codification du terrain, du corps de minérai et du modèle de la carrière à l'aide d'un réseau tenant l'origine commune des coordonnées X et Y dans tous les documents.

Le système est représenté par un paquet de 12 programmes écrits par l'auteur en FORTRAN IV. Il a été employé par un IBM 370/135 en vue de faire le projet technique de trois carrières de la Roumanie.

## ÎNTREBĂRI ȘI DISCUȚII

P. Vlađ : Pentru cele două zăcăminte amintite, Moldova Nouă și Roșia Poieni, care este capacitatea de producție optimă pentru a realiza o rentabilitate pozitivă la exploatarea lor, rezultată din calculele economice făcute de autor?

Răspuns : Deoarece n-a fost încă avizat, de altfel nici elaborat STE final asupra explorației în carieră a zăcământului Roșia Poieni, apreciem că este prematur să se facă asemenea considerații.

G. Udubașa : Au fost introduse în calcul și datele analitice privind alte elemente decât cuprul, deoarece acestea pot influența decizia privind acceptarea uneia sau alteia din variantele de valorificare?

Răspuns : În cazul STE Moldova Nouă a fost cercetată și economicitatea determinată de conținutul în Mo și S, iar în cazul STE Roșia Poieni, în afară de cupru, se cercetează aportul economic A, S, Mo, Fe magnetic, Au, Ag, Pb și Zn.

M. Borceș : Comunicarea subliniază aportul colectivului de cercetători de la I.G.G. Într-o problemă actuală — stadiul mineralizației de impregnație și rezultatele interesante în luarea deciziei.

Este bine că sunt aduse în discuție și se propun metode de calcul care se abat de la situațiile caracteristice pentru minereurile compacte, concretizate în documentațiile de calcul al rezervelor. Situațiile se deosebesc sensibil și poate fi îndreptățită adoptarea unei noi metodologii de calcul și evidență.

Se recomandă să se facă deosebirea între acumularea de minereu și zăcămînt, zăcămîntul presupunind noțiunea de economicitate. Nu există zăcămînt nevalorificabil sau neexploatabil.

I. Folea : 1. Terminologia adoptată de autor nu corespunde, sub aspectul clasificării, celei oficiale.

2. La calculul rezervelor se ia în considerare un conținut minim limită, determinat în general de conținutul sterilului de la instalațiile de preparare. Detaliile obținute prin calcule statistică-matematice nu pot însă influența calculul de rezerve, dacă se iau în considerare conținuturi inferioare conținutului minim limită.

V. Ianovici : Noțiunile specifice explorației acunulărilor de substanțe minerale utile în carieră comportă acceptării diferite față de noțiunile clasice corespunzătoare explorațiilor în subteran.

La exploatarea în carieră apar cantități de rocă cu conținuturi de metal sub conținutul limită luat în considerare de proiectul de exploatare, cantități care se extrag, dar trebuie lăsate pe haldă ca și sterilul propriu-zis, dar care la un anumit moment poate deveni valorificabil și deci preluat de pe haldă și introdus în instalația de preparare.



Institutul Geologic al României

ASUPRA PREZENȚEI CELESTINEI ÎN DEPOZITELE BADENIENE  
DE LA VALEA SĂRII, JUDEȚUL VRANCEA<sup>1</sup>  
DE  
ILIE HUICĂ, AURA CEHLAROV<sup>2</sup>

Somaire

Sur la présence de la célestine située dans les dépôts badeniens de Valea Sării, district de Vrancea. En 1972, une nouvelle minéralisation de célestine a été révélée le long du ruisseau de Sării, localité de Valea Sării, district de Vrancea. La minéralisation est cantonnée dans la partie supérieure de l'horizon halogène du Badénien, accompagnant les gypses et les calcaires largement développés dans la région.

Cu ocazia unor cercetări pentru sulfuri polimetalice efectuate în zona Andreiașu-Reghiu-Valea Sării, a fost cercetată și o mineralizație de celestină (Huică et al., 1972<sup>3</sup> — fig. 1).

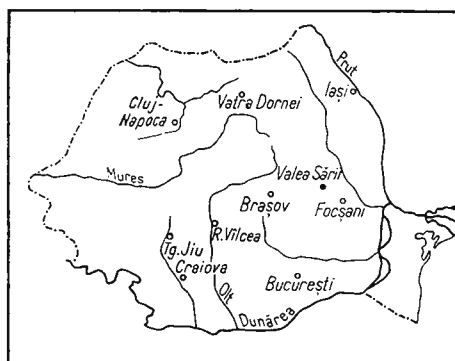


Fig. 1. — Amplasamentul aflorimentului de mineralizație de la Valea Sării — județul Vrancea

Location of the mineralization outcrop from Valea Sării — Vrancea District

Aflorimentul de celestină se găsește situat pe Pîrul Sărăt, affluent stîng al văii Putna, comuna Valea Sării, județul Vrancea (pl. V).

<sup>1</sup> Predată la 20 noiembrie 1974, acceptată spre publicare la 12 noiembrie 1975, comunicată în ședința din 8 mai 1974.

<sup>2</sup> Întreprinderea geologică de prospecționi pentru substanțe minerale solide, strada Caransebeș nr. 1, București 32.

<sup>3</sup> Arh. I.G.P.S.M.S., București

### I SCURT ISTORIC

Regiunea a intrat în atenția geologilor încă de la finele secolului trecut, însă studii sistematice se întreprind abia la începutul secolului al XX-lea, prin lucrările lui Mateescu (1927).

În ordine cronologică, cele mai importante lucrări geologice care se referă atât la regiunea studiată, cât și la regiuni învecinate, au fost elaborate de Dumitrescu (1948), Ciocirdeleanu (1950), Paucă (1952), Alexandrescu, Georgeescu (1962), Rădulescu, Damian (1966).

Date geofizice privind Vrancea de nord-est sunt consemnate în lucrarea lui Botezatu (1959).

O multitudine de date privind geologia, hidrogeologia, geofizica, geochimia, geomorfologia, geografia fizică, etc., se găsesc consemnate în lucrările autorilor: G. și Magda Vasilescu (1968)<sup>4</sup>, Stoica et al. (1971)<sup>5</sup>, Huică et al (1972, 1973)<sup>6</sup>, Geamănu et al. (1967)<sup>7</sup>, Steflea (1972)<sup>8</sup>, Mihăilescu (1973)<sup>9</sup>, Humăet al. (1971)<sup>10</sup>, Grumăzescu (1973), Rădulescu (1937).

În urma cercetărilor geologice amintite s-a detaliat stratigrafia regiunii și s-a precizat poziția unor solzi alcătuși din depozite miocene care se încalcează de la vest la est, dislocația Cașin-Bisoca separând acești solzi care rămân la vest de o zonă homoclinală sarmato-pliocenă, situată în partea de est.

### II GEOLOGIA REGIUNII

În zona de apariție a celestinei de la Valea Sării se dezvoltă depozite badeniene, sarmațiene și cuaternare.

#### A) Badenianul (Tortonian)

Transgresiv peste depozitele orizontului cenușiu al Helvețianului se dezvoltă depozite de vîrstă badeniană care au fost separate pe criterii litologice, geometrice și micropaleontologice în următoarele orizonturi:

**1. Orizontul tufurilor verzi și al gresiei de Răchitașu (Badenian inferior).** În dealul Pleșioarei, situat la sud-vest de ivirea de celestină de pe Pîriul Sărăt, Badenianul inferior este reprezentat prin gresia de tip Răchitașu, de culoare cenușiu-albicioasă, cu diaclaze umplute cu calcit, în bancuri groase de 3—4 metri, separate prin strate subțiri de marne cenușii. La partea inferioară, în masa gresiilor se dezvoltă intercalații de tufuri verzuie, prezintând grosimi de 1—4 metri.

Probele de marne recoltate din stratele de Răchitașu au indicat următoarele specii de microfosile:

*Praeorbulina glomerosa* B l o w ;  
*Praeorbulina transitoria* (B l o w.) ;  
*Orbulina suturalis* B r o n . ;

<sup>4—10</sup> Arh. I.G.P.S.M.S., București

*Orbulina universa d'Orb.* ;  
*Globigerina falconensis B l o w .* ;  
*Globigerina bulloides d' O r b.* ;  
*Globigerina biloba d' O r b.* ;  
*Globigerina apertura (C u s h.)* ;  
*Globigerinoides trilobus R e u s s* ;  
*Globorotalia mayeri (B r a d y)* ;  
*Globorotalia scitula (B r a d y)* ;  
*Globoquadrina altispira (B r a d y)*.

Existența speciilor de *Praeorbulina* și *Orbulina* în asociația de mai sus, datează depozitele respective Badenian inferior (Langian).

**2. Orizontul halogen (Badenian superior).** Formațiunile acestui orizont se dezvoltă în lungul Pîrîului Sărăt pe o distanță de peste 1 km, fiind reprezentat prin sare, gipsuri brecioase și calcare brecioase.

Gipsurile formează uneori strate cu o grosime de pînă la 20 metri, fiind asociate cu calcare gipsifere groase de 1—4 metri, cum este situația pe dreapta Pîrîului Sărăt. Gipsurile prezintă culori maronii, uneori negricioase, avînd o stratificație puțin evidentă și un aspect brecios pus pe seama unor fenomene diagenetice.

Sarea apare la zi în versantul drept al Pîrîului Sărăt, de unde localnicii extrăgeau bulgări de sare albă pentru uz casnic. Sarea din foraj este cenușie, macrogranulară, prezentând și zone de sare albă, curată.

Referitor la vîrstă sării de la Valea Sării, analizele micropaleontologice au arătat că aceasta se găsește situată între gresia de Răchitașu cu intercalății de tufuri verzi, caracterizate prin asociația *Praeorbulina* și *Orbulina* și orizontul marnelor șistoase cu radiolari, care la anumite nivele sunt foarte bogate în radiolari, formînd adevărate lumășele.

Prin atribuirea vîrstei badeniene sării de la Valea Sării, ne raliem punctului de vedere exprimat de Gr. Popescu<sup>11</sup> încă din anul 1952, care citează în gipsurile negre de pe Pîrîul Sărăt pachete de sisturi argiloase cu radiolari și nu putem fi de acord cu vîrsta acvitaniană atribuită de Alexanдреску, Георгеску (1962) prin asemănare cu profilul de pe pîrîul Dălhătașu, unde în adevăr formațiunea cu sare revine Miocenului inferior, stînd normal peste depozitele Oligocenului superior.

La partea superioară a orizontului halogen este localizată și celestina, avînd în bază o brecie gipsiferă, marnoasă, negricioasă, cu fragmente de marnocalcare, iar la partea superioară, pe o linie de falie, o brecie marnoasă, cenușiu-albicioasă, cu fragmente de gresii din stratele de Halos-Sărățel.

**3. Orizontul marnelor șistoase cu radiolari (Badenian superior).** Prezența acestui orizont a fost dovedită în forajul nr. 1 Valea Sării la adîncimea cuprinsă între 10,30—75 metri. Marnele șistoase cu radiolari, de culoare cenușiu-cafeniu-negricioasă, s-au depus într-un mediu euxinic,

<sup>11</sup> Arh. I.G.P.S.M.S., București.

dovadă plajele de pirită și cristalele de pirită cu dimensiuni cuprinse între 2–10 mm existente în masa acestora.

Asociația micropaleontologică caracteristică orizontului marnelor cu radiolari este reprezentată prin următoarele forme :

- Globigerina bulloides* d'Orb.;
- Globigerinoides trilobus* Reuss;
- Cenosphaera favosa* Haekel;
- Cenosphaera vesparia* Haekel;
- Hymenialastrum euclidis* Haekel;
- Rophalastrum malleus* Haekel;
- Spongodiscus mediterraneus* Haekel.

În forajul nr. 2 Valea Sării, în anumite zone din masa marnelor șistoase, speciile de radiolari apar într-un număr foarte mare de indivizi care se prezintă puternic striviti, constituind adevărate lumașele.

**4. Orizontul stratelor de Haloș-Sărătel (Badenian superior).** Orizontul stratelor de Haloș-Sărătel reprezintă o succesiune ritmică de bancuri decimetrice și metrice de gresii cenușiu-gălbui poligene și de marne cenușiu-albicioase. Uneori gresile sunt grosiere, cind se observă cu ochiul liber fragmente de cuarț, feldspat, șisturi verzi. În masa gresiilor se observă uneori fragmente de cărbuni de dimensiuni centimetrice.

Din probele prelevate din intercalătii marnoase de la partea inferioară a stratelor de Haloș-Sărătel de pe Pîrul Sărat – Valea Sării – s-au determinat următoarele specii de radiolari :

- Cenosphaera vesparia* Haekel;
- Rhopalodictyum subacutum* Ehrenberg;
- Spongodiscus mediterraneus* Haekel;
- Dictyocoryne pentagona* Stohr.

Pe baza speciilor de radiolari determinate, considerăm că partea bazală a stratelor de Haloș-Sărătel corespunde părții superioare a orizontului marnelor șistoase cu radiolari.

Din partea superioară a stratelor de Haloș-Sărătel a fost determinată de către Constanța Corobea, Cornelia Cornea o asociație micropaleontologică alcătuită din :

- Valvularia saulcii* (d'Orb.);
- Bulimina elongata* d'Orb.;
- Bulimina aculeata* d'Orb.;
- Uvigerina laviculata* Coey et Rivero;
- Nonion pompilioides* (Fichtel et Moll);
- Nonion commune* (d'Orb.);
- Cibicides pseudoungrianus* (Cush);
- Rhabdammina discreta* (Bradby);
- Dendrophria excelsa* (Grib);
- Haplophagmoides scytulus* (Bradby);
- Globigerina bulloides* d'Orb.;



*Globigerina praebulloides* Bölli;

*Globorotalia scitula* (Brady);

*Spirialis andrussovi* Kittle.

Specia cea mai frecventă în associația de mai sus este *Valvularineria saulci* (d'Orb.); din această cauză micropaleontologii cătați au repartizat depozitele respective Badenianului superior și anume „zonei micropaleontologice cu *Valvularineria saulci*” (d'Orb.).

**3. Orizontul marnelor cu *Spirialis* (Badenian superior).** Stratele de Halos-Sărătel suportă depozite predominant marinoase reprezentate prin : marne cenușii, nisipoase, stratificate, marne cenușiu-vineții grezoase, dure, cu spărtură așchioasă, marne cenușii, fine, foioase, marne fin stratificate, cu filme albicioase, marne cenușii, compacte, cu spărtură concoidală.

Marnele prezintă rare intercalații de marnocalcare (3—5 cm grosime) fine, cenușiu-gălbui și intercalații subțiri de gresii cenușii și rare nivele subțiri de calcit fibros. De asemenea în masa marnelor se observă mici pungi cu sulf prăfos, gălbui și uneori și cristale de sulf.

Conținutul micropaleontologic al marnelor descrise este bogat în cochilii ale pteropodului *Spirialis* în associație cu foraminifere :

*Spirialis hospes* (Röhl);

*Spirialis andrussowi* Kittle;

*Spirialis subtarchanensis* Kittle;

*Miliolina seminulum* (Linné);

*Miliolina akneriana* (d'Orb.);

*Globigerina dissimilis* (Cush. et Bornn);

*Globigerina venezuelana* Heebe;

*Globigerina bulloides* d'Orb.;

*Globigerina falconensis* Blow;

*Globigerinoides conglobatus* (Brady).

Aceste depozite au fost atribuite de cercetătorii anteriori fie Volhynianului, fie unui complex comprehensiv Tortonian-Volhynian (Ciocîrlă, 1950; Rădulescu, Dămani, 1966).

Prin determinarea microfaunei de mai sus depozitele respective aparțin Badenianului superior, respectiv părții superioare a orizontului marnelor cu *Spirialis*.

### B) Sarmațianul

În regiunea cercetată Sarmațianul este reprezentat numai prin subetajul basarabian prezent atât prin orizontul inferior cât și prin orizontul superior.

Orizontul inferior (160 m grosime) este reprezentat prin marne cenușiu-gălbui cu intercalații de gresii și cu lame de calcit fibros. Marnele sunt fosilifere, conținând specii de *Cryptomactra*, cardii-cerastoderme, mactre

Nr. probă	Rezultatul analizelor chimice	Obs.		
			Sr %	Ba %
1	Depozite de terase Pietrișuri cu elemente rulețe de gresii albicioase			
2	Brecie gipsiferă negricioasă	25 61	2,80	0,03
3	Marne șiștoase, fine negri- cioase, compacțe, cu inter- calături subțiri de sist calcaros galben	29 33 35 37 39	<0,01 0,19 <0,01 <0,01 <0,01	0,019 0,024 0,022 0,016 0,013
4	Marne cenușii, negricioase șiștoase, cu radiolari și mici glomerule de celes- tină	45 48 49 67	0,40 0,02 1,3 0,66	0,012 0,08 0,038
5	Marne negricioase cu radiolari și cu marne fine, albicioase	69	<0,01	0,03
6	Marne negricioase cu plaje de pirite(π)	23	34,85	0,17
7	Marne argiloase, negri- cioase, șiștoase, compac- țe cu radiolari	55,65 57	<0,01 <0,01	0,01 0,01
8	Marne negricioase, puțin compacțe			
9	Marne negricioase, com- pacțe cu radiolari			
10	Marne argiloase, cenușii, compacțe			
11	Alternanță de marne cenu- șii fin micacee cu grosimi de 0,1-0,6 m. și gresii cenu- șiu galbeni cu fragmente de plante incarbonizate în strate de 0,05 m.			
12	Gresii cenușii în stra- te de 0,2-4 m. grosime alternând cu marne cenușii micacee în strate de 0,1-1 m. grosime	66 67		

Fig. 2. — Formațiunile tra-  
versate de forajul 1 de la  
Valea Sării.

1, Probă analizată chimic ;  
2, probă analizată petro-  
grafic ; 3, probă analizată  
micropaleontologic

Formations crossed by bo-  
rehole 1 from Valea Sării  
1, Chemically analysed  
sample ; 2, petrographically  
analysed sample ; 3, micro-  
paleontologically analysed  
sample.

- ▲ 1
- △ 2
- 3

mici și modiole. De asemenea statolithele de mysidae (V o i c u) sănt forme caracteristice în marnele cu *Cryptomactra*.

Orizontul superior este predominant grezos, lumașelic cu diferite specii de mactre și de cardiacee :

*Mactra vitaliana vitaliana* d'O r b. ;  
*Mactra podolica* E i c h w. ;  
*Cardium (Cerastoderma) tzankovi* K o j.

### C) Cuaternarul

*Pleistocenul superior* și *Holocenul* reprezintă, în regiunea cercetată, Cuaternarul.

*Pleistocenului* superior ii revin depozitele coluvial-proluviale larg dezvoltate la NNE de gura galeriei nr. 2 Valea Sării iar *Holocenului* i-au fost atribuite depozitele terasei joase, aluviunile recente, conurile de dejecție și porniturile.

### III. CÎTEVA DATE PRIVIND TECTONICA REGIUNII

Depozitele întâlnite în perimetru cercetat fac parte din două unități tectonice distințe : unitatea neogenă internă, unitatea neogenă exterană.

Separarea dintre cele două unități se face prin dislocația Cașin-Bisoca, reprezentată printr-un sistem de 2–3 fali care afectează depozitele tortoniene și sarmațiene.

O ramificație mai estică a dislocației Cașin-Bisoca pune în contact anormal marnele cu *Cryptomactra* ale Basarabianului inferior, cu marnele și gresiile din stratele de Halos-Sărătel (pl. VI).

Numeroasele izvoare sărate, eșalonate pe aliniamentul acestei falii, precum și lipsa Volhyanianului conduc la ideea că această falie este destul de importantă.

### IV. MINERALIZAȚIA DE CELESTINĂ

Mineralizația de celestină are în bază o brecie gipsiferă, marnoasă, cu fragmente de marnocalcare, iar la partea superioară o brecie marnoasă, cenușiu-albicioasă, care cuprinde fragmente de gresii din stratele de Halos-Sărătel. Mineralizația de celestină nu este omogenă, ci prezintă intercalatii lenticulare de brecii șistoase, cu slabă mineralizație de celestină sau pîrîtă de 0,20–6,00 m grosime și cu lungimi de 0,20–10,00 m.

Substanța organică este prezentă atât în masa mineralizației cît și în breciile adiacente, umplind mici cavități cu bitumene sau cu ceruri de culoare negricioasă. Prezența substanței organice se explică prin migrarea hidrocarburilor pe liniile de fractură, frecvente în sectorul mineralizației atât datorită diapirului de sare, cît și datorită dislocației Cașin-Bisoca.

O probă de marnă negricioasă, compactă, provenită din forajul nr. 1 (proba nr. 23 de la m 38,40) analizată pentru natura și conținutul în substanță organică (D u m i t r e s c u) indică următoarea compoziție chimică:

bitum solubil . . . . .	0,102 %	Analiza chromatografică a bitumului solubil:
pierderi la tratare cu HCl . . . . .	33,50 %	hidrocarburi . . . . . 33%
carbon organic . . . . .	0,33 %	ceruri . . . . . 34%
substanță organică insolubilă . . . . .	0,40 %	rășini . . . . . 26%
substanță organică totală . . . . .	0,50 %	asfaltene . . . . . 7%

#### A) Petrografia mineralizației de celestină și a rocilor în care este cantonată

Vom prezenta în continuare, petrografia breciei gipsifere din baza mineralizației, petrografia mineralizației de celestină precum și caracteristicile petrografice ale breciei marnoase cu elemente de gresii de Halos — Sărățel, de deasupra mineralizației (complexul brecios superior).

##### 1. Petrografia breciei gipsifere bazale și a marnelor arenitice și șistoase

a) *Brecia gipsiferă.* La microscop brecia gipsiferă apare constituită din aggregate granoblastice — heteroblastice de gips, care includ filme de minerale marnoase primare, minerale detritice și minerale de neoformație. Frequent, în masa cristalelor de gips se întâlnesc relicte scheletiforme de gips.

Este foarte probabil ca brecia gipsiferă descrisă să fi reprezentat o depunere primară de anhidrit în strate ce alternau cu strate de marne. Fenomene de diageneză au condus la formarea de pseudo-arenite gipsifere și de gipsite secundare.

b) *Marne arenitice șistoase.* La microscop se constată că marnele arenitice șistoase sunt constituite dintr-un agregat criptomicrocristalin de minerale argiloase asociate intim cu calcit, agregat impregnat uniform cu un pigment opac care-i imprimă o culoare brun-roșcată, în lumină naturală.

Analiza termică diferențială (executată de D. T o d o r) indică componenta pigmentului opac: substanță organică greu oxidabilă, sulfuri coloidale și substanță organică ușor oxidabilă. Mineralele argiloase sunt de tipul illitului-montmorillonitului, prezintând o structură interstratificată.

În masa de bază apar frecvent minerale de neoformație reprezentate prin carbonați, sulfati (celestină) glauconit și sulfuri (pirită). Ca minerale secundare se întâlnesc: agregate fibro-radiare de calcedonie, agregate de cuarț petaloid și cristale idiomorfe de pirită.

Fractiunea detritică este reprezentată prin granule de cuarț, feldspat plagioclaz maectat polisintetic și fragmente litice rotunjite (cuarțite, roci marnoase impregnate cu celestină, etc.).



## 2. Petrografia mineralizației de celestină

Macroscopic mineralizația de celestină se prezintă sub 2 aspecte distințe. Marea masă a celestinei prezintă un aspect cenușiu, cu tentă albăstrui, este compactă, omogenă. În masa celestinei se găsesc geode de dimensiuni cuprinse între 2–30 mm tapisate cu cristale de celestină. Uneori celestina prezintă pungi cu substanță organică, asfaltizată.

Al doilea aspect sub care se prezintă mineralizația de celestină este albicioș-gălbui. Celestina de acest tip se prezintă numai în afloriment, ca lentile alungite, de 2–6 m lungime și 0,03–0,30 m grosime.

La microscop se constată că mineralele masei de bază rămân în proporție de aproximativ 10–15 %, predominând mineralele de neoformare care sunt reprezentate prin ascociația : sulfati (celestină), carbonați (calcit), dolomit și sulfuri (pirită).

Celestina apare în agregate de cristale prismatice cu incluziuni opace și de carbonați. Cristalele de celestină prezintă o direcție clară de clivaj, direcție paralelă cu fața de prismă, o extincție paralelă, alungire variabilă, birefringență cenușiu de ordinul I, unghiul  $2V = 55 - 60^\circ$ , biax pozitiv ; indicii de refracție sunt :  $Ng = 1,6320$  și  $Mp = 1,6225$ .

În mineralizația masivă, celestina apare în proporție de pînă la 80% din secțiune.

Mineralele de neoformare din masa celestinei sunt :

*Carbonați* reprezentați prin cristale euhedrale, limpezi uneori ; alteori cu incluziuni fine de sulfuri. Analiza termică diferențială a indicat un calcit slab dolomitic, iar analiza Röntgen (G. N e a c s u, T. U r c a n) un dolomit cu slabe reflexe de calcit.

*Sulfurile* sunt reprezentate prin concrețiuni de pirită.

Mineralele secundare sunt reprezentate prin :

*Gips fibros*, care apare în masa de celestină pe fisuri sau ca insule, *Cuarț*, întilnit în micile goluri din rocă, sub formă de rozete ;

*Carbonat*, sub formă de agregate fibroradiare cu fals dicroism.

Pe lingă mineralele de neoformare, în masa mineralizației de celestină se mai observă la microscop fragmente de roci și minerale cu caracter relict : sisturi argiloase cu structură pelitică silicolite cu structură cripto-cristalină.

Un alt tip de mineralizație întilnit în galeria nr. 2 Valea Sării este mineralizația de celestină secundară, care se formează în golorile rocii și pe fisuri, însotind mineralizația metasomatică, fiind constituită din cristale prismatice alungite, uneori fibroase, dispuse în jerbe. În alte cazuri, cristalele de celestină secundară prezintă o dezvoltare fibroradiară, apărind însotită de pirită sub formă de depuneri colomorfe.

## 3. Petrografia complexului brecios superior

La partea superioară a mineralizației se găsesc marne cenușiu-albicioase, șistoase, cu radiolari care prezintă slabe impregnații de celestină, precum și calcare secundare cu dezvoltare lenticulară, brecii calcaroase și gresii calcaroase.



Brecia calcaroasă este constituită din fragmente angulare de calcare miceritice și calcare grezoase, fragmente care sunt prinse într-o matrice constituță dintr-un calcit granular, matrice care este înlocuită parțial sau total de celestină secundară.

Gresia calcaroasă care formează blocuri de dimensiuni variate în masa breciei, din punct de vedere petrografic este alcătuită din cuart, feldspat, turmalină, fragmente de sisturi cristaline și de roci eruptive intrusive.

### *B) Considerații privind geneza mineralizației de celestină*

Datele obținute prin lucrările miniere și prin cele două foraje executate pînă în prezent precum și analizele petrografice și chimice, permit să se tragă unele concluzii preliminare privind geneza mineralizației de celestină de la Valea Sării.

Condițiile realizate în timpul formării evaporitelor din Badenian (sare gemă, anhidrite, gipsuri, calcare) au fost favorabile înglobării în sedimente a Sr ca element. În mediul de sedimentare Sr provine atât din mineralele de origină magmatică cît și din scheletul unor organisme (celestina alcătuiește scheletul radiolarilor actipyleani, genul *Podactinelus*).

În calcarile și în gipsurile care însoțesc sareea din regiunea Valea Sării, s-a depus Sr ca element odată cu formarea sedimentelor respective. În fenomenele de diageneză Sr eliberat din rețeaua cristalină a anhidritului și a aragonitului a migrat sub formă de sulfat și s-a concentrat dînd lentile stratiforme.

Corpurile lentiliforme întinute atât în galerie cît și în forajul nr. 2 (la adâncimea de 128,50–128,90 m) în masa breciei gipsifere, calcaroase, reprezintă concentrații cu caracter local. În mișcarea ei ascensională sareea a străpuns rocile din acoperiș, pe care le-a rupt în blocuri de dimensiuni variate și care s-au sudat în procesele diagenetice. Astfel se explică existența în masa compactă a mineralizației lentilelor de brecii gipsifere, calcaroase, de dimensiuni metrice, întinute în galeria nr. 2, în care fenomenul de metasomatism prin înlocuire allochimică nu a fost finalizat.

În concluzie, datele obținute pînă în prezent vin în sprijinul supozitiei că mineralizația de celestină de pe Pîrîul Sărat – Valea Sării – este de origină sedimentară, fiind asociată cu calcarale și gipsurile formate în ciclul evaporitic al Badenianului. Fenomenele de diageneză au condus la formarea de lentile stratiforme, în special în zonele de mică rezistență (cu o intensă circulație a soluțiilor apărute în urma mișcărilor tectonice post-Badeniene).

Analizele micropaleontologice au fost efectuate de Constanța Manea, Constanța Corobea, Cornelia Cornea, cărora le aducem călduroase mulțumiri și pe această cale.

## BIBLIOGRAFIE

- Alexandrescu G., Georgescu C. (1962) Asupra formațiunii cu sare dintre Paltin și Valea Sării (Vrancea) *D.S. Com. Geol.*, XVI, p. 193–197, București.
- Botezatu R. (1959) Cercetări gravimetrice în Vrancea de nord-est *D.S. Com. Geol.*, XLII, p. 202–214, București.
- Brana V. (1967) Zăcăminte nemetalifere din România. Edit. Tehn. București.
- Burov V. (1964) Stronții. Obsceaia gheohimicescaia haracteristica. Izd. „Nauca”, Moskva.
- Ciocirdei R. (1950), Le Néogène de la partie méridional du département de Putna. *An. Com. Geol.*, XXIII, București.
- Dumitrescu I. (1948) Le Néogène de la région Cașin-Haloș (Departement de Bacău) *C.R. Com. Géol.* p. 95–111, București.
- Grumăzescu H. (1973) Subcarpații dintre Cilnău și Sușița. Edit. Acad. R.S.R., București.
- Imreh I., Imreh Gabriela (1961) Contribuții la studiul celestinei sedimentare. *Stud. cerc. de geol., Ser. geol.*, VI–2, p. 351–379, București.
- Mateescu S. (1927) Cercetări geologice în partea exterană a curburii sud-estice a Carpaților români. Districtul Rimnicu Sărat. *An. Inst. Geol. Rom.*, XII, București.
- Papiu V. Corvin (1960) Petrografia rocilor sedimentare. Edit. Tehn. București.
- Pancă M. (1952) Depozitele miocene presarmatiene din regiunea de curbură a Carpaților. *An. Com. Geol.*, XXIV, p. 271–302, București.
- Rankama K., Sahamäa (1954) Geochemistry. Edit. Tehn. București.
- Rădulescu I., Dainian A. (1966) Asupra vîrstei straturilor de Andreiașu. *Rev. Petrol. și Gaze*, XVII/7, București.
- Rădulescu N. (1937) Vrancea (Geografie fizică și umană). București.

## ON THE CELESTINE PRESENCE IN THE VALEA SĂRII BÄDENIAN DEPOSITS, VRANCEA DISTRICT

(Summary)

In 1972 there was discovered a celestine mineralization along the Sării Brook, located on the left of Putna, in the Valea Sării locality, Vrancea District.

In this paper the author describes the deposits occurring near the celestine mineralization, on both sides of the Sării Brook. These deposits belong to the Lower Badenian (the horizon of greenschists and the Răchitașu sandstones), the Upper Badenian (the halogene horizon the horizon of radiolaria-bearing schistous marls, the horizon of the Haloș-Sărătel strata, the horizon of the Spirialis-bearing marls), the Middle Sarmatian (Cryptomactra strata) and the Quaternary.

From the tectonic point of view, it is specified the exixstence of an inner (Neogene unit) and an outer Neogene unit separated by the Cașin-Bisoca displacement, represented by a system of fractures which affect the Sarmatian and Tortonian deposits.

The celestine mineralization is further described, data concerning the form and sizes, as results from the mining works carried out at the surface and in the gallery, as well as data referring to the chemism, petrography and genesis of the celestine minetalization are given, too.

The mineralization has a lens-like form; it is about 100 m long, 16 m thick and about 30 m wide. In the basement it has a blackish, marly-gypsiferous breccia with fragments of marly limestones, and, at the upper part, a grey-whitish marly breccia with fragments of breccia from the Haloș-Sărătel strata.

From the chemical point of view, the average contents from all the works of the gallery no 2 Valea Sării are, as follows:  $\text{SrSO}_4 = 40.92\%$  and  $\text{Ba} = 0.93\%$ .

The presence of the bituminous substance within the mineralization mass — which gives a blackish colour to it — is explained by the migration of the hydrocarbons along the fracture lines, due both to the salt diapir and the Cașin-Bisoca diapir.



Under the microscope, celestine occurs as aggregates of prism-like crystals with opaque inclusions of carbonates. These crystals present a clear direction of cleavage, a parallel extinction, a grey double-refractive power of the first order and the angle  $2V = 55 - 60^\circ$ .

Referring to the mineralization genesis, it is pointed out that within the limestones and gypsum accompanying salt Sr deposited as an element simultaneously with the formation of the respective sediments. During the diagenesis phenomena, Sr released from the crystalline lattice of the anhydrite and aragonite migrated as sulphate and concentrated in the zones of fractures, giving stratiform lenses between the salt breccia and the Halos-Sărățel strata.



## PLANSĂ I



Institutul Geologic al României

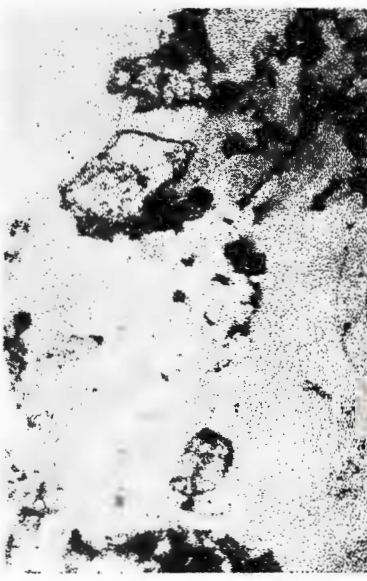
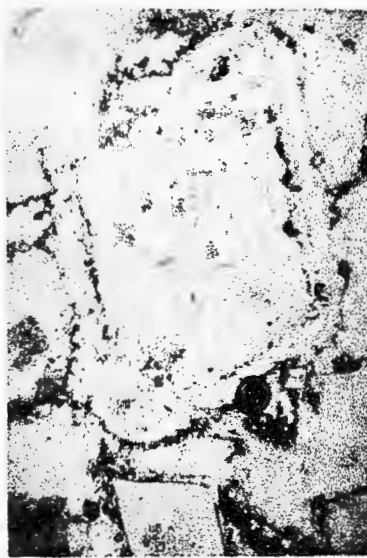
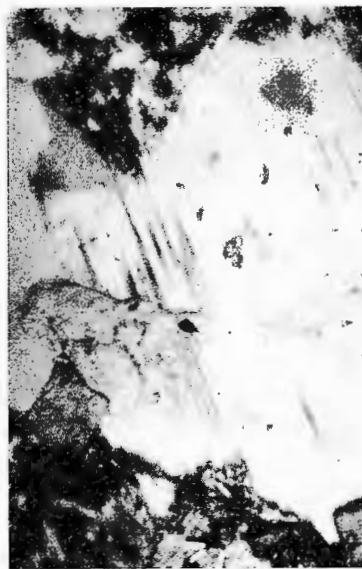
## PLANŞA 1

- Fig. 1. — Gips selenitic cu anhidrit relict. Nic. +, 70 ×.  
Selenite gypsum with relict anhydrite. Nic. +, 70 ×.
- Fig. 2. — Pteudo-arenit gipsifer, cimentat cu gips fibros. Nic. //, 70 ×.  
Gypsum pseudo-arenite cemented with fibrous gypsum. Nic. //, 70 ×.
- Fig. 3. — Calcit de neoformaţiune în gips. Nic. //, 70 ×.  
Neformation calcite in gypsum. Nic. //, 70 ×.
- Fig. 4. — Cristal de celestină pe fisură, împreună cu gips secundar. Nic. +, 3,70 ×.  
Celestine crystal on fissure together with secondary gypsum. Nic. +, 3,70 ×.



I. HUICĂ, AURA CEHĽAROV. Celestina din Badenianul de la Valea Sării.

Pl. I.



Studii tehnice și economice, seria A, nr. 12.

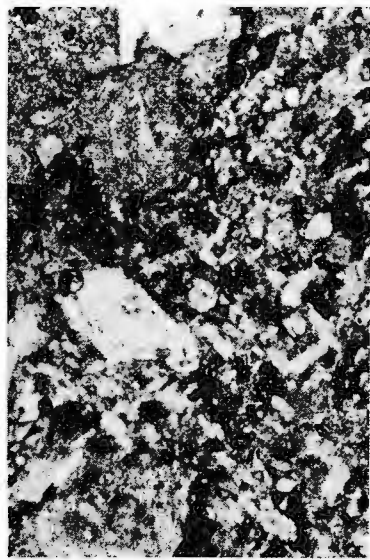


Institutul Geologic al României

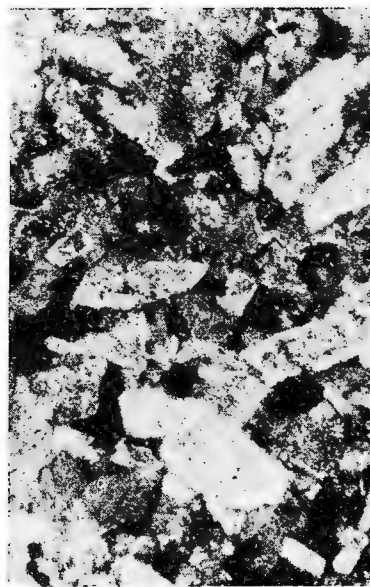
## PLANŞA II

- Fig. 1. — Cristale de celestină dezvoltate într-o masă de calcit fin granular. Nic. +, 70 ×.  
Celestine crystals developed within a fine-grained calcite mass. Nic. +, 70 ×.
- Fig. 2. — Cristale de celestină dezvoltate într-o masă de calcit fin granular. Nic. +, 70 ×.  
Celestine crystals developed within a fine-grained calcite mass. Nic. +, 70 ×.
- Fig. 3. — Agregat de cristale limpezi de celestină. Nic. +, 10 ×.  
Aggregate of limpid celestine crystals. Nic. +, 10 ×.
- Fig. 4. — Agregat de cristale de celestină cu spațiul intergranular ocupat de substanță organică bituminoasă. Nic. //, 10 ×.  
Aggregate of celestine crystals, with the bituminous organic substance filling the intergranular space. Nic. //, 10 ×.





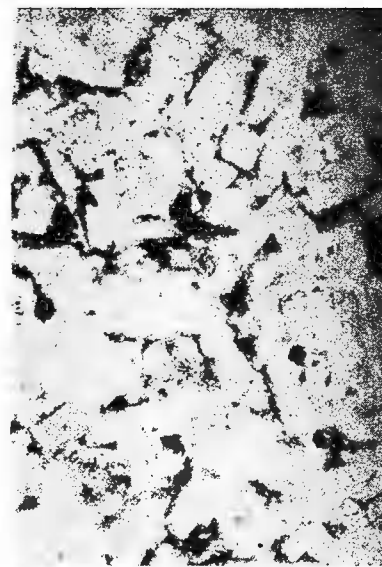
1



2



3



4

Studii tehnice și economice, serie A, nr. 12.

### PLANŞA III

- Fig. 1. — Cristal de celestină cu zone de suprareştere. Nic. //, 70 ×.  
Celestine crystal with overgrowth zones. Nic. //, 70 ×.
- Fig. 2. — Cristale prismatice de celestină. Nic. +, 10 ×.  
Prismatic celestine crystals. Nic. +, 10 ×.
- Fig. 3. — Calcit de neoformăriune în celestină. Nic. +, 70 ×.  
Neoformation calcite in celestine. Nic. +, 10 ×.
- Fig. 4. — Calcar marnos relict în celestină. Nic. //, 70 ×.  
Relict marly limestone in celestine. Nic. //, 70 ×.

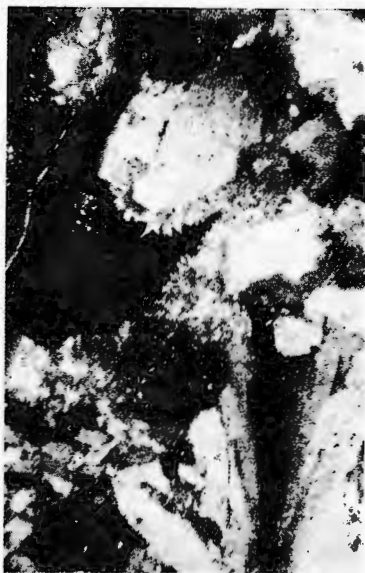


I. HUICĂ, AURA CEHILAROV. Celestina din Badenianul de la Valea Sării.

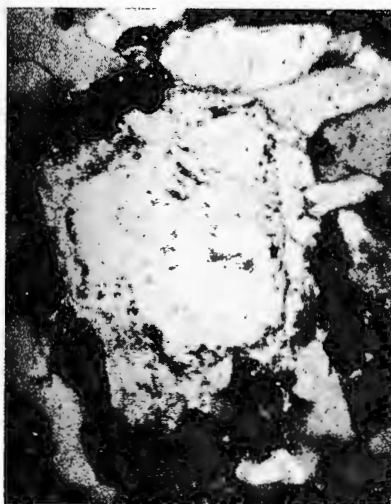
Pl. III.



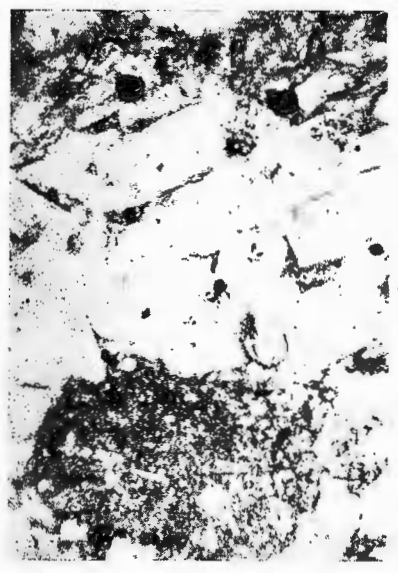
1



2



3



4

Studii tehnice și economice, seria A, nr. 12.

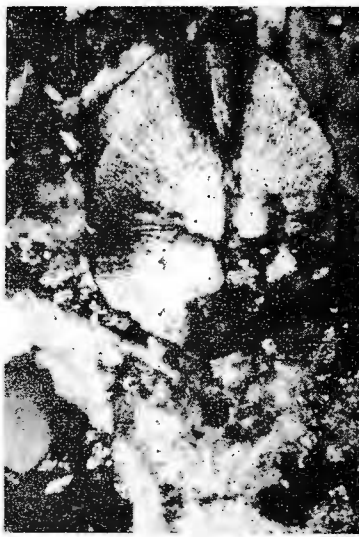
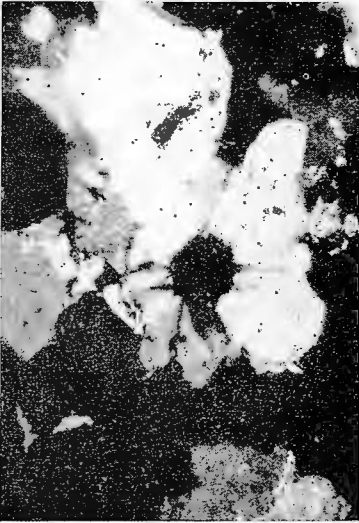
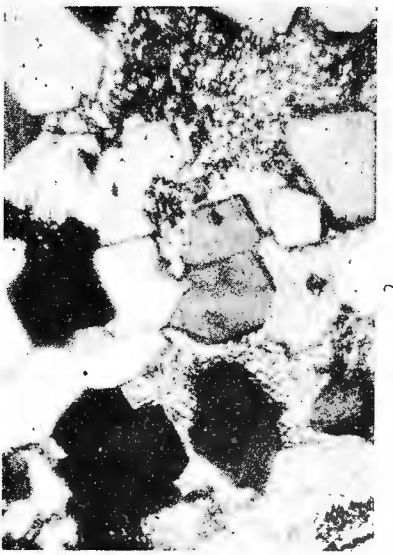
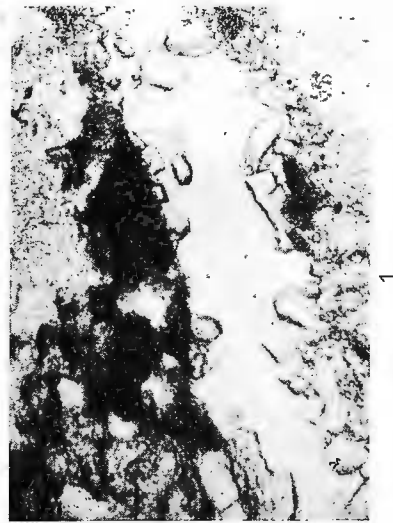
## PLANŞA IV

- Fig. 1. — Gips secundar dezvoltat pe fisuri în celestină. Nic. //, 70 ×.  
Secondary gypsum developed on fissures, in celestine. Nic. //, 70 ×.
- Fig. 2. — Gips secundar în celestină. Nic. //, 70 ×.  
Secondary gypsum in celestine. Nic. //, 70 ×.
- Fig. 3. — Cuarț petaloïd în celestină. Nic. +, 70 ×.  
Petaloid quartz in celestine. Nic. +, 70 ×.
- Fig. 4. — Formațiuni de cuarț și calecedonie în celestină.  
Quartz and chalcedony formation in celestine.



I. HUICĂ, AURĂ CEHILAROV. Celestina din Badeniunul de la Valea Sării.

Pl.IV.



Studii tehnice și economice, seria A, nr. 12.

12/1967

## PLANŞA V

Geological map of the Piriul Sării, Valea Sării region. — Vrancea District.

1, Holocene : a, recent alluvia ; b, alluvial fans ; c, landslides ; d, terrace deposits ; 2, Pleistocene : piedmont deposits ; 3, Sarmatian-Basarabian : Cryptomactra grey-yellowish marls ; 4, Upper Badenian : a, Spirialis marls ; b, horizon with the Halos-Sărățel beds ; c, horizon of the radiolaria schists ; d, blackish gypsum breccias ; e, grey salt ; f, celestine mineralization ; 5, Upper Helvetician : grey marls, reddish marls, yellowish sandstones ; 6, celestine mineralization ; 7, fault ; 8, normal geological boundary ; 9, position of the beds ; a, normal ; b, overturned ; 10, bore hole ; 11a, brine spring ; b, sulphurous spring ; 12, waste ; 13, quarries ; 14, fossiliferous point ; 15, position of the geological sections.

## PLANŞA VI

Geological sections through the Valea Sării bore holes, Vrancea District

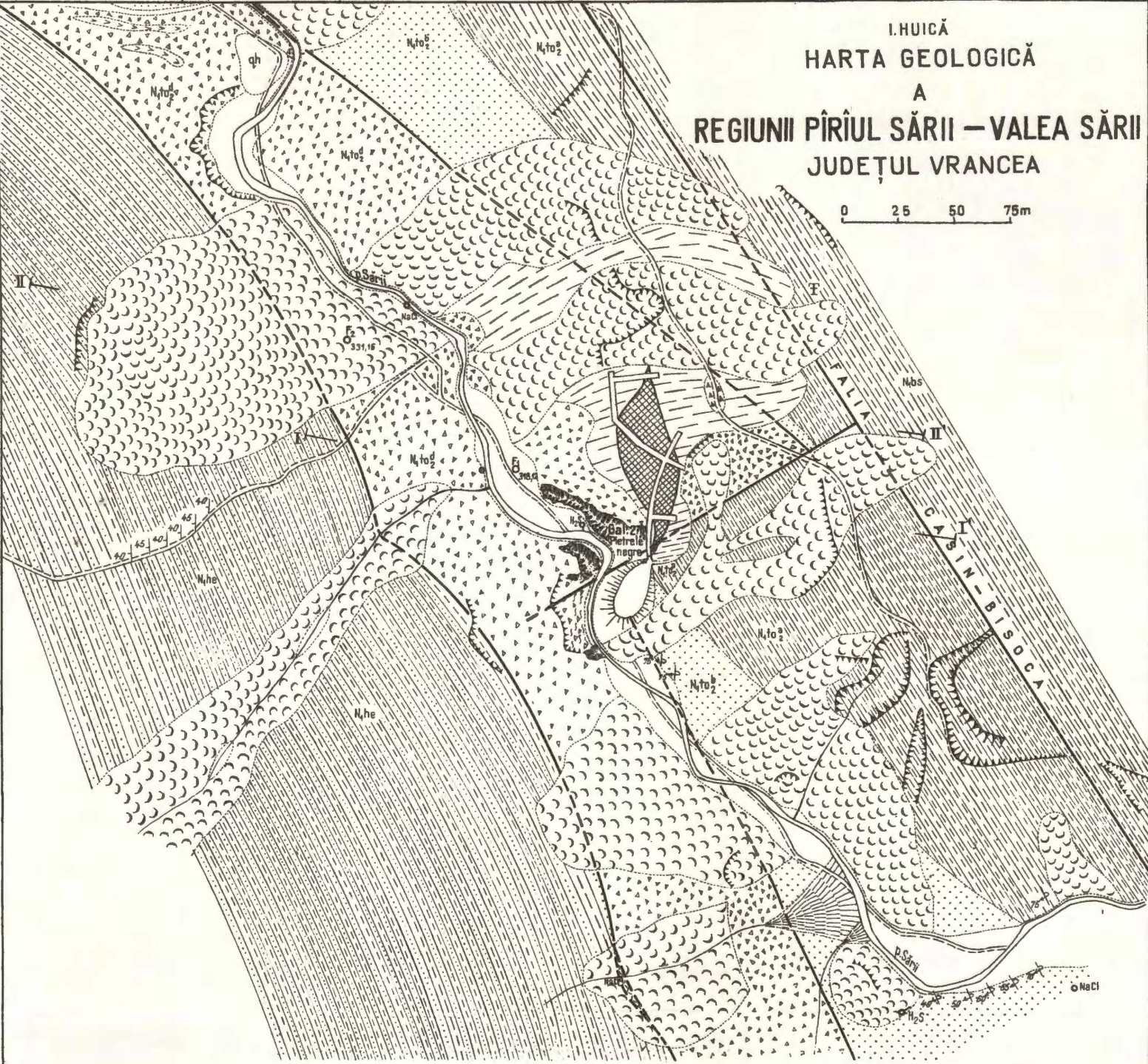
1, Holocene : a, recent alluvia ; b, landslide ; 2, Pleistocene : piedmont deposits ; 3, Sarmatian a, Basarabian : Cryptomactra grey-yellowish marls ; b, Volhynian : grey marls with diaclases filled with calcite ; 4, Upper Badenian : a, Spirialis marls ; b, horizon of the Halos-Sărățel beds, c, horizon of the radiolaria schists ; d, blackish, gypsum breccias, marly-limestones, blackish shales ; e, coarse-grained grey salt ; f, celestine mineralization ; 5, Lower Badenian : (Răchițașu beds) quartz whitish sandstones, cinerites ; 6, Upper Helvetician : grey marls, reddish marls yellowish marls ; 7, celestine mineralization ; 8, fault ; 9, normal geological boundary ; 10, transgression boundary ; 11, diapir contact ; 12, bore hole.



I. HUICĂ  
**HARTA GEOLOGICĂ**

# REGIUNII PİRUL SĂRII – VALEA SĂRII JUDEȚUL VRANCEA

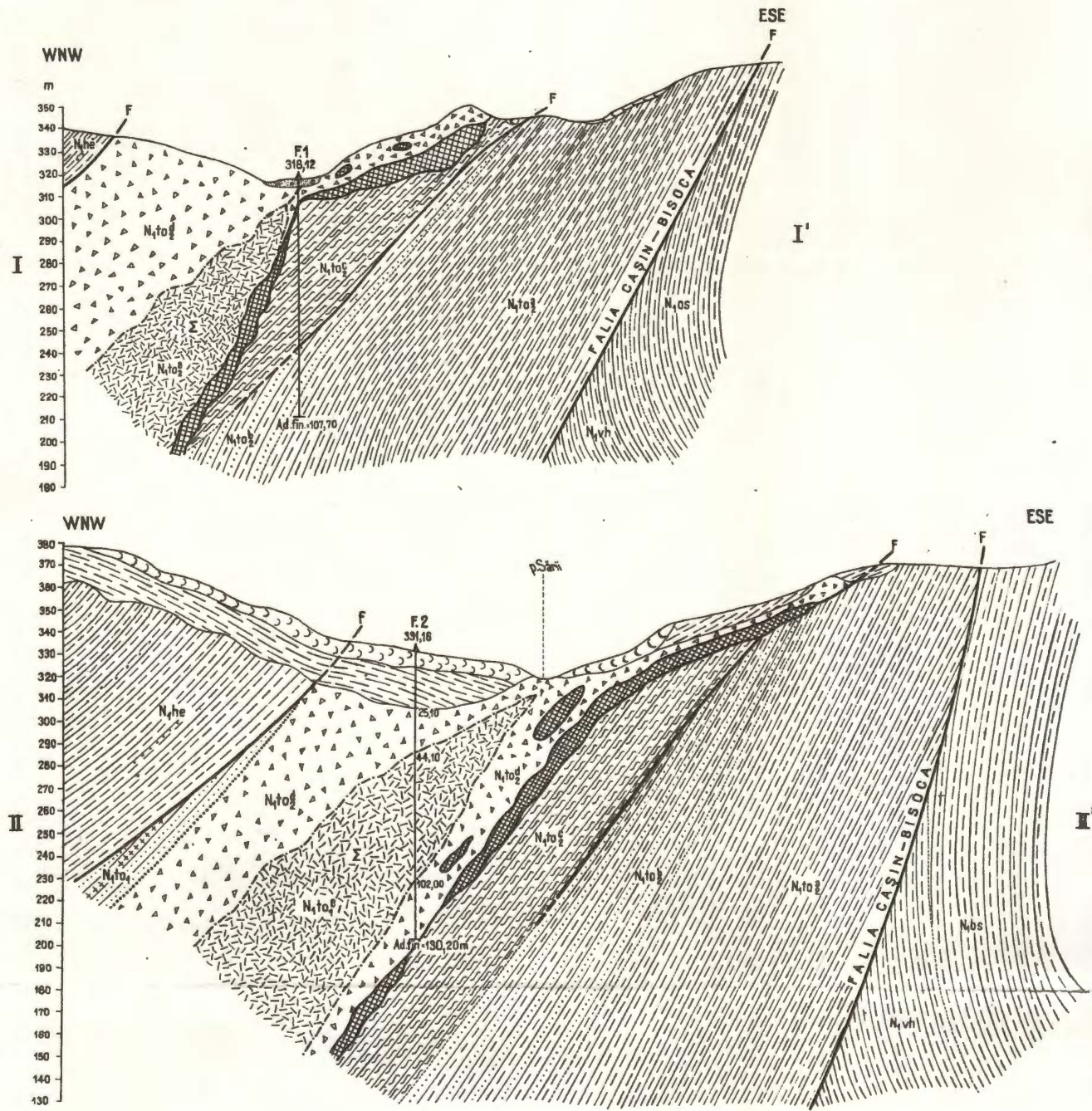
0 25 50 75m



# L E G E N D A

QUATERNAR	HOLOCEN	1		Aluvium recente, a Canuri de dezechilibru, b Pomorii, c Depozite de teresă, d Depozite de piemont	7		Fație
		2		Depozite de piemont	8		Limită geologică normală
NEOGEN	PLEISTOCEN	3		Bessarabian - Marne cenușiu gălbui cu Cryptotomachra	9		poziția străzilor: normală a, resturată b
		4		Marne cu Spirialis, a Orizontul străzilor de Haloc - Sărățel, b	10		Foraj executat
MIOCEN	SARMATIAN	5		Orizontul străzilor cu radiolarii, c Mineralizatia de celestină f Brecii gipsifere, negricioase, d Sare cenușie macrogrenulară, e	11		a: Izvor sărat b: Izvor sulfuros
		6		Marne cenușii, marne roșcăre gresii gălbui	12		Haldă
MIOCEN	BADENIAN SUPERIOR	7		Mineralizatia de celestină	13		Escarpamente
		8		Institutul Geologic al României	14		Punct fosilifer
MIOCEN	HELVETIAN SUPERIOR	9		Positie secțiunilor geologice	15		Positie secțiunilor geologice
		10		Institutul Geologic al României			

**I. HUICĂ**  
**SECȚIUNI GEOLOGICE PRIN FORAJELE**  
**DE LA**  
**VALEA SĂRII, JUDEȚUL VRANCEA**



## L E G E N D A

CUATERNAR	HOLOCEN	1		Aluvii recente a Pornituri b	7	Mineralizatia de celestina
	PLEISTOCEN	2		Deposite de pliemont	8	Falie
NEOGEN	MIOCEN	SARMATIAN	3		Bessarabian - Marne cenușii galbui cu Cryptomactra a Volhynian - Marne cenușii cu dieclaze umplute cu calcar b	9 ..... Limită geologică normală
			4		Marnele cu Spirialis a	10 ..... Limită de transgresiune
MIOCEN	BADENIAN SUPERIOR		5		Orizontul strelelor de haloz-Sărățel b. Orizontul sistrurilor cu radiolarii c, mineralizatia de celestina f. Brecii gipsifere, negricioase, marnocalcare, sisturi ergloase, negricioase g, sare cenușie macrogranulară e Strate de Răchitasy: gresii albicioase, cuartușe, cherite	11 - - - - Contact de diapir
			6		Marne cenușii, marne roșcate, gresii galbui	12 F1 ↑ Foraj executat

**MINERALIZAȚIILE DE SULFURI VULCANOGEN-SEDIMENTARE  
METAMORFOZATE DIN ZONA HÄRLÄGIA ÎN CONTEXTELUL LITO-  
STRATIGRAFIC, MAGMATOGEN ȘI TECTONIC AL SERIEI EPIME-  
TAMORFICE DE TULGHEȘ — CAMBRIAN INFERIOR  
(CARPAȚII ORIENTALI)<sup>1</sup>**

DE

MIRCEA MUREŞAN, GEORGETA MUREŞAN<sup>2</sup>

**Abstract**

Mineralization of Metamorphosed Volcano-Sedimentary Sulphides in the Härlägia Zone within the Lithostratigraphic, Magmatogenic and Tectonic Context of the Tulgheş Epimetamorphic Series-Lower Cambrian (East Carpathians). Compact (Härlägia type) and disseminated (Huruba type) ores of volcano-sedimentary sulphides are intercalated within the epimetamorphic Lower Cambrian formations of the Tulgheş Series. The ores are banded and microfolded: they are stratigraphically, controlled, occurring at levels similar to the „Bălan” and „Fundu Moldovei” ore deposits. The Härlägia type ore is composed of pyrite (32–77%), sphalerite (1.5–2.5%), galena (0.25–10%), chalcopyrite (0–2.5%) and, sporadically, pyrrhotite, tetrahedrite, prustite (?), marcasite, quartz, clorite, muscovite (paragonite?). The described mineralizations are located within the upper complex of the Tulgheş Series, in two horizons. Lithostratigraphic parallelizations between the two sequences of the Tulgheş Series at Härlägia, Fundu Moldovei and Bălan are provided. The mineralizations originated during the „Bălan” and „Fundu Moldovēi” metallogenetic phases, affiliated to the premetamorphic magmatic products (acid and basic), are located within the Tulgheş Series supervened at the end of the Lower Cambrian epoch (Baikalian orogenesis). Several generations of penetrant deformations, grouped into „B<sub>1</sub> tectonics”, „B<sub>2</sub> tectonics” and „S<sub>3</sub> tectonics”, have been also distinguished.

În stiva epimetamorfică cambrian-inferioară a seriei de Tulgheş, din zona Härlägia, se localizează mineralizațiile de sulfuri, dintre care cele din pîrîul Härlägia, după informațiile localnicilor, au fost cercetate în jurul anului 1920, cu mici galerii de coastă.

A. Chelărescu (1953)<sup>3</sup> menționează existența concentrațiilor din pîrîul Härlägia fără a le descrie însă, deși probabil avea o astfel de

<sup>1</sup> Predată la 21 mai 1975, acceptată pentru publicare la 30 mai 1975, comunicată în ședința din 31 mai 1975.

<sup>2</sup> Institutul de geologie și geofizică, str. Caransebeș nr. 1, București 32.

<sup>3</sup> Arh. Inst. geol. geof., București.



intenție, întrucât în colecția sa (aflată la Universitatea „A. I. Cuza” din Iași) se află numeroase eșantioane de minereu precum și preparate microscopice executate din acestea.

În 1958, L u c i a D l u j n e w s c h i<sup>4</sup> menționează blocuri de minereu compact de sulfuri, pe haldele unor vechi galerii surpate, situate către izvoarele văii Hărălgia; se prezintă alcătuirea mineralologică a mineralizației (pirită, blendă, galenă, calcopirită, marcasită, pirotină — descrierea calcografică făcută de Ioana Pop), atribuită unor procese genetice complexe, pirlita fiind sedimentar-premetamorfică iar blendă, calcopirita, galena și tetraedritul fiind depuse din soluții hidrotermale insinuante pe linii de slabă rezistență, create în minereul piroitos în decursul metamorfismului regional, depunerea lor fiind favorizată de rolul catalizator pe care l-ar fi avut pirlita formată anterior.

Mai târziu, în 1964, V. și Maria Puju<sup>5</sup> descriu mineralizațiile din partea superioară a pîriului Hărălgia și din partea mediană a acestuia (ultimele au găsit sub formă de blocuri de minereu compact, pe halda unei vechi galerii), ulterior efectuând cartări petrografice detaliante în zona acestora, împreună cu I. și L u d m i l a Rădulescu<sup>6</sup>.

Aspectele mineralogice și poziția geologică a mineralizației de la Hărălgia au fost discutate într-o notă de către V. și Maria Puju (1967). Autorii deosebesc un antielinal, în partea superioară a pîriului Hărălgia (orientat NW-SE și cu afundarea axială spre NW), pe flancurile căreia se situează mineralizația compactă din zona de creastă și cea situată la cca 600 m mai spre aval pe pîriul menționat; în concepția autorilor, ele aparțin aceluiași nivel stratigrafic. Mineralizația este descrisă ca fiind constituită din pirlita, blendă, galenă, calcopirita, marcasită și sporadic pirotină și tetraedrit. Ordinea de depunere a acestor minerale ar fi: pirlita, blendă, calcopirita, galenă, tetraedrit. Se remarcă conținuturi în Zn de 4–10%, în Pb de 2–5% și în Cu de 0,35–0,65%; în același timp se indică prezența aurului și a argintului. Autorii consideră (întocmai ca și Lucia Dlujnewschi – n.n.) că, concentrația de sulfuri are o geneză complexă, datorită intervenției unor procese sedimentogene, metamorfice și hidrotermale post-metamorfice.

Pe baza rezultatelor geologice obținute în regiune de către autorii menționați, s-au executat prospecțiuni electrometrice (Scurtu, 1966<sup>7</sup>) și geochemice (Buracu, 1965<sup>8</sup>; Tucaliu, 1972<sup>9</sup>) precum și lucrări de explorare, executate de către fostul I.S.E.M. (Minzatu, 1968<sup>10</sup>).

În 1971, A. Fékete, E. Rácz și I. Koczur<sup>11</sup> au pus în evidență, în valea Huruba (la confluența cu pîriul Hărălgia) un afloriment de șisturi cloritoase cu sericit cu diseminări de pirlita și subordonat de blendă, galenă și calcopirita, reprezentând cel de-al treilea punct minera-

<sup>4–6</sup> Arh. Inst. geol. geof. București.

<sup>7</sup> Arh. I.P.E.G., „Harghita”, Miercurea Ciuc.

<sup>8, 9</sup> Arh. I.G.P.S.M.S., București.

<sup>10</sup> Arh. I.F.L.G.S., București.

<sup>11</sup> A. Fékete, E. Rácz, I. Koczur, informație verbală.

lizat în zona Hărlăgia-Huruba ; ulterior, prin lucrările de explorare executate de I.P.E.G. „Harghita”, au fost găsite mineralizații similare (puternic limonitizate) în botul de deal dintre valea Huruba și Pîrîul Argintăria (afluent de stînga al văii Huruba).

Activitatea de prospectiune și explorare în regiune a fost reluată, începînd din 1970, de către I.P.E.G. „Harghita”. Rezultatele obținute prin lucrările de prospectiune și explorare, efectuate în anii 1970—1972, au fost prezentate de K o c z u r et al., (1973)<sup>12</sup>, împreună cu o hartă geognostică detaliată a zonei dintre valea Huruba și Valea Muncelului.

#### A) CARACTERELE MACROSCOPICE ALE MINERALIZAȚIEI

Din cele expuse în partea introductivă a lucrării, rezultă că în regiune se cunosc două tipuri de mineralizații :

1. mineralizații compacte de sulfuri, cunoscute în partea superioară a pîrîului Hărlăgia (sub creasta Hărlăgia) și în partea mijlocie a acestuia ;

2. mineralizații diseminante de sulfuri, cunoscute între confluența văii Hărlăgia cu valea Huruba și botul de deal dintre valea menționată și Pîrîul Argintăria.

#### 1. Mineralizațiile compacte de sulfuri (tip Hărlăgia)

În partea superioară a pîrîului Hărlăgia, la cîteva sute de metri sub creastă, într-o derocare, apare mineralizația compactă (pe o lungime de cîțiva metri, cu grosimi de mai multe zeci de cm), orientată N 45 W. Immediat deasupra corpului de sulfuri apar sisturi clorito-calcitice tufogene cu albit și sericit, cu rare granule diseminante de pirită asociată cu blendă.

La circa 600 m mai în aval de aflorimentul descris, pe un ogaș de dreapta al pîrîului Hărlăgia, pe halda unei vechi galerii surpate se observă blocuri de minereu compact (menționate de V. și Maria Puju în 1964), cu totul similar celui care apare mai sus pe vale.

Minereul compact are textura masivă, uneori fin stratificată, aspect ce rezultă din alternanța de sulfuri compacte cu strălulete în care apar cuarț și clorite asociate cu sulfuri. Alteori, rubanarea rezultă din alternanța zonelor pirotoase cu zonele cuarțoase cu pirită fin diseminată care le dă culoarea neagră. Portiunile pirotoase se remarcă prin creșterea profiroblastică a unor indivizi de pirită în matricea măruntă pirotoasă. Uneori, în minereul compact pirotos fin rubanat se observă cuarț mobilizat sinmetamorfic.

Rareori, se observă microcute în minereu care trădează deformarea sinmetamorfică a acestuia. În aceste cazuri, se observă tendință de îngroșare în șarnieră a materialului cutat.

Structura minereului este grăunoasă cu tendințe porfirice, care rezultă din prezența în matricea fin pirotoasă (asociată cu blendă, galenă și calcopirită) a unor porfiroblaste (de 3—5 mm) de pirită cu contururi hipidiomorfe și chiar idiomorfe.

<sup>12</sup> Arh. I.P.E.G. „Harghita”, Miercurea Ciuc.

Proportiile mineralelor metalice sunt : pirită 32—77 %, blendă 1,5—25 %, galenă 0,25—10 %, calcopirită 0—2,5 %, sporadic pirotină, tetraedrit, marcasită (ultimele trei minerale sub 1 %).

Pirita se prezintă în general ca indivizi hipidiomorfi și rar idiomorfi, care constituie frecvent agregate și benzi, orientate adesea după vechea stratificație a minereului. Acest mineral, adesea fisurat și zdrobit, este cimentat de blendă, galenă și tetraedrit.

Blenda, cu contururi mereu alotriomorfe, se insinuează printre granulele și agregatele pirotoase, precum și în fisurile acestui mineral. Citeodată, în blendă se observă apariții mici, neregulate, de calcopirită ce par a constitui dezamestecuri (este posibil ca acestea dezamestecuri să fi survenit la scăderea temperaturilor care au însoțit metamorfismul regional).

Galenă, sub formă de filonașe și mici plaje, cimenteaază pirita și uneori blenda. În unele cazuri, galena constituie mici granule sau mici plaje situate în zonele periferice ale blendei. Galena se asociază relativ frecvent cu mici filonașe de tetraedrit.

Calcopirita constituie filonașe, mici plaje și granule alotriomorfe, asociate blendei, galenei sau constituind cimentul piritei.

Pirotina, sporadică în minereu, apare ca granule, aproximativ echigranulare, în masa blendei sau galenei. Marcasita, rar întâlnită, constituie agregate asociate piritei și blendei.

Cuarțul apără de obicei în benzile mai sărace în sulfuri și constituie agregate pavimentoase (mozaică) ce sugerează prezența unor geluri recristalizate metamorfice. Uneori, acest mineral prezintă extincție ondulatorie, trăind deformăriile suferite după formarea sa. În unele cazuri, se observă „umbre de presiune”, constituite din indivizi de cuarț alungiți, dispusi oblic sau perpendicular pe fețele de cub ale piritei idiomorfe, alungire care se face paralel cu slaba șistozitate metamorfică a minereului. Menționăm de asemenea prezența unor filonașe concordante sau discordante față de stratificația minereului, constituite în principal din cuarț, căruia î se asociază citoedată clorit, calcopirită și galenă; aceste filonașe reprezintă mobilizări hidrotermale-metamorfice.

Cloritul, sub formă de pajete, asociat uneori cu sericitul, constituie în unele cazuri lame în masa minereului, contribuind la aspectul fin stratificat și citoedată șistos al acestuia din urmă. Uneori, cloritul constituie „umbre de presiune” în jurul piritei.

Aspectele structural-mineralogice prezентate mai sus reflectă comportarea minerelelor constitutive în decursul recristalizării metamorfice, în cadrul unui minereu bogat în minerale „dure” (pirita) care au obligat mineralele mai „moi”, cu putere de recristalizare mai mică (blendă, galenă, calcopirită, tetraedrit) să ocupe și să se insinueze în spațiile neregulate dintre granulele de pirită precum și pe fisurile acestora, dind astfel impresia că ar apartine unei generații mai noi. În realitate, toate aceste minerale sunt contemporane între ele, aparținând acumulării inițiale vulcanogen-sedimentare și care, supusă metamorfismului regional, s-a transformat în minereul predominant pirotoase, cărora li se asociază mici cantități de blendă, galenă, calcopirită și tetraedrit.

## 2. Mineralizații diseminate de sulfuri (tip Huruba)

În zona văii Huruba, în versantul stîng al acesteia, începînd imediat din amonte de confluența cu pîrîul Hărălgia și pînă în zona confluenței cu Pîrîul Argintăria, apare o mineralizație localizată în șisturi sericitoase cuarțoase cu clorit, sub formă de benzi subțiri și diseminări stratiforme predominant pirotoase, cărora li se asociază mici cantități de blendă, galenă, calcopirită și tetraedrit.

Aspectul textural al minereului este rubanat; uneori se observă microcute în acesta, arătînd deformăriile la care a fost supus. Sub microscop și



cu ochiul liber, se observă pirită, frecvent idiomorfă și hipidiomorfă, localizată sub formă de granule și agregate într-o gangă cuarțoasă cu sericit și ceva clorit. Blenda și tetraedritul sunt asociate foarte strâns, cu aspect de dezamestecuri; ele constituie mici granule sau filonașe subțiri.

#### B) CARACTERELE GEOCHIMICE ALE MINERALIZAȚIEI

Actualmente, dispunem de 25 de analize chimice (22 analize parțiale și 3 analize globale), referitoare la mineralizațiile din regiune, dintre care, majoritatea (23 analize) se referă la minereurile de tip Hărălgia, asupra celor de tip Huruba având doar două analize informative (tab. 1,2 și 4). Această situație face posibilă discutarea geochemicală numai a mineralizației aparținând primului tip menționat. Analizele au fost preluate din rapoartele elaborate de către Lucia Duljenewski<sup>13</sup> (2 analize cu indicele 58), de V. și Maria Puicu<sup>14</sup> (8 analize cu indicele 64), de V. Puicu et al.<sup>15</sup> (8 analize cu indicele 65) și de I. Koczur et al.<sup>16</sup> (4 analize cu indicele 73); 3 analize (cu indicele 74) s-au făcut pe probe de minereu recoltat de noi.

În toate probele de care dispunem au fost determinate plumbul zincul și cuprul; sulful, aurul și argintul au fost dozate în mai mult din jumătatea cazurilor. În probele în care s-a determinat sulful, s-a putut calcula fierul normativ, întrucât determinările microscopicice arată că în mod practic, în minereu, numai calcopirita și pirla sunt minerale în componența cărora intră acest element.

Sulful, apărând mereu în cantități apreciabile (22,23–42,76%), este elementul preponderent în minereu; el provine în principal din pirită, blendă, galenă, calcopirita și cu totul subordonat din pirotină, marcasită și tetraedrit (minerale care în ansamblu nu depășesc 1% din masa minereului)<sup>17</sup>.

Fierul (calculat normativ), în proporții de 15,34–35,55%, are practic o dublă proveniență: din pirită (fierul din acest mineral atinge 15,34–35,42% din masa minereului) și din calcopirita (fierul legat în calcopirita = 0,12–0,79% din masa minereului); în raport cu celelalte metale, fierul este cel de-al doilea element preponderent în minereu.

Zincul, care apare, în ordine descrescăndă, ca cel de-al treilea constituent chimic major al probelor analizate, atinge proporții de 0,26–17,20%; el provine numai din blendă.

Plumbul, cantitativ al patrulea element major al minereului, constituie 0,21–7,02% din masa acestuia și provine numai din galenă.

Cuprul, prezent în majoritatea probelor analizate, apare în proporții mereu mai mici de 1% și provine în majoritate din calcopirita și cu totul subordonat din tetraedrit; în cadrul elementelor majore, acest element ocupă locul al cincilea, cu mult în urma plumbului și zincului.

Argintul apare ca element minor în minereul compact în proporții de 44,5–285,80 p.p.m. și provine probabil dintr-un mineral argentifer, neevidențiat microscopic; întrucât, după cum se va vedea mai departe, există o tendință de proporționalitate între plumb și argint, s-ar putea trage concluzia că suportul mineralologic al argintului însoțește galena, putind fi, în acest caz, prusitul, ținând seama de arsenul prezent în minereu (tab. 2).

<sup>13</sup> Op. cit. pct. 4.

<sup>14</sup> Op. cit. pct. 5.

<sup>15</sup> Op. cit. pct. 6.

<sup>16</sup> Op. cit. pct. 12

<sup>17</sup> În eventualitatea că argintul provine din prusit, cantitatea de sulf, legată în acest mineral, este neglijabilă, întrucât argintul apare în cantități foarte mici.



TABELUL 1  
*Compoziția chimică principală a mineralizației compacte de tip Hărălgia*

Nr. probelor	Proveniența	S	Fe*	Zn	Pb	Cu	Ag**	Au**	Zn	Pb	Cu
									Aduse la sută		
13/74	Hărălgia N	26,43	19,44	7,40	2,56	0,69	227,2	4,0	69,48	24,03	6,47
142/73	Hărălgia N	23,38	18,64	2,96	3,71	0,06	—	—	43,98	55,12	0,89
143/73	Hărălgia N	40,50	32,53	4,92	5,27	0,15	—	—	47,58	50,90	1,45
5/65	Hărălgia N	41,00	34,20	1,86	5,80	u	201,4	0,6	24,28	75,71	0,00
6/65	Hărălgia N	38,00	27,42	11,51	6,08	0,65	113,2	0,8	63,10	33,33	3,56
61/58	Hărălgia N	42,76	35,55	4,08	0,21	0,14	44,5	<0,5	92,10	4,74	3,16
65/58	Hărălgia N	22,23	18,12	6,67	1,01	0,38	—	—	65,77	24,87	9,36
1/65	Hărălgia N	36,73	25,15	13,57	8,18	0,90	203,2	0,8	59,91	36,11	3,97
2/65	Hărălgia N	41,82	30,87	11,35	5,77	0,60	101,0	u	64,05	32,56	3,39
3/65	Hărălgia N	38,00	27,02	12,15	7,02	0,16	134,0	0,8	62,85	36,31	0,83
4/65	Hărălgia N	24,50	15,34	11,93	6,92	u	96,0	u	63,28	36,71	0,00
14/74	Hărălgia N	35,17	25,72	10,30	3,37	0,046	81,8	0,4	75,12	24,58	0,33
1/64	Hărălgia N	—	—	0,26	1,82	u	285,8	2,2	12,50	87,50	0,00
2/64	Hărălgia N	—	—	5,23	1,76	0,60	172,0	u	68,90	23,18	7,90
3/64	Hărălgia N	—	—	1,76	1,96	0,41	176,0	1,0	42,61	47,45	9,92
4/64	Hărălgia N	—	—	5,26	5,01	0,34	118,0	<0,5	49,57	47,21	3,20
5/64	Hărălgia N	—	—	1,01	4,40	0,00	180,6	1,4	18,66	81,33	0,00
7/64	Hărălgia N	—	—	4,16	2,95	0,00	108,0	u	58,50	41,49	0,00
9/64	Hărălgia N	—	—	9,90	3,83	0,40	125,6	0,4	70,06	27,10	2,83
7/65	Hărălgia S	42,45	35,93	1,96	2,07	u	257,0	1,0	48,63	51,36	0,00
8/65	Hărălgia S	38,00	25,25	17,20	4,14	0,08	u	u	80,29	19,32	0,37
8/74	Hărălgia S	36,08	26,99	9,50	3,72	0,034	105,4	0,8	71,69	28,07	0,25
107/64	Hărălgia S	—	—	4,60	2,82	0,30	102,0	<0,5	59,58	36,52	3,88

Analizele N/58 după Lucia Dlujnewschi, 1958 (analist Marian Cristea); analizele N/64 V. și Maria Puiu, 1964 (analist Lucreția Anghel); analizele N/73 după I. Koczur et al., 1973 (laboratorul I. M. Bălan); analizele N/74 după M. și Georgea Mureșan (analist Vera Baciu).

\* Fierul legat de sulf este calculat normativ cu excepția probelor 13/74, 14/74 și 8/74.

\*\* Aurul și argintul sunt redate în p.p.m.; u = urme, — = nedozat.

TABELUL 2  
*Compoziția chimică globală a unor mineralizații de tip Hărălgia*

Component	8/74	13/74	14/74	Component	8/74	13/74	14/74
SiO <sub>2</sub>	7,27	19,95	5,68	S	36,08	26,43	35,17
Al <sub>2</sub> O <sub>3</sub>	2,14	6,30	6,56	Fe(S)	26,99	19,44	25,72
Fe <sub>2</sub> O <sub>3</sub>	5,56	6,96	3,28	Zn	9,50	7,40	10,30
FeO	0,00	0,00	0,00	Pb	3,72	2,56	3,37
MnO	0,04	0,05	0,05	Cu	0,034	0,69	0,046
MgO	3,30	6,60	5,50	Ag	105,4	227,2	81,8
CaO	2,94	0,28	2,38	Au	0,8	0,4	0,4
BaO	0,00	0,00	0,00	BaSO <sub>4</sub>	0,00	0,00	0,00
Na <sub>2</sub> O	0,80	0,54	0,53	As*	3000	800	650
K <sub>2</sub> O	0,96	2,16	0,96	Sb*	450	1900	100
TiO <sub>2</sub>	u	u	u	Te*	—	—	—
P <sub>2</sub> O <sub>5</sub>	0,19	0,15	u				
				Suma	99,524	99,51	99,546

Cantitățile de Ag, Au, As, Sb, sunt redate în p.p.m.; telurul nu a fost evidențiat (limita de detecție 10 p.p.m.); \* Analizate spectrografic; Analisti: Eugenia Ioaniteșcu (oxizi, S, BaSO<sub>4</sub>), Vera Baciu (Zn, Pb, Cu), G. Roșca, M. Popescu (Ag, Au), Rodica Safta (As, Sb), Marina Demetrescu (Te).



Aurul, cel de-al doilea element minor determinat, nu depășește 2,2 p.p.m., cel mai adesea fiind sub 1 p.p.m.; datele microscopice nu ne oferă nici o informație asupra provenienței acestui element, care ar putea constitui fie grăunți submicroscopici de aur liber, fie un mineral aurifer.

Rezultatele analizelor chimice globale a 3 probe de minereu de tip Härlägia (tab. 2), în corelație cu datele mineralogice, pot fi interpretate în principal astfel:

a) o parte din  $\text{SiO}_2$  reprezintă cuarțul;

b) o parte din  $\text{SiO}_2$ , o parte din  $\text{Al}_2\text{O}_3$ ,  $\text{Fe}_2\text{O}_3$ ,  $\text{MnO}$  și  $\text{MgO}$  provin din clorit (faptul că tot fierul bivalent în probele analizate este legat de sulf, arată că cloritul este reprezentat printr-o varietate lipsită practic de  $\text{FeO}$ );

c) o parte din  $\text{SiO}_2$ , o parte din  $\text{Al}_2\text{O}_3$ ,  $\text{Na}_2\text{O}_3$  și  $\text{K}_2\text{O}$  provin dintr-o mică de tipul muscovit-paragonit;

d) arsenul provine probabil din prustit, care deși nu a fost evidențiat microscopic, este de presupus a fi în minereu, ținând seama și de participarea relativ ridicată a argintului;

e) stibiul provine din tetaedrit.

Nu am reușit să dăm o explicație mulțumitoare prezenței cantităților notabile de  $\text{CaO}$  în cele 3 analize (în special analizele 8/74 și 14/74), ținând seama de lipsa calcitului și a plagioclazului în probele discutate; nu este cu totul exclus ca  $\text{CaO}$  să provină din mică.

Întrucât în toate probele au fost determinate plumbul, zincul și cuprul, s-a putut întocmi o diagramă triunghiulară pentru a se evidenția că mai clar raporturile dintre aceste trei elemente; astfel diagrama Cu-Pb-Zn (fig. 1) relevă caracterul plumbo-zincifer al minereului, majo-

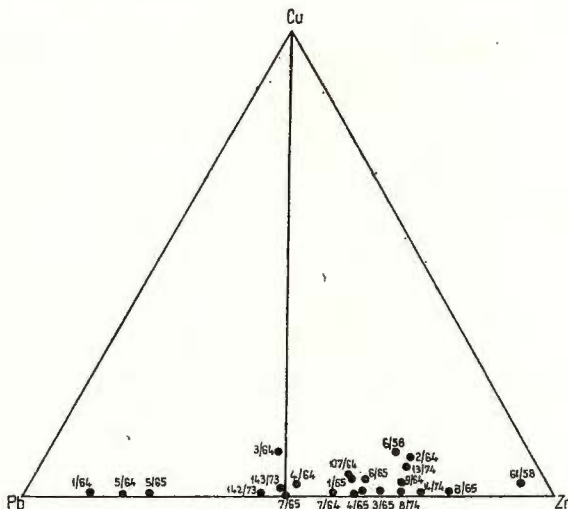


Fig. 1. — Diagrama Cu—Pb—Zn.

Diagramme Cu—Pb—Zn.

ritatea probelor plasindu-se pe latura Pb-Zn sau în imediata apropiere a acesteia; de asemenea, se observă că, în cele mai multe probe, zincul predomină asupra plumbului și că în general probele mai bogate în Zn au

de obicei și conținuturi ceva mai ridicate în Cu, tendință evidențiată și de diagramea Cu-Zn (fig. 2).

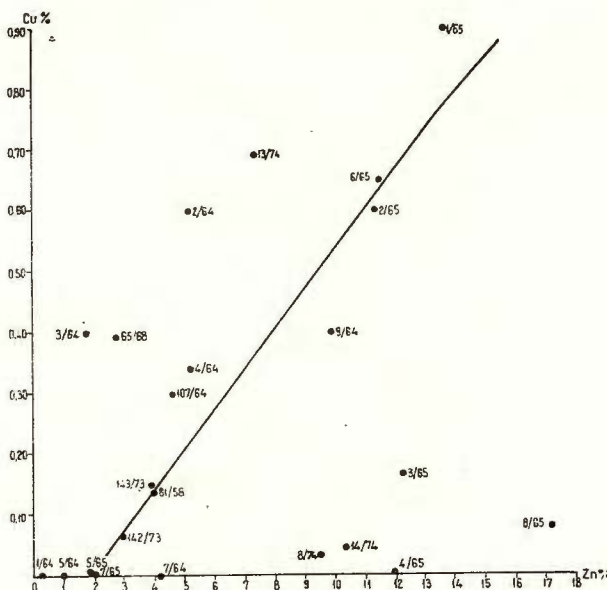


Fig. 2. — Diagrama Zn-Cu.

Diagramme Zn-Cu.

Diagrama binară Pb-Zn (fig. 3) relevă unele relații de proporționalitate între aceste două metale, relații evidente la aproximativ jumătate din probele luate în considerare; și în această diagramă, se evidențiază predominanța zincului asupra plumbului.

În diagrama Pb-Ag (fig. 4) se observă o oarecare tendință de proporționalitate între cele două elemente, ceea ce ar arăta că galenei ii este asociat un mineral argentifer (probabil proustit).

Datele analitice de care dispunem au fost convertite în minerale normative, (tab. 3), în acord cu compoziția mineralologică modală principală a minereului. Astfel, s-au putut recalcula în toate cazurile blenda, galena și calcopirita; pirita a putut fi obținută normativ numai din analizele în care a fost determinat sulful. Rezultatele obținute astfel ne dău o imagine concretă asupra minereului, care rezultă atât din examinarea cifrelor procentuale corespunzătoare mineralelor normative cât și din diagramele întocmite.

Astfel, diagrama generală rest (în principal quart și clorit) — pirită-blendă + galenă + calcopirită (fig. 5) evidențiază următoarele: a) predominarea în cele mai multe cazuri a mineralelor metalice (sulfuri) asupra celor nemetalice (de gangă — în principal quart); b) participarea foarte importantă (în general peste 50%) a piritei la alcătuirea minereului; c)

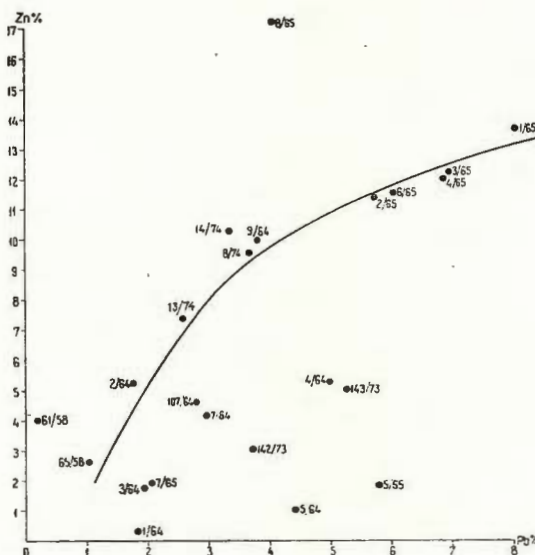


Fig. 3. — Diagramma Pb-Zn.  
Diagramme Pb Zn.

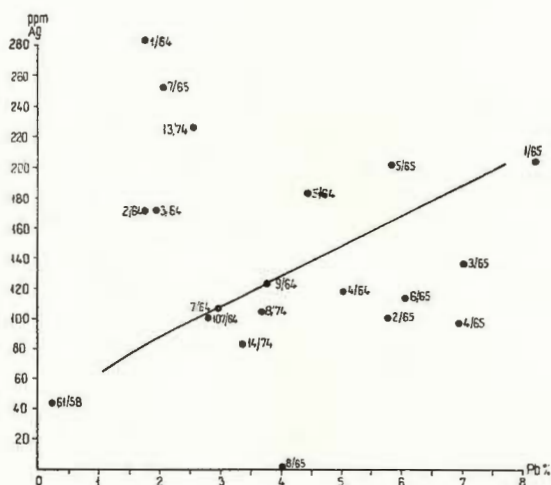


Fig. 4. — Diagramma Pb—Ag.  
Diagramme Pb—Ag.

TABELUL 3

*Compoziția mineralogică normativă principală a mineralizației compacă de tip Hărălgia*

Nr. probei	FeS <sub>2</sub>	ZnS	PbS	CuFeS <sub>2</sub>	Rest *	FeS <sub>2</sub>	ZnS	PbS	ZnS	PbS	CuFeS <sub>2</sub>
						Aduse la sută			Aduse la sută		
13/74	—	11,03	2,96	2,00	—	—	—	—	68,98	18,51	12,51
142/73	39,88	4,41	4,28	0,17	51,26	82,11	9,08	8,81	49,77	48,31	1,92
143/73	69,53	7,33	6,08	0,43	16,63	83,83	8,84	7,33	52,96	43,93	3,11
5/65	73,40	2,77	6,70	0,00	17,13	88,58	3,34	8,08	29,25	70,75	0,00
6/65	57,61	17,15	7,02	1,88	16,34	70,44	20,97	8,58	65,83	26,95	7,22
61/58	76,02	6,08	0,24	0,40	17,26	92,33	7,38	0,29	90,48	3,57	5,95
65/58	38,17	3,98	1,17	1,10	55,58	88,12	9,18	2,70	63,68	18,72	17,60
1/65	52,28	20,22	9,44	2,60	15,46	63,80	24,68	11,52	62,68	29,26	8,06
2/65	65,10	16,91	6,66	1,74	9,59	73,42	19,07	7,51	66,82	26,31	6,87
3/65	57,68	18,10	8,11	0,46	15,65	68,76	21,57	9,67	67,87	30,41	1,72
4/65	32,92	17,78	7,99	0,00	41,30	56,10	30,29	13,61	69,00	31,00	0,00
14/74	—	15,35	3,89	0,133	—	—	—	—	79,32	20,08	0,69
1/64	—	0,39	2,10	0,00	—	—	—	—	15,66	84,34	0,00
2/64	—	2,72	2,03	1,74	—	—	—	—	41,91	31,28	26,81
3/64	—			1,19	—	—	—	—	43,16	37,23	19,60
4/64	—	7,84	5,78	0,98	—	—	—	—	53,70	39,59	6,71
5/64	—	1,50	5,08	0,00	—	—	—	—	22,79	77,21	0,00
7/64	—	6,20	3,41	0,00	—	—	—	—	64,52	35,48	0,00
9/64	—	14,75	4,42	1,16	—	—	—	—	72,55	21,74	5,71
7/65	77,11	2,92	2,39	0,00	17,58	93,56	3,54	2,90	54,99	45,01	0,00
8/65	54,03	25,63	4,78	0,23	15,33	63,99	30,35	5,66	83,65	15,68	0,75
8/74	—	14,15	4,29	0,10	—	—	—	—	76,32	23,14	0,54
107/64	—	6,85	3,26	0,87	—	—	—	—	62,39	29,69	7,92

\* În principal cuarț și clorit.

In cazul probelor în care nu a fost dozat sulful, nu s-a putut calcula pirita (fierul nefiind dozat) și „restul”.

ponderea ridicată a sulfurilor purtătoare de metale colorate (blendă, galenă, calcopirittă).

S-a întocmit de asemenea diagrama binară pirită – blendă + galenă + calcopirittă (fig. 6), din care rezultă evident relația de proporționalitate inversă între componenții luați în considerare; indirect rezultă participarea oarecum independentă față de sulfuri a mineralelor de gangă (în principal cuarț) și clorit la alcătuirea minereului. Acest lucru reiese și din diagramele pirită – rest (în principal cuarț și clorit) (fig. 7) și blendă + galenă + calcopirittă – rest (fig. 8); s-ar putea întrevede o variație proporțională a restului de minerale (în principal cuarț și clorit) față de pirită.

Pentru a se evidenția rolul pe care-l au sulfurile metalelor colorate, s-a alcătuit diagrama ternară calcopirittă-galenă-blendă (fig. 9) care relevă următoarele: a) participare în general scăzută a calcopiritei; b) în majoritatea probelor blenda apare în cantități mai mari ca galena.

Din diagramele anterioare, ca și din datele analitice și mineralogice normative, rezultă deci că principalele minerale metalice în minereu sunt pirlita, blenda și galena, drept care s-a întocmit diagrama triunghiulară corespun-



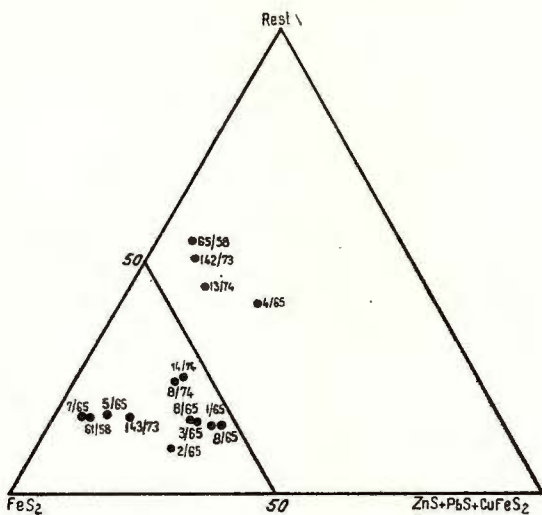


Fig. 5. — Diagrama rest (in principal cuarț și clorit) — pirită — blendă + galenă + calcopirită.

Diagramme reste (surtout quartz et chlorite) — pyrite — blende + galène + chalcopyrite.

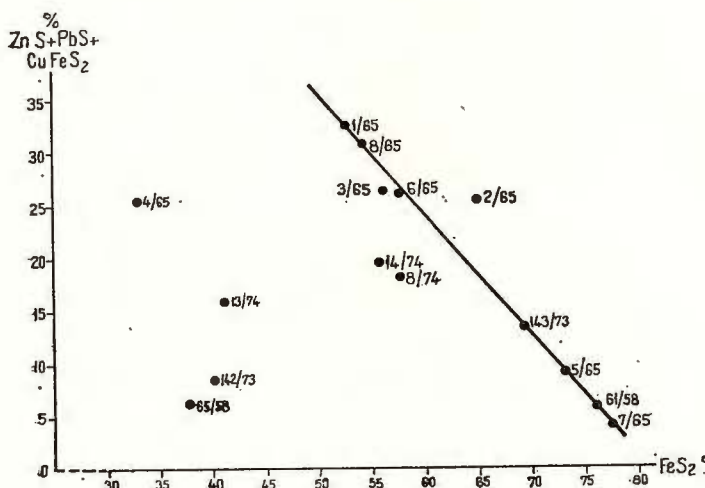


Fig. 6. — Diagrama pirită — blendă + galenă + calcopirită.

Diagramme pyrite — blende + galène + chalcopyrite.

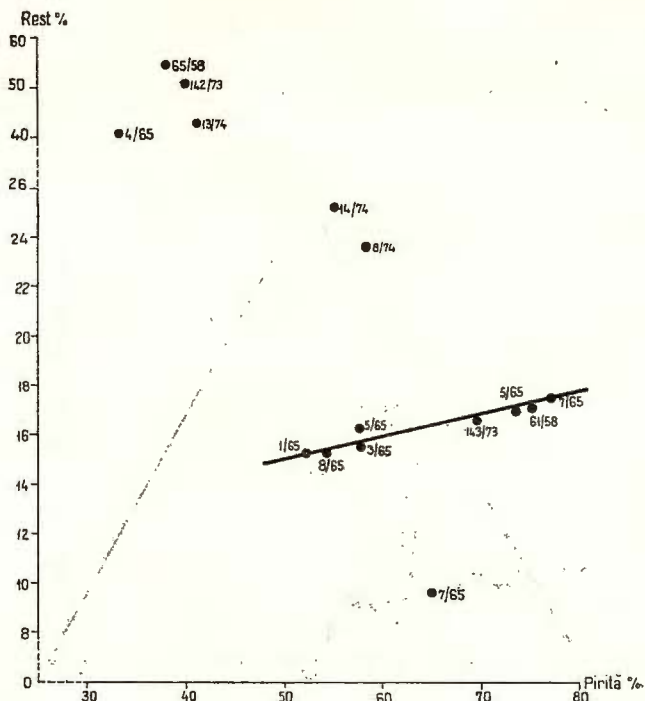


Fig. 7. — Diagramma pirită-rest (in principal cuarț și clorit).  
Diagramme pyrite-reste (surtout quartz et chlorite).

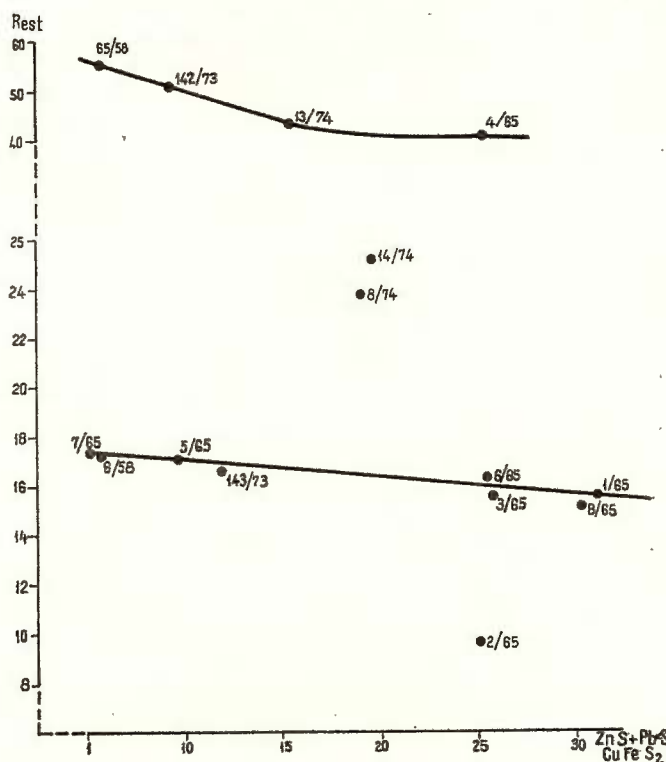


Fig. 8. — Diagramma blendă+galenă+calcopirite—rest (in principal cuarț și clorit).  
Diagramme blende+galene+chalcopirite—reste (surtout quartz et chlorite).  
Institutul Geologic al României

zătoare (fig. 10) care arată : a) predominarea piritei față de blendă și galenă ; b) participarea într-o măsură mai mare a blendei comparativ cu galena.

Diagrama blendă-galenă (fig. 11) relevă mai pregnant ca diagrama Zn-Pb, tendința de variație proporțională a celor două minerale.

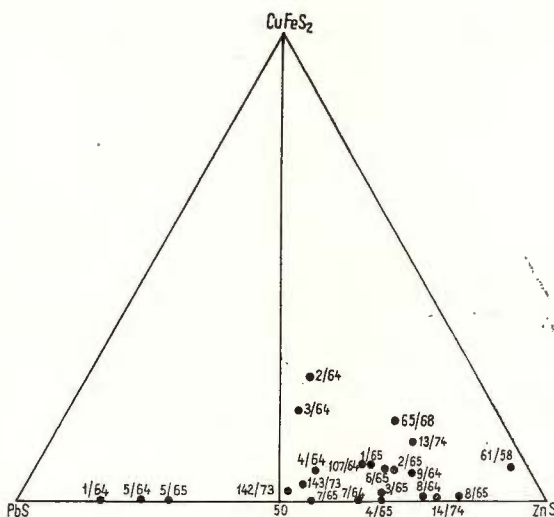


Fig. 9. — Diagrama calcopirită — galenă — blendă.  
Diagramme chalcopyrite — galène — blende.

Din cele arătate mai sus se poate preciza denumirea minereului compact de tip Härlägia : „minereu piritos cu blendă și galenă” ; respectiv, referindu-ne la aspectul economic al acestuia (mineralizație interesantă pentru sulf — din pirită în special, zinc și plumb, între care predomină zincul), acesta poate fi denumit și „minereu piritos zinco-plumbifer”.

Din punct de vedere geochemical, se constată similitudini între minereul de tip Härlägia și cel de la Fundu Moldovei (zona „O” — H. Kräutner et al., 1974<sup>18</sup>) de la Leșu, Ursului (zona „I” — Kräutner, 1965; Kräutner et al., 1975<sup>19</sup>) și de la Burloaia (minereul compact din „faciesul central” — Zineenco et al., 1973). Aceste similitudini și condițiile genetice și metamorfice practic asemănătoare, au condus la identificări mineralogico-petrografice, structurale și texturale frapante cu minereul zăcămintelor menționate.

Cele două analize chimice informative asupra minereului diseminat de tip Huruba arată conținuturi foarte scăzute de cupru și participări

<sup>18, 19</sup> Arh. Inst. geol. geof., București.

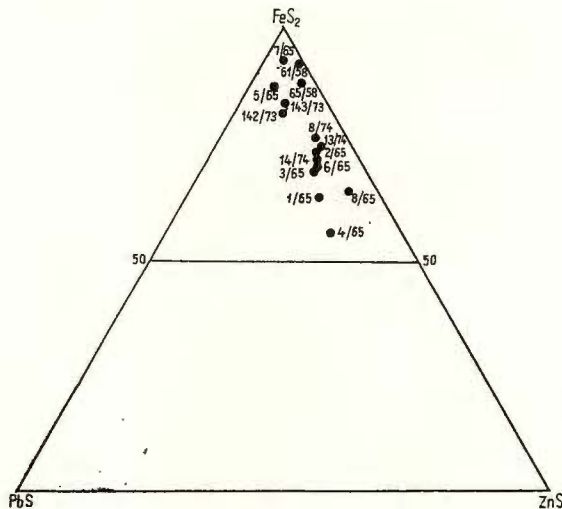


Fig. 10. — Diagramma pirite — galenă — blendă.  
Diagramme pyrite — galène — blende.

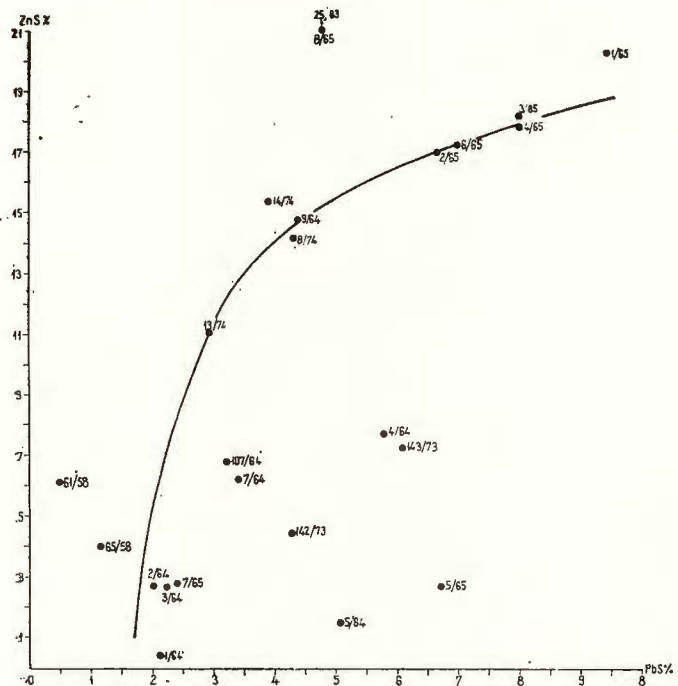


Fig. 11. — Diagramma galenă — blendă.  
Diagramme galène — blende.

relativ reduse ale plumbului și zincului într-o singură probă. Cantitatea de sulf care nu este legată de cele trei elemente revine piritei, care nu depășește 11%.

TABELUL 4  
*Analize ale mineralizației de tip Huruba*

Proba	S	Zn	Pb	Cu	Ag	Pirită	Blendă	Galenă	Calcopirită
138/73	1,89	—	—	0,01	—	1,48	—	—	0,03
123/73	6,69	1,35	1,19	0,12	10,0	10,72	2,01	1,37	0,35

Proba 138/73 din puțul nr. 110; proba 123/73 de la confluența văii Huruba cu valea Härlägia. Analizele au fost efectuate la laboratorul I.M. „Bălan”. Pirita, blenda, galena și calcopirita sunt calculate normativ.

#### C) CADRUL LITOSTRATIGRAFIC AL MINERALIZAȚIEI

Atât minereul de tip Härlägia cît și minereul de tip Huruba, se înscriu concordant în cadrul formațiunilor seriei de Tulgheș, atribuite pe baze palinologice, Cambrianului inferior (Ilieșcu, Mureșan, 1972); în consecință, o asemenea vîrstă revine și acestor mineralizații singeneticice.

Cercetările efectuate de noi într-un perimetru cuprins între valea Huruba (la vest,), valea Bistricioara (la sud,) Valea Muncelului și Pîrul Scurt (la est) și creasta Härlägia (la nord), în care sunt localizate mineralizațiile luate în considerare, ne-au condus la descifrarea litostratigrafiei seriei de Tulgheș de aici și implicit la stabilirea poziției stratigrafice a minereului de tip Härlägia și a celui de tip Huruba.

Astfel s-au evidențiat trei complexe litostratigrafice, paralelizabile cu cele trei complexe ( $Tg_1$ ,  $Tg_2$ ,  $Tg_3$ ) separate în zona Fundu Moldovei-Botuș-Leșu Ursului (Bericia et al., 1971<sup>20</sup>; H. și Florențina Kräutner, 1974; Kräutner et al., 1974, 1975<sup>21</sup>) și zona Mihăileni-Bălan-valea Belcina (M. și Georgeata Mureșan, 1972 și date nepublicate; Kräutner, Popa, 1973). Se constată că, față de zonele menționate, succesiunea litostratigrafică de detaliu în cadrul fiecărui complex separat prezintă asemănări, dar și deosebiri, cea ce ne-a determinat să adoptăm pentru orizonturile și nivelele găsite de noi denumiri locale, așa cum s-a procedat și în cele două sectoare la care ne-am referit. Această soluție pe care am adoptat-o este justificată și de faptul că între regiunea noastră și celealte două menționate există o suprafață necartată litostratigrafic, nefiind astfel rezolvată pe deplin corespondența cartografică și litostratigrafică a termenilor separați.

<sup>20</sup> Arh. Inst. geol. geof., București.

<sup>21</sup> Op. cit. pct. 18, 19.

## 1. Complexul $Tg_1$

Complexul  $Tg_1$  (peste 1500 m grosime), ocupă o mare parte din botul de deal cuprins între valea Huruba (în aval de confluența cu Pîriul Argintăria) și valea Bistricioara (aproximativ în aval de confluența cu pîriul Soci).

Limita superioară a acestei entități litostratigrafice a fost trasată sub un nivel caracteristic de șisturi verzi tufogene — de Smida — (din baza complexului  $Tg_2$ ). S-au distins trei orizonturi, redate mai jos (de la inferior la superior).

a) Orizontul Făgetel- $Tg_1^F$  (peste 600 m grosime) cuprinde șisturi sericito-cloritoase și șisturi sericito-grafitoase cu intercalații de cuarțite negre, de metatufuri acide și de roci verzi tufogene (asociate uneori cu metabazite).

b) Orizontul Spinz- $Tg_1^S$  (400—500 m grosime) cuprinde metatufuri acide cu intercalații de șisturi sericito-cloritoase, de șisturi sericito-grafitoase și de cuarțite negre.

c) Orizontul Bradu- $Tg_1^B$  (350—400 m grosime) cuprinde șisturi sericito-cloritoase și șisturi sericito-grafitoase cu intercalații de metatufuri acide.

## 2. Complexul $Tg_2$

Complexul  $Tg_2$  (250—350 m grosime) traversează botul de deal menționat începând din zona confluenței văii Huruba cu Valea Argintăria și ajungind în valea Bistricioara în amonte de pîriul Soci.

Limita superioară a complexului  $Tg_2^G$  a fost pusă deasupra cuarțitelor negre cu intercalații de metatufuri acide, bine deschise în cariera practicată în versantul drept al văii Huruba (în amonte de confluența cu Pîriul Argintăria). S-au deosebit două orizonturi, descrise succint mai jos (de la inferior spre superior).

a) Orizontul Gura Argintăriei- $Tg_2^G$  (150—200 m grosime) cuprinde șisturi sericito-grafitoase cu intercalații de șisturi sericito-cloritoase și de metatufuri acide. La baza orizontului se individualizează nivelul subțire, dar caracteristic, al șisturilor verzi de Smida, deschise în versantul stîng al văii Huruba, în dreptul locului numit „La Smidă”.

b) Orizontul Carierei- $Tg_2^C$  (100—150 m grosime) cuprinde șisturi sericito-grafitoase și cuarțite negre, cu intercalații de metatufuri acide. Acest orizont este bine deschis în amonte de confluența văii Huruba cu Valea Argintăria, în zona puțurilor executate de I.P.E.G. „Harghita”. În creasta de la est de această confluență precum și în zona puțurilor de la vest de partea superioară a pîriului Soci. În zona supergenă, se observă uneori oxizi de fier și mangan asociati cuarțitelor negre, care provin din alterarea unor minerale primare manganifere, confirmîndu-se și pe această cale similaritatea litostratigrafică cu complexul  $Tg_2$  din munții Bistriței, purtător de concentrații singenetică manganifere.

### 3. Complexul Tg<sub>3</sub>

Complexul Tg<sub>3</sub> (peste 2000 m grosime) ocupă cea mai mare parte a zonei cercetate, putind fi urmărit cartografic între valea Härälgia și valea Muncelului, trecind peste văile Argintăria, Porcului și Arinișului.

În cadrul acestui complex, care găzduiește mineralizații de tip Huruba și de tip Härälgia, s-au deosebit trei orizonturi litostratigrafice, redate mai jos (de la inferior la superior).

a) Orizontul Huruba-Tg<sub>3</sub><sup>Hu</sup> (350–500 m grosime) cuprinde șisturi sericito-cloritoase și șisturi sericito-grafitoase în care se intercalează metatufuri acide, mineralizația diseminată de tip Huruba și nivelul șisturilor verzi de Porcu (acestora din urmă, situate către partea superioară a orizontului, li se asociază uneori metabazite). Observațiile noastre ne conduc la concluzia că mineralizații diseminat, explorate prin șanțuri și puțuri în botul de deal dintre valea Huruba și partea inferioară a Văii Argintăria, sunt stratigrafic inferioare celor de la confluența văii Huruba cu valea Härälgia. Anomaliiile discontinui pedogeochimice pentru Zn, Pb, Cu și Ag, evidențiate de către G. Tucaliu <sup>22</sup>, între zona confluenței văii Huruba cu Pîrîul Argintăriei și partea superioară a pîrîului Soci, corespund după părerea noastră, celor două nivele principale mineralizate din orizontul Huruba.

b) Orizontul Härälgia-Tg<sub>3</sub><sup>Hg</sup> (450–600 m grosime) cuprinde în bază nivelul porfirogenelor de Argintăria (metatufuri acide intim asociate cu porfiroide (150–250 m grosime), urmărit și deschis pe toate văile și culmile mai importante dintre pîrîul Härälgia și cel al Muncelului. Peste acest nivel urmează un pachet (200–350 m grosime) predominant terigen (șisturi sericito-cloritoase și șisturi sericito-grafitoase), în care se intercalează metatufuri acide, precum și minereul polimetalic compact de tip Härälgia. Anomaliiile pedogeochimice pentru Zn, Pb, Cu, și Ag, au caracter evident discontinu, evidențiate de G. Tucaliu <sup>23</sup>; între valea Härälgia și Pîrîul Arinișu, corespund nivelului mineralizat menționat.

c) Orizontul Arinișu-Tg<sub>3</sub><sup>Ar</sup> (peste 700–800 m grosime) cuprinde în bază nivelul șisturilor verzi de Muncelu, bine deschise pe pîrîul Härälgia și pe Valea Muncelu; acestor roci le sunt asociate uneori metabazite. Deasupra acestui nivel urmează un pachet gros de șisturi sericito-cloritoase și șisturi sericito-grafitoase în care se intercalează metatufuri acide și cuarțite negre. Faptul că acest orizont se situează în zona terminală a majorității văilor din regiune și în zona crestei Härälgia, unde lipsa aflorimentelor este cvasi absolută, ne-a impiedecat să urmărim succesiunea litostratigrafică detaliată a acestui orizont și eventual să ne dăm seama dacă el de fapt nu ar putea cuprinde în realitate două sau mai multe orizonturi litostratigrafice.

<sup>22-23</sup> Op. cit. pct. 9.

#### 4. Paralelizări litostratigrafice

În stadiul actual, întrevedem unele paralelizări litostratigrafice între subdiviziunile celor trei complexe stabilite de noi în regiune cu termenii separați în zona Mihăileni-Bălan-valea Belcina (K răutner, Popa, 1973; M. și George Mureșan, 1972 și date inedite) și din zona Fundu Moldovei (H. și Florentina Krăutner, 1974; Krăutner et al. 1974<sup>24</sup>); de asemenea vom face unele referiri și la regiunea Leșu Ursului (Krăutner, et al., 1975<sup>25</sup>).

Desigur că, paralelizarea succesiunii litostratigrafice a seriei de Tulgheș din zona noastră, cu succesiunile constatate în regiunile Fundu Moldovei și Mihăileni-Bălan-Valea Belcina, depinde în bună măsură de imaginea pe care o avem asupra corelărilor care se pot face direct între ultimele două regiuni. În această privință, H. Krăutner et al. (1974)<sup>26</sup> consideră pe bună dreptate că complexul Tg<sub>2</sub> din zona Fundu Moldovei, unde este lipsit de intercalări de metatufuri acide, își are drept corespondent partea inferioară și mediană a orizontului Sindominic din regiunea Bălan, lipsită de asemenea de intercalări de astfel de roci; în consecință, partea superioară a orizontului Sindominic, începând de la primele metatufuri acide, respectiv deasupra ultimelor cuarțite negre ale acestui orizont, ar reveni, împreună cu orizontul Sipoș (situat deasupra), complexului Tg<sub>3</sub>.

Întrucât succesiunea cu secvențe de metatufuri acide (situată deasupra ultimelor cuarțite negre ale fostului orizont Sindominic), de la partea superioară a fostului orizont Sindominic, este separabilă pe multe profile, începând de la Sindominic pînă la nord de valea Belcina, ea poate fi separată ca o unitate litostratigrafică pentru care propunem denumirea de „orizontul Fiureș”, fiind deschisă în zona pîriului cu același nume, affluent de stînga al văii Belcina.

Orizontul Sipoș care urmează, constituie predominant din șisturi bazice verzi, a fost corelat de către H. Krăutner et al. (1974)<sup>27</sup> cu nivelul metatufurilor bazice de Girbele; credem că există posibilitatea ca și nivelul șisturilor verzi de Tonigărești să corespundă în ansamblu părții superioare a orizontului Sipoș; avansăm această opinie, bazați pe faptul că, în regiunea Bălan, deasupra orizontului Sipoș apar zone subțiri de șisturi cloritoase ± cuartoase cu diseminări de pîrită pe care le-am observat intercalate între rocile terigene predominant grafitoase ale orizontului Voroc, care stă peste orizontul Sipoș; o situație similară se constată și în regiunea Fundu Moldovei, unde primele diseminări pîritoase se constată și fi localizate deasupra nivelului șisturilor verzi de Tonigărești, constituind concentrațiile de la Dealu Colacului.

Orizonturile Voroc și Bălan ar corespunde, după părerea noastră, cu partea superioară a orizontului Girbele, situată deasupra nivelului șisturilor verzi de Tonigărești; argumentăm această părere prin faptul că, în

<sup>24</sup> Op. cit. pct. 18.

<sup>25</sup> Op. cit. pct. 19.

<sup>26</sup> Op. cit. pct. 18.

<sup>27</sup> Op. cit. pct. 18.

ambele regiuni, aceste entități litostratigrafice conțin primele concentrații de sulfuri vulcanogen-sedimentare din stiva seriei de Tulgheș și sint limitate de un nivel constant de roci tufogene acide : orizontul metatufurilor de Bălan și respectiv nivelul inferior de metatufuri și metatufite de Fundu Moldovei.

Orizontului Fundu Moldovei (sensu Kräutner et al., 1974)<sup>28</sup>, i-ar corespunde orizontul metatufurilor riolitice de Bălan, orizontul Valea Băii (terigen) și orizontul metatufurilor riolitice de Sadocut, pe considerentul că, în regiunea Bălan, rocile tufogene din orizonturile menționate reprezintă entități litostratigrafice tufogene acide cu răspindire regională, iar între ele sint cuprinse, ca și în regiunea Fundu Moldovei, concentrații de sulfuri vulcanogen-sedimentare.

Orizonturile Moroșan și Arseneasa, din regiunea Fundu Moldovei, își au corespondent orizontul Arama Olt din regiunea Bălan ; există posibilitatea ca nivelul metatufurilor acide de Deluț să fie echivalente cu metatufitele acide din partea superioară a orizontului Arama Olt, care însă nu au o răspindire regională în sectorul Bălan.

În concluzie, se observă că, coloana litostratigrafică a complexului Tg<sub>3</sub>, din regiunea Bălan, este mai săracă în produse tufogene acide, în comparație cu cea a complexului similar din regiunea Fundu Moldovei ; totuși, se poate face o corelație litostratigrafică bună, în special în ceea ce privește produsele incipiente și terminale ale momentelor extrusive din ambele regiuni. De asemenea, în cadrul paralelizării expuse, concentrațiile metalifere din cele două zone se coreleză satisfăcător.

Asupra echivalenței succesiunilor litostratigrafice ale complexului Tg<sub>1</sub>, din regiunea Fundu Moldovei și Bălan, nu putem să ne pronunțăm, întrucât complexul Tg<sub>1</sub>, din prima zonă, oferă o secvență relativ redusă, fiind întreruptă tectonic de planul de șariaj al pînzei alpine de Putna (Kräutner et al., 1974<sup>29</sup>), urmînd a face în consecință paralelizări în cadrul acestui complex numai pentru zonele Hărălgia și Bălan.

Astfel, referindu-ne la aceste paralelizări în cadrul complexului Tg<sub>1</sub> considerăm că orizontul Făgetel, din regiunea Hărălgia ar corespunde orizontului Arama Neagră, cunoscut la vest de Bălan (la est de Voșlobeni<sup>30</sup>).

<sup>28, 29</sup> Op. cit. pct. 18.

<sup>32</sup> Definim drept „orizontul Arama Neagră” pachetul predominant terigen (șisturi cuarțoase ± grafit ± biotit) cu intercalații de cuarțite negre și roci tufogene (acide și bazice), situat sub orizontul metatufurilor acide de Sadocut ; limita inferioară a orizontului Arama Neagră, nu se cunoaște din cauza planului de șariaj al seriei de Tulgheș peste pinza de Rodna (Mureșan, 1976). Astfel definit, orizontul Arama Neagră corespunde părții superioare a fostului complex de Chindeni (M. și George Mureșan, 1972), situată deasupra șariajului menționat. În noua situație, redefinim drept „orizont de Chindeni” numai depozitele predominant terigene (cuarțite și șisturi cuarțoase ± grafit ± biotit) cu intercalații și strate de calcare, cuarțite negre, metatufuri (acide și bazice) situate normal peste seria de Rebra-Barnar și limitate la partea superioară de planul de șariaj al formațiunilor seriei de Tulgheș ; cu alte cuvinte, orizontul de Chindeni deschide succesiunea seriei menționate, fiind primul termen litostratigrafic al acestieia ; partea superioară a acestui orizont revine Cambrianului inferior, întrucât aici s-a găsit forma *Psophosphaera obscura Pischedova* (Ilieșcu, Mureșan, 1972). Partea inferioară a orizontului Chindeni nu este exclus să revină Infracambrianului (Ilieșcu, Mureșan, 1972).

Orizontul Spinz, bogat în metatufuri acide, este foarte probabil echivalent orizontului metatufurilor riolitice de Sadocut, separat în aceeași regiune. Orizonturile Fagul Înalt și Virgău de la vest de Bălan ar putea reprezenta echivalența orizontului Bradu din zona noastră.

Nivelul șisturilor verzi de Smida, cu care debutează complexul  $Tg_2$  în zona noastră, se pare că ocupă aceeași poziție stratigrafică cu nivelul șisturilor verzi de Botuș din zona Botuș-Leșu Ursului. Orizontul Carierei, bogat în cuarțite negre, corespunde probabil cu cuarțitele negre superioare din complexul  $Tg_2$ , dezvoltat în regiunea Fundu Moldovei.

În cazul zonei cercetate de noi, paraleлизările între subdiviziunile complexului  $Tg_3$ , cu cele din zona Bălan sunt mai puțin evidente, în timp ce cele din zona Fundu Moldovei sunt mai clare. Astfel, orizontul Huruba poate să corespundă orizontului Gîrbele; nivelul superior de sulfuri disseminate, intercalate în acest termen ar putea reprezenta echivalentul stratigrafic apropiat al zonei a III-a de minereu de la Leșu Ursului și, împreună cu nivelul inferior, mineralizat (din zona Huruba) ar fi similar celor două nivele principale de minereu din zăcământul Bălan-Fagul Cetății.

Orizontul Hărălgia, prin alcătuirea sa petrografică (bogat în metatufuri acide) și purtător de minereuri polimetalice cu sulfuri este paralelizabil cu orizontul Fundu Moldovei, luat în ansamblul său. Minereul compact de tip Hărălgia, situat în partea superioară a acestui orizont, este similar zonei I mineralizată de la Leșu Ursului, respectiv zonei „O” de la Fundu Moldovei.

Orizontul Arinișu cuprinde în bază nivelul șisturilor verzi de Muncelu, care exprimă un moment extruziv bazic ce anunță pe cele care au dat naștere actualelor șisturi cloritoase cu porfiroblaste de albit, localizate în orizontul Moroșan din regiunea Fundu Moldovei. Faptul că orizontul Arinișu este posibil comprehensiv, după cum s-a arătat mai înainte, ne face să ne gîndim că ar putea corespunde orizonturilor Moroșan și Arse-neasa din zona mai sus citată; într-adevăr, rocile tufogene acide întlnite în zonele bine deschise de la Hărălgia s-ar putea să corespundă metatufurilor acide ale nivelului Deluț.

În situația că, cercetările viitoare vor demonstra cu certitudine stricta echivalența a unor entități litostratigrafice din regiunea cercetată, cu cele din zonele la care s-au făcut referiri, atunci se va renunța la sinonimiile mai noi.

Din compararea grosimii de ansamblu a succesiunii litostratigrafice a seriei de Tulgheș din regiunea Hărălgia cu grosimile constatate în zonele Mihăileni-Bălan-valea Belcina și Fundu Moldovei, rezultă că informațiile seriei de Tulgheș din zona noastră sunt sensibil mai puțin groase (de circa două ori mai subțiri) față de grosimile admise în cele două regiuni la care ne-am referit. Acest fapt ar putea fi consecința unei rate mai scăzute a sedimentării într-o zonă submersă ridicată (rid ?).

#### D) CADRUL MAGMATOGEN AL MINERALIZAȚIEI

Analiza litostratigrafică și petrografică a formațiunilor seriei de Tulgheș, din zona Härlägia, reliefelor faptul că mineralizațiile de sulfuri de aici se localizează într-o stivă bogată în produse magmatogene, între care predomină cele de origine tufogenă. Descifrarea litostratigrafiei acestei stive, conducind la stabilirea poziției rocilor tufogene în succesiunea stabilită, permite, în corelație cu datele petrografice, reconstituirea fazelor și momentelor extruzive, cînd au putut lua naștere materiale tufacee, depuse apoi în bazinul de sedimentare.

O primă concluzie care se degajă este aceea că produsele tufogene ocupă circa 20% din întreaga coloană luată în considerare (luind în considerare și produsele tufogene neseparate cartografic din orizontul Arinișu), orizonturile și nivelele tufogene însumind peste 1000 m grosime. În cadrul acestor materiale tufogene predomină net cele acide, de natură dacitică și riolitică, cele bazice nedepășind 40–50 m grosime cumulată (circa 4% din volumul ocupat de rocile tufogene). Tinind seama de cele de mai sus precum și de faptul că în regiune celelalte formațiuni ale seriei de Tulgheș sunt de natură terigenă provenite predominant din roci argilo-grezoase, stiva luată în considerare poate fi caracterizată în ansamblu drept o „formațiune terigenă-tufogenă acidă” în care raportul dintre cele două tipuri principale de materiale, de origine diferită, clar depusă pe cale de sedimentare, este de 5 : 1.

Sevențele extruzive principale din regiune sunt în număr de trei și se grupează în orizonturile Spinz, Härlägia și Arinișu, ultimele două în cadrul complexului Tg<sub>3</sub>. În regiunea Fundu Moldovei (H. și Florentina Kräutner, 1974; Kräutner et al., 1974<sup>31</sup>), în complexul Tg<sub>3</sub>, se constată de asemenea existența a două, orizonturi bogate în produse tufogene acide: orizonturile Fundu Moldovei și Arseneasa; din cauza planului de șariaj care întrerupe succesiunea seriei de Tulgheș din această regiune la circa 200m sub baza orizontului Tg<sub>2</sub>, nu se poate cunoaște situația eventualelor produse extruzive acide din complexul Tg<sub>1</sub>. În schimb, în zona Mihăileni-Bălan-valea Belcina, în complexul Tg<sub>1</sub> se regăsește un pachet bogat în metatufuri acide cunoscut sub numele de metatufuri riolitice de Sadocut (M. și George Murășan, 1972; Kräutner, Popa, 1973). În regiunea amintită, unde deși complexul Tg<sub>3</sub> cantonează un volum mult mai mic de produse tufogene acide, în comparație cu multe alte regiuni din Carpații Orientali, credem că se pot recunoaște la nivelul acestei entități litostratigrafice termeni echivalenți ai celor două faze de extruziune, constatați în zona Fundu Moldovei și în zona Härlägia; astfel nivelele metatufurilor riolitice de Bălan și de Sedloca ar apartine fazei care a generat masele de tufuri localizate în orizontul Fundu Moldovei și respectiv din orizontul Härlägia; metatufitele acide subțiri, decelate înspre partea superioară a orizontului Arama Olt, ar putea fi sincrone rocilor tufogene din orizontul Arseneasa (în principal metatufurile acide din nivelul Deluț) și respectiv din orizontul Arinișu.

<sup>31</sup> Op. cit. pct. 18.

Aceste constatări și similitudini frapante în ceea ce privește poziția metatufurilor acide în coloanele stratigrafice obținute din studiul seriei de Tulgheș în sectoare diferite și îndepărtate geografic unul de altul, ar putea fi puse pe seama existenței a trei faze principale paroxismale acide, desfășurate în decursul formării depozitelor inițiale ale seriei de Tulgheș: „faza Sadocut”, „faza Fundu Moldovei”<sup>32</sup> și „faza Deluț”<sup>33</sup>.

Între fazele acide Sadocut și Fundu Moldovei se situează „faza Șipoș-Gîrbele”, cu caracter predominant bazic, căreia i s-ar atașa rocile magmatogene bazice ale orizontului Șipoș (din regiunea Mihăileni-Bălan-valea Belcina), rocile tufogene bazice și subordonat acide din nivelele Gîrbele<sup>34</sup> și Tonigărești.

Tinând seama de caracterul produselor, se poate afirma că în decursul desfășurării acestor faze de activitate magmatică, un rol deosebit îl aveau extruziunile, în decursul căror luau naștere mari cantități de material tufaceu; activitatea intruzivă, deși adesea mai redusă în comparație cu cea explozivă, o însoțea adesea pe aceasta din urmă, luind naștere dike-uri și mai ales sill-uri de roci acide (riolite, dacite și.a.) și bazice (gabbouri, dolerite?). Concomitența, în multe cazuri, ale celor două tipuri de activități (intruzivă și intruzivă) se poate deduce atât din faptul că rocilor tufogene li se asociază corpuri de roci magmatice propriu-zise cât și din faptul că ambele tipuri de produse magmatogene prezintă cel mai adesea similitudine chimică<sup>35</sup>: șisturile tufogene acide li se asociază corpuri (mai ales sill-uri<sup>36</sup>) de roci acide, iar celor bazice sill-uri de metabazite<sup>37</sup>.

Intervalele dintre fazele de activitate magmatică, pe care le-am menționat, sunt caracterizate în general prin calm vulcanic, întrerupt din cînd în cînd de erupții scurte, care au dat naștere în principal unor nivele subțiri de tufuri bazice sau acide, uneori cu extindere areală limitată.

În timpul formării seriei de Tulgheș, erupțiile vulcanice se desfășurau, în zona bazinei mari în care luau naștere și depozitele terigene ale acestei serii și aveau un caracter liniar (Kräutner, 1965; Geor-

<sup>32</sup> Deosebit pentru prima dată în regiunea cu același nume de către H. Kräutner et al. 1974 (op. cit. pct. 18) ca „faza acidă Fundu Moldovei”, care împreună cu „faza bazică Gîrbele” constituie „ciclul Fundu Moldovei-Gîrbele”.

<sup>33</sup> Separată în regiunea Fundu Moldovei de către H. Kräutner et al. — 1974 (op. cit. pct. 18) ca „faza acidă Deluț”, care împreună cu „faza bazică Moroșan superior” alcătuiesc „ciclul Arseneasa-Moroșan”.

<sup>34</sup> În regiunea Fundu Moldovei, șisturile tufogene bazice de Gîrbele corespund „fazei bazice Gîrbele”, separată de H. Kräutner et al. 1974 (op. cit. pct. 18) în cadrul „ciclului vulcanic Fundu Moldovei-Gîrbele”.

<sup>35</sup> M. Mureșan, Georgeta Mureșan fide I. Bercia et al., 1971 (op. cit. pct. 20).

<sup>36</sup> Situație constatătă de noi atât în cadrul nivelului porfirogenelor de Argintăria cît și în cel al orizonturilor de Sedloca și Sadocut.

<sup>37</sup> Cazul tuturor nivelelor de roci verzi din regiune, cazul orizontului Șipoș etc.

geta Mureșan, 1968<sup>38</sup>; M. și Georgeata Mureșan, 1971<sup>39</sup>; Kräutner et al., 1974<sup>40</sup>), caracteristic domeniilor geosinclinale.

Deși apar în aceeași stivă, asociate uneori, totuși între produsele bazice și cele acide nu există tranziții petrografice și chimice, fapt care a justificat presupunerea că proveniența lor ar fi diferită (M. Mureșan, 1968; Georgeata Mureșan, 1968<sup>41</sup>; H. Kräutner et al., 1974<sup>42</sup>); produsele bazice ar avea originea simatică (din partea superioară a mantalei) iar cele acide originea sialică (din scoarță).

Avind în vedere cele de mai sus și fiind localizate în cadrul formațiunilor seriei de Tulgheș, atribuite pe baze palinologice Cambrianului inferior (Ilieșcu, Mureșan, 1972), produsele magmatogene bazice au fost înglobate la „provincia magmatismului bazic cambrian inferior”, iar cele acide la „provincia magmatismului acid cambrian inferior” (Ilieșcu, Mureșan, 1972), fapt fundamentat și de studiile petrochimice efectuate de noi<sup>43</sup>.

Mineralizațiile din regiunea Härwägia se plasează înaintea și în timpul „fazei paroxismale Fundu Moldovei” (în sensul adoptat în această lucrare), respectiv în cele două situații principale întâlnite cel mai frecvent în Carpații Orientali. Astfel, din acest punct de vedere, concentrațiile de tip Huruba, ca și cele din orizonturile Voroc și Bălan, de la Dealul Colacului și din nivelul Dealu Negru (ultimele două cunoscute în regiunea Fundu Moldovei), sunt anterioare fazei paroxismale vulcanice Fundu Moldovei; concentrațiile de tip Härwägia, împreună cu cele din orizontul Băii (de la Bălan) și din orizontul Fundu Moldovei (zonele „O” și „I”) sunt în ansamblu contemporane fazei vulcanice Fundu Moldovei, cu caracter predominant acid.

#### E) CADRUL METALOGENETIC AL MINERALIZAȚIEI

După cum s-a arătat, intercalarea concordantă a mineralizațiilor de tip Huruba și Härwägia în formațiunile seriei de Tulgheș și deformarea simetamorfică concomitentă a minereului odată cu aceste formațiuni, sunt argumente puternice în favoarea singenezei acestora.

În consecință, vîrstă acestor mineralizații este cea a seriei de Tulgheș, adică cambrian inferioară, iar metamorfismul lor este baicalian.

Stratificațiile relicte, intercalațiile de sisturi în cadrul minereului, localizarea la nivele stratigrafice constante, paralelizabile cu cele din alte regiuni, în care se localizează de asemenea concentrații de sulfuri similare genetic, arată depunerea acestora pe cale sedimentară.

Alcătuirea mineralologică a minereului (pirită, blendă, galenă, calco-pirită, tetraedrit, etc.), localizarea acestuia într-o stivă bogată în produse magmatogene (metatufuri bazice și acide, metabazite și porfiroide) sunt dovezi în favoarea unei origini endogene a mineralelor metalice ce constituie mineralizația.

<sup>38</sup> Arh. Inst. geol. geof. București.

<sup>39</sup> Fide Bercia et al., 1971 (op. cit. pct. 20).

<sup>40, 42</sup> Op. cit. pct. 18.

<sup>41</sup> Op. cit. pct. 38.

<sup>43</sup> Fide I. Bercia et al. (1971) (op. cit. pct. 20).

Având în vedere cele de mai sus, credem că originea vulcanogen (hidrotermal)-sedimentară a minereurilor de tip Huruba și de tip Hărălgia, poate fi acceptată fără ezitare, cu atit mai mult cu cît aceste minereuri seamănă uneori pînă la identitate și ocupă poziții stratigrafice similare cu cele de la Fundu Moldovei, Leșu Ursului și Bălan, pentru care s-a demonstrat o asemenea origine (K răutner, 1965; K răutner, Popa, 1973; K răutner et al., 1974<sup>44</sup>).

Acumulările metalifere analizate se repartizează prin urmare metagenezei cambrian inferioare, asociată magmatismului premetamorfic care a generat și formațiunile magmatogene prezente în stiva care le găzduiește, repartizîndu-se „provinciei concentrațiilor asociate magmatismului cambrian inferior din seria de Tulgheș”.

Mineralizațiile de tip Huruba și de tip Hărălgia constituie, în regiune, cîmpul metalogenetic Hărălgia, care înglobează atît punctele mineralizate cunoscute direct, cît și zonele cu anomalii geochimice mai importante, corespunzătoare unor eventuale mineralizații, localizate în orizonturile Huruba și Hărălgia. Geografic, acest cîmp se întinde din zona văii Hărălgia (unde este limitat tectonic de falia Hărălgia) pînă aproximativ în dreptul Văii Porcului.

Cîmpul metalogenetic menționat, împreună cu cîmpul Șumuleu (de asemenea cu sulfuri vulcanogen-sedimentare) și cu numeroasele iviri izolate de sulfuri similare genetic, aflate la NW de regiunea Hărălgia și la SW de aceasta, aparțin „districtului Șumuleu-Hărălgia” (M. și G e o r g e t a M u r e ș a n, fide M. M u r e ș a n et al. 1972<sup>45</sup>).

Existența unor activități metalogenetice relativ intense în regiune și în proximitatea acesteia, în decursul formării stivei seriei de Tulgheș, este probată și de prezența unor mineralizații predominant piritoase, localizate în unele dyke-uri de porfiroide din partea de est a regiunii (de exemplu cuiburile și filoanele de pîrtă de la gura Pîrului Scurt, afluent drept al Văii Muncelul). Pentru aceste mineralizații, de asemenea metamorfozate regional (odată cu seria de Tulgheș) se impune geneza hidrotermală inițială, înscriindu-se în „districtul Tulgheș”, în care cunoșc dezvoltare importantă în special mineralizațiile filoniene plumbo-zincifere de tip Paltin (M. și G e o r g e t a M u r e ș a n, 1976).

Localizarea concentrațiilor de sulfuri vulcanogen (hidrotermal) — sedimentare, din regiune și din alte sectoare, la mai multe nivele stratigrafice ale seriei de Tulgheș este consecința mai multor faze metalogenetice, care s-au succedat în decursul formării acestei serii. Acest fapt a fost sesizat în regiunea Burloaja (Z i n c e n c o, 1972<sup>46</sup>) și în regiunea Fundu Moldovei (K răutner et al. 1974<sup>47</sup>); în această ultimă regiune s-a prezentat o schemă detaliată, bazată în principiu pe corelarea concentrațiilor metalifere cu erupțiile, fazele și ciclurile de activitate vulcanică, rezultînd șase faze metalogenetice.

Considerăm că esențializării fazelor de activitate magmatogenă, expusă de noi în lucrare, îi poate corespunde o schemă de ansamblu care cuprinde patru faze metalogenetice cu filiație față de magmatismul pre-

<sup>44</sup> Op. cit. pct. 18.

<sup>45</sup>, <sup>46</sup> Arh. Inst. geol. geof., București.

<sup>47</sup> Op. cit. pct. 18.

metamorfic, ale cărui produse se găsesc în seria de Tulgheș. Aceste faze metalogenetice s-au desfășurat în decursul Cambrianului inferior, întrucât produsele lor metalifere se localizează în formațiunile care revin sigur coloanei datată Cambrian inferior, pe baza datelor palinologice (Ilieșcu, Mureșan, 1972).

Faza metalogenetică cea mai veche se referă la formarea minereurilor manganifere rodonito-rodocrozitice, de natură vulcanogen (hidrotermal)-sedimentară, localizate în complexul Tg<sub>2</sub>. Este ceea ce numim *faza Iacobeni-Dealul Rusului*, căruia își repartizează acumulările manganifere din zona Ciocănești-Iacobeni-Dealul Rusului, din zona Broșteni-Borca, de la Tunzăria, de la Corbu (Tulgheș) și ivirile din culmea Piciorul Bradului (din regiunea Härwägia). În regiunea noastră, prezența în baza complexului Tg<sub>2</sub> a unor roci tufogene bazice (nivelul șisturi verzi de Smida), ca și existența intercalărilor subțiri de șisturi tufogene acide în cuprinsul acestui complex, constituie o indicație că aceste iviri manganifere prezintă filiație față de magmatismul premetamorfic.

Activitatea metalogenetică se reia mai tîrziu și cu o intensitate deosebită în timpul formării complexului Tg<sub>3</sub>, care cuprinde produsele a trei faze metalogenetice.

Cea mai veche dintre acestea este *faza Bălan* căreia îi revin în regiune concentrațiile de sulfuri de tip Huruba, cele din zona Bălan (din orizonturile Voroc și Bălan) și cele de la Dealu Colacului și din nivelul Dealu Negru (ultimele două din regiunea Fundu Moldovei); caracteristica acumulărilor de sulfuri vulcanogen (hidrotermal)-sedimentare, formate în această fază, este dată de prezența piritei și a calcopiritei care constituie în general minereuri diseminate. Întrucât în regiunea Bălan, cele mai apropiate produse magmatogene față de mineralizațiile de sulfuri de aici (din orizonturile Voroc și Bălan) sunt rocile tufogene bazice ale orizontului Sipoș (în care apar și metabazite), situat dedesubt, am presupus (în corelație cu bogăția în Fe și Cu a minereului) că este foarte probabil că aceste concentrații să prezinte o filiație față de magmatismul bazic (M. și G.蛾 et al., Mureșan, 1972). În regiunea Fundu Moldovei, se constată de asemenea o situație similară; sub impregnațiile de sulfuri de la Dealu Colacului se situează nivelele tufogene bazice de Tonigărești și de Girbele. În schimb, în regiunea Härwägia, ipoteza noastră nu este sprijinită de datele de teren, întrucât nu am evidențiat roci magmatogene bazice sub minereurile de tip Huruba, ci numai intercalării de roci tufogene acide. În această situație, fie presupunerea noastră nu este valabilă, fie, mai probabil, minereurile de tip Huruba se leagă de latura acidă a magmatismului premetamorfic.

După un scurt interval, este amorsată principala fază metalogenetică cambrian-inferioară *faza Fundu Moldovei*, ale cărei produse constituie cel mai adesea zăcăminte: zonele „I” și „O” de la Fundu Moldovei, zonele „I” și „II” de la Leșu Ursului, mineralizațiile de tip Härwägia, cele de la Șumuleu și.a.<sup>48</sup>. Caracteristica frecventă a mineralizațiilor vulcanogen

<sup>48</sup> Pentru mineralizațiile din zona Fundu Moldovei și Leșu Ursului a se vedea lucrările întocmite de Krăutner et al. (op. cit. pet. 18, 19).

(hidrotermale)-sedimentare formate în această fază, este participarea, alături de pirită, a calcopiritei, blendei și galenei, care tind să constitue în ansamblu minereuri de tip compact. Concomitența acestei faze cu o fază magmatogenă acidă (faza Fundu Moldovei) și localizarea frecventă a mineralizațiilor în produse tufogene acide sau în imediata apropiere a acestora, atestă filiația genetică a sulfurilor față de magmatismul acid.

Ultima fază metalogenetică cunoscută în timpul formării seriei de Tulgheș este *faza Arama Olt-Deluț*, subsecventă fazei magmatice Fundu Moldovei și, în partea ei finală, sincronă fazei magmatice acide Deluț; aceasta ar arăta legătura concentrațiilor pirotoase, în general diseminat formate în acest timp, față de magmatismul acid.

Credem că, concomitent cu partea finală a „fazei Arama Olt-Deluț” s-a desfășurat *faza Paltin*, cînd s-au format concentrații hidrotermale de galenă și blendă ± pirită, localizate adesea în corpurile de porfiroide riolitice care străbat formațiunile complexului Tg<sub>3</sub> (M. și G e o r g e t a M u r eșan 1976). În această fază s-au format ivirile pirotoase din zonă văii Muncelului (de la gura Piriului Scurt), localizate în porfiroidele de aici; de asemenea, acestei faze îi revin concentrațiile plumbo-zincifere (blendă galenă) de la Paltin, Singeroasa, Piriul cu Linia, din regiunea Tulgheșului.

#### F) CADRUL TECTONIC AL MINERALIZAȚIEI

Minereul de tip Huruba și cel de tip Hărălgia fiind concordante cu formațiunile seriei de Tulgheș, devine necesară caracterizarea tectonică a acestei serii, aşa cum apare în regiunea cercetată.

Direcția generală a formațiunilor epimetamorfice se menține și în acest sector, ca și în majoritatea zonei cristalino-mezozoice, orientată NW-SE. Particularitatea zonei luată în considerare constă în faptul că, șisturile cristaline ale seriei de Tulgheș sint în ansamblu răsturnate constant către NE ajungînd să incline cu circa 60—70° către sud; în acest fel, succesiunea geometrică este inversă față de succesiunea litostratigrafică. Această concluzie a fost obținută cu ajutorul procedeelor microtectonice, în special a celor legate de studierea tipului de microcute și a poziției spațiale a acestora.

În aflorimentele în care s-au observat cu claritate deformațiile care afectează seria de Tulgheș, s-a constatat existența mai multor generații de elemente structurale, ca urmare a succedării a 3 grupe de mișcări importante care au afectat seria menționată: tectonica B<sub>1</sub>, tectonica B<sub>2</sub> și tectonica S<sub>3</sub> (tab. 5).

Menționăm că și în alte sectoare ale zonei cristalino-mezozoice (K r ä u t n e r, P o p a, 1973; K r ä u t n e r et al., 1974<sup>49</sup>; P o p a, 1975, 1976), au fost menționate 3 tectonici, atribuite mișcărilor baicaliene (tectonica B<sub>1</sub>) și herciniene S<sub>2</sub> și tectonica S<sub>3</sub>). Observațiile noastre ne-au permis obținerea unor date noi care privesc stadiul în cadrul fiecărei tectonici (în special tectonicii B<sub>1</sub> și B<sub>2</sub>), morfologia elementelor structurale, geneza acestora; de asemenea, pe baza acestor date, putem face unele discuții privind vîrstă mișcărilor care au generat elementele structurale studiate. Datele și concluziile obținute în regiunea Hărălgia, corroborate atât cu observațiile noastre, făcute de-alungul anilor în alte sectoare din zona cristalino-mezozoică, în care se dezvoltă seria de Tulgheș (regiunea Frumoasa-Tulgheș, regiunea

<sup>49</sup> În lucrare vom justifica adoptarea denumirii de „tectonica B<sub>2</sub>”.

Ciocănești-Cîrlibaba, regiunea Pojorita-Leșu Ursului) cit și cu cele existente în literatura geologică (I. și Elvira Bercia, 1970; Gurău 1966, 1969; Käutner, Popa, 1973; Mureșan, 1964; Pitulea, 1965; Popa, 1975, 1976), ne arată unitatea și identitatea elementelor structurale care afectează seria menționată. În acest fel, descrierile și interpretările de ordin structural pot fi extrapolate pentru întreaga arie a seriei de Tulgheș.

Principalele criterii de grupare a deformațiilor sub forma celor trei tectonici menționate, le considerăm a fi următoarele :

a) vîrstă relativă de formare, rezultînd din relațiile geometrice dintre elementele structurale ;

b) congruență spațială, ca efect al aceleiași mișcări ;

c) consecutivitatea deformațiilor legate de aceeași mișcare ;

d) aspectul morfologic ;

e) paraleлизări cu deformațiile prezente în formațiuni metamorfice din alte sectoare ale arcului carpatic.

### 1. Tetonica $B_1$

Definim drept „tetonica  $B_1$ ” ansamblul celor mai vechi elemente structurale prezente în seria de Tulgheș, formate în mod cert în decursul metamorfismului regional al acesteia, ca urmare a unor mișcări predominant tangențiale pe direcția NE-SW. Deformațiile rezultate în acest timp sunt congruente spațial, prezintă o stadialitate legată de aceeași mișcare și au un caracter clar penetrativ, fiind prezente în tot volumul cunoscut al seriei de Tulgheș.

Elementele structurale principale, specifice tectoniciei  $B_1$ , sunt redate în tabelul 5. În funcție de comportarea materialului supus deformării, distingem un stadiu plastic și unul ruptural. În decursul primului stadiu limita de plasticitate nu a fost depășită, deformațiile neconducînd la discontinuități în masa rocii. În cel de-al doilea stadiu, eforturile tectonice continuind, pragul de plasticitate este depășit, în materialul solicitat luînd naștere deformații disjunctive (rupturale).

a) Sistozitatea de stratificație Ss s-a format în decursul blastezei principale intrucît în planul ei au cristalizat majoritatea filosilicătilor, iar alungirea multor granule de cuarț, feldspat, carbonați, etc. este paralelă cu ea. Se observă dispunerea în benzi a asociațiilor mineralogice (de exemplu, alternanță de benzi predominant sericito-cloritoase și benzi predominant cuartoase, întîlnită în șisturile sericito-cloritoase cuartoase), cea ce arată că sistozitatea metamorfică a luat naștere prin diferențierea metamorfică, în decursul mișcărilor diferențiale între strate (regula „pachetului de cărți de joc”), determinate de cutarea formațiunilor seriei de Tulgheș (cutare de îndoire cu alunecare concentrică); din acest punct de vedere ultim, se poate considera că, sistozitatea de stratificație a luat naștere prin forfecarea materialului sedimentogen<sup>50</sup>, de-alungul unor plane în ansamblu

<sup>50</sup> Stratificația fiind marcată adesea în sedimente numai prin rubanări, cărora nu le corespund întotdeauna plane de discontinuitate mecanică, formarea lui Ss presupune forfecarea intimă, penetrantă, a unui astfel de material, paralel (sau cvasiparalel) cu rubanarea. Distanța între planele Ss este cu atât mai mică cu cât materialul este mai bogat în filosilicăti (material incompetent).

TABELUL 5

*Principalele elemente structurale prezente în seria de Tulgheş \**

Tectonica	Stadiul	Elementul structural	Simbol
Tectonica $B_1$	Plastic	Şistozitate de stratificaţie Cute microscopice, mezoscopice şi macroscopice Lineaţii de încreţire (de îndoire), paralele cu axele cutelor $B_1$ . Planul axial al cutelor $B_1$	Ss $B_1$ $l_1$ $Pa_1$
	Ruptural	Clivajul axial al cutelor $B_1$ Şistozitatea clivajului axial $Cl_1$ Lineaţia dată de intersecţia lui $Scl_1$ ( $Cl_1$ ) cu Ss, paralele cu $l_1$ şi axele cutelor $B_1$	$Cl_1$ $Scl_1$ $l_1$
Tectonica $B_2$	Plastic	Cute microscopice, mezoscopice şi macroscopice, adesea sub-paralele cutelor $B_2$ Lineaţii de încreţire (îndoare), paralele cu axele cutelor $B_2$ Planul axial al cutelor $B_2$	$B_2$ $l_2$ $Pa_2$
	Ruptural	Clivajul axial al cutelor $B_2$ Şistozitatea clivajului axial $Cl_2$ Lineaţia dată de intersecţia lui $Scl_2$ ( $Cl_2$ ) cu Ss sau $Scl_1(Cl_1)$ , paralele cu $l_2$ şi cu axele cutelor $B_2$	$Cl_2$ $Scl_2$ $l_2$
Tectonica $S_3$	Plastic	Cute microscopice şi mezoscopice, oblice sau transversale faţă de cutele $B_1$ şi $B_2$ Lineaţii de încreţire (îndoare) paralele cu axele cutelor $B_3$ Planul axial al cutelor $B_3$	$B_3$ $l_3$ $Pa_3$
	Ruptural	Cute microscopice şi mezoscopice (oblice sau transversale faţă de cutele $B_1$ şi $B_2$ ) formate la intersecţia lui $Cl_3(Scl_3)$ cu Ss, $Scl_1(Cl_1)$ sau cu $Scl_2(Cl_2)$ Clivajul axial al cutelor $B_3$ Şistozitatea clivajului axial $Cl_3$ Lineaţia dată de intersecţia $Scl_3(Cl_3)$ cu Ss, $Scl_1(Cl_1)$ sau $Scl_2(Cl_2)$	$B_3$ $Cl_3$ $Scl_3$ $l_3$

\* În tabel nu au fost incluse fisurile şi faliile care afectează seria de Tulgheş.

N.B. Tectonica  $B_1$  şi tectonica  $B_2$ , au fost însoţite fiecare de formarea unor fisuri de tip ac.



paralele cu stratificația sedimentelor inițiale, fapt demonstrat de paralelismul lui Ss cu limitele litologice (fapt observabil la scară eșantionului și a aflorimentului) și litostratigrafice (situație observabilă la scară regională)<sup>51</sup>. Formarea șistozitatii de stratificație ca urmare a unor mișcări de forfecare în interiorul unui material supus cutării justifică încadrarea ei la elementele structurale tectonice, (spre deosebire de stratificația inițială, din sediminte, care reprezintă un element structural primar, netectonic).

Întrucit formarea lui Ss a fost amorsată odată cu primele mișcări diferențiale între strate, adică odată cu începutul mișcărilor de cutare sinmetamorfică (care au avut loc în decursul tectonicii B<sub>1</sub>), se poate considera că acest element tectonic și-a început evoluția mai timpuriu cel puțin față de cutele B<sub>1</sub> mezoscopice și microscopice (de tip drag-folds), formate și grefate ceva mai tîrziu pe flancurile cutelor megascopice<sup>52</sup>. Într-adevăr, la scară mezoscopică și microscopică, faptul că Ss este puțin anterioară cutelor B<sub>1</sub> este evident, întrucit concomitent cu ea și filosilicații din planul ei mulează aceste cute; dacă ar fi fost strict concomitente, aceste minerale ar fi trebuit să prezinte o orientare unică în material, indiferent de poziția în cută, ci numai în funcție de direcția presiunilor suferite în decursul blastezei. În consecință, principalul proces de recristalizare metamorfic s-a desfășurat în bună parte înaintea formării cutelor B<sub>1</sub>. Existența B-tectonitelor, evidențiată prin analiza structurală în seria de Tulgheș, din unele sectoare ale Carpaților Orientali (D i m i t r e s c u, 1965; K rău t n e r, 1965), ar veni în sprijinul asemănării noastre.

Sistozitatea de stratificație este afectată de către toate deformațiile celui de-al doilea stadiu al tectonicii B<sub>1</sub> ca și de cele aparținind tectonitelor B<sub>2</sub> și S<sub>2</sub>.

b) Cutele B<sub>1</sub> reprezintă unul din elementele tectonice cele mai importante ale seriei de Tulgheș, ale cărei formațiuni le afectează la scară micro-, mezo- și megasscopică.

Cutele B<sub>1</sub> s-au format sinmetamorfic, întrucit morfologia acestora indică formarea lor în stadiul plastic cel mai evident, cînd ductibilitatea și maleabilitatea materialului supus cutării erau maxime determinînd „urgerea” acestuia, fapt demonstrat de existența a numeroase microcute izoclinale, de îngroșarea sensibilă a zonelor de șarnieră și de laminarea (subțierea) flancurilor de cută; în zonele de șarnieră se situează cel mai adesea și cuartul exudat sinmetamorfic cea ce arată puternica rearanjare a materialului din rocile terigene cuartoase în funcție de dispunerea presiunilor în masa supusă deformației.

Cutele B<sub>1</sub> au luat naștere printr-o cutare de îndoire cu alunecare concentrică (fapt observat pentru prima dată în Munții Bistriței — C o d a r c e a et al., 1964), fapt indicat de lipsa unei legături genetice între aceste deformații și clivajele prezente în seria de Tulgheș, de dizarmo-

<sup>51</sup> Faptul că cea ce se numește șistozitate de stratificație este în general paralelă cu limitele litologice și litostratigrafice, s-a putut verifica prin lucrări miniere și foraje (în regiunile Burloaia, Fundu Moldovei, Leșu Ursului, Bălan's.a.), relieful structural major al formațiunilor seriei de Tulgheș, relief construit pe baza șistozitatilor de stratificație observate.

<sup>52</sup> A se vedea considerațiile referitoare la formarea cutelor B<sub>1</sub>.

niile de cutare (strătuletele incompetente constituie cute care nu se regăsesc în cele competente suprajacente sau subiacente acestora) de existența cutelor poligonale (cu clivaje divergente), de variațiile de grosime a stratelor în direcție paralelă cu planul axial al cutelor s.a.<sup>53</sup>.

Cutele  $B_1$  sunt în majoritatea cazurilor (în special în rocile incompetente) modificate prin aplatizare, ceea ce a condus la refularea materialului din zonele de șarnieră în lungul planului axial al cutelor<sup>54</sup>. Menționăm că în minereul compact de tip Hărălgia am observat existența cutelor modificate prin aplatizare (pl. II, fig. 1, 2).

Cutele  $B_1$  mezo- și microscopice sunt frecvent izoclinale (pl. III, fig. 1, 2; pl. IV, fig. 1, 2; pl. VI, fig. 1). Cute  $B_1$  megascopice cu tendință izoclinală au fost descrise la Leșu Ursului și Fundu Moldovei—sinclinalul și anticlinalul Fundu Moldovei—Broșteni (Codarcea-Dessila et al., 1964; Kräutner, 1965; H. și Florentina Kräutner, 1974; Bercia et al., 1967).

Procesul de formare al cutelor  $B_1$  ni-l imaginăm astfel: stiva evaziorizontală inițială a depozitelor primare ale seriei de Tulgheș, supusă primelor presiuni tangențiale, a început să formeze cute largi, fapt care a condus la apariția prin forfecare, a sistozității de stratificație, în planul căreia materialul primar recristalizează; continuarea mișcării de cutare accentuează cutele incipiente, mișcările diferențiale dintre strate se amplifică cea ce determină formarea cutelor microscopice și mezoscopice de antrenare (de tip drag-folds). Către sfîrșitul cutării de indoire cu alunecare concentrică, presiunile tangențiale nu se mai consumă în principal pentru indoirea stratelor (care au ajuns, cel puțin la scară micro- și megascopică, la forma de cute practic izoclinale) ci pentru „modificarea prin aplatizare” (sensu Ramsay, 1962) a cutelor deja formate, materialul din șarnieră fiind refulat în direcția planului axial al acestora. Datorită modificării prin aplatizare multe din cutele observabile direct, deși s-au format prin indoire cu alunecare concentrică, au aspecte morfologice apropriate de cele „similare”. În acest fel, considerăm că deși în ansamblu sunt contemporane, cutele  $B_1$  micro- și mezoscopice apar puțin mai tardiv în comparație cu cele megascopice. Nu este exclus ca ordinea de apariție a deformațiilor  $B_1$  să fie următoarea: cute megascopice—cute mezoscopice—cute microscopice, având ca bază raționamentul expus mai sus, privitor la formarea cutelor  $B_1$ .

În decursul proceselor de modificare prin aplatizare, putind avea loc refulări ale materialului în lungul axelor de cută, considerăm că formarea „fisurilor de tensiune” de tip „ac” este legată tocmai de aceste procese; aceste fisuri fiind evazi perpendicular pe axele cutelor, pot da indicații asupra direcției structurilor plicative  $B_1$ .

<sup>53</sup> Prezența B-tectonitelor (Dimitrescu, 1965; Kräutner, 1965) în cuprinsul unor roci din seria de Tulgheș din unele sectoare ale Carpaților Orientali constituie un argument în plus că în formațiunile acestia au avut loc procese de cutare prin indoirea stratelor.

<sup>54</sup> După datele pe care le deținem (profile informative, eșantioane din diverse colecții), reiese că „modificarea prin aplatizare” este un fenomen larg răspândit în șisturile cristaline de diverse vîrstă. Modificarea prin aplatizare a fost descrisă în Poiana Rusă (Mureșan, 1973), în formațiunile devonian-carbonifer inferioare.

Cutele  $B_1$  sunt observabile direct la scară microscopică și mezoscopică, deși de multe ori ele sunt puternic deranjate de către deformațiile mai noi, în special de clivaje; ele pot servi la stabilirea tipului de flanc (normal, răsturnat) și la stabilirea direcției și a eventualului plonj axial al structurilor plicative  $B_1$  megascopice, pe al căror flanc se grefează. Cercetările din regiunea Härlägia au evidențiat, în multe cazuri, flancuri inverse (cu căderi de  $60^\circ - 70^\circ$  către sud) cea ce ne-a condus la imaginea unei „răsturnări” în ansamblu a formațiunilor seriei de Tulgheș în acest sector, imagine întărâtă și de succesiunea litostratigrafică stabilită, care numai în această idee poate fi paralelizată cu alte regiuni din Carpații Orientali.

c) Liniațiile  $l_1$  s-au format prin încrețirea fină respectiv prin îndoirea filosilicăților reprezentând de fapt un caz particular al cutelor  $B_1$  situat la limita dintre mezoscopic și microscopic. Liniațiile  $l_1$ , fiind paralele cu cutele  $B_1$  servesc la stabilirea direcției structurilor megascopice  $B_1$ .

d) Clivajul axial  $Cl_1$  și sistozitata clivajului axial  $Scl_1$  marchează stadiul ruptural al tectoniciei  $B_1$ , cînd solicitările depășesc plasticitatea materialului supus cutării.

Aceste elemente structurale s-au format prin forfecare de-alungul unor plane paralele cu planul axial  $Pa_1$  al cutelor  $B_1$  în momentul în care accentuarea cutelor „de dragare” (tip drag-folds) conduce la laminarea totală și ruperea flancurilor acestor cută. Această concluzie este sprijinită de sensul mișcării observat de-alungul acestor plane de forfecare ( $Cl_1$  și  $Scl_1$ ) care este același cu sensul mișcărilor care au condus la formarea cutelor drag-folds. Astfel, de exemplu, mișcarea care conduce la formarea cutelor de antrenare (drag-folds) pe flancul normal al unor cută mezo- și megascopice, este de supraîmpingere, fapt constatat și în cazul continuării acestei mișcări de-a lungul planelor de forfecare reprezentate prin  $Cl_1$  și  $Scl_1$ . Acest mecanism conduce în cele din urmă la scurtarea flancului cuprins într-o șarnieră sinclinală și una anticinală, fenomen constatat la toate scările.

Atât în planul lui  $Cl_1$  cit și în cel al lui  $Scl_1$  recristalizează filosilicăți, arătînd concomitența lor cu procesele de blasteză sinmetamorfică. Deosebirea între  $Cl_1$  și  $Scl_1$  rezidă deci numai în frecvența acestora în rocile seriei de Tulgheș. În rocile competente se dezvoltă cu precădere  $Cl_1$ ; în cele incompetente (sisturi sericito-cloritoase, sisturi sericito-grafitoase etc.), se dezvoltă  $Scl_1$  cu frecvență milimetrică, fapt care în cele mai multe cazuri, face foarte greu sau chiar imposibil de observat sistozitatea de stratificație  $Ss$ , puternic deformată de  $Scl_1$ . Este în fond vorba de „transpunerea” sistozitatii de stratificație  $Ss$ , de-a lungul lui  $Scl_1$ .

Cazuri foarte clare de transpunere a lui  $Ss$  după  $Scl_1$  le-am întîlnit pe valea Huruba, pe valea Härlägia și pe Valea Muncelului unde există afloamente de sisturi cuarțoase în care, datorită proprietăților intermediere între „competență” și „incompetență” au putut fi observate toate stadiile de tranziție în formarea acestor deformații; în aceste cazuri, unghiul dintre  $Scl_1$  și  $Ss$  este mare (uneori apropiat de  $90^\circ$ ). În rocile incompetente, unghiul dintre  $Scl_1$  și  $Ss$  este adesea mic și foarte mic, cea ce poate conduce la confundarea acestora; resturile de micro-șarniere, observabile în secțiune transversală față de structura  $B_1$ , indică, în aceste situații transpunerea avansată a lui  $Ss$  după  $Scl_1$ . Unghiul foarte mic dintre  $Ss$  și  $Scl_1$ , în cazul rocilor incompetente (sisturi sericito-cloritoase, sisturi sericito-grafitoase), determină adesea ca sensul de inclinare al celor două elemente structurale să fie același: în cazul flancurilor normale  $Scl_1$  (respectiv  $Cl_1$ ) înclină mai puternic ca  $Ss$ , iar în cazul flancurilor inverse, mai slab ca  $Ss$ .  $Scl_1$  și  $Cl_1$  împreună cu  $Ss$  sint tautozonale față de axele cutelor  $B_1$ , consecință a modului lor de formare, expus mai sus.

Diferențierea metamorfică și blasteza s-au continuat în decursul formării lui  $Scl_1$ , întrucât o parte din filosilcați, cuarț etc. cristalizează în planul său, luând naștere rubanări și alternanțe de benzi diferite mineralogic; exudările de cuarț hidrotermal-metamorfic continuă și în acest timp. În această privință se poate afirma totuși că majoritatea cuarțurilor „exudate” sinmetamorfic se formaseră deja în stadiul plastic al tectonicii  $B_1$ , întrucât cuarțurile exudate pe  $Ss$  (deci majoritatea cuarțurilor exudate din seria de Tulgheș) sunt toate intrerupte prin forfecare de către  $Cl_1$  și  $Scl_1$ .

Frecvența deosebită a lui  $Scl_1$ , caracterul puternic penetrant al acestui element structural și celelalte caracteristici ale sale amintite mai sus, conferă sistozității clivajului axial o importanță deosebită în cadrul ansamblului deformațiilor care afectează seria de Tulgheș.

Pozitia în spațiu a lui  $Scl_1$  și ale lui  $Cl_1$ , în regiunea Hărălgia, este caracterizată în ansamblu prin direcția NW-SE și printr-o inclinare relativ puternică ( $50-70^\circ$ ), de obicei către SW (fig. 12).

e) Liniațile  $l'_1$  sunt determinate de intersecția sistozității de stratificație  $Ss$  cu  $Cl_1$  și  $Scl_1$  fiind deci vorba de lineații formate prin microforfecare.  $Cl_1$  și respectiv  $Scl_1$  fiind paralele cu planele axiale  $Pa$ , ale cutelor  $B_1$ , rezultă că lineațile  $l'_1$  sunt la rîndul lor paralele cu lineațile  $l_1$  și axele cutelor  $B_1$ ; în consecință ele dău aceleași indicații asupra poziției spațiale a axelor cutelor  $B_1$  megascopice.

## 2. Tectonica $B_2$

Definim drept „tectonica  $B_2$ ” ansamblul acelor elemente structurale care deranjează pe cele aparținând tectonicii  $B_1$  și care sunt la rîndul lor deranjate de tectonica  $S_3$ . Deformațiile rezultate în acest timp, sunt congruente spațial, prezintă o stadialitate legată de aceeași mișcare și au în general un caracter penetrativ, fiind frecvente în volumul cunoscut al formațiunilor seriei de Tulgheș.

Datorită faptului că elementele plane direcționale (plane axiale, sistozități, clivaje) sunt adesea cvazi tautozonale față de cele ale tectonicii  $B_1$  (luând în considerare axele cutelor  $B_1$ ), rezultă frecvent poziția paralelă sau subparalelă a elementelor lineare (axe de cute, liniații) aparținând tectonicii  $B_2$ , față de elementele lineare ale tectonicii  $B_1$ <sup>55</sup>; deoseberea esențială de ordin spațial se referă la faptul că planele axiale respectiv clivajele și sistozitățile paralele cu ele sunt sensibil mai slab inclinate în comparație cu cele ale tectonicii  $B_1$ , din acest punct de vedere avind de fapt de afacă cu cute apligate (cvazi orizontale).

Schimbarea netă a inclinării planului axial în decursul noilor mișcări semnifică un hiatus, respectiv o discontinuitate importantă între procesele de cutare care au condus la tectonica  $B_1$  și cele care sunt răspunzătoare de

<sup>55</sup> Cvazicoaxialitatea relativ frecventă a elementelor tectonicii  $B_2$  față de cele ale tectonicii  $B_1$  a fost întîlnită și în alte sectoare ale zonei cristalino-mezozoice (I. și Elviră Bercea, 1970).

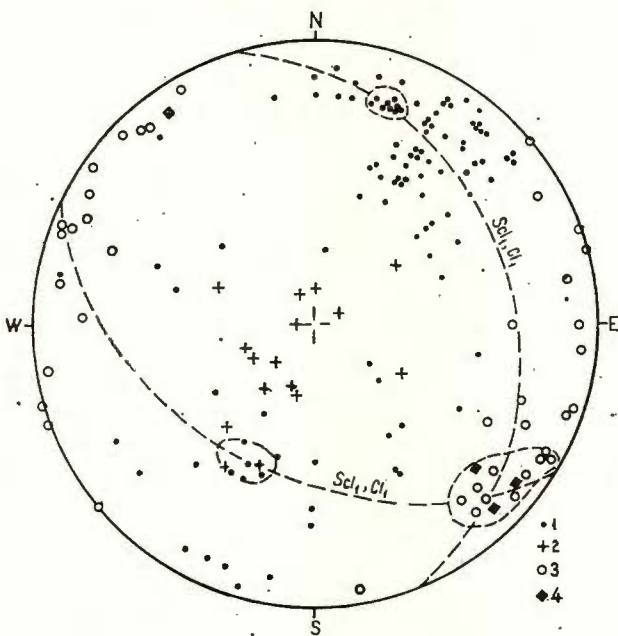


Fig. 12. — Diagrama clivajelor și a șistozităilor de clivaj ale tectonicii  $B_1$  și ale tectonicii  $B_2$  și relațiile acestora cu axele cutelor  $B_2$ . Emisfera inferioară. Datorită structurilor megascopice  $B_2$ , polii șistozităilor  $Scl_1$  și ai clivajelor  $Cl_1$  (1) descriu o centură orientată NNE-SSW, în care se dețează evident zona de concentrare din cadrul nord-estic și apoi zona de concentrare (mai slabă) din cadrul sud-vestic; în sectorul de intersecție al cercurilor corespunzătoare acestor două maxime, se plasează și maximumul axelor de cufe mezoscopice  $B_2(3)$ , cea ce arată unitatea genetică a structurilor megascopice și mezoscopice  $B_2$ . Polii fisurilor „ac” (4) corespunzătoare tectonicei  $B_2$  se situează în zona maximului axelor  $B_2$ , care arată o tendință de afundare către SE a megastructurii  $B_2$ . Poziția clivajelor  $Cl_2$  și ale șistozităilor  $Scl_2$  (2) arată că poziția teoretică a planului axial  $Pa_2$  al megastructurii  $B_2$  este în ansamblu slab înclinată către NE.

Diagramme des clivages et des schistosités de clivage de la tectonique  $B_1$  et de la tectonique  $B_2$  et les relations de celles-ci avec les axes des plis  $B_1$ . L'hémisphère inférieure. Grâce aux structures méga-scopiques  $B_2$ , les pôles des schistosités  $Scl_1$  et des clivages  $Cl_1$  (1) tracent une ceinture orientée NNE-SSW, où se détache une zone de concentration du cadran nord-est et ensuite une zone de concentration (plus faible) du cadran sud-ouest ; dans le secteur d'intersection des cercles correspondants à ces deux maximums, se situe également le maximum des axes de plis mésoscopiques  $B_2$  (3), ce qui dénote l'unité génétique des structures méga-scopiques et mésoscopiques  $B_2$ . Les pôles des fissures „ac” (4) correspondantes à la tectonique  $B_2$  se situent dans la zone du maximum des axes  $B_2$ , qui montre une tendance d'affaissement vers SE de la megastructure  $B_2$ . La position des clivages  $Cl_2$  et des schistosités  $Scl_2$  (2) montre que la position théorique du plan axial  $Pa_2$  de la megastructure  $B_2$  est en ensemble faiblement inclinée vers NE.

tectonica  $B_2$ , fapt care justifică separarea celor două tectonici, care după unii autori (Kräutner, Popa, 1973; Kräutner et al., 1975<sup>56</sup>) s-ar fi desfășurat în orogeneze diferite (baicaliană și respectiv hercinică).

În funcție de comportarea materialului supus deformării distingem, și în cazul tectonicii  $B_2$ , un stadiu plastic și unul ruptural. În decursul primului stadiu limita de plasticitate nu a fost depășită, deformațiile neconducind la discontinuități în masa rocii. În cel de-al doilea stadiu, eforturile tectonice continuând cu aceeași direcție și cu același sens, pragul de plasticitate este depășit, în materialul solicitat luând naștere deformațiile disjunctive (rupturale).

Condițiile în care au luat naștere deformațiile tectonice  $B_2$ , erau simțitor diferite față de cele anterioare, sincrone tectonicii  $B_1$ ; aceste condiții se referă în primul rînd la starea fizico-chimică și geometrică a materialului în timpul tectonicii  $B_2$ . Astfel, formațiunile seriei de Tulgheș erau deja deformate (în principal cutate), poziția lor fiind puternic redresată față de orizontală; locul sedimentelor inițiale era deja luat de roci metamorfice cu alte proprietăți mecanice, datorită în primul rînd blastezei principale sinmetamorfice, care a condus la recristalizări de minerale paralele cu  $Ss$  și cu  $Scl_1$ ; datorită ultimului proces, apa din sedimentele inițiale a fost în cea mai mare parte incorporată în mineralele hidroxilate, în acest fel ei nerevenindu-i un rol deosebit în influențarea procesului de cutare, așa cum desigur că s-a petrecut în timpul tectonicii  $B_1$ . Redresarea stratelor, prin cutarea  $B_1$ , ar putea explica, după părerea noastră, de ce planele axiale ale cutelor  $B_1$  sunt slab inclinate: în timpul cutării  $B_2$  forțele tangențiale au dat naștere cutelor  $B_2$  pe flancurile deja puternic inclinate ale structurilor  $B_1$ .

Elementele structurale principale, specifice tectonicii  $B_2$ , sunt redate în tabelul 5.

a) Cutele  $B_2$  reprezintă unul din elementele structurale cele mai frecvent întâlnite în cuprinsul deformațiilor tectonice  $B_2$ . Cutele  $B_2$  au fost considerate de către cercetătorii anteriori (I. și Elvira Bercia, 1970; Kräutner, Popa, 1973; Kräutner et al. 1975<sup>57</sup>), ca fiind formate numai prin forfecare de-a lungul unor plane de clivaj. Credem că acest punct de vedere nu poate fi susținut și considerăm că aceste cute s-au format în stadiul inițial, prin îndoire, afirmație bazată pe următoarele date de observație, recoltate de noi atât din regiunea Hărălăgia cît și din alte sectoare din Carpații Orientali (zona Mihăileni-Bălan-valea Belcina; zona Ciocănești-Cîrlibaba; zona Leșu Ursului): 1, existența a numeroase cazuri de cute  $B_2$  micro- și mezoscopice lipsite de clivaje axiale; 2, dizarmonii de cutare între strătuletele competente și cele incompetent, fenomen neîntîlnit la cutele formate prin forfecare (cute similare); 3, existența unor microcute de antrenare (tip drag-folds), pe flancurile cutelor  $B_2$ ; 4, prezența cutelor  $B_2$  modificate prin aplativare, la care grosimile stratelor cutate variază atât perpendicular față de stratificare cît și în direcții paralele cu urma clivajelor  $Cl_2$ , în secțiunea transversală a cutei;

<sup>56</sup> Op. cit. pct. 19.

<sup>57</sup> Op. cit. pct. 19.

5, prezența fisurilor de tensiune de tip „ac” care însotesc adesea microcutele  $B_2$ , fenomen neîntîlnit la cutedele de forfecare.

În decursul tectoniciei  $B_2$  s-au format cert cutede micro- și mezoscopice fapt constatat direct atât în regiunea Härälgia, cit și în alte sectoare din zona cristalino-mezozoică (I. și Elvira Bercea, 1970; Kräutner, Popa, 1973; Kräutner et al., 1975<sup>58</sup>).

Pe valea Huruba, în amonte de confluența cu Pârâul Argintăria, în zona carierei în care sunt deschise cufările grafitoase și șisturile cufărtoase grafitoase ale orizontului  $Tg_{27}^{Ca}$ , am avut prilejul să observăm o cută  $B_2$  de ordinul a 10–15 m, fapt nemenționat pînă acum în Carpații Orientali.

După cum am arătat, în zona studiată am constatat în ansamblu o structură deversată spre NE, datorită căreia succesiunea litostratigrafică apare inversată; credem că acest fapt se datorează unei cutede megascopice  $B_2$ , formațiunile seriei de Tulgheș, urmărite la suprafață în regiune, amplasându-se în ansamblu pe flancul superior al acestei structuri plicative, al cărui plan axial este slab inclinat. Inclinarea acestui plan axial este probabil nord-estică, judecind după faptul că planele axiale ale cutedelor  $B_2$  mezoscopice au inclinări similară. Existența acestei structuri plicative  $B_2$ , de ordin megoscopic, o presupunem bazată în primul rînd pe faptul că, în afara regiunii noastre, la nivele morfologice inferioare, situația tinde să se normalizeze, formațiunile căzind normal spre NE. Pe flancul cunoscut al acestei structuri, înspre partea sa superioară se grefează probabil cutede  $B_2$  tot megascopice, întrucît în zona crestei Härälgia (cca 1400–1500 m altitudine, respectiv 600–700 m diferență de nivel față de nivelele morfologice inferioare de pe Valea Muncelului) formațiunile tind să încline normal spre NE. Cuta megascopica  $B_2$  menționată a fost figurată pe secțiuni geologice efectuate în regiune (pl. X); întrucît formațiunile din ce în ce mai noi se află în concavitatea acestei structuri, ea reprezintă un sinclinat cu planul axial slab spre NE.

Efectele structurale de ordin regional al cutedelor  $B_2$  în comparație cu efectele celorlalte elemente structurale cogenetice ( $Cl_1$ ,  $Scl_1$  etc.) și formarea inițială a acestor cutede prin flexurare ne-au determinat să adoptăm denumirea de „tectonică  $B_2$ ” în loc de „tectonică  $S_2$ ” sau „deformații  $S_2$ ”, termeni utilizati anterior.

Cutedele  $B_2$  micro- și mezoscopice au fost observate de noi în toate rocile din regiune (roci terigene, roci tufogene acide și bazice, porfiroide) cit și în minereurile metamorfozate de tip Härälgia și Huruba, arătind că acestea s-au format înaintea cutedelor  $B_2$ . Forma cutedelor  $B_2$  mezoscopice variază de la simple indoiri ale elementelor plane anterioare ( $Ss$ ,  $Cl_1$ ,  $Scl_1$ ) pînă la microanticlinorii și microsinclinarii, cu aspecte relativ apropiate de cutedele  $B_1$ . Cutedele  $B_2$  deformăază evident elementele plane ale tectoniciei  $B_1$ : șistozitatea de stratificație  $Ss$ , planele axiale  $Pa_1$  ale cutedelor  $B_1$ , clivajul  $Cl_1$  și șistozitatea de clivaj  $Scl_1$ . Exemple foarte clare le-am întîlnit pe văile Härälgia, Huruba, Muncel și Bistricioara.

b) Lineațiile  $l_2$  s-au format prin încrățire fină, adică prin îndoirea filosilicătilor, reprezentind în fond un caz particular al cutedelor  $B_2$ , situat la limita dintre mezoscopic și microscopic; ele sunt paralele cu axele cutedelor  $B_2$  (fapt observabil direct cu ochiul liber). Întrucît însuși axele  $B_2$  fiind freevent subparalele axelor  $B_1$  și lineațiilor  $l_1$ , rezultă că  $l_2$  are o poziție similară față de elementele menționate ale tectoniciei  $B_1$ .

<sup>58</sup> Op. cit. pct. 19.

c) Clivajul axial  $\text{Cl}_2$  și șistozitatea clivajului axial  $\text{Scl}_2$  (formată prin îndesirea locală a lui  $\text{Cl}_2$ ) marchează stadiul ruptural al tectonicii  $B_2$ , cînd solicitările depășesc plasticitatea materialului supus cutării.

Acste elemente structurale s-au format prin forfecare de-alungul unor plane paralele cu planul axial al cutelor  $B_2$ , care s-au format în momentul în care pragul de plasticitate a rocilor a fost depășit. Direcția mișcării observate de-alungul acestor plane de forfecare ( $\text{Cl}_2$  și  $\text{Scl}_2$ ) coincide cu cea a mișcărilor care au condus la formarea cutelor  $B_1$ . În multe cazuri, mișcarea de-alungul lui  $\text{Cl}_2$  și  $\text{Scl}_2$  are un caracter de supra-împingere (în regiune, în general, de la NE către SW), fapt menționat și în alte regiuni în care se dezvoltă seria de Tulgheș (Kräutner, Popa, 1973; Kräutner et al., 1975<sup>59</sup>).

În timpul forfecării, de-alungul planelor  $\text{Cl}_2$  și  $\text{Scl}_2$ , în zonele de contact al microcompartimentelor care se deplasau în sens contrar, se formează uneori îndoiri ale elementelor plane formate anterior ( $\text{Ss}$ ,  $\text{Cl}_1$ ,  $\text{Scl}_1$ ) trecindu-se astfel de la microcutele de îndoire  $B_2$  la microcute de forfecare. Este posibil ca microcutele de forfecare, evidențiate prin studii petrotectonice în regiunea Iacobeni (Dimitrescu, 1965) să aparțină tectonicii  $B_2$ , adică să fie formate prin forfecare de-a lungul planelor  $\text{Cl}_2$  și  $\text{Scl}_2$ .

Uneori, am observat cum  $\text{Cl}_2$  și  $\text{Scl}_2$  traversează porțiunile incompetent (bogate în filosilicați) ale rocilor, nedezvoltindu-se în cele competente; în acest fel avem de-aface cu cufe mixte (de forfecare și de îndoire).

Local, unde șistozitatea  $\text{Scl}_2$  este foarte pregnantă, șistozitățile anterioare ( $\text{Ss}$  și  $\text{Scl}_1$ ) sunt parțial sau chiar total sterse, în care caz avînd de-aface cu o adevărată transpunere a șistozităților anterioare după  $\text{Scl}_2$  (valea Huruba).

În regiunea Hărlăgia, direcția generală a elementelor  $\text{Cl}_2$  și  $\text{Scl}_2$  este nord-vestică iar înclinarea (de obicei mică) a acestora este în general nord-estică.

Formarea în decursul tectonicii  $B_2$  a unor plane de clivaj, inclinate relativ slab, a favorizat instalarea de-alungul acestora a unor falii slab inclinate și, probabil, microîncălecări (alpine?), a căror existență ar putea explica neconcordanțele care au fost întâlnite frecvent în zona mineralizațiilor, neputind fi adesea corelate, normal, datele de suprafață cu cele din subteran (cadru galericiei 1 Hărlăgia și cel al galeriei 1 Huruba).

d) Liniațiiile  $\text{l}'_2$  s-au format la intersecția lui  $\text{Scl}_2$  (respectiv  $\text{Cl}_2$ ) cu elementele plane anterioare:  $\text{Ss}$ ,  $\text{Cl}_1$ ,  $\text{Scl}_1$ ; ele sunt paralele liniaților  $\text{l}_2$  (de încrețire) și adesea cvazi paralele liniaților și axelor aparținînd tectonicii  $B_1$ .

### 3. Tectonica $S_3$

Succesiunea deformațiilor penetrante și semipenetrante din seria de Tulgheș se încheie cu formarea unor cufe mezo- și microscopice  $B_3$ , care au luat naștere prin forfecare de-a lungul unui clivaj  $\text{Cl}_3$  cu poziție oblică sau transversală față de structurile  $B_1$  și  $B_2$ . În consecință, microcutele  $B_1$  sunt dispuse oblic sau transversal față de microcutele  $B_1$  și  $B_2$ ,

<sup>59</sup> Op. cit. pct. 19.

poziția lor fiind determinată de intersecția clivajului  $Cl_3$  cu elementele plane formate anterior ( $S_s$ ,  $Scl_1$ ,  $Scl_2$ ). Există cazuri cind în cadrul cutelor  $B_3$  nu se materializează  $Cl_3$ , deși sensul de mișcare la diverse microcute de acest gen, este același cu cel întlnit la microcutele  $B_3$  cu clivaj. Aceasta arată că înainte de materializarea lui  $Cl_3$  a existat un scurt stadiu plastic sau semiplastic cind s-au schițat microcutele  $B_3$ , urmat imediat de stadiul ruptural cind forfecarea devine evidentă. Clivajul  $Cl_3$  este paralel cu planul axial al cutelor  $B_3$  și reprezintă elementul structural principal al tectonicii  $S_3$ . Sensul mișcărilor de forfecare de-a lungul lui  $Cl_3$  este relativ constant în regiune, având caracterul unei subîmpingeri. În cazurile observate,  $Cl_3$  este orientat în general NE-SW și are căderi variabile spre SW. Local, se observă îndesiri ale acestui clivaj, care se transformă în sistozitate de clivaj  $Scl_3$ ; la intersecția lui  $Scl_3$  cu elementele structurale mai vechi se formează liniații  $l_3$  paralele cu axele cutelor de forfecare  $B_3$ . Pe planele  $Cl_3$  și  $Scl_3$  se observă uneori cuarț exudat, ceea ce arată că în decursul formării acestora în roci mai aveau loc unele readaptări mineralogice de tip metamorfic.

Deformațiile tectonicii  $S_3$ , spre deosebire de cele anterioare, sunt răspândite neomogen în volumul cunoscut al seriei de Tulgheș; și aici se poate face remarcă că în rocile incompetente aceste deformații sunt mai frecvente în comparație cu cele competente. De asemenea, am observat că frecvența clivajelor  $Cl_3$  sunt mai vizibile și mai dese în rocile cu competență mai ridicată.

O parte din faliile din regiune, formate ulterior tectonicii  $S_3$ , s-au grefat de-a lungul clivajelor  $Cl_3$ .

Deformațiile  $S_3$ , din seria de Tulgheș, au fost atribuite în regiunea Bălan (Kráuter et al., 1973) mișcărilor hercincice, prin analogia lor morfologică cu deformațiile similare cunoscute în serile paleozoice cutate hercincice din Carpații Orientali (seriile de Repedea, Tibău și Rusaia) și Meridionali (cristalinul de Poiana Rusă — Kräuter et al., 1973) și pe baza frecvenței în seria de Tulgheș a vîrstelor-model K/Ar corespunzătoare mișcărilor hercincice (regenerare hercincică). Deformațiile tectonicii  $S_3$  putând fi sincrone cu cele similare din Munții Apuseni (Dimirescu, 1964) și cu cele din Poiana Rusă (Kräuter et al., 1973) ar putea fi formate în faza saalică a mișcărilor hercincice.

#### 4. Dislocații disjunctive

Formațiunile seriei de Tulgheș sunt afectate de numeroase fali și fali-decroșări, dintre care, pe harta anexată, au fost reprezentate numai cele mai importante (de la NW către SE): falia Härwägia, falia est-Härwägia, falia Bradu (cu falia de sprijin vest-Bradu), falia Arinișu, falia Borviz și falia Paltinu. În ansamblu, toate aceste fali sunt orientate NE-SW, majoritatea acestora având compartimentul de NW impins către NE.

Planul disjunctiv major din regiune este falia Härwägia, care pune în contact formațiunile seriei de Tulgheș cercate de noi cu șisturile aceleiași serii, constituite din roci sericito-cloritoase cu intercalări de șisturi sericito-cloritoase cu albă și de metabazite, a căror poziție stratigrifică nu o putem preciza în stadiul actual. Din aceste motive, în colțul de nord-vest al hărții arată că în compartimentul din stînga faliiei menționate, seria de Tulgheș a fost reprezentată nedivizat.

## BIBLIOGRAFIE

- Bercia I., Bercia Elvira (1970) Contribuții la cunoașterea geologiei regiunii Vatra Dornei-Iacobeni. *An. Inst. Geol.* XXXVIII, p. 7–49, București.
- Bercia Elvira, Kräutner H., Kräutner Florentina, Mureșan M. (1967). Unitățile tectonice, structura și stratigrafia formațiunilor metamorfice din zona cristalino-mezozoică a munților Bistriței (Carpații Orientali). *D.S. Com. Geol.* LIII/1 (1965–1966), p. 17–38, București.
- Chelărescu A. (1937) Gisements métallifères de Tulgheș. *Ann. Sci. Univ. Jassy* XXII 2, ă. 346–372, Iași.
- Codarcea-Dessila Marcela, Bercia I., Kräutner H., Mureșan M. (1964) Cercetări structurale și stratigrafice în cristalinul Bistriței (regiunea Bârnărel-Holdița). *D.S. Com. Geol.* L/2 (1962–1963), p. 3–23, București.
- Dimitrescu R. (1964) Date microtectonice asupra regiunii Cimpeni. *D.S. Com. Geol.* L/1, p. 193–195, București.
- (1965) Notă asupra structurii cristalinului din regiunea Iacobeni. *D.S. Inst. Geol.* LI/1 (1963–1964), p. 15–30, București.
- Gurău A. (1966) Importanța cercetării elementelor microtectonice principale în unele zăcăminte metalifere localizate în șisturile cristaline din România. *Bul. Soc. St. Geol. R.S. România* X, 1, p. 73–92, București.
- (1969) Studiul structural și genetic al zăcămintelor metalifere din șisturile cristaline ale Carpaților Orientali. *D.S. Com. Stat. Geol.* LIV/2, 151–186, București.
- Ianovici V., Rădulescu D., Dimitrescu R., Kräutner H., Mirăuță O. (1966) Harta metalogenetică a României. Scara 1 : 2.500 000. *Acad. R.S.R. Stud. cerc. geol. geofiz. geogr. Ser. geol.* 11, 2, p. 149–160, București.
- Ilieșcu Violeta, Mureșan M. (1972) Asupra prezenței Cambrianului inferior în Carpații Orientali-seria epimetamorfică de Tulgheș. *D.S. Inst. Geol.* LVIII/4, p. 97–110, București.
- Kräutner H. (1965) Considerații genetice asupra zăcămintelor de sulfuri complexe din cristalinul Carpaților Orientali. *Acad. R.S.R. Stud. cerc. geol. geofiz., geogr., Ser. geol.* 10, 1, p. 195–228, București.
- Kräutner Florentina (1974) Litostratigrafia seriei de Tulgheș, din pinza de Putna, în regiunea Botuș-Breaza (Carpații Orientali). *D.S. Inst. Geol.* LX/1 (1972–1973) p. 27–52, București.
  - Mureșan M., Iliescu Violeta, Minzatu Silvia, Vijdea Eleonora, Tănărescu Anca, Ionică Magdalena, Andăr Anca, Anastase S. (1972) Devonian-Carboniferul inferior epimetamorfic din Poiana Rusă. *D.S. Inst. Geol.* LIX/4, p. 5–63, București.
  - Popa G. N. (1973) Succesiunea litostratigrafică și tectonică a Cambrianului inferior epimetamorfic (seria de Tulgheș) din regiunea Bălan-Carpații Orientali. *D.S. Inst. Geol.* LIX/1 (1972), p. 251–278 București.
- Mureșan Georgeta, Mureșan M. (1972) Asupra prezenței conglomeratelor metamorfozate în seria de Tulgheș (zona cristalino-mezozoică a Carpaților Orientali). *D.S. Inst. Geol.* LVIII (1971), 243–256, București.
- Mureșan M. (1964) asupra prezenței unor elemente microtectonice în șisturile cristaline din R.P. Română. *Acad. R.S.R. Stud. cerc. geol., geof., geogr. Ser. geol.* 9, 2, p. 451–475, București.
- (1967) Structura tectonică a părții de sud a zonei cristalino-mezozoice din Carpații Orientali. *Acad. R.S.R. Stud. cerc. geol. geof. geogr. Ser. geol.*, 12, 1, p. 243–248, București.
  - (1968) Metamorphic formations. In "Crystalline Mesozoic and Flysch Complexes of the East Carpathians (Northern Sector)", by T. h. Joja, Mutihac V., Mureșan M., *Intern. Geol. Congr., Sess. XXIII*, Prague, 1968. Guide to Excursion 46, AC, 9–13, Romania, București.
  - (1973) Formațiunile epimetamorfice din partea de nord-vest a masivului Poiana Rusă (Carpații Meridionali). *An. Inst. Geol.* XLII, p. 7–337, București.
  - (1976) O nouă ipoteză privind pinzele bucovinice din partea sudică a zonei cristalino-mezozoice a Carpaților Orientali. *D.S. Inst. geol. geof.* LXII/5 (1975), București.



- Mureșan Georgea (1976) Concentrațiile hidrotermale plumbo-zincifere metamorfozate din zona Paltin-Singeroasa, un nou tip genetic de mineralizație asociată formăriilor epimetamorfice cambrian inferioare ale seriei de Tulgheș (Carpații Orientali). *Inst. geol. geof. Stud. tehn.-econ. ser. A*, nr. 12, (1974–1975), București.
- Pitu Ilea G. (1965) Studiul stratigrafic și structural al cristalinului epimetamorfic din regiunea Gemenea-Ostra. *D.S. Com. Geol.* LI/1, p. 117–136, (1963–1964), București.
- Popa G. N. (1974) Litostratigrafia și tectonica seriei de Tulgheș la nod de regiunea minieră Bălan (perimetrul Sipoș-Belcina-Carpații Orientali). *D.S. Inst. Geol.* LX/2, p. 65–88, (1972–1973), București.
- (1975) Litostratigrafia și tectonica seriei de Tulgheș între valea Putna și valea Belcina-Carpații Orientali. *D.S. Inst. geol. LXI/2* (1973–1974), 151–177, București.
- Puiu V., Puiu Maria (1967) Notă asupra mineralizației de sulfuri polimetalică din regiunea Bilbor-Härlägia. *D.S. Inst. geol.* LII/3 (1964–1965), p. 149–156, București.
- Ramdohr P. (1960) Die Erzmineralien und ihre Verwaschungen. Akad. Verlag, Berlin.
- Ramsay J. G. (1962) The geometry and mechanics of formation of „similiflar” type ods. *Journ. Geol.* 70, 3, p. 309–327, Chicago.
- Savu H., Borcoș M., Kräutner H. (1968) Notă explicativă la harta metalogenetică a R.S. România. Sc. 1 : 1.000.000, București.
- Vasilescu A. (1962) Contribuții la cunoașterea rocilor porfiroide și a zăcămintelor de sulfuri asociate sisturilor cristaline din regiunea Baia Borșa (Maramureș). *D.S. Com. Geol.*, XLVI, (1958–1959), p. 53–73, București.
- Turner F. J., Weiss L. E. (1963) Structural analysis of metamorphic tectonites. McGraw-Hill Book Comp., Inc., New-York-San Francisco-Toronto-Londra.
- Zineenco D., Andăr P., Andăr Anca, Volanschi Ernestina (1973) Studiul geochemical al mineralizațiilor stratiforme de sulfuri polimetallice din zăcămîntul Burloaia-Carpații Orientali. *Acad. R.S.R. Stud. cerc. geol. geof. geogr., Der. geol.* 18, 1, p. 41–65, București.

## MINÉRALISATIONS DE SULFURES VOLCANOGÈNES-SÉDIMENTAIRES MÉTAMORPHISÉES DE LA ZONE DE HÄRLÄGIA DANS LE CONTEXTE LITHOSTRATIGRAPHIQUE, MAGMATOGÈNE ET TECTONIQUE DE LA SÉRIE ÉPIMÉTAMORPHIQUE DE TULGHEŞ-CAMBRIEN INFÉRIEUR (CARPATES ORIENTALES)

(Résumé)

Dans la pile épimétamorphique cambrienne inférieure de la série de Tulgheş, de la zone de Härlägia, se situent les minéralisations de sulfures volcanogènes-sédimentaires.

### A) Caractères macroscopiques et microscopiques de la minéralisation

Dans la région, on connaît deux types de minéralisations : 1. minéralisations compactes de sulfures, connues dans la partie supérieure (au-dessous de la crête de Härlägia) et dans la partie moyenne du ruisseau de Härlägia ; 2. minéralisations disséminées de sulfures, connues au confluent entre la vallée de Härlägia et la vallée de Huruba et dans la colline d'entre la vallée de Huruba et le ruisseau d'Argintăria.

**1. Minéralisations compactes de sulfures (type Härlägia).** Le minérai compact tient une texture massive, quelquefois finement stratifiée, aspect dû à l'alternance de sulfures compactes à minces couches contenant du quartz et des chlorites associées à sulfures. D'autres fois, la tex-



ture rubanée est le résultat de l'alternance des zones pyriteuses avec les zones quartzzeuses ayant de la pyrite finement disséminée qui imprime la couleur noire. Les portions pyriteuses se font remarquer par l'augmentation porphyroblastique des individus de pyrite dans la matrice pyriteuse finement granuleuse. Il arrive parfois que le minéral compact pyriteux finement rubané contienne du quartz mobilisé synmétamorphique.

Rarement, on observe des microplis en minéral qui trahit la déformation synmétamorphique de celui-ci. Dans ces cas, il y a une tendance d'épaisseur du matériel plissé en charnière.

La structure du minéral granuleuse à tendances porphyriques est la conséquence de la présence, dans la matrice finement pyriteuse (associée à blende, galène et chalcopyrite), de certaines porphyroblastes (de 3–5 mm) de pyrite à contours hypidiomorphes et même idiomorphes.

Les proportions des minéraux métalliques sont : pyrite 32–77%, blende 1,5–25%, galène 0,25–10%, chalcopyrite 0–2,5%, sporadiquement pyrrhotine, tétraédrite, marcassite (les trois derniers minéraux sous 1%).

Les aspects structuraux-minéralogiques du minéral reflète le comportement des minéraux constituants au cours de la recristallisation métamorphique, dans le cadre d'un minéral riche en minéraux „durs” (pyrite) qui ont déterminé les minéraux plus „mous”, avec une puissance de recristallisation plus faible (blende, galène, chalcopyrite, tétraédrite) d'occuper et de pénétrer dans les espaces irréguliers d'entre les granules de pyrite ainsi que parmi leurs fissures, donnant ainsi l'impression d'appartenir à une génération plus récente. En réalité, tous ces minéraux sont contemporains, appartenant à l'accumulation initiale volcanogène-sédimentaire et qui, soumis au métamorphisme régional, s'est transformée en minéral prédominant pyriteux compact associé aux sulfures susmentionnées.

**2. Minéralisations disséminées de sulfures (type Huruba).** L'aspect textural du minéral est rubané ; parfois, des microplis observés dans la masse du minéral démontrent les déformations subi par lui. Au microscope et à l'œil nu, on vit de la pyrite, fréquemment idiomorphe et hypidiomorphe, localisée sous forme de granules et agrégats dans une gangue quartzee à séricite et un peu de chlorite. La blende et le tétraédrite sont associés intimement, à aspect d'exsolutions ; ils constituent de petites granules ou de petits filons minces.

#### B) Caractères géochimiques de la minéralisation

Le soufre, en quantités appréciables (22,23–42,76%) est l'élément prépondérant en minéral ; il provient surtout de la pyrite, galène, chalcopyrite et tout à fait subordonné de la pyrrhotine, marcassite et tétraédrite (minéraux qui en ensemble ne dépassent pas 1% de la masse du minéral).

Le fer (calculé du point de vue normatif), en proportions de 15,34–35,55%, tient une double provenance : de la pyrite (le fer de ce minéral atteind 15,34–35,22% de la masse du minéral) et de la chalcopyrite (le fer lié à la chalcopyrite = 0,12–0,79% de la masse du minéral) ; en rapport avec les autres métaux, le fer est le deuxième élément prépondérant en minéral.

Le zinc, qui apparaît comme le troisième constituant chimique majeur des échantillons analysés, atteind des proportions de 0,26–17,20% ; il provient seulement de la blende.

Le plomb, le quatrième élément majeur du minéral du point de vue de la quantité, constitue 0,21–7,02% de la masse du minéral et ne provient que de la galène.

Le cuivre, présent dans la plupart des échantillons étudiés, apparaît en proportions plus réduites de 1% et provient en général de la chalcopyrite et tout à fait subordonné du tétraédrite ; des éléments majeurs, cet élément occupe la cinquième place, après le plomb et le zinc.

L'argent apparaît comme élément mineur dans le minéral compact, en proportions de 44,5–285,80 p.p.m. et provient probablement d'un minéral argentifère, non observé au microscope ; puisque, comme on verra plus loin, il y a une tendance de proportionnalité entre plomb et argent, on peut conclure que le support minéralogique de l'argent accompagnant la galène, pourrait être, dans ce cas-là, le proustite, si nous tenons compte de la présence de l'arsène dans le minéral (tableau 2).

L'or, le deuxième élément mineur déterminé, ne dépasse pas 2,2 p.p.m., le plus souvent étant sous 1 p.p.m. ; les données microscopiques nous ne donnent aucun renseignement sur l'ori-



gine de cet élément, qui pourrait constituer soit des petites granules microscopiques d'or libre, soit un minéral aurifère.

Les résultats des analyses chimiques globales des trois échantillons de minérai du type Härlägia (tab. 2), en fonction des données minéralogiques, peuvent être expliqués dans la manière suivante : a) une partie de  $\text{SiO}_2$  représente le quartz ; b) une partie de  $\text{SiO}_2$ , une partie de  $\text{Al}_2\text{O}_3$ ,  $\text{MnO}$  et  $\text{MgO}$  proviennent du chlorite (le fait que le fer bivalent des échantillons analysés est lié au soufre, montre que le chlorite est représenté par une variété dépourvue pratiquement de  $\text{FeO}$ ) ; c) une partie de  $\text{SiO}_2$ , une partie de  $\text{Al}_2\text{O}_3$ ,  $\text{Na}_2\text{O}_3$  et  $\text{K}_2\text{O}$  proviennent d'un mica du type muscovite-paragonite ; d) l'arsène provient probablement du proustite, qui bien qu'il n'ait pas été observé au microscopique, nous supposons qu'il existe dans le minérai, tenant compte aussi de la participation relativement élevé de l'argent ; e) l'antimoine provient du tétraédrite ; tenant compte de l'absence du calcite et du plagioclase dans les échantillons en question, il est possible que  $\text{CaO}$  provienne du mica.

Le diagramme Cu—Pb—Zn (fig. 1) relève le caractère plombo-zincifère du minérai, la majorité des échantillons se situant sur la côté Pb—Zn ou dans le proche voisinage de celle-ci ; de même, on observe que, dans la plupart des échantillons, le zinc prédomine sur le plomb et qu'en général les échantillons plus riches en Zn ont d'habitude des contenus plus élevés en Cu, tendance remarquée aussi dans le diagramme Cu—Zn (fig. 2).

Le diagramme binaire Pb—Zn (fig. 3) relève quelques relations de proportionnalité entre ces deux métaux, relations observées à approximativement une moitié des échantillons considérés ; même dans ce diagramme on met en évidence la prédominance du zinc sur le plomb.

Dans le diagramme Pb—Ag (fig. 4) on constate une certaine tendance de proportionnalité entre ces deux éléments, ce qui démontrerait que la galène est associée à un minéral argentifère (probablement proustite).

Les données analytiques que nous avons à notre disposition ont été converties en minéraux normatifs (tab. 3), tenant compte de la composition minéralogique modale principale du minérai. Ainsi, on a pu recalculer, dans tous les cas, la blende, la galène et la chalcopyrite ; la pyrite n'a pas pu être obtenue normatif que des analyses où le soufre a été déterminé. Les résultats obtenus de cette manière nous présentent une image claire sur le minérai, image qui résulte tant du pourcentage des minéraux normatifs que des diagrammes dressés.

Donc, le diagramme général reste (en principal quartz et chlorite) — pyrite — blende — galène + chalcopyrite (fig. 5) souligne que : a) la prédominance dans la plupart des cas des minéraux métalliques (sulfures) sur ceux non métalliques (de gangue-surtout le quartz) ; b) la participation évidente (généralement plus 50 %) de la pyrite à la formation du minéral ; c) le pourcentage grand des sulfures comportant des métaux colorés (blende, galène, chalcopyrite).

On a dressé aussi un diagramme binaire pyrite-blende + galène + chalcopyrite (fig. 6) d'où s'ensuit la relation de proportionnalité inverse entre les composants considérés ; indirectement, on obtient la participation en quelque sorte indépendante envers les sulfures des minéraux de gangue (surtout quartz et chlorite) à la formation du minéral. Ce fait résulte également des diagrammes pyrité-reste (surtout quartz et chlorite — fig. 7) et blende + chalcopyrite-reste (fig. 8) ; on pourrait soupçonner une variation proportionnelle du reste de minéraux (surtout quartz et chlorite — fig. 7) envers la pyrite.

Pour souligner le rôle des sulfures des métaux colorés, on a dressé le diagramme ternaire chalcopyrite-galène-blende (fig. 9) qui montre que : a) il y a en général une participation faible de la chalcopyrite ; b) dans la majorité des échantillons, la blende apparaît en quantités plus grandes que la galène.

Des diagrammes antérieures ainsi que des données analytiques et minéralogiques normatives ressortissent que les principaux minéraux en minérai sont la pyrite, la blende et la galène, par conséquent en dressant le diagramme triangulaire correspondant (fig. 10) qui relève : a) la prédominance de la pyrite envers la blende et la galène b) la participation dans une mesure plus grande de la blende par rapport à la galène.

Le diagramme blende-galène (fig. 11) relève plus clairement que le diagramme Zn—Pb, la tendance de variation proportionnelle des deux minéraux.

### C) Cadre lithostratigraphique de la minéralisation

Tant le minérai du type Härlägia que le minérai du type Huruba, font partie des formations de la série de Tulghes, attribuées (données palynologiques) au Cambrien inférieur. (Ilieșcu,



Mureşan, 1972); en conséquence, un tel âge revient aussi à ces minéralisations syngénétiques.

Dans la région, nous avons séparé trois complexes lithostratigraphiques, parallélisables à trois complexes ( $Tg_1$ ,  $Tg_2$ ,  $Tg_3$ ) de la zone de Fundu Moldovei-Botuş (H. și Florentina Krautner, 1974) et dans la zone de Mihăileni-Bălan-Valea Belcina (M. și Georgea Mureşan, 1972 et données non publiées; Krautner, Popa, 1973). On constate que, envers les zones susmentionnées, la succession lithostratigraphique de détail présente tant des ressemblances dans le cadre de chaque complexe séparé que des différences, ce qui nous a déterminé de donner aux horizons et aux niveaux étudiés par nous des dénominations locales, tel qu'on a procédé pour les deux secteurs considérés.

**1. Complexe  $Tg_1$ .** La limite supérieure de cette entité lithostratigraphique (plus de 1500 m d'épaisseur) a été tracée sous un niveau caractéristique de schistes verts tuffogènes-de Smida (de la base du complexe  $Tg_2$ ). On a séparé trois horizons (à partir d'inférieur au supérieur).

a) *Horizon de Făgetel*— $Tg_1^{Fa}$  (plus de 600 m d'épaisseur) comprend des schistes séricito-chloriteux et des schistes séricito-graphiteux à intercalations de quartzites noires, de métatufs acides et de roches vertes tuffogènes (associées parfois aux métabasites).

b) *Horizon de Spinz*— $Tg_1^{Sz}$  (400—500 m d'épaisseur) comprend des métatufs acides à intercalations de schistes séricito-chloriteux, des schistes séricito-graphiteux et des quartzites noires.

c) *Horizon de Bradu*— $Tg_1^{Br}$  (350—400 m d'épaisseur) comprend des schistes séricito-chloriteux et des schistes séricito-graphiteux à intercalations de métatufs acides.

**2. Complexe  $Tg_2$ .** La limite supérieure du complexe  $Tg_2$ , (250—350 m) d'épaisseur a été tracée au-dessus des quartzites à intercalations de métatufs acides, très visibles dans la carrière du versant droit de la vallée de Huruba (en amont du confluent avec le ruisseau d'Argintăria). On a distingué deux horizons, décrits plus loin, d'inférieur au supérieur).

a) *Horizon de Gura Argintăriei*— $Tg_2^{Ga}$  (150—200 m d'épaisseur) comprend des schistes séricito-graphiteux à intercalations de schistes séricito-chloriteux et des métatufs acides. A la base de l'horizon s'individualise le niveau mince, mais caractéristique, des schistes verts de Smida.

b) *Horizon de Cartera*— $Tg_2^{Ca}$  (100—150 m d'épaisseur) comprend des schistes séricito-graphiteux et des quartzites noires, à intercalations de métatufs acides. Dans la zone supérieure, on observe quelquefois des oxydes de fer et de manganèse associés aux quartzites noires, qui proviennent de l'altération des minéraux primaires de manganèse, en se confirmant encore la similitude lithostratigraphique avec le complexe  $Tg_2$  des monts de Bistrița, contenant des concentrations syngénétiques de manganèse.

**3. Complexe  $Tg_3$ .** Dans le cadre de ce complexe (plus de 2000 m d'épaisseur), qui loge les minéralisations du type de Huruba et de Hărălgia, on a séparé trois horizons lithostratigraphiques illustrés ci-après (d'inférieur au supérieur).

a) *Horizon de Huruba*— $Tg_3^{Hu}$  (350—500 m d'épaisseur) comprend des schistes séricito-chloriteux et des schistes séricito-graphiteux où s'intercalent des métatufs acides, la minéralisation disséminée du type de Huruba (à deux niveaux stratigraphiques) et le niveau des schistes verts de Porcu (les derniers, situés vers la partie supérieure de l'horizon, s'associent parfois à des métabasites).

b) *Horizon de Hărălgia*— $Tg_3^{Hg}$  (450—600 m d'épaisseur) comprend en base le niveau de sporphyrogènes d'Argintăria (métatufs acides intimement associés aux porphyroïdes) (150—250 m d'épaisseur). Au-dessus de ce niveau repose un paquet (200—350 m d'épaisseur) prédominant terriène (schistes séricito-chloriteux et schistes séricito-graphiteux), où s'intercalent des métatufs acides ainsi que le minéral polymétallique compact du type de Hărălgia.

c) *Horizon d'Arinișu*— $Tg_3^{Ar}$  (plus de 700—800 m d'épaisseur) comprend en base le niveau des schistes verts de Muncel (ces roches sont associées quelquefois à des métabasites); au-dessus de ce niveau repose un paquet important de schistes séricito-chloriteux et de schistes séricito-graphiteux où s'intercalent des métatufs acides et des quartzites noires.

En comparant l'épaisseur d'ensemble de la succession lithostratigraphique de la série de Tulghes de la région de Hărălgia avec les épaisseurs constatées dans les zones de Mihăileni-Bălan-vallée de Belcina et de Fundu Moldovei, il résulte que les formations de la série de Tulghes de notre zone sont sensiblement plus épaisses (presque deux fois moins minces) envers les

épaisseurs admises dans les deux régions auxquelles nous nous sommes rapportées. Cette situation pourrait être la conséquence d'un taux plus baissé de la sédimentation dans une zone submerse élevée (ride).

#### D) Cadre magmatogène de la minéralisation

L'analyse lithostratigraphique et pétrographique des formations de la série de Tulgheş, de la zone de Härlägia, dénotent que les minéralisations de sulfures de cette zone se localisent dans une pile riche en produits magmatogènes, parmi lesquels prédominent ceux d'origine tuffogène. La série de Tulgheş, peut être caractérisée en ensemble comme une „formation terrigène-tuffogène acide”, où le rapport entre les deux types principaux de matériaux (d'origine différente) clairement déposés sédimentologiquement, est de 5 : 1.

Des similitudes frappantes en ce qui concerne la position des métataufs acides dans les successions stratigraphiques observées à l'occasion de l'étude de la série de Tulgheş dans des secteurs différents (les régions : Fundu Moldovei, Mihăileni-Bălan-vallée de Belcina et Härlägia) et éloignés du point de vue géographique l'un de l'autre pourraient être expliquées à partir de l'existence des trois phases principales paroxysmales acides, déroulées au cours de la formation des dépôts initiaux de la série de Tulgheş : „phase Saducut”, „phase Fundu Moldovei” et „phase Deluț”. Entre les phases acides de Saducut et de Fundu Moldovei se situent la „phase Șipos-Girbele”, à caractère prédominant basique, qui comprendrait les roches magmatogènes basiques de l'horizon de Sipoș (de la région de Mihăileni-Bălan-vallée de Belcina), les roches tuffogènes basiques et subordonné les roches tuffogènes acides des niveaux de Girbele et de Tonigărești.

La simultanéité, dans la plupart des cas, de l'activité extrusive et intrusive résulte tant du fait que les roches tuffogènes s'associent aux corps de roches magmatiques proprement-dites que du fait que tous les deux types de produits magmatogènes présentent le plus souvent une similitude chimique : schistes tuffogènes acides s'associent aux corps (surtout des sills) de roches acides et à ceux basiques des sills de métabasites.

Les intervalles d'entre les phases d'activité magmatique, mentionnés antérieurement, sont caractérisés en général par un calme volcanique, interrompu de temps en temps par des éruptions de courte durée qui ont généré des niveaux minces de tufs basiques ou acides, parfois à développement aéral limité.

Pendant la formation de la série de Tulgheş, les éruptions volcaniques se sont produites dans la zone du bassin marin où ont pris naissance également les dépôts terrigènes de cette série et présentaient un caractère linéaire (Kráutner, 1965; Mureşan, 1968), caractéristique aux domaines géosynclinaux.

Quoiqu'ils apparaissent dans la même pile, associés parfois, pourtant, entre les produits basiques et acides n'existent pas des transitions pétrographiques et chimiques, ce qui a justifié la supposition que leur provenance serait dissemblable (Mureşan, 1968); les produits basiques auraient une origine simatique (de la partie supérieure du manteau) et ceux acides une origine sialique (de l'écorce).

Parce qu'ils sont localisés dans le cadre des formations de la série de Tulgheş, attribuées sur bases palynologiques au Cambrien inférieur (Ilieșcu, Mureşan, 1972), les produits magmatogènes basiques ont été englobés dans la „province du magmatisme basique cambrien inférieur” et ceux acides dans la „province du magmatisme acide cambrien inférieur” Ilieșcu, Mureşan, 1972).

#### E) Cadre métallogénétique de la minéralisation

Les stratifications reliques, les intercalations de schistes dans le cadre du minérai, l'apparition aux niveaux stratigraphiques constants parallélisables à ceux d'autres régions, où on connaît également des concentrations de sulfures similaires du point de vue génétique, démontrent que ces gisements se sont déposés par voie sédimentaire. La composition minéralogique du minérai (pyrite, blende, galène, chalcopyrite, tétraédrite, etc.), son intercalation dans une pile riche en produits magmatogènes (métataufs basiques et acides, métabasites et porphyroïdes) sont des preuves en faveur d'un origine endogène des minéraux métalliques qui constituent la minéralisation. Vu les observations susmentionnées, nous croyons que l'origine volcanogène-hydrothermale-sédimentaire des minéraux du type de Huruba et du type de Härlägia, peut

être acceptée à plus forte raison que ces minéraux ressemblent parfois jusqu'à l'identité et occupent des positions stratigraphiques similaires à ceux de Fundu Moldovei, Leşu Ursului et Bălan, dont l'origine a été déjà démontrée (Krăutner, 1965; Krăutner, Popa, 1973). Les accumulations métallifères analysées reviennent à la „province des concentrations associées au magmatisme cambrien inférieur de la série de Tulgheş”.

Nous considérons qu'aux phases d'activité magmatogène, exposée par nous dans cet ouvrage, correspond un schéma d'ensemble qui comprend quatre phases métallogénétiques à filiation envers le magmatisme pré-métamorphique, dont les produits se trouvent dans la série de Tulgheş. Ces phases métallogénétiques se sont déroulées pendant le Cambrien inférieur puisque leurs produits métallifères se placent dans les formations qui reviennent certainement à la succession datée cambrien inférieur, sur base des données palynologiques (Ilieșcu, Mureșan, 1972).

La phase métallogénétique la plus ancienne se rapporte à la formation des minéraux manganifères rhodonito-rhodochrositiques, de nature volcanogène-(hydrothermale)-sédimentaire, du complexe Tg<sub>2</sub>. C'est ce qui nous appelons la „phase de Iacobeni-Dealul Rusului”, qui comprend les accumulations manganifères de la zone de Ciocănesti-Iacobeni-Dealul Rusului, de la zone de Broșteni-Borcea, de Tunzăria, de Corbu (Tulgheş) et les affleurements du cime Piciorul Bradului (de la région de Hărălgia). Dans notre région, la présence dans la base du complexe Tg<sub>2</sub> de quelques roches tuffogènes basiques (niveau des schistes verts de Smida), aussi que l'existence des intercalations minces de schistes tuffogènes acides dans le cadre de ce complexe, indique que les concentrations manganifères présentent la filiation envers le magmatisme pré-métamorphique.

L'activité métallogénétique est reprise plus tard avec une intensité à part durant la formation du complexe Tg<sub>3</sub>, qui comprend les produits des trois phases métallogénétiques.

La plus ancienne est la „phase Bălan”, dont revient, dans la région, les concentrations de sulfures du type de Huruba, celles de la zone de Bălan (des horizons de Voroc et de Bălan) et celles de Dealu Colacului et du niveau de Dealu Negru (les deux dernières de la région de Fundu Moldovei); la caractéristique des accumulations de sulfures volcanogènes-(hydrothermales)-sédimentaires, formées dans cette phase, est donnée par la présence de la pyrite et de la chalcopyrite qui constitue en général des minéraux disséminés. Puisque dans la région de Bălan, les plus proches produits magmatogènes envers les minéralisations de sulfures d'ici (des horizons de Voroc et de Bălan) sont les roches tuffogènes basiques de l'horizon de Sipoș (où apparaissent aussi des métabasites), situé au-dessous, nous avons supposé (en corrélation à la richesse en Fe et Cu du minéral) qu'il est très probable que ces concentrations présentent une filiation envers le magmatisme basique (Georgeata et M. Mureșan, 1972). Dans la région de Fundu Moldovei, on constate également une situation similaire: au-dessous des impregnations de sulfures de Dealul Colacului se situent les niveaux tuffogènes basiques de Tonigărești et de Girbele. En échange, dans la région de Hărălgia, notre hypothèse n'est pas fondée sur les données de terrain, étant donné que nous n'avons pas rencontré des roches magmatogènes basiques au-dessous des minéraux du type de Huruba, mais rien que des intercalations de roches tuffogènes acides. Dans cette situation, soit notre hypothèse n'est pas valable, soit probablement, les minéraux de type de Huruba s'attachent à la partie acide du magmatisme pré-métamorphique.

Après un bref intervalle, est amorcée la principale phase métallogénétique cambrienne inférieure, la „phase de Fundu Moldovei”, dont les produits constituent le plus souvent des gisements: zones „I” et „O” de Fundu Moldovei, zones „I” et „II” de Leşu Ursului, minéralisations du type de Hărălgia, celles de Sumuleu, etc. La caractéristique essentielle des minéralisations volcanogènes-(hydrothermales)-sédimentaires formées dans cette phase, est la participation, à côté de la pyrite, de la chalcopyrite, de la blende et de la galène, qui veulent constituer en ensemble des minéraux du type compact. La simultanéité de cette phase avec une phase magmatogène acide (phase de Fundu Moldovei) et la localisation fréquente des minéralisations dans des produits tuffogènes acides ou dans le proche voisinage de ceux-ci, atteste la filiation génétique des sulfures envers le magmatisme acide.

La dernière phase métallogénétique connue du temps de la formation de la série de Tulgheş est la „phase d'Arama Olt-Deluț”, sousséquente à la phase magmatique de Fundu Moldovei et, dans sa partie finale, synchrone à la phase magmatique acide de Deluț; ce fait démontre la liaison des concentrations pyriteuses, généralement disséminées, formées en même temps, envers le magmatisme acide.

Nous supposons que, simultanément à la partie finale de la „phase d'Arama Olt-Deluț” s'est déroulée la „phase de Paltin”, quand se sont formées des concentrations hydrothermales



métamorphisées de galène et de blende + pyrite, localisées souvent dans les corps de porphyroïdes rhyolitiques qui traversent les formations du complexe Tg<sub>3</sub> (George et al. M. Murusan, 1976) ; ces concentrations constituent le district métallogénétique de Tulgheș.

#### F) Cadre tectonique de la minéralisation

La direction générale des formations épimétamorphiques se maintient aussi dans ce secteur, comme dans la plus grande partie de la zone cristallo-mésozoïque, orientée NW-SE. La particularité de la zone considérée est que les schistes cristallins de la série de Tulgheș sont en ensemble renversés vers NW, s'inclinant à environ 60–70° vers le sud ; ainsi, la succession géométrique est inverse envers la succession lithostratigraphique.

Dans les affleurements où ont été observées avec clarté les déformations qui affectent la série de Tulgheș on a constaté l'existence de plusieurs générations d'éléments structuraux, à la suite de la succession de trois groupes de mouvements importants qui ont affecté la série susmentionnée : tectonique B<sub>1</sub>, tectonique B<sub>2</sub> et tectonique S<sub>3</sub> (tab. 5).

**1. Tectonique B<sub>1</sub>.** Nous appelons „tectonique B<sub>1</sub>”, l'ensemble des plus anciens éléments structuraux présents dans la série de Tulgheș, formés certainement au cours du métamorphisme régional de celle-ci, à la suite des mouvements prédominant tangentiels sur la direction NE-SW.

a) *La schistosité des stratifications* Ss s'est formée durant la blasthèse principale puisque dans son plan ont cristallisé la plupart des phyllosilicats et l'allongement de bien des granules de quartz, feldspath, carbonates, etc. est parallèle à elle. On observe un dépôt en bandes des associations minéralogiques (par exemple, alternance de bandes prédominant séricito-chloriteuses et bandes prédominant quartzeuses, rencontrée dans les schistes séricito-chloriteux quartzeux), ce qui prouve que la schistosité métamorphique s'est produite par différentiation métamorphique, au cours des mouvements différenciels entre les couches (règle du „paquet de cartes à jouer”), déterminés par les plissement des formations de la série de Tulgheș (plissement par flexion à glissement concentrique) ; de ce point de vue, on peut considérer que la schistosité de stratification s'est produite par cisaillement du matériel sédimentogène, le long de certains plans en ensemble parallèles à la stratification des sédiments initiaux, fait démontré par le parallélisme de Ss aux limites lithologiques (observation à l'échelle de l'échantillon et de l'affleurement) et lithostratigraphiques (situation observable à l'échelle régionale). A l'échelle mésoscopique et microscopique on constate que Ss est antérieure aux plis B<sub>1</sub>, du fait que concomitamment à elle même les phyllosilicats du même plan moulent ces plis ; s'ils avaient été strictement concomitants, ces minéraux auraient dû présenter une orientation unique en matériel, sans tenir compte de la position en pli, mais seulement en fonction de la direction des pressions du temps de la blasthèse. En conséquence, le principal processus de recristallisation métamorphique s'est déroulé dans la plus grande partie avant la formation des plis B<sub>1</sub>.

b) *Les plis B<sub>1</sub>* représentent l'un des éléments tectoniques les plus importants de la série de Tulgheș, dont les formations les affectent à l'échelle micro-, méso- et mégascopique.

Le processus de formation des plis B<sub>1</sub> peut être imaginé d'une telle manière : la pile quasihorizontale initiale des dépôts primaires de la série de Tulgheș, soumise aux premières tensions tangentielles a commencé à former des plis larges, ce qui a conduit à l'apparition par cisaillement de la schistosité de stratification, dans son plan le matériel primaire en recristallisant ; la continuation du mouvement de plissement accentue les plis incipiens, les mouvements d'entre les couches se simplifient déterminant la formation des plis microscopiques et mésoscopiques d'entrainement (du type de drag-folds). Vers la fin du plissement par flexion à glissement concentrique, les pressions tangentielles ne se consument plus par flexion des couches (qui ont arrivé, au moins à l'échelle micro- et mésoscopique, sous forme de plis pratiquement izocлинаux), mais pour la „modification par aplatissement” (sensu Ramsay, 1962) des plis déjà formés, le matériel de la charnière étant refoulé dans la direction du plan axial de ceux-ci. Grâce à la modification par aplatissement, bien des plis observables directement, quoiqu'ils se soient formés par flexion à glissement concentrique, tiennent des aspects morphologiques proches à ceux „similaires”. Dans ce cas, nous considérons que encore qu'en ensemble ils soient contemporaines, les plis B<sub>1</sub> micro- et mésoscopiques apparaissent un peu plus tôt par

comparaison à ceux mégascopiques. Il n'est pas exclu que l'ordre d'apparition des déformations  $B_1$  soit la suivante : plis mégascopiques-plis mésoscopiques-plis microscopiques. Au cours des processus de modification par aplatissement, peuvent apparaître des refoulements du matériel le long des axes de pli ; donc, nous sommes à même de considérer que la formation des „fissures de tension” du type „ac” est liée à ces processus.

c) *Les liniations*  $l_1$  se sont formées par froncement fin, respectivement par flexion des phyllosilicates, représentant en fait un cas particulier des plis  $B_1$  à la limite entre mésoscopique et microscopique. Les liniations  $l_1$ , étant parallèles aux plis  $B_1$  peut indiquer la direction des structures mégascopiques  $B_1$ .

d) *Le clivage axial*  $Cl_1$  et *la schistosité du clivage axial*  $Scl_1$  marque le stade ruptural de la tectonique  $B_1$ , quand les efforts tectoniques dépassent la plasticité du matériel soumis au plissement.

Ces éléments structuraux se sont formés par cisaillement le long de certains plans parallèles au plan axial  $Pa_1$  des plis  $B_1$  au moment où l'accentuation des plis du type „drag-folds” conduit au laminage total et à la rupture des flancs de ces plis. Cette conclusion est appuyée sur le sens du mouvement observé le long de ces plans de cisaillement ( $Cl_1$  et  $Scl_1$ ) qui est le même pour les mouvements qui ont conduit à la formation des „drag-folds”. Dans les roches compétentes se développe avant tout  $Cl_1$ ; dans celles incompétentes (schistes séricito-chloriteux, schistes séricito-graphiteux, etc.) se développe  $Scl_1$  à fréquence millimétrique, ce qui rend difficile même impossible, dans la plupart des cas, d'observer la schistosité de stratification  $Ss$ , autrement déformée par  $Scl_1$ . Il s'agit au fond de „transposition” de la schistosité de stratification  $Ss$ , le long de  $Scl_1$ .

La différenciation métamorphique et la blasthèse se sont continuées au cours de la formation du  $Scl_1$ , puisque une partie des phyllosilicates, quartz, etc. cristallise dans son plan, s'engendrant des alternances de bandes différentes du point de vue minéralogique; les exudations de quartz hydrothermal-métamorphique continuent aussi durant ce temps.

**2.Tectonique  $B_2$ .** Nous appelons „tectonique  $B_2$ ” l'ensemble de ces éléments structuraux qui dérangent les éléments appartenant à la tectonique  $B_1$  et qui sont à leur tour dérangés par la tectonique  $S_3$ .

Dû au fait que les éléments plans directionnels (plans axiaux, schistosité, clivages) sont souvent quasi-tautozoaux envers les plans de la tectonique  $B_1$  (tenant compte des axes des plis  $B_1$ ), il en résulte fréquemment la position parallèle ou sousparallèle aux éléments linaires (axes de plis, liniations) appartenant à la tectonique  $B_2$ , envers les éléments linaires de la tectonique  $B_1$ ; la différence essentielle d'ordre spatial dénote que les plans axiaux, respectivement les clivages et les schistosités parallèles aux plans, sont sensiblement plus faiblement inclinés par comparaison à ceux de la tectonique  $B_1$ ; dans ce cas, il s'agit des plis inclinés (quasi-horizontaux). Le changement net de l'inclinaison du plan axial au cours de nouveaux mouvements montre un hiatus, respectivement une discontinuité importante entre les processus de plissement qui ont conduit à la tectonique  $B_1$  et ceux de la tectonique  $B_2$ , fait qui justifie la séparation de ces deux tectoniques, qui selon quelques auteurs (K r ä u t n e r, P o p a, 1973) ont agi durant des orogenèses différentes (baikaliennes et herciniennes). Le redressement des couches, par le plissement  $B_2$ , pourrait expliquer, selon notre opinion, pourquoi les plans axiaux des plis  $B_2$  sont faiblement inclinés : au cours du plissement  $B_2$ , les forces tangentielles ont engendré les plis  $B_2$  sur les flancs déjà fortement inclinés des plis  $B_1$ .

a) *Les plis*  $B_2$  se sont formés, dans le stade initial, par flexion ; cette affirmation est basée sur les suivantes données d'observation : 1) existence de nombreux cas de plis  $B_2$  micro- et mésoscopiques dépourvus de clivages axiaux ; 2) disharmonies de plissement entre les petites couches compétentes et celles incompétentes, phénomène non rencontré chez les plis formés par cisaillement (plis similaires) ; 3) existence de certains micro-plis d' entraînement (type drag-folds), sur les flancs des plis  $B_2$  ; 4) présence des plis  $B_2$  modifiés par aplatissement, dont l'épaisseur des couches plissées varie tant perpendiculairement envers la stratification que dans des directions parallèles aux clivages  $Cl_2$  (en section transversale du pli) ; 5) présence des fissures de tension du type „ac” qui accompagnent souvent les microplis  $B_2$ , phénomène non rencontré chez les plis de cisaillement.



Au cours de la tectonique  $B_2$  se sont formés des plis micro-et mésoscopiques, fait constaté directement tant dans la région de Härlägia que dans d'autres secteurs de la zone cristallo-mésozoïque (Bercia, Bercia 1970; Kräutner, Popa, 1973).

Comme nous l'avons dit dans la zone étudiée, nous avons pris connaissance d'une structure déversée vers NE, due à laquelle la succession lithostratigraphique apparaît renversée; nous croyons que cette situation est due à un plis mégascopique  $B_2$ , les formations de la série de Tulghes, poursuivies à la surface dans cette région, se situant en ensemble sur le flanc supérieur de cette structure plicative, dont le plan axial est faiblement incliné (pl. X).

Les effets structuraux d'ordre régional des plis  $B_2$  en comparaison avec les effets des autres éléments structuraux cogénétiques ( $Cl_2$ ,  $Scl_2$ , etc.) et la formation initiale de ces plis par flexuration nous ont obligé d'accepter le nom de „tectonique  $B_2$ ” au lieu de „tectonique  $S_2$ ” ou „déformations  $S_2$ ”, termes utilisés antérieurement.

b) *Les liniations  $l_2$*  se sont formées par froncement fin, c'est-à-dire par flexion des phyllosilicats, représentant en fait un cas particulier des plis  $B_2$ , à la limite entre mésoscopique et microscopique; elles sont parallèles aux axes des plis  $B_2$  (fait qui peut être observé à l'œil nu).

c) *Le clivage axial  $Cl_2$  et la schistosité du clivage axial  $Scl_2$*  se sont formés par cisaillement le long de certains plans parallèles au plan axial des plis  $B_2$ , formés au moment où le seuil de plasticité des roches a été dépassé. La direction du mouvement observé le long de ces plans de cisaillement ( $Cl_2$  et  $Scl_2$ ) coïncide à celle des mouvements qui ont conduit à la formation des plis  $B_1$ . Dans bien des cas, le mouvement le long du  $Cl_2$  et  $Scl_2$  a un caractère de supra-poussée (dans la région, en général, de NE vers SW). Pendant le cisaillement, le long des plans  $Cl_2$  et  $Scl_2$  dans les zones de contact des microcompartiments qui glissent en sens contraire, se produisent parfois des flexions des éléments plans formés antérieurement ( $Ss_1$ ,  $Cl_1$ ,  $Scl_1$ ), en passant ainsi des microplis de flexion  $B_1$  aux microplis de cisaillement.

d) *Les liniations  $l_1$*  se sont formées à l'intersection du  $Scl_2$  (respectivement  $Cl_2$ ) avec les éléments plans antérieurs:  $Ss$ ,  $Cl_1$ ,  $Scl_1$ ; elles sont parallèles aux liniations  $l_2$  (de froncement et souvent quasi-parallèles aux liniations et aux axes appartenant à la tectonique  $B_1$ ).

3. **Tectonique  $S_3$ .** La succession des déformations pénétrantes et semipénétrantes de la série de Tulghes s'achève avec la formation de certains plis méso-et microscopiques  $B_3$ , constitués par cisaillement le long d'un clivage  $Cl_3$  à position oblique ou transversale envers les structures  $B_1$  et  $B_2$ . En conséquence, les microplis  $B_2$  sont disposés obliquement ou transversalement envers les microplis  $B_1$  et  $B_2$ , leur position étant déterminée par l'intersection du clivage  $Cl_3$  avec les éléments plans formés antérieurement ( $Ss$ ,  $Cl_1$ ,  $Scl_1$ ). Il y a des cas, quand, dans le cadre des plis  $B_3$ ,  $Cl_3$  ne se matérialise, bien que le sens de mouvement chez divers microplis de ce genre soit le même à celui rencontré chez les microplis  $B_3$  clivage. Cela dénote qu'avant la matérialisation du  $Cl_3$ , il y avait un court stade plastique ou semiplastique au moment où se sont formés les microplis  $B_3$ ; il a été suivi immédiatement par le stade ruptural quand le cisaillement devient évident. Le clivage  $Cl_3$  est parallèle avec le plan axial des plis  $B_3$  et représente l'élément structural principal de la tectonique  $S_3$ . Le sens des mouvements de cisaillement le long du  $Cl_3$  est relativement constant dans la région, ayant le caractère d'une souspoussée. Dans les cas observés,  $Cl_3$  est orienté en général vers NE-SW et présente des pendages variables vers SW. Localement, on observe une augmentation de la fréquence de ce clivage, qui se transforme ainsi en schistosité de clivage  $Scl_3$ ; à l'intersection du  $Scl_3$  aux éléments structuraux plus anciens se forment des liniations  $l_3$  parallèles aux axes des plis de cisaillement  $B_3$ .

Les déformations  $S_3$ , de la série de Tulghes, ont été attribuées dans la région de Bălan (Kräutner, Popa, 1973) aux mouvements hercyniennes (la phase saalique?).

4. **Dislocations disjonctives.** Les formations de série de Tulghes sont affectées par nombreuses failles-décrochements, représentées sur la carte annexée seulement les plus importantes (de NW vers SE): faille est-Härlägia, faille de Bradu (avec la faille d'appui ouest-Bradu), faille d'Arinișu, faille de Borviz et faille de Paltinu. En ensemble, toutes ces failles sont orientées NE-SV, la majorité ayant le compartiment NW poussé vers NE.

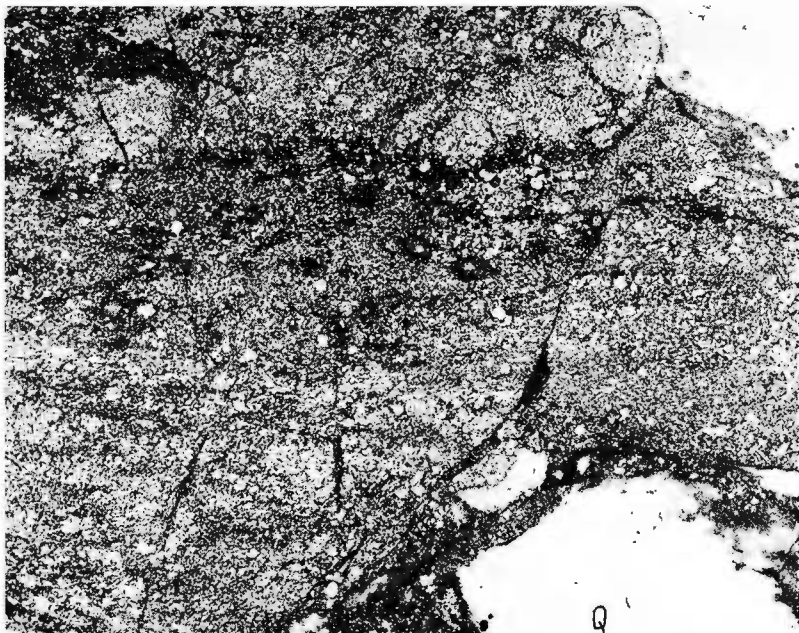


## PLANŞA I

- Fig. 1.** — Minereu compact piritos fin rubanat (tip Härälgia). Se observă cuarț mobilizat sinmetamorfic (Q-alb). Suprafață lustruită. 2x.  
Minérai compact pyriteux finement rubané (type Härlägia). On observe du quartz mobilisé syn métamorphique (Q-alb). Surface polie. 2x.
- Fig. 2.** — Structura minereului piritos compact rubanat (tip Härälgia), în care se observă o matrice fină piritoasă ce găzduiește mici porfiroblaste de pirită. Suprafață lustruită. 3x.  
Structure du minérai pyriteux compact rubané (type Härlägia où on observe une matrice finement pyriteuse qui loge de petites porphyroblastes de pyrite. Surface polie. 3x.



M. MUREŞAN, GEORGETA MUREŞAN. Mineralizaţiile vulcanogen-sedimentare metamorfozate de la Hărăgăia. Pl. I.



Studii tehnice și economice, seria A, nr. 12.



Institutul Geologic al României

## PLANŞA II

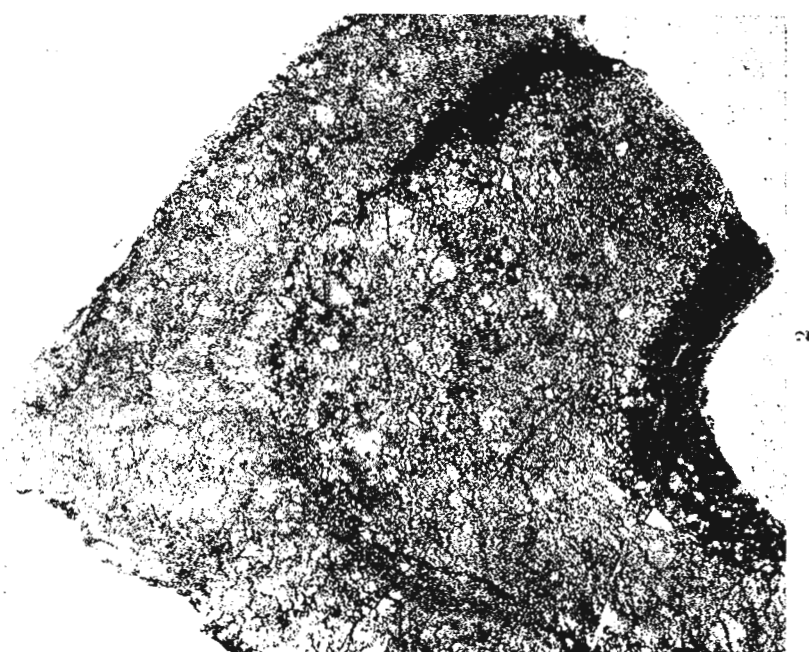
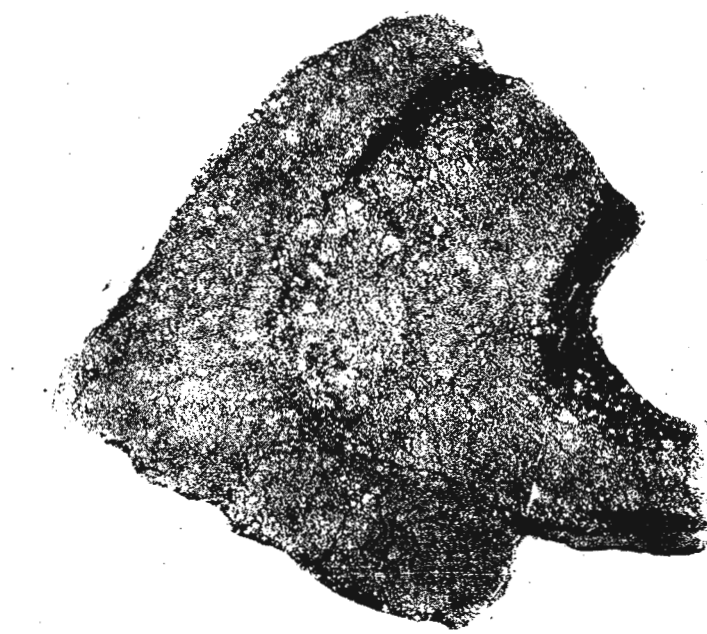
Fig. 1. — Microcută  $B_1$  în minercu piroto compact (tip Härälgia). Se observă tendința de ingroșare în șarnieră a materialului cuitat („modificare prin aplativare”). Suprafață lustruită; mărime naturală.

Micropli  $B_1$  en minérai pyriteux compact (type Härlägia). On observe la tendance d'épaisseissement en charnière du matériel plissé („modification par aplatissement”). Surface polie; grandeur naturelle.

Fig. 2. — Detaliu în minereu piroto compact microcutat (tip Härälgia). Rubanarea rezultă din alternanța zonelor groase pirotoase cu zonele cuarțoase cu pirită fin diseminată care le dă culoarea neagră. Porțiunile piritease se remarcă prin creșterea porfirabolastică a unor indivizi de pirită în matricea măruntă pirotoasă. Suprafață lustruită; 1,5 x. Détail en minérai pyriteux compact microplissé (type Härlägia). La rubanation résulte de l'alternance des zones épaisses pyriteuses avec les zones quartzées à pyrite finement disséminée qui impriment la couleur noire. Les portions pyriteuses se remarquent par le développement porphyroblastique de certains individus de pyrite dans la matrice finement pyriteuse. Surface polie; 1,5 x.



M. MURISAN, GEORGETA MUREŞAN, Mineralizaţiile vulcanogen-sedimentare metamorfozate de la Hărlăgia,  
Pl.II.



Studii tehnice și economice, seria A, nr. 12.



Institutul Geologic al României

### PLANSA III

Fig.1. — Microcute (drag-folds) izoclinale  $B_1$  în sisturi cuarțoase sericitoase cu clorit (valea Muncelului). Se observă intreruperea frecventă a stratelor cuarțoase de-alungul sistozității clivajului axial  $Scl_1$ , cea ce ilustrează tendința de transpunere a sistozității de stratificație  $Ss$  după  $Scl_1$ . Microcutele  $B_1$  și sistozitatea  $Scl_1$  sunt recutate, formindu-se microcute  $B_2$  cu planele axiale mai slab inclinate (tendința de inclinare spre stînga fotografiei). 1/5 mărime naturală.

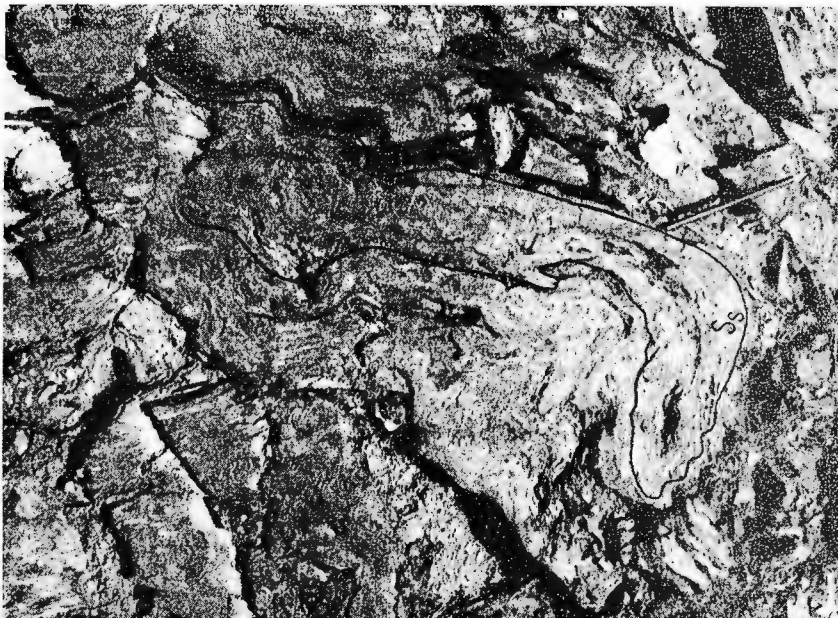
Microplis (drag-folds) isoclinaux  $B_1$  dans des schistes quartzueux sériciteux à chlorite (vallée du Muncel). On observe une interruption fréquente des couches quartzueuses le long de la schistosité du clivage axial  $Scl_1$ , ce qui démontre la tendance de changement de la schistosité de stratification  $Ss$  suivant  $Scl_1$ . Les microplis  $B_2$ , et la schistosité  $Scl_1$ , sont repliés, en se formant des microplis  $B_2$  à plans axiaux plus faiblement inclinés (tendance d'inclinaison vers la partie gauche de la photographie). 1/5 grandeur naturelle.

Fig. 2. — Sistozitatea de stratificație  $Ss$ , în sisturi verzi tufovogene (Valea Muncelului), constituind o microcută izoclinală  $B_1$  care alcătuiește prin recutare o microcută  $B_2$ , al cărui plan axial  $Pa_2$  este paralel cu creionul din partea inferioară a fotografiei. 1/7 mărime naturală.

Schistosité de stratification  $Ss$ , dans des schistes verts tuffogènes (Valea Muncelui) en constituant un micropli isoclinal  $B_1$  qui forme par replissement un micropli  $B_2$  dont le plan axial  $Pa_2$  est parallèle au crayon du bas de la photographie. 1/7 grandeur naturelle.



M. MUREŞAN, GEORGETA MUREŞAN. Mineralizaţiile vulcanogen-sedimentare metamorfozate de la Hărlăgia.  
Pl. III.



2



1

Studii tehnice și economice, seria A, nr. 12.



Institutul Geologic al României

## PLANŞA IV

**Fig. 1.** — řistozitatea clivajului axial  $Scl_1$  dezvoltată în řisturi cuarþoase cu sericit și feldspat  $\pm$  grafit (valea Hărlăgia). Se observă tendinþa de transpunere a řistozităii de stratificaþie Ss de-alungul lui  $Scl_1$  precum și unghiul important dintre  $Scl_1$  și planul de ansamblu de stratificaþie S (stratul inclină în realitate în sens contrar faþă de inclinarea lui  $Scl_1$ ). 1/3 mărime naturală.

Schistosité du clivage axial  $Scl_1$  développée dans des schistes quartzeux à séricht et feldspath  $\pm$  graphite (vallée de Hărlăgia). On observe la tendance de transposition de la schistosité de stratification Ss le long du  $Scl_1$  ainsi que l'angle important entre  $Scl_1$  et le plan d'ensemble de stratification S (la couche incline en réalité en sens contraire à l'inclinaison de  $Scl_1$ ). 1/3 grandeur naturelle.

**Fig. 2.** — Microcute  $B_2$  în řisturi sericito-cloritoase, cuarþoase (valea Hărlăgia) care deformază puternic řistozitatea clivajului axial  $Scl_1$ , řistozitatea de stratificaþie Ss și microcutele  $B_1$ . 1/3 mărime naturală.

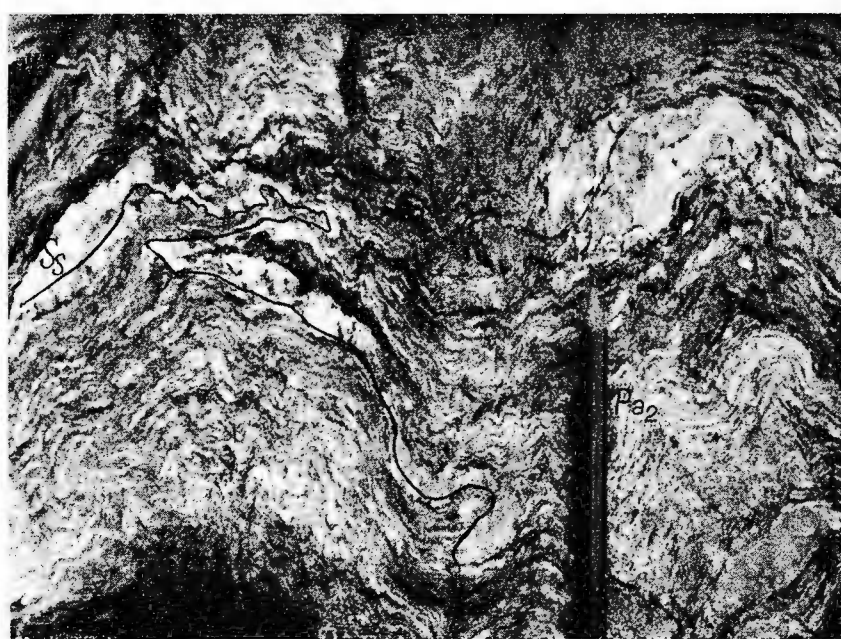
Microplis  $B_2$  dans des schistes sericito-chloriteux, quartzeux (vallée de Hărlăgia) qui déforment fortement la schistosité du clivage axial  $Scl_1$ , la schistosité de stratification Ss et les microplis  $B_1$ . 1/3 grandeur naturelle.



M. MUREŞAN, GEORGETA MUREŞAN. Mineralizaţiile vulcanogen-sedimentare metamorfozate de la Hărlăgia. Pl. IV.



123167



2

Studii tehnice și economice, seria A, nr. 12.



Institutul Geologic al României

## PLANŞA V

Fig. 1. — Microcute  $B_2$  în sist cuarțos cu strătulețe fine de pirită hipidiomorfă (tip Huruba). Se observă cutarea dizarmonică (datorită competenței diferite a stratelor componente) și apariția unor crăpături incipiente (de tensiune?) în șarnieră. Suprafață lustruită; 2x.

Microplis  $B_2$  en schiste quartzeux à petites couches de pyrite hypidiomorphe (type Huruba). On observe le plissement irrégulier (grâce à la compétence différente des couches composantes) et l'apparition des fentes (de tension?) dans la charnière. Surface polie; 2x.

Fig. 2. — Sistozitatea clivajului axial  $Scl_1$  puternic deformată de microcutele  $B_2$  (cu direcția de ansamblu a planului axial marcată de creion), în care pe alocuri se dezvoltă clivajul axial  $Cl_2$ . În partea de sus a fotografiei se observă „relicte” ale microcutele izoclinale  $B_1$ . Sist sericito-cuarțos cu clorit-valea Huruba, 1/7 mărime naturală.  
Schistosité du clivage axial  $Scl_1$  fortement déformée par les microplis  $B_2$  (à direction d'ensemble du plan axial indiqué par le crayon), où par endroits se développe le clivage axial  $Cl_2$ . Dans la partie du haut de la photographie on observe des „reliques” des microplis isoclinaux  $B_1$ . Schiste séricito-quartzzeux à chlorite — vallée de Huruba, 1/7 grandeur naturelle.



M. MUREŞAN, GEORGETA MUREŞAN. Mineralizaţiile vulcanogen-sedimentare metamorfozate de la Hărăglia.

Pl.V.



Studii tehnice și economice, seria A, nr. 12.

## PLANŞA VI

Fig. 1. — Microcoulă  $B_2$ , în care se dezvoltă local șistozitatea clivajului axial (a cărei direcție este marcată de creion). Șistozitatea de stratificație Ss constituie microcute strinse (în partea de sus a fotografiei) afectate de microcute  $B_2$ . Șist sericito-euarțos cu clorit-valcea Huruba. 1/2 mărime naturală.

Micropli  $B_2$ , où se développe localement la schistosité du clivage axial (dont la direction est marquée par le crayon). La schistosité de stratification Ss constitue des microplis étroits (dans la partie du haut de la photographie) affectés par les mieroplis  $B_2$ . Schiste séricito-quartzé à chlorite — vallée de Huruba. 1/2 grandeur naturelle.

Fig. 2. — Microcute  $B_2$  deranjante de microcute  $B_3$ ; ambele tipuri de microcute deranjează șistozitatea clivajului axial  $Scl_1$  (paralelă în ansamblu cu planul fotografiei). Șist euarțos sericito-cloritos — valea Huruba. 1/5 mărime naturală.

Microplis  $B_2$  dérangés par des microplis  $B_3$ ; tous les deux types de mieroplis dérangent la schistosité du clivage axial  $Scl_1$  (parallèle en ensemble au plan de la photographie). Schiste quartzéux séricito-chloriteux — vallée de Huruba. 1/5 grandeur naturelle.

## PLANCHE VII

Coupe lithostratigraphique de la série de Tulgheş de la zone de Hârlăgia. Même légende tout comme à la carte géologique; 1, zones de localisation des roches magmatiques pré métamorphiques ( $\pi$  = porphyroïdes;  $m\omega$  = métabasites).

## PLANCHE VIII

Corrélation des successions lithostratigraphiques de la série de Tulgheş des régions de Fundu Moldovei, Hârlăgia et Mihăileni-Bălan-Valea Belcina.

1, Concentrations de sulfures volcanogènes-sédimentaires; 2, roches tuffogènes acides; 3, roches tuffogènes basiques; 4, quartzites noires (graphiteuses); 5, métaconglomérats; 6, roches terrigènes; 7, position des formes microfloristiques cambriennes inférieures (I, *Leiodiscina* sp.; *Microconcentrica* *atalava* N a u m o v a; II, *Acanthosphaera* *cambriensis* N a u m o v a III, *Polyporala* sp.; IV, *Polyporala* sp.; V, *Polyporala* sp.; VI, *Spumosata* sp.; VII, *Granomarginata vulgaris* N a u m o v a, *Spumosata* sp., *Unyporala* sp.).

Symboles pour la coupe lithostratigraphique de la région de Fundu Moldovei (A)

Complexe Tg<sub>3</sub>: Tg<sub>3.4</sub><sup>Ar</sup> — horizon d'Arseneasa (dl, niveau des métatufs acides de Delui); Tg<sub>3.4</sub><sup>Mo</sup> — horizon de Moroşan (qns, niveau supérieur de quartzites noires; qtni, niveau inférieur de quartzites noires et des schistes graphiteux); Tg<sub>3.2</sub><sup>FM</sup> — horizon de Fundu Moldovei (mtFMs, niveau supérieur de métatufs rhyolitiques de Fundu Moldovei; cl, ab, niveau des schistes chlorito-albitiques; zO, zone „O” du gisement de Fundu Moldovei — minéral pyriteux plumbo-zincifère compact; zI, zone „I” du gisement de Fundu Moldovei — minéral massif pyrite polymétallique compact; mtFMi, niveau inférieur de métatufs et métatuffites rhyolitiques de Fundu Moldovei; zII + zIII = dn, niveau de sulfures de Dealu Negru — zone II et III du gisement de Fundu Moldovei — minéral sous forme d'impregnations de pyrite et de sulfures polymétalliques); Tg<sub>3.1</sub><sup>gb</sup> — horizon de Girbele (pr, niveau des métatufs rhyolitiques de Praşa; dc, niveau à sulfures de Dealu Colacului — disséminations de pyrite; tob, niveau des schistes chlorito-zoïzitiques à albite de Tonigăreşti; gba, niveau des métatufs et des métatuffites rhyolitiques de Girbele; gbb, niveau des métatufs basiques de Girbele; vul, niveau des métatufs rhyolitiques de Vulcăneşti).

Complexe Tg<sub>2</sub>: Tg<sub>2.1</sub><sup>qtn</sup> — horizon des quartzites noires (qtns, niveau des quartzites noires supérieures; trm, niveau terrigène moyen; qtni, niveau des quartzites noires inférieures) Tg<sub>2.0</sub><sup>bt</sup> — horizon de Botuş (bt, niveau des métatufs basiques de Botuş).

Complexe Tg<sub>1</sub> (mtbos, niveau des métatufs rhyolitiques de Botuşel).

Symboles pour la coupe lithostratigraphique de la région de Hârlăgia (B):

Complexe Tg : Tg<sub>3</sub><sup>Ar</sup> — horizon d'Arinişu (svm, niveau des schistes verts de Muncel); Tg<sub>3</sub><sup>Hg</sup> — horizon de Hârlăgia (shg, niveau à sulfures du type de Hârlăgia; pga, niveau des porphyrogènes d'Argintăria); Tg<sub>3</sub><sup>H1</sup> — horizon de Huruba (svp, niveau des schistes verts de Porcău; shs, niveau supérieur à sulfures du type de Huruba; shi, niveau inférieur à sulfures du type de Huruba).



M. MUREŞAN, GEORGETA MUREŞAN. Mineralizaţiile vulcanogen-sedimentare metamorfozate de la Hărlăgia.  
Pl. VI.



1



2

Studii tehnice și economice, seria A, nr. 12.



Institutul Geologic al României

Complexe Tg : Tg<sub>2</sub><sup>Ca</sup> — horizonte Carierei (Mn, quartzites noires à manganèse) ; Tg<sub>2</sub><sup>Ga</sup> — horizon de Gura Argintăriei (svs, niveau des schistes verts de Smida).

Tg : Tg<sub>1</sub><sup>Br</sup> — horizon de Bradu ; Tg<sub>1</sub><sup>Sz</sup> — horizon de Spinz (tas, niveau tuffogène acide supérieur ; tai, niveau tuffogène acide inférieur) ; Tg<sub>1</sub><sup>Fa</sup> — horizon de Făgețel.

Symboles pour la coupe lithostratigraphique de la région de Mihăileni-Bălan-Valea Belcina (C) :

Complexe Tg<sub>3</sub> : Tg<sub>3</sub><sup>A0</sup> — horizon d'Arama Olt (sao, niveau de sulfures d'Arama Olt) ; Tg<sub>3</sub><sup>Sd</sup> — horizon des métatufs rhyolitiques des Sadocut ; Tg<sub>3</sub><sup>Vb</sup> — horizon de Valea Băii ; Tg<sub>3</sub><sup>Mbm</sup> — horizon des métatufs rhyolitiques de Bălan ; Tg<sub>3</sub><sup>Bn</sup> — horizon de Bălan (sbs, niveau supérieur de sulfures ; sbi, niveau inférieur de sulfures) ; Tg<sub>3</sub><sup>Vo</sup> — horizon de Voroc ; Tg<sub>3</sub><sup>Ss</sup> — horizon de Sipoș ; Tg<sub>3</sub><sup>Fr</sup> — horizon de Fiureș (cgs, métaconglomérats de Sandui).

Complexe Tg<sub>2</sub> (Mn, quartzites noires à lentilles manganifères).

Complexe Tg<sub>1</sub> : Tg<sub>1</sub><sup>Vg</sup> — horizon de Fagu Inalt ; Tg<sub>1</sub><sup>Sa</sup> — horizon des métatufs rhyolitiques des Sadocut ; Tg<sub>1</sub><sup>AN</sup> — horizon d'Arama Neagră.

Note : Coupe lithostratigraphique de Fundu Moldovei (A) II. Kräutner et al. (1974) ; coupe lithostratigraphique de Mihăileni-Valea Belcina selon Georgiea et M. Mureșan (1972 et données inédites), H. Kräutner, G. N. Popa (1973) ; formes microfloristiques cambriennes-inférieures et leur position selon Viorela Iliescu, M. Mureșan (1972). Les roches et les niveau à épaisseur réduite ont été exagérées dans les coupes lithostratigraphiques.

## PLANCHE IX

Carte géologique de la zone de Hărălgia.

Quaternaire : 1, alluvions de la plaine ; 2, dépôts de terrasse ; 3, travertin.

Cambrien inférieur : série de Tulgheș (Tg — 4, 5, 6, 7, 8, 9, 10, 11, 12, 13, 14, 15, 16) : complexe Tg<sub>3</sub> (4, 5, 6, 7, 8) : horizon d'Arinișu — Tg<sub>3</sub><sup>Ar</sup> (4, schistes séricito-chloriteux et schistes graphiteux à intercalations de métatufs acides et de quartzites noires ; 5, niveau des schistes verts de Muncelu ; horizon de Hărălgia — Tg<sub>3</sub><sup>Hg</sup> (6, schistes séricito-chloriteux et schistes séricito-graphiteux à intercalations de métatufs acides — a, minéralisation compacte pyriteuse à blonde et galène — b ; son niveau stratigraphique supposé — c ; 7, niveau des porphyrogènes d'Argintărie — métatufs acides intimement associées à porphyroïdes) ; horizon de Huruba — Tg<sub>3</sub><sup>Hu</sup> (8, schistes séricito-chloriteux et schistes séricito-graphiteux ; schistes verts de Poreu — a ; minéralisation disséminée pyriteuse — b ; métatufs acides — c) ; complexe Tg<sub>2</sub> (9, 10, 11) : horizon de Carierei — Tg<sub>2</sub><sup>Ca</sup> (9, schistes séricito-graphiteux et quartzites noires graphiteuses à intercalations de métatufs acides) ; horizon de Gura Argintăriei — Tg<sub>2</sub><sup>Ga</sup> (10, schistes séricito-graphiteux à intercalations de schistes séricito-chloriteux et de métatufs acides — a ; 11, niveau des schistes verts de Smida) ; complexe Tg<sub>1</sub> (12, 13, 14) : horizon de Bradu — Tg<sub>1</sub><sup>Br</sup> (schistes séricito-chloriteux et schistes séricito-graphiteux à intercalations de métatufs acides — a) ; horizon de Spinz — Tg<sub>1</sub><sup>Sz</sup> (13, métatufs acides à intercalations de schistes séricito-chloriteux + schistes séricito-graphiteux — a et de quartzites noires — b) ; horizon de Făgețel — Tg<sub>1</sub><sup>Fa</sup> (14, schistes séricito-chloriteux et schistes séricito-graphiteux à intercalations de quartzites noires — a, de métatufs acides — b, et de roches vertes tuffogènes — c \*\*) ; 15, série de Tulgheș non divisée ; roches météoréptives (16, porphyroïdes) ; 17, schistosité de stratification (Ss) — flanc inverse ; 18, schistosité du clivage axial (Sc<sub>1</sub>) ; 19, source d'eau minérale carbogaseuse ; 20, galerie exécutée récemment ; 21, travail minier ancien ; 22, coupe géologique.

\* A ce niveau s'associent parfois des métabasites.

\*\* A ces roches s'associent parfois de métabasites.

Note : La situation géologique dans la zone des travaux d'exploration a été illustrée d'une manière simplifiée.

## PLANCHE X

Coupes géologiques dans la zone de Hărălgia.

Même légende comme à la carte géologique.

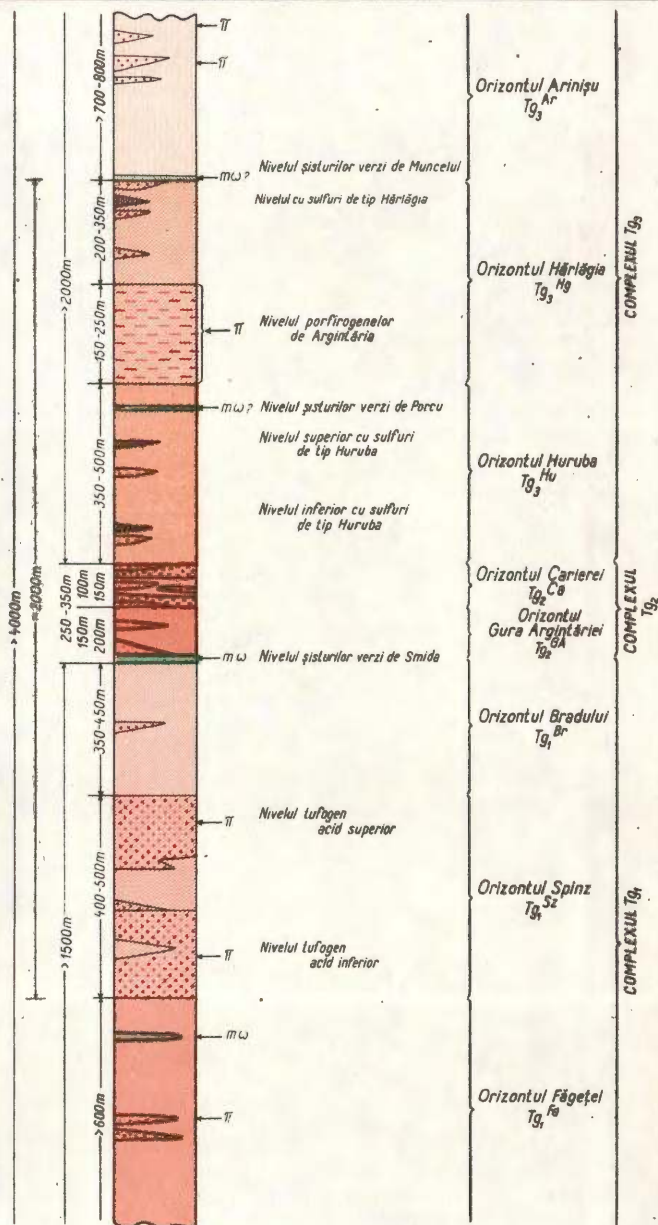


Institutul Geologic al României

## COLOANA LITOSTRATIGRAFICĂ A SERIEI DE TULGHEŞ DIN ZONA HÄRLÄGIA

M. MUREŞAN, GEORGETA MUREŞAN. Mineralizaţiile vulcanogen - sedimentare metamorfozate de la Härlägia

PI. VII



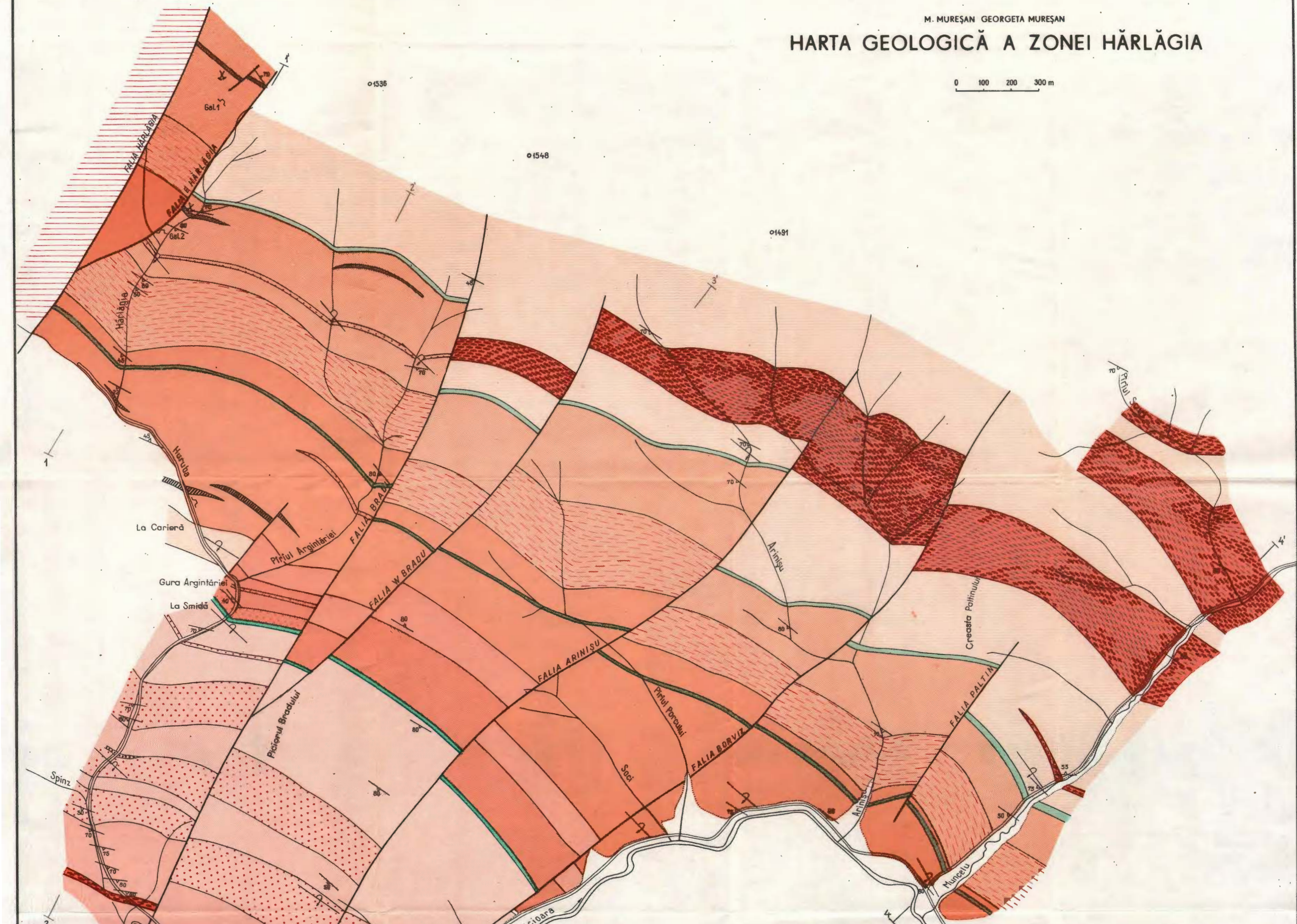
Institutul Geologic al României  
Legenda ca la harta geologică



M. MUREŞAN GEORGETA MUREŞAN

## HARTA GEOLOGICĂ A ZONEI HĂRLĂGIA

0 100 200 300 m



## LEGENDA

## CUATERNAR

- 1 Aluviuurile luncii
- 2 Depozite de terasă
- 3 Travertin

## SERIA DE TULGHEŞ - CAMBRIAN INFERIOR

- 4 Șisturi sericito-cloritoase și șisturi sericito-grafitoase cu intercalări de metatufuri acide (a); mineralizație compactă piritoasă cu blendă și galenă (b)
- 5 Nivelul șisturilor verzi de Muncelu
- 6 Șisturi sericito-cloritoase și șisturi sericito-grafitoase cu intercalări de metatufuri acide (a); mineralizație compactă piritoasă cu blendă și galenă (b)
- 7 Nivelul porfirogenelor de Argintaria (metatufuri acide intim asociate cu porfiroide)
- 8 Șisturi sericito-cloritoase și șisturi sericito-grafitoase
  - a. Nivelul șisturilor verzi de Porcū
  - b. Mineralizație diseminată piritoasă
  - c. Metatufuri acide

## COMPLEXUL Tg1

- 9 Șisturi sericito-grafitoase și quartite negre cu intercalări de metatufuri acide
- 10 Șisturi sericito-grafitoase cu intercalări de șisturi sericito-cloritoase și de metatufuri acide (a)
- 11 Nivelul șisturilor verzi de Smida
- 12 Șisturi sericito-cloritoase și șisturi sericito-grafitoase cu intercalări de metatufuri acide (a)
- 13 Metatufuri acide cu intercalări de șisturi sericito-cloritoase + șisturi sericito-grafitoase (a) și de quartite negre (b)
- 14 Șisturi sericito-cloritoase și șisturi sericito-grafitoase cu intercalări de quartite negre (a), de metatufuri acide (b) și de roci verzi tufogene (c)
- 15 Seria de Tulgheş nedivizată
- 16 Perfiroide

## COMPLEXUL Tg2

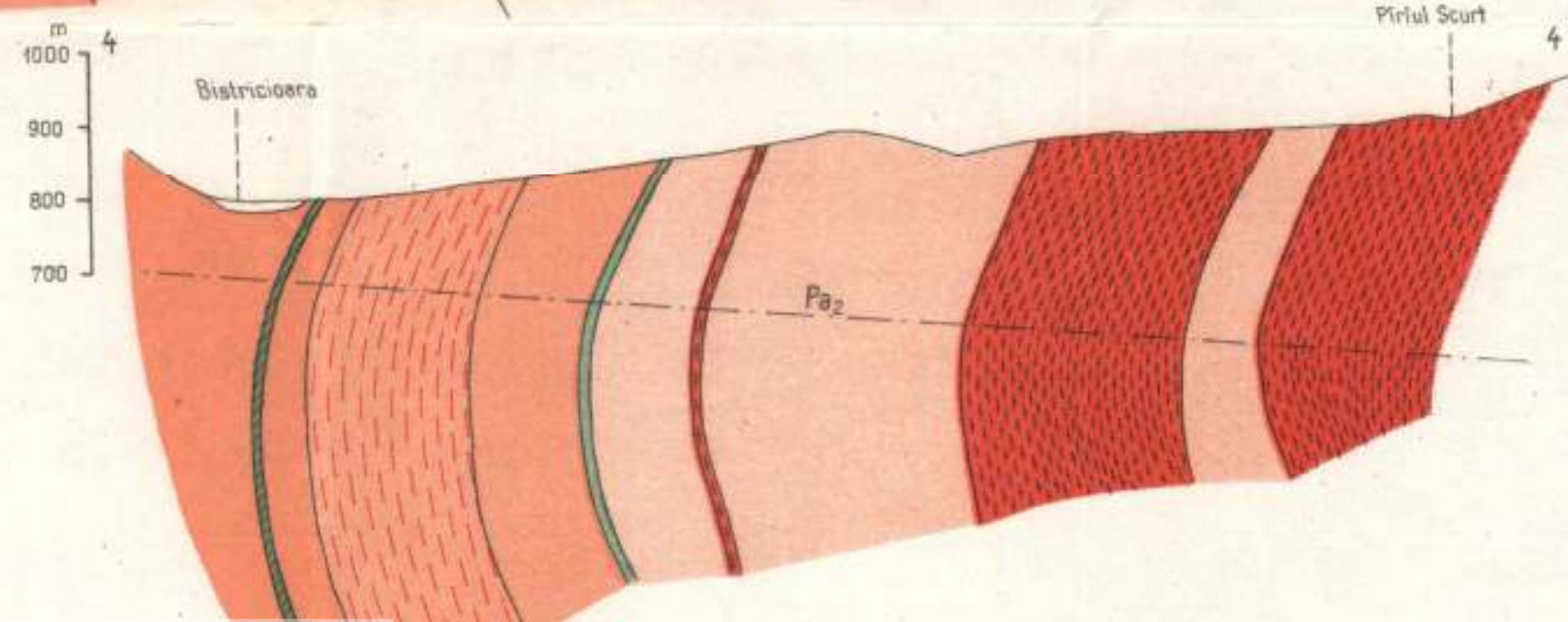
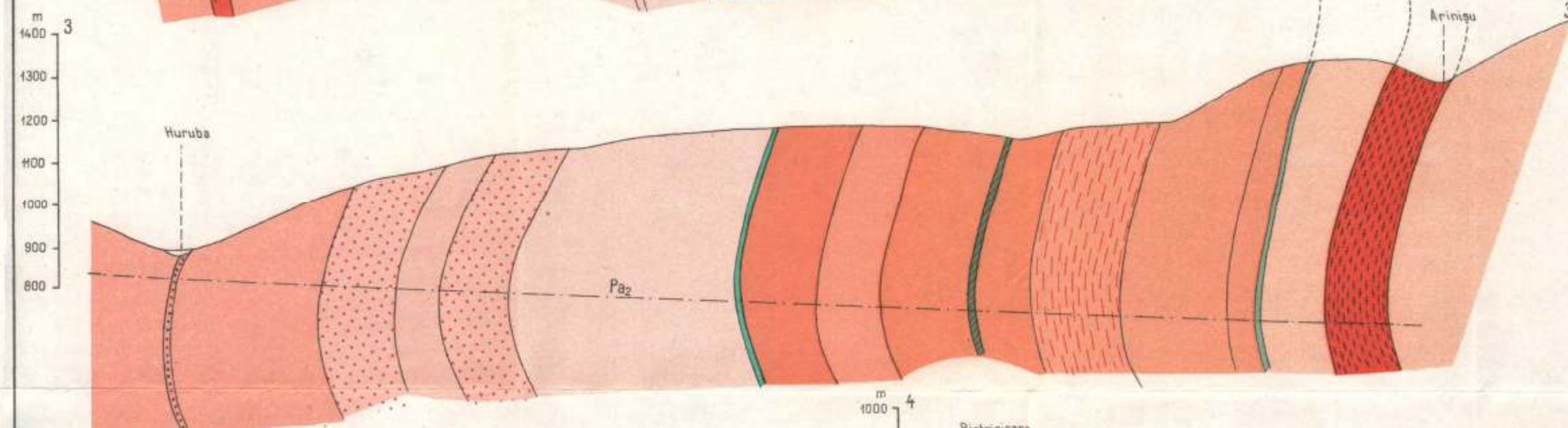
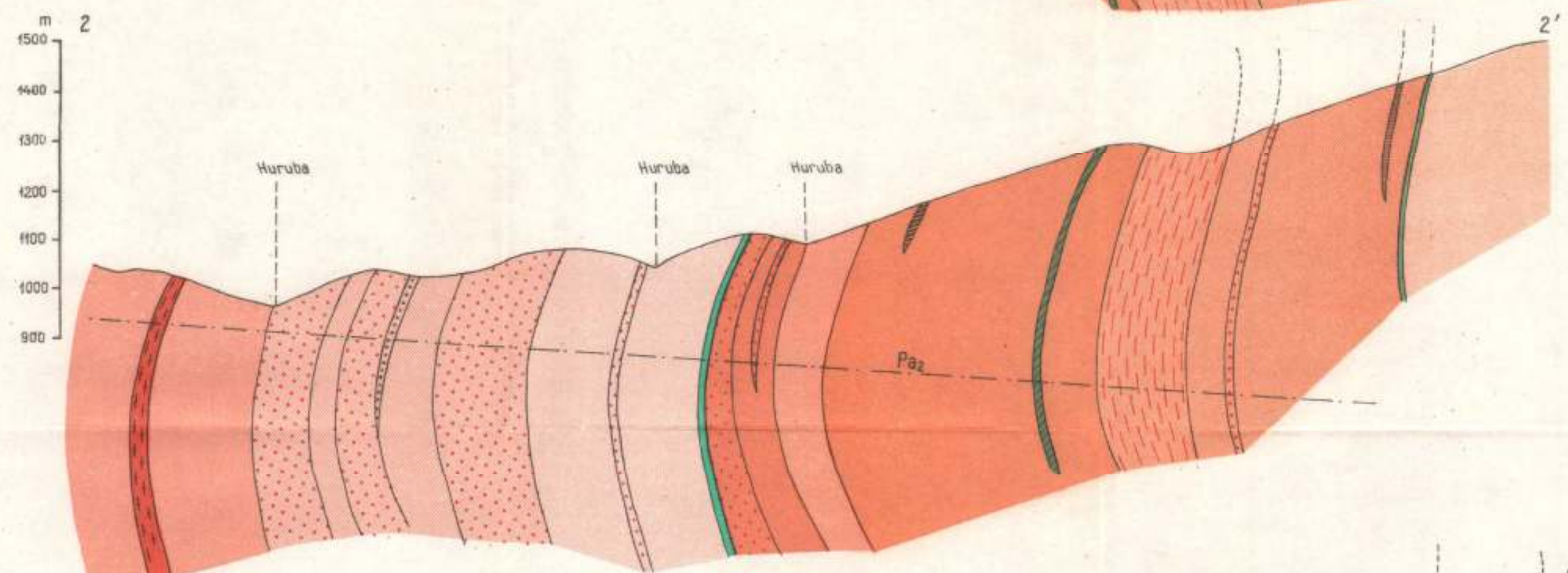
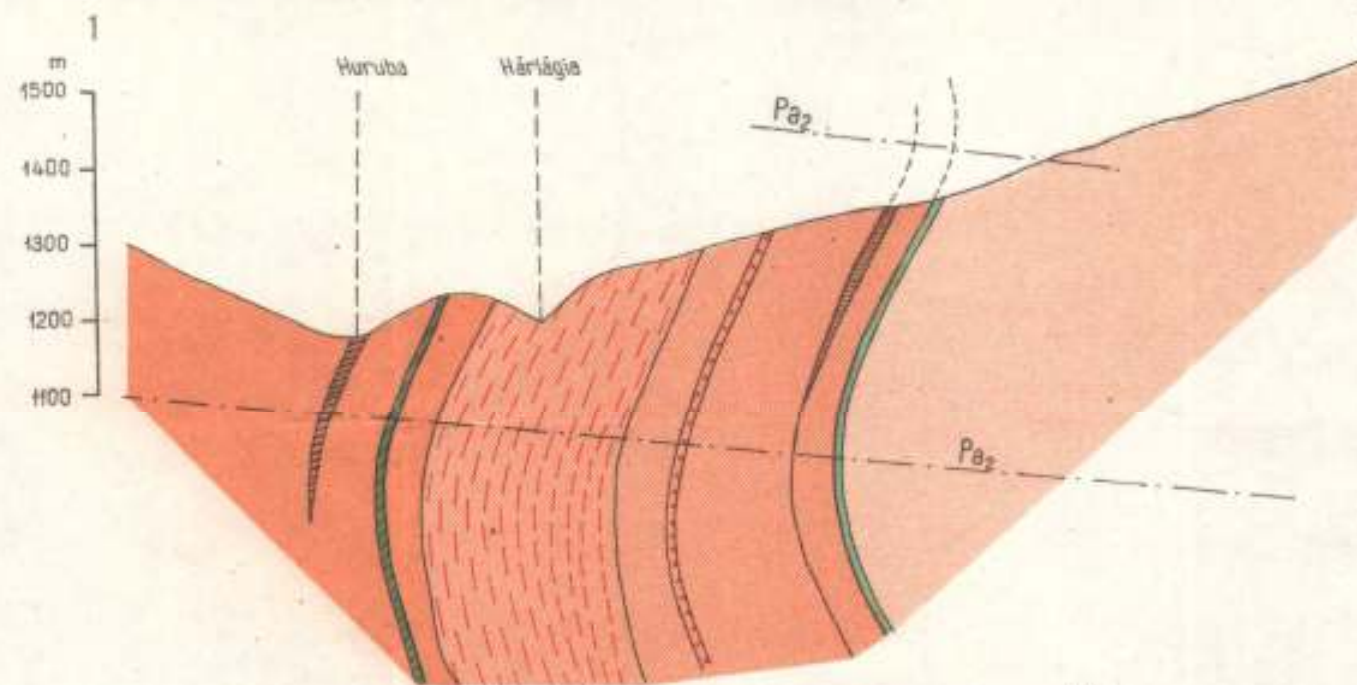
- Orizontul Carierei Tg<sub>2</sub><sup>Ce</sup>
- Orizontul Gura Argintăriei Tg<sub>2</sub><sup>GA</sup>
- Orizontul Bradu Tg<sub>2</sub><sup>Br</sup>
- Orizontul Spinz Tg<sub>2</sub><sup>Sz</sup>
- Orizontul Făgetel Tg<sub>2</sub><sup>Fa</sup>

- 17 Șistozitate de stratificație (S<sub>3</sub>) - flanc invers
- 18 Șistozitatea clivajului axial (Scl<sub>1</sub>)
- 19 Izvor de apă minerală carbogazoasă
- 20 2' Secțiune geologică
- 21 Galerie executată recent
- 22 Lucrare minieră veche
- x Acestui nivel î se asociază uneori metabozite
- xx Acestor roci î se asociază uneori și metabazite
- N.B. Situația geologică în zona lucrărilor de explorare a fost redată simplificat

M. MUREŞAN, GEORGETA MUREŞAN

## SECȚIUNI GEOLOGICE ÎN ZONA HĂRLĂGIA

0 100 200 300 m



Pa<sub>2</sub> - Urma planului axial al cutelor megascopice B<sub>2</sub>

Legenda ca la harta geologică



Institutul Geologic al României



CONCENTRAȚIILE HIDROTERMALE PLUMBO-ZINCIFERE  
METAMORFOZATE DIN ZONA PALTIN-SÎNGEROASA, UN NOU  
TIP GENETIC DE MINERALIZAȚIE ASOCIAȚĂ FORMAȚIUNI-  
LOR EPIMETAMORFICE CAMBRIAN-INFERIOARE ALE SERIEI  
DE TULGHEȘ (CARPAȚII ORIENTALI)<sup>1</sup>

DE

MIRCEA MUREŞAN, GEORGETA MUREŞAN<sup>2</sup>

**Abstract**

Metamorphosed Plumbo-Zinciferous Hydrothermal Concentrations in the Paltin-Singeroasa Zone: A New Genetic Type of Mineralization Associated to the Lower Cambrian Epimetamorphic Formations of the Tulgheş Series (East Carpathians). The Lower Cambrian epimetamorphic formations of the Tulgheş Series (especially in the porphyroid dykes) accommodate vein mineralizations consisting mainly of sphalerite and galena, metamorphosed along the host rocks at the end of the Lower Cambrian epoch. The ore displays, in the zones rich in galena, a schistous, sometimes microfolded, texture; it is compact and its initial age, dated by Pb/Pb method (Holmes-Houtermans), is approximately 590 m.y., corresponding to the Lower Cambrian time. The described mineralizations are ascribed to the „province of the concentrations associated to the Lower Cambrian acid magmatism of the Tulgheş Series”.

În formațiunile epimetamorfice cambrian-inferioare ale seriei de Tulgheş, în vecinătatea localității cu același nume, se cunosc de mai mult timp o serie de concentrații plumbo-zincifere, care au constituit obiectul unor mici explorații începând de anul 1900 și sporadic între cele două războaie mondiale. Ele sunt situate pe o suprafață relativ restrânsă, cele mai multe situindu-se între Valea Seaca (afluent de stînga al Văii Bistricioara) și valea Bistricioara. Cele mai importante se află pe Pîrul Paltin, la Singeroasa și la Pîrul cu Linia (pl. V).

Caracteristica mineralologică a acestor mineralizații este predominantă galenei și blendei asupra altor sulfuri de tipul piritei și calco-piritei. Ele sunt localizate în majoritatea cazurilor în dyke-uri de roci

<sup>1</sup> Predată la data de 21 mai 1975, acceptată pentru publicare la data de 27 mai 1975, comunicată în ședința din 31 mai 1975.

<sup>2</sup> Institutul de geologie și geofizică, str. Caransebeș, nr. 1, București.



acide metamorfozate-porfiroide (Paltin, Sîngeroasa, Pîriul Păvăloanei) sau în unele cazuri, în rocile terigene și tufogene acide metamorfozate din preajma unor astfel de dyke-uri (Pîriul Borvizului, Pîriul Argintăria, Pîriul cu Linia).

Minereul este compact, cu textură în general masivă, atunci cînd predomină blenda, sau șistoasă, atunci cînd este prezentă galena în cantități mari; uneori această șistozitate este microcutată, trădind deformării plicative sinmetamorfice.

Vîrsta acestor mineralizații este aceeași cu a seriei de Tulgheș, în formațiunile căreia se localizează și cu care au fost metamorfozate în decursul mișcărilor baicaliene. O probă directă o avem la Sîngeroasa, unde determinările izotopice ( $Pb/Pb$ ), făcute pe minereul galenifer de către E l e o n o r a V i j d e a, și S. A n a s t a s e (1971<sup>3</sup>) au arătat o vîrstă medie de 590 milioane ani, care corespunde Cambrianului inferior, fiind în acord cu datele spor-polinice, ce atestă o astfel de vîrstă pentru seria de Tulgheș (I l i e s c u, M u r e ș a n, 1972 a).

Concentrațiile plumbo-zincifere de care ne ocupăm au fost considerate de origine hidrotermală post-metamorfică de majoritatea cercetătorilor anteriori (C h e l ă r e s c u, 1937, 1953<sup>4</sup>; S a v u l, D l u j n e w s c h i, 1954<sup>5</sup>; E. și E l e n a M a r i n e s c u, 1960<sup>6</sup>).

În memoriul metalogenetic al foii Toplița (M u r e ș a n, P e l t z, 1968), s-a admis părerea lui M. M u r e ș a n, conform căreia mineralizația de la Sîngeroasa este hidrotermală premetamorfică, pe baza texturii evident șistoase pe care o prezintă galena din minereul de aici și a asemănării acestuia cu mineralizații hidrotermale metamorfozate din Poiana Rusă. Cercetările noastre asupra mineralizațiilor de acest gen, din vecinătatea Tulgheșului, au arătat că o astfel de geneză este de generalizat pentru acumulările menționate mai înainte, pe baza formei de zăcămînt, aspectelor mineralogie și texturale, relațiilor cu rocile inconjurătoare și asemănării pînă la identitate cu mineralizațiile de la Sîngeroasa, care, după cum s-a arătat, săn sigur cambrian-inferioare. Faptul că, înaintea metamorfismului regional, mineralizația s-a acumulat pe cale hidrotermală, poate fi argumentat atât prin forma și poziția discordantă a mineralizațiilor față de rocile inconjurătoare, cit și prin localizarea multora dintre aceste acumulări în dyke-uri de porfiroide metamorfozate, ceea ce exclude posibilitatea depunerii lor pe cale vulcanogen-sedimentară. Legătura spațială directă cu rocile extrusive acide de tip riolitic credem că este o dovedă clară în favoarea legăturii genetice a acestor concentrații cu magmatismul acid premetamorfic.

Întrucît în Carpații Orientali acumulări hidrotermale plumbo-zincifere, de vîrstă cambrian-inferioară, nu se cunosc pînă acum în afara regiunii Tulgheșului, le putem considera ca specifice acesteia.

<sup>3-5</sup> Arh. Inst. geol. geof., București.

<sup>6</sup> Arh. Comis. rep. rez. geol. București.



Întrucit în formațiunile carbonifer-inferioare din partea de nord-est a masivului Poiana Rusă, se cunoaște o mineralizație plumbo-zinciferă filoniană metamorfozată (la Muncelul Mic), legată indubitatibil de porfiroide riolitice (K r à u t n e r, 1963), se poate trage concluzia că, în epoci diferite, magmatismele acide heterocrone, dar cu caracter petrologic similar, au fost însoțite în mod cert de o metalogenează plumbo-zinciferă, concretizată prin concentrații, în general filoniene, de blendă și galenă, localizate adesea în dyke-urile de roci acide care le-au precedat.

Considerăm că aşa cum pentru anumite tipuri faciale de zăcăminte ferifere vulcanogen-sedimentare s-au adoptat numiri care au devenit clasice (de exemplu zăcăminte de tip Lahn-Dill sau zăcăminte de tip Ghelar — K r à u t n e r, 1970), se poate adopta o denumire și pentru acest tip de acumulări hidrotermale de galenă și blendă, legate de magmatismul acid de eugeosininal. În cazul nostru, credem că denumirea de „concentrații plumbo-zincifere de tip Paltin”, ar putea desemna o astfel de categorie de acumulări, întrucit mineralizația cu acest nume este cea mai importantă și mai bine cunoscută în regiune.

#### A) CARACTERE GEOLOGICE ȘI MINERALOGICE

În cele ce urmează vor fi arătate principalele caractere geologice și mineralogice ale celor mai importante concentrații plumbo-zincifere hidrotermale metamorfozate, întâlnite în imprejurimile Tulgheșului : mineralizațiile de la Paltin, Singeroasa, și Pîriul cu Linia ; cele cunoscute la Pîriul Borvizului, valea Bistricioara, Pîriul Alunului, Pîriul Păvăloanei, Pîriul Argintăria, pîriul Runculești, pîriul Muncel reprezentă iviri cu importanță minoră. Punctele mineralizate menționate sunt indicate pe planșa V.

#### 1. Concentrațiile de la Paltin

Înspre partea superioară a pîriului Paltin, affluent stîng al Văii Seaca, se află urmele unor vechi lucrări miniere, dintre care unele datează încă dinainte de 1900. Mai tîrziu, în 1923—1925, o parte din vechile lucrări au fost redeschise temporar. Ulterior, în perioada 1953—1960, s-a efectuat redeschiderea și prelungirea unor galerii (V i e r e s c u 1954<sup>7</sup>, E. și E l e n a M a r i n e s c u<sup>8</sup>). Mai recent, G. și F l o a r e a P o p a 1969—1970<sup>9, 10</sup>, au efectuat prospecțiuni detaliate în zona Paltin, însoțite și de cercetări prin sănțuri a unei zone de impregnație piritoasă, situată imediat la nord de dyke-ul de riolite care găzduiește mineralizația plumbo-zinciferă de aici. Actualmente, mineralizațiile sunt în curs de cercetare de către I.P.E.G. „Harghita”, fiind interceptate de galeria nr. 6

<sup>7</sup> Arh. M.M.P.G. București.

<sup>8</sup> Op. cit. pct. 6.

<sup>9,10</sup> Arh. I.G.P.S.M.S. București.



(G. J a k a b, informație verbală). Descrierea mineralologică amănunțită a concentrațiilor de la Paltin a fost făcută prima dată de către Chelărescu (1937) care atribuie mineralizației geneza hidrotermală post-metamorfică. Mai tîrziu, Chelărescu (1953)<sup>11</sup>, I. și Elvira Bercia (1954)<sup>12</sup>, Savul, Dlujnewschi (1954), E. și Elena Marinescu (1960), G. și Floarea Popa (1969, 1970)<sup>13</sup> menționează și descriu mineralizația de aici, pe care o consideră de asemenea de natură hidrotermală.

Cercetările noastre ne-au arătat că, în zona lucrărilor miniere menționate, aflorează un dyke de porfiroide riolitice, în care este localizată mineralizația plumbo-zinciferă.

Analiza chimică (analist Elena Paralescu) a unui eșantion de porfiroid este următoarea (în procente):  $\text{SiO}_2$  69,92;  $\text{Fe}_2\text{O}_3$  0,12;  $\text{FeO}$  2,15;  $\text{Al}_2\text{O}_3$  13,65;  $\text{TiO}_2$  0,15;  $\text{MnO}$  0,04;  $\text{CaO}$  1,68;  $\text{MgO}$  1,30;  $\text{Na}_2\text{O}$  3,81;  $\text{K}_2\text{O}$  4,18;  $\text{P}_2\text{O}_5$  0,14;  $\text{SO}_2$  12;  $\text{CO}_2$  0,90;  $\text{H}_2\text{O}^{+105}$  1,53;  $\text{H}_2\text{O}^{-105}$  0,13. Parametri Niggli ( $\text{al} = 40,12$ ;  $\text{fm} = 19,16$ ;  $\text{c} = 8,98$ ;  $\text{alk} = 31,74$ ;  $\text{mg} = 0,50$ ;  $\text{k} = 0,42$ ;  $\text{si} = 351,12$ ) și Rittman ( $\text{SiO}_2 = 69,92$ ;  $\text{Al} = 12,28$ ;  $\text{Alk} = 9,89$ ;  $\text{CaO} = 1,68$ ;  $\text{FM} = 5,08$ ;  $\text{k} = 0,42$ ;  $\text{ca} = 0,25$ ;  $\text{an} = 0,11$ ), corespunzători analizei menționate, indică o rocă riolitică.

Mineralizația de la Paltin este reprezentată printr-un filon principal (cu mici ramificații, orientat NW-SE și inclinat cu  $50-60^\circ$  către NE; lucrările miniere de aici au mai întîlnit de asemenea — mici filoane, cuiburi și impregnații (de exemplu galeriile nr. 2 și 6 — fig. 1).

Din confruntarea diverselor materiale existente (Chelărescu, 1937, 1953; Savul, Dlujnewschi, 1954; I. și Elvira Bercia, 1954; E. și Elena Marinescu, 1960), referitoare la descrierea diverselor lucrări miniere din zonă, am tras mai de mult concluzia (M. și George Mureșan, 1972)<sup>14</sup> că, în preajma suprafetei, traseul acestui filon traversează Valea Paltinului, în aval de gura galeriilor nr. 4 și 5 și în apropierea vechiului puț din dreapta văii, situat în apropierea cotului acesteia. Spre NW, filonul principal este probabil afectat de o falie, intrucît în galeria nr. 2 nu a fost interceptat, în zona în care acesta ar fi trebuit să fie întîlnit (adică aproximativ în dreptul corpului de lamprofir dinspre gura galeriei); este foarte posibil, ca filonul de pîrîtă cu ceva blendă și galenă (gros de mai multe zeci de cm și orientat N  $35^\circ\text{W}/70^\circ\text{NE}$ ), interceptat în galeria nr. 1 și în puțul din apropierea acesteia, să reprezinte continuarea spre NW de falia presupusă (în zona lamprofirului dinspre gura galeriei nr. 2) a filonului principal. Pe de altă parte, în galeria nr. 4 (redeschisă în 1953 de către I.E.E.G. — echipa nr. 6, condusă de V. Viervescu) s-a surprins efilarea spre SE a filonului (bogat în galenă și blendă), de la grosimi de ordinul zecilor de cm (menționate și de către

<sup>11</sup> Op. cit. pct. 4.

<sup>12</sup> Arh. Inst. geol. geof. București.

<sup>13</sup> Op. cit. pct. 5, 6, 9, 10.

<sup>14</sup> Arh. Inst. geol. geof., București.



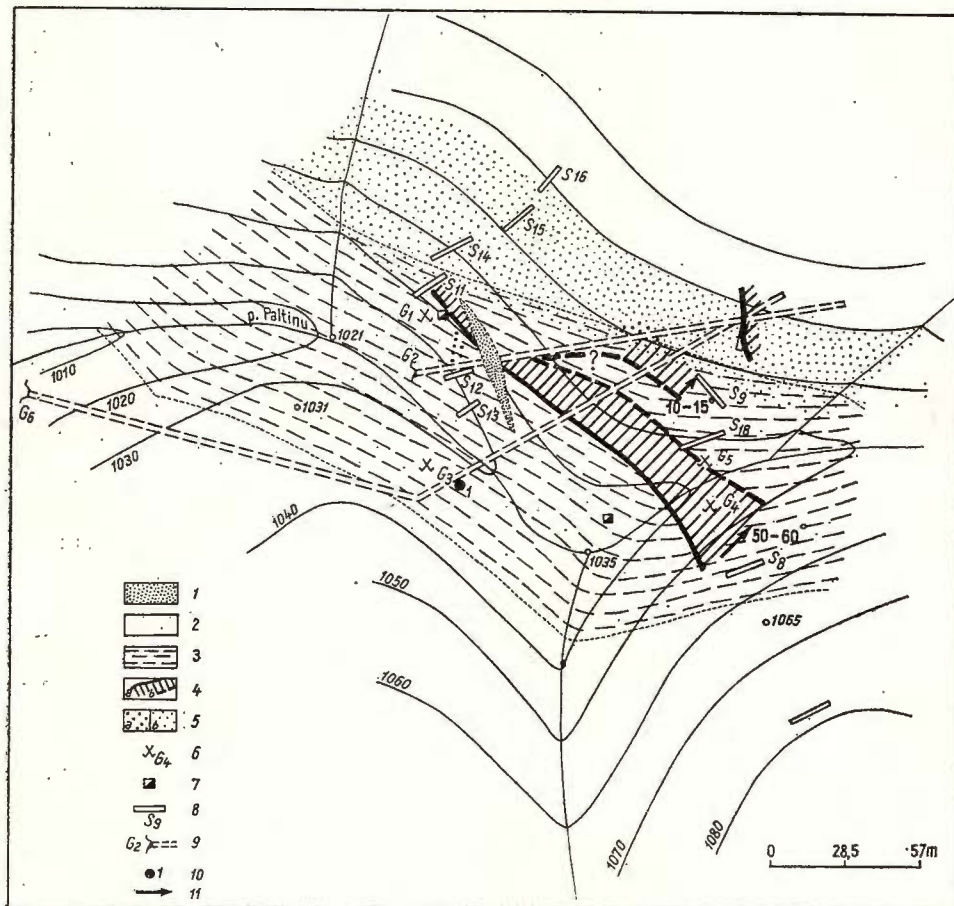


Fig. 1.— Schiță geologică a zăcămîntului Paltin (situația din galeria 2 după E. și Elena Marinescu; situația din galeria 6 după G. Jakab).

1, lamprofir (la nivelul galeriei 2); 2, șisturi sericito-cloritoase și șisturi cuartoase sericitoase cu intercalări de metatufuri acide; 3, porfiroide riolitice; 4, filon cu blendă, galenă  $\pm$  pirită (a. la nivelul galeriei 2; b. la nivelul galeriei 6); 5, zone cu impregnații (a. zonă cu impregnații de blendă și galenă la nivelul galeriei 2; b. zonă cu impregnații sporadice de pirită  $\pm$  blendă  $\pm$  galenă la suprafață); 6, galeria veche nr. 4; 7, puț vechi; 8, sănțul nr. 9; 9, galerie recentă (nr. 2 și nr. 6); 10, forajul 1; 11, sensul inclinării filoanelor mineralizate (cifrele indică mărimea medie a inclinării în grade sexagesimale).

Esquisse géologique du gisement de Paltin (situation de la galere 2 selon E. et Elena Marinescu ; situation de la galerie 6 selon G. Jakab).

1, lamprophyres (au niveau de la galerie 2); 2, schistes séricito-chloriteux et schistes quartzzeux sériciteux à intercalations de métatufs acides; 3, porphyroïdes ryolithiques; 4, filon à blende, galène  $\pm$  pyrite (a. au niveau de la galerie 2; b. au niveau de la galerie 6); 5, zone à impregnations (a, zone à impregnations de blende et galène au niveau de la galerie 2; b. zone à impregnations sporadiques de pyrite  $\pm$  blende  $\pm$  galène à la surface); 6, galeria ancienne no 4; 7, puits ancien; 8, fossé no. 9; 9, galerie récente (no. 2 et no. 6); 10, forage 1; 11, sens de l'inclinaison des filons minéralisés (les chiffres indiquent la grandeur moyenne de l'inclinaison en degrés sexagésimaux).

Chelărescu, 1937) la cîțiva cm. Din cele de mai sus, rezultă că, în apropiere de suprafață, lungimea filonului principal este de ordinul zecilor de m și că grosimile acestuia variază mult; ar mai rezulta de asemenea că, pe direcția filonului, are loc o variație mineralologică, de la o mineralizație bogată în blendă și galenă (în partea centrală și în SE-ul filonului) la o mineralizație predominant pirotoasă (înspre NW-ul filonului).

Recent, mineralizația de la Paltin a fost interceptată (la un nivel inferior galeriei nr. 2) de către galeria nr. 6, executată de către I.P.E.G. „Harghita” (G. Jaka, informație verbală). Astfel, această galerie a intilnit, la metrul 232, un filon cu galenă și blendă, urmărit apoi direcțional spre SE și NW, pe cîțiva zeci de metri; corpul mineralizat este localizat numai în porfiroide, este orientat NW-SE și inclină cu  $50^{\circ}$ – $60^{\circ}$  către NE. După felul cum se corelează cu situația există în lucrările miniere, situate la nivele superioare (galeriile nr. 1, 2, 4 s.a.), credem că, corpul filonian întilnit în galeria nr. 6 (la metrul 232) este de fapt filonul principal descris mai sus. Aproximativ de la metrul 245, galeria nr. 6 a urmărit un alt filon cu blendă și galenă, care avind o inclinare de  $10$ – $15^{\circ}$  către NE, reprezintă probabil o ramificație de coperiș a filonului Paltin, cu care s-ar uni deasupra nivelului galeriei nr. 6.

Galeria nr. 2 și sănțurile, efectuate la indicațiile geologilor G. și Floarea Popa (1969)<sup>15</sup>, arată că mineralizația de la Paltin este însotită înspre NNE și la o oarecare distanță de o zonă cu diseminări de pirită și subordonat de blendă și galenă, dispusă în ansamblu după direcția WNW-ESE și dezvoltată mai ales la nord de dyke-ul de porfiroide.

Minereul de la Paltin este alcătuit predominant din blendă și galenă și subordonat din pirită, calcopirită, tetraedrit și prusit, asociate cu calcit și cuart precum și cu minerale incluse din porfiroidele înconjurate (cuart, feldspat și sericit).

Pe haldă și în galeria nr. 6, am putut observa minereu alcătuit în unele cazuri practic numai din galenă, în altele numai din blendă, altelei din blendă, galenă ± pirită precum și minereu de blendă cu multă gangă carbonatică; în unele situații, pirla prezintă zone de îmbogățire, dind caracterul piroios unei părți din mineralizație (reamintim că în galeria nr. 1 a fost interceptat un filon de pirită cu ceva blendă și galenă – gros de 60 cm – care ar putea reprezenta terminația NW-ică cunoscută a filonului principal). Chelărescu (1937) descrie următoarele asociații și tipuri de minereu (care corespund în ansamblu cu cele pe care le-am observat și noi):

a) minereu constituit predominant din galenă asociată cu cantități subordonate de tetraedrit, prusit și blendă și sporadic cu puțină calcopirită, pirită, cuart și carbonat;

b) minereu în care predomină blenda, cu adaosuri subordonate de galenă, pirită, carbonați, cuart și feldspat;

c) minereu constituit predominant din pirită, asociată cu cuart și cimentată cu puțină blendă, galenă sau calcopirită;

<sup>15</sup> Op. cit. pct. 9.

d) minereu în care predomină ganga carbonatică (în special calcitică), în care apar cuiburi și plaje neregulate de blendă, asociată cu pirită și agregate de galenă.

Galena constituie frecvent zone compacte și agregate granulare precum și plaje și filonașe. Este asociată cu tetraedritul și prustitul care o traversează. Acest mineral prezintă laminări și frecvent deformări ale clivajelor. În zonele bogate în galenă, se observă textura șistoasă a minereului, uneori microcutată (pl. II, fig. 2).

Blendă se prezintă sub formă de mase compacte, agregate și cuiburi, cu contururi neregulate. Mineralul este străbătut de numeroase fisuri pe care au pătruns carbonații, cuarțul, galena și uneori pirla.

Pirla se prezintă sub două forme principale: agregate granulare și indivizi hipidiomorfi și idiomorfi, asociati cuarțului. Pirla este frecvent zdrobită și cimentată cu blendă și galenă. O altă formă de prezentare a pirlitei este cea de filonașe și plaje ce străbat blenda.

Calcopirita, cu contururi mereu neregulate, este inclusă adesea în blendă sub formă de granule, baghete sau picături; uneori calcopirita străbate tetraedritul și prustitul sub formă de filonașe.

Tetraedritul, se prezintă ca plaje și filonașe și este frecvent asociat galenei.

Prustitul apare ca filonașe în galenă, uneori traversate de calcopirita.

Calcitul (căruia îl se asociază uneori și dolomitul) este principalul mineral de gangă, fiind prezent (în diverse proporții) în toate tipurile de minereu; el formează uneori mase compacte, cu aspect marmorean, în care apar sulfuri, mai ales blendă. Sub microscop se observă structura mozaicată a zonelor carbonatice precum și clivarea intensă, după două direcții, a indivizilor de calcit care le alcătuiesc. Clivajele sunt frecvent indoite, în urma presiunilor suferite. Se observă și o generație mai nouă de calcit dar care la fel a fost supusă unor deformări tectonice.

Cuarțul, deși mineralologic este prezent aproape în toate eșantioanele studiate, este subordonat calcitului. Cuarțul prezintă preferințe pentru zonele îmbogățite în pirlă. El are adesea extincție ondulatorie.

Din studiul efectuat asupra rocilor înconjurătoare mineralizației, rezultă că în jurul acestora au avut loc transformări hidrotermale sincrone, concretizate mai ales prin carbonații, silificieri și piritizări ale porfiroidelor, metatufurilor acide și ale rocilor terigene, din preajma corporilor de minereu.

Geneza zăcământului de la Paltin este hidrotermală, concluzie care se bazează pe forma de zăcămînt a mineralizației, pe relațiile de discordanță dintre acesta și rocile înconjurătoare, pe faptul că cele mai multe concentrații sunt localizate într-un dyke de metariolite (fapt care exclude acumularea pe cale vulcanogen-sedimentară a mineralelor metalifere) și pe baza transformărilor hidrotermale, surprinse în rocile înconjurătoare zăcământului.

Metamorfozarea regională ulterioară a minereului o dată cu celelalte formațiuni ale seriei de Tulgheș, apare evidentă datorită șistozității mine-

reului (fenomen frecvent în sorturile bogate în galenă), a microcavării acestuia (pl. II, fig. 2), a deformărilor suferite de calcit și cuarț și a asemănării minereului cu cel de la Singeroasa, care avind sigur vîrstă cambrian-inferioară (datări izotopice — E leonora Vîjdea, S. Anstasie<sup>16</sup>), înseamnă că este sincron seriei de Tulgheș în care apare mineralizația, serie care a fost metamorfozată regional la sfîrșitul Cambrianului inferior (Ilieșcu, Mureșan, 1972 a; Kräutner, Popa, 1973).

## 2. Concentrațiile de la Singeroasa

În apropierea localității Singeroasa (actualmente satul Valea Frumoasă), în zona versantului stîng al văii Bistricioara, (între Pîriul Singeroasa și Pîriul Făgetului, mici afluenți de stînga ai Bistricioarei), se află urmele unor vechi lucrări miniere, în majoritate complet surpate, care au urmărit mineralizații de galenă argentiferă; ele sunt situate pe Pîriul Singeroasa, în versantul stîng al văii Bistricioara (în aval de confluența cu Pîriul Singeroasa) și Piatra lui Constantin (în versantul stîng al Pîriului Făgetului). Noi am putut vizita, în 1971, împreună cu colegul I. Koczur, o galerie (galeria lui Mihai, săpată în 1932—informație obținută de la localnicul Valer Apostol) bine conservată, situată în malul drept al pîriului Singeroasa (la o altitudine de 750 m) precum și zona unei vechi lucrări, de la baza unei cariere de sub Piatra lui Constantin. A. Chelărescu (1937), M. Savul, Lucia Duljenewski (1954)<sup>17</sup> au mai avut acces și la o galerie, situată mai la est de cea vizitată de noi, amplasată la o altitudine de aproximativ 770 m; autorii mai amintesc de o serie de galerii surpate (situate mai sus pe pîriul Singeroasa) pe ale căror halde se cunoșteau blocuri de minereu cu galenă, blendă și pirită.

Din punct de vedere geologic, concentrațiile metalifere sunt localizate într-un dyke de porfiroide riolitice, de tipul celor întlnite la Paltin.

Galeria lui Mihai, din malul drept al pîriului Singeroasa, este orientată N 10 E, menținându-și aceeași orientare pînă în front (adică pînă la metrul 8); la metrul 6 din ea se ramifică spre dreapta o galerie după direcția N70E (pe primii 5 m) și apoi N40E (pe ultimii 3 m accesibili). Roca porfiroidă din galeria principală prezintă o zonă de limonitizare (de cca 10–30 cm grosime), situată probabil pe vechea mineralizație, intercepțată în ultima parte a galeriei principale. Sistozitatea porfiroidului fiind N40W/40NE, este certă discordanța între zona mineralizată și foliația metamorfică a rocii gazdă. A. Chelărescu menționează în halda acestei galerii blocuri de galenă asociate cu blendă și pirită.

Sub Piatra lui Constantin, la baza carierei recente, săpată de localnici în același dyke de porfiroide riolitice întlnit pe valea Singeroasa, se observă urma unei vechi lucrări miniere (galerie?), orientată aproximativ E–W și săpată la contactul între un filon de cuarț (situat la nord de vechea lucrare) și o zonă de umplutură filoniană predominant calcitică (parțial limonitizată), cu structură brecioasă, orientată N80E, care se

<sup>16</sup>p. cit. pct. 3.

<sup>17</sup>Op. cit. pct. 5.



poate urmări pe 10 m lungime (cu grosimi variabile de la 0,5 m la 1 m); și aici se observă deoarece discordanța între zona mineralizată și sistozitatea metamorfică a porfiroidului, situație similară celeia din galeria lui Mihai. Umplutura filoniană menționată este constituită în majoritate din fragmente colfuroase de calcit, asociate cu puțin cuarț și pirită. Cuarțul are extincții ondulatorii, calcitul prezintă clivaje frecvent deformate; totul, este puternic cimentat cu calcit (la rindu-i deformat). Aceste caractere, corelate cu faptul că la baza paniei, pe micul pîrîiuș (numit Pîrîul Fâgetului), care curge pe sub cariera menționată, se găsesc fragmente de minereu de galenă cu textură sistoasă, ne îndreptățesc să credem că această umplutură filoniană este metamorfozată și însoțea mineralizația urmărită prin vechea lucrare acum prăbușită (situată imediat la nord); de altfel, după cum s-a arătat, în mineralizația metamorfozată de la Paltin o parte din ganga minereului este reprezentată prin calcit.

A. Chelărescu (1953)<sup>18</sup> mai menționează pe pîrîul Huian (situat de asemenea în apropierea localității Valea Frumoasă — fostă Singeroasa) urmele unei vechi galerii surpate (situată mai în aval de aflorimentul magnetitic descris de autor în 1938), pe halda căruia a găsit de asemenea minereu de galenă asociată cu blendă și pirită, care pare a fi localizat în afara dyke-ului metariolitic, în sisturi cloritoase tufogene. În acest fel, între pîrîul Singeroasa și pîrîul Huian, se conturează un cîmp orientat nord vest-sud est, în care se individualizează mici filoane discordante constituite din galenă, ceva blendă și pirită, filoane a căror orientare este variabilă.

Asociația mineralelor metalice, din concentrațiile cunoscute în zona Singeroasa este relativ simplă fiind alcătuită din galenă, blendă, tetraedrit și prusit, asociate cu calcit și cuarț.

Galena, care predomină în minereu, constituie aggregate, filoane și mase compacte, clivate intens și cu sistozități evidente. Ea traversează celealte minerale metalice, cu excepția tetraedritului care tinde să o înlocuiască. Galena se asociază mai mult cu ganga cuarțoasă.

Blenda, subordonată galenei, apare sub formă de mase compacte și aggregate. Este adesea asociată și traversată de galenă și tetraedrit. Blenda se asociază mai ales cu calcitul, în aceste cazuri predominând asupra galenei.

Pirita este idiomorfă și hipidiomorfă, constituind aggregate sau chiar mase compacte, asociate în special cuarțului. Pirita se găsește și diseminată în jurul umpluturilor compacte filoniene, sugerind existența unor slabe piritizări premetamorfice ale rocilor înconjurătoare. Pirita este cimentată și străbătută de toate mineralele metalifere, localizate în numeroasele fisuri care o străbat.

Prusitul apare în minereu numai sub formă de filoane, localizate în masa galenei.

Tetraedritul, care apare în minereu sporadic, constituie filoane și plaje care înlocuiesc parțial galena.

<sup>18</sup> Op. cit. pct. 4.

Cuarțul, sub formă de granule și aggregate, prezintă extincție ondulatorie, dovedă a presiunilor suferite în decursul metamorfismului regional. Se observă uneori și filonașe de cuarț, de natură hidrotermal-metamorfică, care străbat minereul.

Calcitul constituie uneori mase compacte, frecvent cuiburi și filonașe care străbat minereul; după cum s-a arătat, acest mineral prezintă numeroase clivaje, adesea deformate.

Sericitul, sporadic în minereu, este asociat de obicei piritei și provine probabil din recristalizarea metamorfică a unui material argilos, care provine din alterarea hidrotermală (contemporană mineralizației) a riolitelor găzduiți, transformate acum în porfiroide.

Perioada de formare a mineralizației de la Singeroasa o cunoaștem din determinările izotopice Pb/Pb, făcute de Eleonora Vițdea, S. Anastase<sup>19</sup> pe două eșantioane de galenă, care ne-au fost puse la dispoziție de colegul I. Trăilă, recoltate de pe Pîrîul Făgetului (Singeroasa). Rezultatele obținute prin metoda Holmes-Houtermans sint de 570 și respectiv 610 mil. ani (media 590 mil. ani), ceea ce conferă vîrstă cambrian-inferioară concentrației hidrotermale studiate; în decursul mișcărilor baicaliene, de la sfîrșitul Cambrianului inferior (Ilieșcu, Mureșan, 1972 a; Kräutner, Popa, 1973), atât formațiunile seriei de Tulgheș cit și acumulările filoniene plumbo-zincifere au suferit metamorfismul regional, fapt care reiese din aspectele geologice, texturele, structurale și mineralogice ale mineralizației prezentată mai înainte. Vîrstele izotopice menționate coincid în general cu cele determinate prin aceeași metodiciă de autorii citați și de Eleonora Vițdea (1968) pentru minereurile unor zăcăminte vulcanogen-sedimentare metamorficate din seria de Tulgheș (tab. 1), ceeaace demonstrează că toate aceste

TABELUL 1

*Vîrstă-model Pb/Pb (Holmes -Houtermans) a unor concentrații metalifere din seria de Tulgheș\**

Proba	Proveniență	Tipul genetic inițial	Vîrstă model (milioane ani)	Vîrstă medie (milioane ani)
70A 70B	Singeroasa Singeroasa	Hidrotermal Hidrotermal	610 570	590
A	Colbu	Vulcanogen-sedimentar	590	590
GB	Gura Băii	Vulcanogen-sedimentar	520	520
1 2	Leșu Ursului Leșu Ursului	Vulcanogen-sedimentar Vulcanogen-sedimentar	500 600	550
100M K	Bălan Bălan	Vulcanogen-sedimentar Vulcanogen-sedimentar	600 500	550

\* După Eleonora Vițdea și Serban Anastase

<sup>19</sup> Op. cit. pct. 3.



concentrații s-au format în ansamblu în aceeași perioadă de timp, adică în Cambrianul inferior.

### 3. Concentrațiile de la Pîrîul cu Linia

În versantul drept al Pîrîului cu Linia (bifurcația dreaptă superioară a văii Barasău), la aproximativ 900 m altitudine, se situează urmele unor vechi lucrări miniere, care au urmărit o mineralizație predominant zinciferă (A. Chelarescu, 1937); primele lucrări au fost executate înainte de 1848, fiind reluate abia în 1922. În 1960, E. și Elena Marinescu<sup>20</sup> au descris o galerie executată atunci (galeria de coastă nr. 2), situată în apropierea vechilor lucrări, care a interceptat și urmărit o mineralizație filoniană de blendă și subordonat de galenă.

Rocile înconjурătoare sunt reprezentate prin șisturi sericito-cloritoase ± cuartoase, șisturi cloritoase-cuartoase, porfiroide riolitice, metatufuri acide și uneori lamprofire.

Din eșantioanele recoltate precum și din descrierile făcute de autori anteriori, rezultă că mineralizația este localizată în șisturi cuartoase-sericitoase, în porfiroide și rar în lamprofire.

Mineralizația este filoniană, aşa cum apare clar din galeria de coastă nr. 2 și este în același timp discordantă față de rocile înconjурătoare (fig. 2).

Alcătuirea mineralologică metaliferă este relativ simplă, constându-se prezența blendei căreia îi sunt mult subordonate galena, pirlita, calcopirita și prustitul. Ganga este reprezentată prin calcit și subordonat prin cuarț. Mineralizația localizată în șisturile cristaline seamănă pînă la identitate cu minereul carbonatic cu cuiburi și filonașe de blendă de la Paltin.

Blendă constituie granule, aggregate, plaje și mici filonașe; este asociată cu ganga de calcit. Acest mineral este uneori diaclazat și brecifiat.

Pirlita este rar idiomorfă și frecvent hipidiomorfă; apare ca granule și aggregate, adesea brecificate și cimentate cu ganga de calcit.

Galena este xenomorfă și apare sub formă de aggregate și filonașe, în asociație cu blendă, în ganga carbonatică și mai rar în cea cuartoasă.

Calcopirita apare sporadic, fie ca incluziuni în blendă, fie la contactul între cuarț și blendă.

Prustitul, mereu alotriomorf, apare sub formă de plaje și mici filonașe asociate numai cu galena.

Caclitul prezintă frecvent mase compacte în care apar cuiburi și plaje de blendă, galenă și pirlă, reprezentând ganga comună a concentrației de la Pîrîul cu Linia. Este de notat faptul, menționat anterior și de Chelarescu (1937), că ganga calcitică este intens clivată; fețele de clivaj sunt frecvent deformate, fenomen întlnit și la cristalele calcitice din filonașele care străbat minereul, fapt ce arată o cristalizare sub stress a întregului minereu, întrucît calcitul este cel mai tînăr față de toate celelalte minerale prezente în acesta.

<sup>20</sup> Op. cit. pct. 6.

Geneza mineralizației de la Pîrîul cu Linia a părut cercetătorilor anteriori ca fiind postmetamorfică, dată fiind prezența blendei și a calcitului și în zona de intersecție a unui filon de lamprofir cu zona mineralizată, considerind-o astfel pe aceasta legată de lamprofire, și situând-o într-o fază hidrotermal-postmetamorfică.

La argumentarea genezei mineralizației de la Pîrîul cu Linia trebuie luate în considerare următoarele fapte :

a) în apropiere, la Paltin și Singeroasa, apare o mineralizație hidrotermală metamorfozată regional, reprezentată frecvent prin umpluturi filoniene carbonatice asociate cu cuiburi de blendă, situație întâlnită și la Pîrîul cu Linia ;

b) sporadicitatea mineralizației în rocile lamprofirice și dependența calitativă a acesteia în funcție de mineralizațiile străbătute de lamprofire ; astfel după cum am arătat (M. Mureșan, Georgeta Mureșan

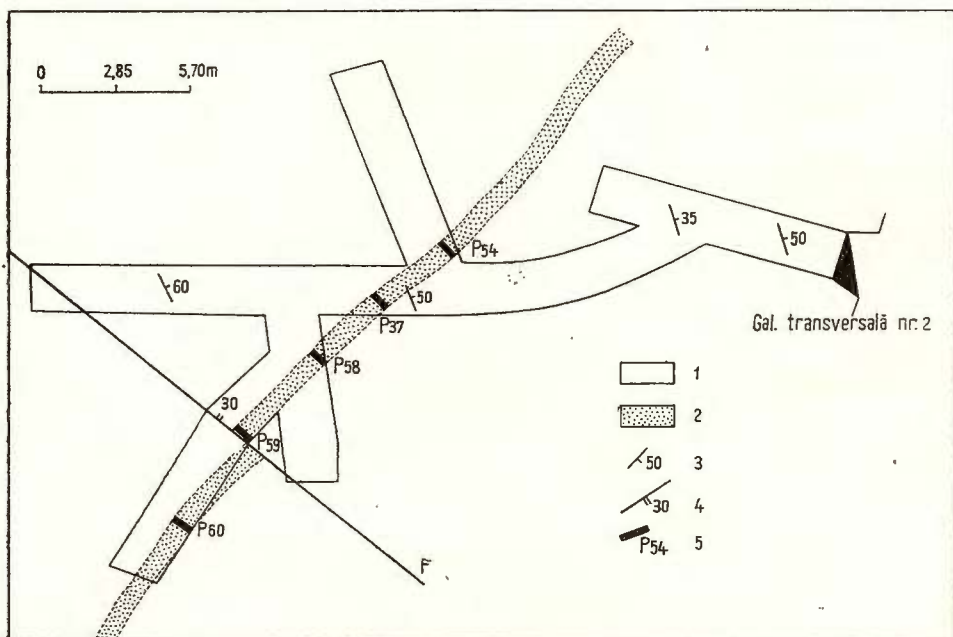


Fig. 2. — Schiță geologică a mineralizației de la Pîrîul cu Linia (după E. și Elena Marinescu — completată)

1, roci terigene (sisturi sericito-cloritoase, sisturi cuarțoase sericitoase ± clorit) și magmatogene acide ; 2, zonă mineralizată (blendă, galenă) ; 3, poziția schistozității ; 4, falie (cu inclinarea medie de 30°) ; 5, locul probei nr. 54, (vezi și tab. 2).

Esquisse géologique de la minéralisation de Pîrîul cu Linia (selon E. et Elena Marinescu — complétée).

1, roches terrigènes (schistes séricito-chloriteux, schistes quartzueux sériciteux ± chlorite) et magmatogènes acides ; 2, zone minéralisée (blende, galène) ; 3, position de la schistosité ; 4 faille (à倾inlaison moyenne de 30°) ; 5, lieu de l'échantillon no. 54, (voir tab. 2).

fide M. Mureșan et al., 1972<sup>21</sup>), la Pîrîul Băii Mici (la vest de Tulgheș), minereul de aici fiind piroxen (de natură vulcanogen-sedimentară) în lamprofirul care-l străbate predominant pirita, iar la Pîrîul cu Linia predominantă blenda și calcitul, ca și în mineralizația localizată în șisturile cristaline, pe care o traversează corpul eruptiv;

c) brecificarea frecventă a piritei, uneori a blendei, deformarea clivajelor calcitului sănătău argumente că concentrația primară din rocile metamorfice a suferit ulterior formării ei, presiuni tectonice.

În concluzie, considerăm că la Pîrîul cu Linia situațiile în care apar urme de mineralizații (puțină blendă și calcit) în roci lamprofirice, se datorează contaminării magmelor din care s-au format aceste roci, în timp ce străbăteau o mineralizație hidrotermală metamorfozată. Săntem deci în prezența unei regenerări postmetamorfice a unei concentrații metalifere metamorfozate de vîrstă cambrian-inferioară.

Înținind seama că rocile lamprofirice sunt nemetamorfozate și că în Carpații Orientali ele străbat formațiunile Carboniferului inferior, metamorfozate regional (seria de Tibău – Iliescu, Krautner, 1975), formațiunea breciilor de Hăghimaș (Permian superior – M. Mureșan, 1970.; Iliescu, Mureșan, 1972 b)<sup>22</sup> precum și sistemul de pînze mezocretacice din Carpații Orientali (găsindu-se atât în seria de Tulgheș, din pînzele de Putna și de Mestecăniș cît și în seria de Brețila-Rărău, din pînza de Rărău – I. Bercea et al., 1971<sup>23</sup>), putem trage concluzia că rocile lamprofirice sunt de vîrstă mezozoică (post-cretacic-inferioară), neputind fi mai noi, întrucât nu prezintă nici o conțință petrologică cu eruptivul nou, din lanțul vulcanic Harghita-Călimani. Deci fenomenele complexe fizico-chimice de regenerare a unor mineralizații vechi (premezozoice) din zona Tulgheș trebuie atribuite unui interval mezozoic.

A. Chelărescu (1937) a prezentat succesiuni de formare ale mineralelor metalifere și de gangă, existente în concentrațiile de tip Paltin. Având în vedere că aceste mineralizații sunt premetamorfice rezultă că, în timpul metamorfismului regional concomitant cu cel al seriei de Tulgheș, recristalizarea minereului a condus la schimbarea raporturilor spațiale dintre mineralele metalice și de gangă, în special în funcție de proprietățile fizice ale acestora; într-adevăr, actualele relații dintre minerale corespund în ansamblu succesiunii minerale „moi” – minerale „dure” (Rămdohr, 1960): pirita, blendă, galenă, prustit, tetraedrit, calco-pirita; notăm existența unor „picături” și inclusiuni de calco-pirita în blendă, sugerînd fie dezamestecuri primare (premetamorfice) fie dezamestecul acestor două minerale în decursul metamorfismului regional. De-

<sup>21</sup> Op. cit. pct. 14.

<sup>22</sup> Observație făcută de noi în masivul Hăghimașului.

<sup>23</sup> Arh. Inst. geol. geof., București.



asemenea semnalăm existența unor mobilizări strict locale ale piritei, sub formă de filonașe care străbat blenda.

În concluzie, actualele relații între minerale nu dă indicații asupra succesiunii inițiale de formare a acestora ci numai asupra comportării lor în decursul metamorfismului regional, rezultând un gen de succesiune idioblastică.

#### B) CARACTERE GEOCHIMICE

Dispunem de 33 analize chimice parțiale, referitoare la mineralizațiile de tip Paltin (tab. 2), analize care redau în toate cazurile conținuturile în Pb și Zn ale acestora și uneori procente de S, Fe, Cu, Ag și Au. În situațiile în care sulful a fost dozat s-a putut calcula fierul normativ, ținând seama că acesta provine practic numai din pirită; în cazul cînd fierul este cunoscut iar sulful nedozat, acesta din urmă a putut fi calculat normativ, știind că el este legat în principal în blendă, galenă și pirită. În cîteva analize la care sulful dozat analitic era puțin sub valoarea sulfului conținut în blenda și galena normativă, am considerat că pirita este absenta și deci procentul de fier este nul; în aceste situații sulful analitic a fost înlocuit cu cantitatea de sulf legată normativ de plumbul și zincul analitice (este cazul analizelor 58M, 59M, 29M, 141H).

Sulful (0,61—29,95%) este cel de al doilea element preponderent în minereu, locul principal revenind zincului. El provine în principal din blendă, galenă și pirită și cu totul subordonat din calcopirită și prustit.

Zincul (0,28—45,23%) reprezintă metalul colorat principal al minereului și provine exclusiv din blendă, fiind prezent în toate probele în care a fost căutat.

Plumbul (de la urme la 30,59%; excepțional 49,12 și 76,70%) apare în toate probele analizate în cantități variabile și în majoritatea cazurilor subordonat zincului; acest element are sursă exclusivă galena.

Fierul (0,00—16,20%) a fost evidențiat în cîteva probe în care apărea pirită alături de alte sulfuri. O parte cu totul neînsemnată a fierului provine din calcopirită, sporadică în minereu.

Cuprul (0,00—0,33%) poate fi considerat aproape ca un element minor în minereu provenind din cantitățile cu totul reduse de calcopirită și tetraedrit care participă la alcătuirea acestuia.

Argintul și arsenul (în cantități de ordinul p.p.m.) reprezintă elemente cu participare extrem de redusă și provin din prustit, arsenul avînd ca sursă și tetraedritul. Numărul mic al probelor nu ne-a permis să observăm care este relația acestor două elemente cu plumbul, respectiv a observat dacă galena și prustitul variază în același sens, sau nu; remarcăm că în probele 1B și 147 H unde conținuturile în plumb sunt excepționale (76,70% și respectiv 49,12%) și conținuturile în argint și respectiv în arsen sunt excepționale (3560—726,2 p.p.m. Ag și 825—168 p.p.m. As).



TABELUL 2

*Date chimice privind mineralizația de tip Paltin*

Proba	Proveniență	S	Fe	Zn	Pb	Cu	As*	Ag*	Au*
23M	Galeria 2(metrul 127,50)-Paltin	8,87	1,23 <sup>n</sup>	14,58	2,05	—	—	—	—
24M	Nișă dreapta (la metrul 127,50 din galeria 2) Paltin	2,23	1,81 <sup>n</sup>	0,28	0,14	—	—	—	—
25M	Nișă dreapta (la metrul 127,50) din galeria 2-Paltin	0,61	0,38 <sup>n</sup>	0,34	u	—	—	—	—
107P	Halda galeriei 2-Paltin	—	—	6,78	0,01	u	4 <sup>n</sup>	16,6	0,00
1V	Galeria 3-Paltin	—	—	18,07	30,59	—	45 <sup>n</sup>	194,0	—
2V	Galeria 3-Paltin	—	—	39,23	2,85	—	36 <sup>n</sup>	154,0	—
3M	Halda galeriei 3-Paltin	16,38	9,19	11,85	0,24	—	—	—	—
141H	Halda galeriei 3-Paltin	20,30 <sup>n</sup>	0,00 <sup>n</sup>	34,30	21,00	0,24	84 <sup>n</sup>	363,2	11,69
1B	Halda galeriei 3-Paltin	—	—	—	76,70	—	825 <sup>n</sup>	3 560	—
1M	Halda galeriei 4-Paltin	29,06 <sup>n</sup>	7,40	38,98	6,38	—	—	—	—
2M	Halda galeriei 5-Paltin	25,18 <sup>n</sup>	10,62	26,45	0,25	—	—	—	—
146H	Galeria 6 (metrul 232)-Paltin	29,95	3,30 <sup>n</sup>	45,23	4,55	0,33	65 <sup>n</sup>	282,0	—
147H	Galeria 6 (metrul 232)-Paltin	19,01	0,98 <sup>n</sup>	19,00	49,12	0,29	168 <sup>n</sup>	726,2	—
148H	Galeria 6 (metrul 232)-Paltin	26,87	1,44 <sup>n</sup>	48,25	0,93	0,13	58 <sup>n</sup>	250,8	—
149H	Galeria 6 (metrul 232)-Paltin	23,66	5,50 <sup>n</sup>	23,17	3,28	0,09	43 <sup>n</sup>	187,0	—
150H	Laterală dreaptă (la metrul 232 din galeria 2), metrul 5,5-Paltin	11,87	5,17 <sup>n</sup>	1,37	0,67	0,01	4 <sup>n</sup>	19,5	—
151H	Laterală dreaptă (la metrul 232 din galeria 2), metrul 9-Paltin	15,24	6,53 <sup>n</sup>	2,05	1,42	0,01	6 <sup>n</sup>	27,5	—
152H	Laterală dreaptă (la metrul 232 din galeria 2), metrul 14,4 Paltin	11,47	4,30 <sup>n</sup>	4,23	1,09	0,04	6 <sup>n</sup>	27,2	—
154H	Laterală dreaptă (la metrul 232 din galeria 2), metrul 14,5-Paltin	12,05	4,58 <sup>n</sup>	4,03	1,67	0,02	11 <sup>n</sup>	49,0	—
153H	Laterală dreaptă (la metrul 232 din galeria 2)-metrul 16-Paltin	16,34	4,52 <sup>n</sup>	13,35	0,69	0,03	7 <sup>n</sup>	31,3	—
155H	Galeria 6 (metrul 245)-Paltin	15,43	6,43 <sup>n</sup>	1,89	4,51	0,02	11 <sup>n</sup>	47,3	—
156H	Galeria 6 (metrul 245,5)-Paltin	24,11	10,59 <sup>n</sup>	2,52	0,89	0,05	11 <sup>n</sup>	49,3	—
1P	Piril Runculești (versant stîng)- la N de Paltin	—	—	2,0	0,01	0,00	—	—	—
2AP	La S de piril Runculești-20 N de Paltin	—	—	2,21	0,24	0,12	—	—	—
54M	Galeria 2-Piril cu Linia	2,21	0,00 <sup>n</sup>	4,23	0,24	u	—	—	—
37M	Galeria 2-Piril cu Linia	—	—	0,73	0,20	u	—	—	—
58M	Galeria 2-Piril cu Linia	1,31	0,00 <sup>n</sup>	2,58	0,32	u	—	—	—
59M	Galeria 2-Piril cu Linia	1,18 <sup>n</sup>	0,00 <sup>n</sup>	2,32	0,25	u	—	—	—



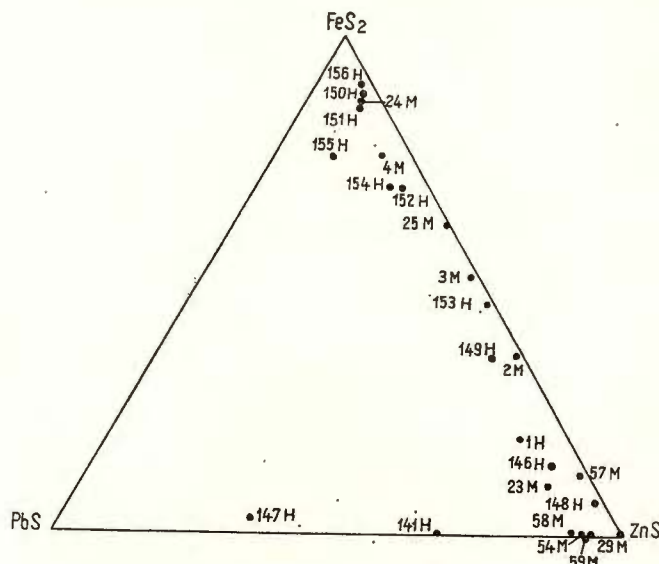
Continuare Tabelul 2

Proba	Proveniență	S	Fe	Zn	Pb	Cu	As *	Ag *	Au *
60M	Galeria 2-Pirful cu Linia	1,82 <sup>n</sup>	0,00 <sup>n</sup>	3,72	u	u	—	—	—
4M	Haldă galerie veche- Pirful cu Linia	21,71 <sup>n</sup>	16,20	5,72	2,26	—	—	—	—
29M	Haldă galerie veche-pî- riul Argintăria (Bărășeu)	1,56 <sup>n</sup>	0,00 <sup>n</sup>	3,12	0,24	—	—	—	—
57M	Puful 6-pîriul Argintăria (Bărășeu)	4,00	0,65 <sup>n</sup>	6,61	0,13	—	—	—	—
2P	Puful 6-pîriul Argintăria (Bărășeu)	—	—	3,81	0,67	—	—	—	—

Analizele notate cu „M” după E. și Elena Marinescu (1960); analizele notate cu „P” după G. și Floarea Popa (1969, 1970); analizele notate cu „V”, după Vierescu (1954); analizele notate cu „H” după I.P.E.G. „Harghita”, analizele notate cu „B” după I. și Elvira Bercia (1954).

u = urme; — = nedeterminat; n = calculat normativ; \* = aurul, arsenul și argintul sunt redate în p.p.m.

Probele 146H – 153H provin din filonul principal interceptat de galeria 6, urmărit apoi direcțional din aceasta. Probele 147H, 148H și 149H au fost recoltate din același loc ca și proba integrală 146H (147H din porțiunea filoniană mai bogată în galenă; 148 H din porțiunea filoniană mai bogată în blendă; 149H din porțiunea mai bogată în pirită).

Fig. 3. — Diagrama  $\text{FeS}_2$  —  $\text{PbS}$  —  $\text{ZnS}$ .Diagramme  $\text{FeS}_2$  —  $\text{PbS}$  —  $\text{ZnS}$ .

TABELUL 3

*Mineralele metalifere normative principale ale mineralizației de tip Paltin*

Proba	FeS <sub>2</sub>	ZnS	PbS	CuFeS <sub>2</sub>	Ag <sub>8</sub> AsS <sub>3</sub>	FeS <sub>2</sub>	ZnS	PbS
						Aduse la sută		
23M	2,64	21,72	2,37	—	—	9,88	81,25	8,87
24M	3,88	0,42	0,16	—	—	86,99	9,42	3,59
25M	0,82	0,51	0,00	—	—	61,65	28,35	0,00
107P	—	10,10	0,01	0,00	0,0025	—	—	—
1V	—	26,92	35,32	—	0,297	—	—	—
2V	—	58,45	3,29	—	0,0235	—	—	—
3M	19,72	17,66	0,28	—	—	52,36	46,90	0,74
141H	0,00	51,26	24,25	0,24	0,0555	0,00	67,29	32,11
1B	—	—	88,59	—	0,5443	—	—	—
1M	15,87	59,57	7,37	—	—	19,16	71,94	8,90
2M	22,80	39,41	0,29	—	—	36,48	63,16	0,46
146H	12,12	67,39	5,25	0,95	0,0431	14,30	79,51	6,19
147H	2,92	28,31	56,72	0,83	0,1110	3,32	32,19	64,49
148H	5,32	71,89	1,07	0,38	0,0383	6,80	91,83	1,37
149H	21,78	34,52	3,79	0,26	0,0286	36,24	57,45	6,31
150H	20,75	2,04	0,77	0,03	0,0030	88,07	8,66	3,27
151H	26,22	3,05	1,64	0,03	0,0042	84,83	8,87	5,30
152H	17,14	6,30	1,26	0,12	0,0042	69,39	25,51	5,10
154H	18,32	6,00	1,93	0,06	0,0075	69,79	22,86	7,35
153H	18,04	19,89	0,80	0,09	0,0048	46,58	51,36	2,06
155H	25,77	2,82	5,21	0,06	0,0072	76,25	8,34	15,41
156H	42,42	3,75	1,03	0,14	0,0075	89,88	7,94	2,18
1P	—	2,98	0,01	0,00	—	—	—	—
2AP	—	3,29	0,28	0,12	—	—	—	—
54M	0,00	6,30	0,28	0,00	—	0,00	94,64	5,36
37M	—	1,09	0,23	0,00	—	—	—	—
58M	0,00	3,84	0,37	0,00	—	0,00	91,21	8,79
59M	0,00	3,45	0,29	0,00	—	0,00	92,25	7,75
60M	0,00	5,54	0,00	0,00	—	0,00	100,00	0,00
4M	34,76	8,52	2,61	—	—	75,74	18,57	5,69
29M	0,00	4,65	0,28	—	—	0,00	94,32	5,68
57M	1,39	9,85	0,15	—	—	12,20	86,48	1,32
2P	—	5,68	0,77	—	—	—	—	—

— = mineralul nu a putut fi calculat normativ.

Pornind de la compoziția mineralologică modală a minereului de tip Paltin, am procedat la calculul normativ al principalelor minerale metalifere ale acestuia (tab. 3). Rezultă că (ca și din analiza macro- și microscopică a minereului) blenda, galena și pirita, dar în special blenda, sunt predominante în minereu.

Diagrama pirită-blendă-galenă (fig. 3) reflectă, pentru cazurile luate în considerare, tendința de predominare a blendei și piritei față de galenă, fapt care nu poate fi generalizat cu certitudine, luând în considerare



numărul relativ mic de probe analizate chimic și faptul că, sorturile de minereu în care galena este predominantă au fost analizate chimic mai puțin frecvent.

Diagrama rest (în principal pirită și gangă)-gallenă-blendă (fig. 4) relievează bogăția în blendă și uneori în galenă a unor sorturi de minereuri și conținuturile scăzute în aceste două minerale metalifere în altele.

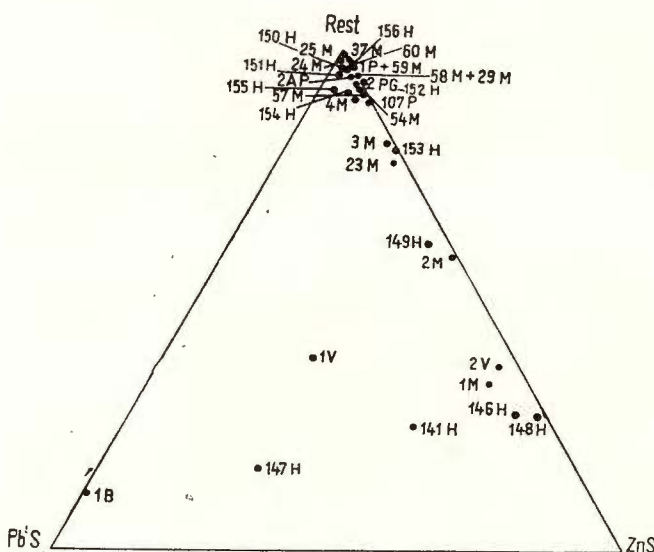


Fig. 4. — Diagramme reste—PbS—ZnS.  
Diagrame reste—PbS—ZnS.

### C) ÎNCADRARE METALOGENETICĂ

Concentrațiile hidrotermale de tip Paltin, se localizează, după cum s-a atâtat, în multe cazuri în corpuri de roci porfiroide care reprezintă produse acide (riolite) ale magmatismului de geosinclinal, sincron formării terigene și tufogene ale seriei de Tulgheș; în alte cazuri, mineralizațiile de tip Paltin se găsesc și în afara porfiroidelor, dar în preajma acestora. Aceste situații, corelate cu faptul că porfiroidele, în zonele în care apar mineralizațiile, prezintă transformări endometamorfice și hidrotermale propriu-zise, ne conduc la ideea unei filiații genetice între magmatismul care a dat naștere produselor acide din seria de Tulgheș și concentrațiile metalifere de tip Paltin. Întrevedem această filiație genetică în felul următor :

a) formarea corporilor acide urmată de autometamorfismul acestora (în special albitezarea feldspatului potasic);

b) ascensiunea unor soluții hidrotermale pe aceleași căi utilizate și de magmele acide;

c) depunerea sarcinei minerale a acestor soluții pe fisurile rocilor acide sau în complexul vulcanogen-sedimentar din preajma acestora. Comitet cu punerea în loc a mineralizației a avut loc și hidrotermalizarea rocilor gazdă, în jurul umpluturilor filoniene; transformările de acest gen au o extindere mult mai redusă în comparație cu cele de tip autometamorfic, care depășesc în suprafață cu mult aria cu mineralizații (în Carpații Orientali, albitezările premetamorfice ale feldspațiilor potasici — de exemplu — se întlnesc în multe corperi de porfiroide care nu găzduiesc concentrații metalifere).

În consecință, mineralizațiile de tip Paltin aparțin „provinciei concentrărilor asociate magmatismului acid cambrian inferior din seria de Tulgheș”. Aceste acumulări metalifere sunt specifice regiunii Tulgheșului, conturind astfel „districtul Tulgheș” cu extindere limitată la cîțiva zeci de km<sup>2</sup>, începînd de la sud de valea Bistricioara, pînă în valea Seaca și valea Muncelului (pl. V).

În cadrul acestui district se conturează, „cîmpul Sîngeroasa” care înglobează concentrăriile de pe Pîrîul Sîngeroasa, Pîrîul Făgetului și pîrîul Huian. De asemenea, tot în districtul menționat se încadrează miciile zăcăminte Paltin, Pîrîul cu Linia și Pîrîul Argintăria, precum și ivirile de la nord de Paltin (valea Runculești); toate acestea permit conturarea „cîmpului metalogenetic Paltin”.

În cadrul districtului Tulgheș au fost incluse și ivirile izolate de la Pîrîul Borvizului, valea Bistricioara, Pîrîul Alunului, Pîrîul Păvăloanei și din Valea Muncelului.

Din analiza distribuției și frecvenței mineralelor metalifere, rezultă că, în districtul Tulgheș, există o tendință de zonalitate: în partea sudică predomină galena (Sîngeroasa), în partea mediană, blenda (Pîrîul cu Linia, Paltin), iar în extremitatea nord-vestică, pîrita (Pîrîul Muncelului); acest ultim mineral începe să apară, uneori în cantități importante, începînd din partea mediană a districtului (vezi descrierea zăcămîntului Paltin).

Răspîndirea relativ restrînsă a concentrărilor plumbo-zincifere de tip Paltin și frecvența ridicată a dyke-urilor și a sill-urilor de riolite în regiunea Tulgheșului ne conduc la presupunerea că, în această zonă, în timpul formării părților superioare ale seriei de Tulgheș, se afla un centru vulcanic și metalogenetic important, fapt favorizat probabil, printre altele, de existența căilor de acces atît pentru magme cît și pentru soluțiile hidrotermale consanguine și de eventuala apropiere de suprafață a rezervorului magmatic.

Existența în zonă a unui centru magmatic și metalogenetic este susținută și de numeroasele iviri metalifere de natură vulcanogen-sedimentară dispuse după direcția NW-SE, dintre care cele mai cunoscute sunt cele de la Hărălgia, pîriul Azod (Pîriul Băii Mici) și Șumuleu (pl. V).

Tinind seama că dyke-urile și sill-urile de roci acide, cărora li se asociază mineralizațiile de tip Paltin, sunt localizate în formațiunile complexului superior ( $Tg_3$ ) al seriei de Tulgheș, pe care le străbat, putem trage concluzia că aceste concentrații metalifere sunt printre cele mai noi în seria menționată. Ele sunt mai recente în comparație cu principalele zăcăminte vulcanogen-sedimentare localizate în același complex (Bălan, Hărălgia, Leșu Ursului, Fundu Moldovei s.a. — Krăutner, 1965; Krăutner et al., 1974<sup>24</sup>, 1975<sup>25</sup>; Krăutner, Popa, 1973; M. și Georgean, 1972, 1975<sup>26</sup>), intrucât minereurile de tip Paltin se localizează discordant în formațiuni ale seriei de Tulgheș, superioare stratigrafic celor în care apar acumulările vulcanogen-sedimentare menționate. Astfel, datele noastre ne arată că, în zona Hărălgia, dyke-urile de roci acide, aflate în prelungirea celor cu care sunt asociate mineralizațiile din districtul Tulgheș, străbat nivelele complexului  $Tg_3$ , în care se situează concentrații de sulfuri singeneticе paralelizabile ca timp de formare cu cele din orizonturile Bălan și Fundu Moldovei.

Concentrațiile analizate s-au format în timpul fazei metalogenetice „Paltin”, subsecventă fazei „Fundu Moldovei”, ultimei revenind mineralizațiile vulcanogen-sedimentare de la Hărălgia (pl. V—M. și Georgean, 1976).

Dacă se acceptă că cel puțin o parte din zăcăminte vulcanogen-sedimentare de sulfuri din orizonturile menționate se leagă genetic de același magmatism acid care este răspunzător de formarea mineralizațiilor hidrotermale de tip Paltin, trebuie să admitem în această situație că, sarcina minerală a soluțiilor hidrotermale, care au dat naștere ambelor tipuri de zăcăminte, a variat în timp de la concentrații cuprifere spre concentrații plumbo-zincifere.

În literatura geologică referitoare la zona cristalino-mezozoică a Carpaților Orientali, unele concentrații metalifere, localizate în formațiunile atribuite actualmente seriei de Tulgheș, au fost considerate ca fiind hidrotermale metamorfozate: mineralizațiile de pe pîriul Cisla (Savu, Vasilescu, 1962) și cele de la Leșu Ursului (Petrulin et al., 1966 a, 1966 b; Petrulin, Steclaci, 1967). Cercetările recente au arătat că, în realitate, atit mineralizațiile de la Cisla (Dealul Bucătii) cît și cele de la Leșu Ursului sunt de natură vulcanogen-sedimentară (Krăutner, 1965; Krăutner et al., 1975<sup>27</sup>; Zineenco, 1971). În consecință, în lucrarea de față se aduc pentru prima dată argumente îndubitate pentru existența unor mineralizații de sulfuri hidrotermale metamorfozate, asociate formațiunilor seriei de Tulgheș.

<sup>24</sup>, <sup>25</sup>, <sup>26</sup> Arh. Inst. geol. geof., București.

<sup>27</sup> Op. cit. pct. 25.

## BIBLIOGRAFIE

- A tanasiu I. (1929) Cercetări geologice în imprejurimile Tulgheșului. *An. Inst. Geol. Rom.* XIII, p. 165–508, București.
- C helăres cu A. (1937) Gisements métallifères de Tulgheş. *Ann. Scient. Univ. Jassy*, XXIII, II, 2, p. 265–393, Iași.
- I liescu Violeta, Kräutner H. (1975) Contribuții la cunoașterea conținutului microfloristic și a vîrstei formațiunilor metamorfice din munții Rodnei și munții Bistriței (Carpații Orientali). *D.S. Inst. geol. geof.* LXI/5 (1974), p. 11–25, București.
- M ureșan M. (1972 a) Asupra prezenței Cambrianului inferior în Carpații Orientali. Seria epimetamorfică de Tulgheş. *D.S. Inst. geol.* LVIII/4, p. 97–110, București.
  - M ureșan M. (1972 b) Asupra prezenței unor asociații microfloristice în formațiunea paleozoică a brețiilor de Hâghiuș-implicații stratigrafice și tectonice privind zona cristalino-mezozoică a Carpaților Orientali. *D.S. Inst. geol.* LVIII/4 (1971), p. 41–48, București.
- K räutner H. (1963) Zăcămîntul de sulfuri de la Mîncelul Mic (Poiana Ruscă). *Asoc. Geol. Carp.-Balc. Congr.* V, 1961, II, p. 97–114, București.
- (1965) Considerații genetice asupra zăcămintelor de sulfuri complexe din cristalinul Carpaților Orientali. *Acad. R.S.R. Stud. cerc. geol., geof., geogr., Ser. geol.* X, 1, p. 195–228, București.
  - (1970) Die hercynische Geosynclinalerzbildung in den rumänischen Karpaten und ihre Beziehungen zu der hercynischen Metallogenese Mitteleuropas. *Mineralium Deposita* 5, 4, 323–344, Springer Verl. Berlin-Heidelberg-New York.
  - P opa G. (1973) Succesiunea litostratigrafică și tectonica Cambrianului inferior epimetamorfic (seria de Tulgheş) din regiunea Bălan-Carpații Orientali. *D.S. Inst. geol.* LIX/1 (1972), p. 251–278, București.
- M ureșan G eorg etă, M ureșan M. (1972) Asupra prezenței conglomeratelor metamorfozate în seria de Tulgheş (zona cristalino-mezozoică a Carpaților Orientali). *D.S. Inst. geol.* LVIII (1971), p. 243–256, București.
- P elitz S. (1968) Notă explicativă la harta genetica a substanțelor minerale utile - foia Toplija. Sc. 1 : 200.000 *Inst. Geol.* București.
- M ureșan M. (1967) Structura tectonică a părții de sud a zonei cristalino-mezozoice din Carpații Orientali. *Acad. R.S.R. Stud. cerc. geol., geof., geogr., Ser. geol.* XII, 1, 243–248, București.
- (1970) Asupra prezenței Paleozoicului superior nemetamorfozat, în facies continental, în zona cristalino-mezozoică a Carpaților Orientali. *D.S. Inst. geol.* LVII/4 (1968–1969), p. 5–18, București.
  - (1976) O nouă ipoteză privind pinzele bucovinice din partea sudică a zonei cristalino-mezozoice a Carpaților Orientali. *D.S. Inst. geol. geof.* LXII/5 (1976), 77–93 București.
  - M ureșan G eorg etă (1977) Mineralizațiile de sulfuri vulcanogen-sedimentare metamorfozate de la Hărălgia în contextul litostratigrafic, magmatogen și tectonic al seriei epimetamorfice de Tulgheş-Cambrian inferior (Carpații Orientali). *Inst. geol. geof. Stud. tehn. econ. ser. A*, 12, p. 77–121 București.
- P etrulin N., Steclaci L ivia, Sandu D., O roveanu F lorică (1966b) Considerații geochemice asupra zăcămintului polimetalic de la Leșul Ursului, Carpații Orientali. *Acad. R.S.R. Stud. cerc. geol., geof., geogr., Ser. geol.* 11, 2, p. 311–330, București.
- Steclaci L ivia, Sandu D., O roveanu F lorică (1966 a) Studiul mineralologic și genetic al zăcămintului polimetalic de la Leșul Ursului. *Acad. R.S.R. Stud. cerc. geol. geof., geogr., Ser. geol.* 11, 1, p. 91–104, București.
  - Steclaci L ivia (1967) Contribuții geochemice la geneza zăcămin tulni de la, Leșul Ursului. *Acad. R.S.R. Stud. cerc. geol., geof., geogr., Ser. geol.*, 12, 1, p. 3–14 București.
- R amdohr P. (1980) Die Erzmineraleien und ihre Verwachsungen. Akad. -Verl. Berlin.
- S avu H., V asilescu A. (1962) Contribuții la cunoașterea rocilor porfiroide și a zăcămintelor de sulfuri asociate șisturilor cristaline din regiunea Baia Borșa (Maramureș). *D.S. Com. Geol.* XLVI, p. 53–73, București.
- V ijd ea E leonora (1968) Contribuții privind datarea unor galene din R.S.R. pe baza determinării compozițiilor izotopice. *D.S. Com. Stat. Geol.* LIII/3 (1966–1967), p. 397–410, București.



Zincenco D. (1971) Stratigrafia seriei de Tulgheş din bazinul văii Cisla şi Vaser (versantul stîng)-Maramureş. Acad. R.S.R. *Stud. cerc. geol. geof., geogr.*, Ser. geol. 16, 2, p. 387—396, Bucureşti.

**CONCENTRATIONS HYDROTHERMALES PLUMBO-ZINCIFÈRES  
MÉTAMORPHISÉES DE LA ZONE DE PALTIN-SINGEROASA,  
UN NOUVEAU TYPE GÉNÉTIQUE DE MINÉRALISATION  
ASSOCIÉE AUX FORMATIONS ÉPIMÉTAMORPHIQUES  
CAMBRIENNES DE LA SÉRIE DE TULGHEŞ  
(CARPATES ORIENTALES)**

**(Résumé)**

Dans les formations épimétamorphiques cambriennes inférieures de la série de Tulgheş dans le voisinage de la localité qui tient le même nom que la série, on connaît depuis longtemps des concentrations plumbo-zincifères, qui ont constitué l'objet de petites exploitations avant 1900 et sporadiquement entre les deux guerres mondiales. Elles apparaissent sur une aire relativement réduite la plupart se situant entre la vallée de Seaca (affluent de gauche de la vallée de Bistricioara) et la vallée de Bistricioara (pl. V). Les plus importantes se trouvent sur le ruisseau de Paltin, à Singeroasa et sur le ruisseau de Pirlui cu Linia.

La caractéristique minéralogique de ces minéralisations c'est la prédominance de la galène et de la blende envers les autres sulfures du type de la pyrite et de la chalcopyrite. Elles sont localisées soit en dykes de roches acides métamorphisées-porphyrôïdes (Paltin, Singeroasa, ruisseau de Păvăloanei) soit en roches terrigènes et tuffogènes acides métamorphisées aux environs de tels dykes (ruisseau du Borviz, ruisseau d'Argintăria, ruisseau de Pirlui cu Linia).

Le minéral est compact, à texture généralement massive, quand la blende prédomine ou schisteuse, quand la galène apparaît en grandes quantités; quelquesfois, cette schistosité est micropliissée, en trahissant des déformations plicatives synmétamorphiques.

Ces minéralisations ont le même âge que la série de Tulgheş, se localisant dans ses formations et étant métamorphisées avec ces formations au cours des mouvements baïka-liens. Un argument révélateur en ce sens, se trouve à Singeroasa, où les déterminaisons isotopiques ( $Pb/Pb$ ), exécutées sur le minéral galénifère par Eleonora Vijdea et S. Anasatașe (1971; op. cit. point 3) ont démontré un âge moyenne de 590 millions d'années (tableau 1) qui correspond au Cambrien inférieur, s'accordant avec les données myo-spores, attestant ainsi l'âge de la série de Tulgheş (Viorel Iliescu, M. Mureşan, 1972 a).

Puisque dans les Carpates Orientales on ne connaît des accumulations hydrothermales plumbo-zincifères d'âge cambrien inférieur que dans la région de Tulgheş, elles peuvent être considérées comme spécifiques<sup>1</sup>.

Du fait que les formations carbonifères inférieures de la partie nord-ouest du masif de Poiana Rusca, sont caractérisées par une minéralisation plumbo-zincifère filonienne métamorphisée, liée indubitablement aux porphyroïdes rhyolithiques (Kräutner, 1963), on peut

<sup>1</sup> Dans la littérature géologique concernant la zone cristallino-mésozoïque des Carpates Orientales, quelques concentrations métallifères, localisées dans les formations attribuées maintenant à la série de Tulgheş, ont été considérées comme hydrothermales métamorphisées : minéralisations de Leşu Ursului (N. Petruian et al., 1966 a, 1966 b; Petruian Livia Steclaci, 1937). Les recherches récentes ont révélé qu'en réalité, tant les minéralisations de Cislea (Dealul Bucătii) que celles de Leşu Ursului sont de nature volcanogène-sédimentaire (H. Kräutner, 1965; H. Kräutner et al., 1975, op. cit., point 25; D. Zincenco, 1971). Par conséquent, le présent ouvrage apporte des arguments pour la première fois en faveur de l'existence de certaines minéralisations de sulfures hydrothermales métamorphisées.

conclure que, pendant des époques différentes, les magmatismes acides étérochrones, mais ayant des caractères pétrologiques similaires, ont été accompagnés certainement d'une métallogenèse plumbo-zincifère, concrétisée par des concentrations généralement filonniennes de blende et de galène, localisées souvent en dykes de roches acides.

Tel qu'on a adopté des noms devenus classiques pour certains types faciaux de gisements ferrifères volcanogène-sédimentaires (par exemple, gisements de type Lahn-Dill, ou gisements de type Ghelar — H. Krăutner, 1970), nous croyons qu'on peut adopté une dénomination aussi pour ce type d'accumulations hydrothermales de galène et de blende, liées au magmatisme acide d'eugéosynclinal. La dénomination de „concentrations plumbo-zincifères de type yaltin” serait ainsi la plus indiquée pour désigner une telle catégorie d'accumulations, parce que le gisement de Paltin est le plus connu et le plus important dans la région.

#### A) Caractères géologiques et minéralogiques

Nous exposerons dans ce chapitre les principaux caractères géologiques et minéralogiques des concentrations plumbo-zincifères hydrothermales métamorphysées les plus importantes, rencontrées dans le voisinage de Tulgheș : les minéralisations métamorphisées de Paltin, de Singeroasa et de Pirlui cu Linia ; celles du ruisseau du Borviz, de la vallée de Bistricioara, du ruisseau de l'Alm, du ruisseau de Păvaloana, du ruisseau d'Argintarie, du ruisseau de Runculeț, du ruisseau de Muncel (pl. V) représentent des affleurements d'une importance mineure.

**1. Concentrations de Paltin.** Vers la partie supérieure du ruisseau de Paltin, affluent de gauche de la vallée de Seaca, on observe les traces des anciens travaux miniers, dont quelques-uns remontent à 1900. Actuellement, I.P.E.G. „Harghita” est en train d'exploiter les minéralisations interceptées par la galerie no. 6 (G. Jakab, information verbale). Une description minéralogique détaillée des concentrations de Paltin a été faite pour la première fois par A. Chelarescu (1937) qui attribue à la minéralisation une genèse hydrothermale post-métamorphique, opinion reprise et acceptée par la plupart des chercheurs.

Nos recherches ont démontré que, dans la zone des travaux miniers susmentionnés affleure un dyke de porphyroïdes ryolithiques, où est localisée la minéralisation plumbo-zincifère sous forme de filons, nids et impregnations.

Le gisement de Paltin est représenté par un filon principal (filon de „Paltin”) ayant de petites ramifications, orienté vers NW-SE, à倾inacion de 50—60° vers NE ; ces travaux miniers ont rencontré aussi de petits filons, nids et impregnations (par ex., les galeries no. 2 et 6, fig. 1).

En consultant les diverses études (Chelarescu, 1937, 1953 ; Savu, Dlujenewski, 1954 ; I. et Elvira Bercia, 1954 ; E. et Elena Marinescu, 1960) concernant la description des travaux miniers de la zone, nous avons conclu (op. cit., point 14) que tout près de la surface, ce filon traverse la vallée du Paltin, en aval de l'entrée des galeries no. 4 et 5 et dans le voisinage de l'ancien puits situé de droite de la vallée, plus exactement tout près du tournant de celle-ci. Vers NW, le filon principal est probablement affecté d'une faille, puisqu'il n'a pas été intercepté dans la galerie no. 2 (c'est-à-dire approximativement en face du corps de lamprophyre du côté de l'entrée de la galerie). Il est possible que le filon de pyrite à quelque blende et galène (épais de 60 cm et orienté N 35°W/70°NE), intercepté dans la galerie no. 1 et dans le puits des environs de celle-ci, représente le prolongement, vers NW, de la faille supposée (dans la zone du lamprophyre traversé par la galerie no. 2), du filon de Paltin. D'autre part, dans la galerie no. 4 (prise en 1953 par I.P.E.G. — équipe no. 6 dirigée par Vierescu) on a constaté une éfilation vers SE du filon (riche en galène et blende) ayant des épaisseurs de 0,7—1 m (mentionnées également par A. Chelarescu 1937) à au moins 10 cm. Il en résulte que tout près de la surface, le filon de „Paltin” ne dépasse pas 80—100 m de longueur et qu'en général ses épaisseurs varient entre quelques centimètres et un mètre ; il en résulterait encore que, sur la direction de ce filon, a lieu une variation minéralogique d'un minéral riche en blende et galène (dans la partie centrale et au SE du filon) à un minéral prédominant pyriteux (vers NW du filon).

Récemment, la minéralisation de Paltin a été interceptée (à un niveau inférieur de la galerie no. 2) par la galerie no. 6, exécutée par I.P.E.G. „Harghita” (G. Jakab, information orale). Ainsi, cette galerie a rencontré, au mètre 232, un filon à galène et blende (épais d'environ 40 cm), suivi ensuite directionnellement vers SE et NW, le long de quelques dizai-



nes de mètres ; le corps minéralisé est localisé seulement dans les porphyroïdes, et orienté vers NW-SE à inclinaison de 50–60° vers NE. Selon la manière de se corrérer avec la situation existante dans les travaux miniers, situés à des niveaux supérieurs (galeries no. 1, 2, 4 et d'autres) nous croyons que le corps filonnien rencontré dans la galerie no. 6 (au mètre 232) est en réalité le filon „Paltin”. A partir du mètre 245, la galerie no. 6 a poursuivi un autre filon à blende et galène, qui ayant une inclinaison de 10–15° vers NE, représente probablement une ramification de toit du filon Paltin, avec lequel s'unirait au-dessus du niveau de la galerie no. 6.

La galerie no. 2 et les fossés, faits aux indications des géologues G. et Floarea Popa (op. cit., point 9) révèlent que la minéralisation de Patin est accompagnée vers NNE et à une certaine distance d'une zone à dissémination de pyrite et subordonné de blende et galène, dispersée en ensemble suivant la direction WNW-ESE et développé surtout au nord du dyke de porphyroïdes.

Le minéral de Paltin est constitué en général de blende et galène et subordonné de pyrite chalcopyrite, tétraédrite et proustite, associés au calcite et quartz ainsi qu'aux minéraux qui proviennent des prophyroïdes environnantes (quartz, feldspath et séricite).

Sur le terril et dans la galerie no. 6, nous avons pu observé un minéral formé soit seulement de galène, soit seulement de blende, quelquefois de blende et gallène ± pyrite aussi bien que de blende et de gangue carbonatée en grande, quantité ; dans certaines situations, la pyrite présente une zone d'enrichissement, en imprégnant le caractère pyriteux à une partie de la minéralisation (rappelons que dans la galerie no. 1 a été intercepté un filon de pyrite à blende et galène en petite quantité — épais de 60 cm — qui pourrait représenter la terminaison NW du filon Paltin).

A. Chelarescu (1937) fait une description des associations et des types de minéraux qui correspondent en ensemble à ceux observés par nous :

a) minéral formé prédominant de galène, associée à la blende tétraédrite et proustite (en quantités réduites), et sporadiquement, chalcopyrite, pyrite, quartz et carbonate ;

b) minéral formé prédominant de blende et subordonné de pyrite, galène, carbonates, quartz et feldspaths ;

c) minéral constitué prédominant de pyrite associée au quartz et cimentée de blende, galène ou chalcopyrite ;

d) minéral où prédomine la gangue carbonatée (surtout calcitique) où apparaissent des nids irréguliers et des plages de blende, associée à la pyrite, aux agrégats de galène.

La galène constitue fréquemment des zones compactes et agrégats granulaires ainsi que de plages et de filons. Elle est associée au tétraédrite et au proustite qui la traverse. Ce minéral présente des laminations et souvent des déformations des clivages. Dans les zones riches en galène, on peut observer la texture schisteuse du minéral, quelquefois microplissée (pl. 2, fig. 2).

La blende se présente sous forme de masses compactes, agrégats et nids à contours irréguliers. Le minéral est traversé par de nombreuses fissures à travers desquelles se sont infiltrés les carbonates, le quartz, la galène et quelquefois la pyrite.

La pyrite, sous deux formes principales : agrégats granulaires et individus hypidiomorphes et idiomorphes associés au quartz, est fréquemment cassée et cimentée de blende et galène. Une autre forme de présentation sous laquelle apparaît la pyrite est celle de petits filons et de plages qui traversent la blende.

La chalcopyrite, à contours toujours irréguliers, se trouve englobée souvent en blende sous forme de granules, baguettes ou gouttes ; souvent la chalcopyrite traverse le tétraédrite et le proustite sous forme de petits filons.

Le tétraédrite, se présente comme des plages et des petits filons, et est fréquemment associé à la galène.

Le proustite apparaît comme des petits filons en galène, parfois traversé de chalcopyrite.

Le calcite (auquel s'associe même la dolomie) est le principal minéral de gangue, étant présent (en diverses proportions) dans tous les types de minéral il forme quelquefois des masses compactes, à aspect marmoréen, où apparaissent des sulfures, surtout la blende. Au microscope, le calcite apparaît avec une structure mozaïquée des zones carbonatées et un clivage intense suivent deux directions des individus de calcite (qui forment ces zones). Les clivages de ce minéral sont fréquemment déformés, à la suite des pressions. Ajoutons qu'il y a une

nouvelle génération de calcite plus récente mais qui a été également soumis à des déformations tectoniques.

Le quartz, bien que du point de vue minéralogique soit présent presque dans tous les échantillons étudiés, est subordonné au calcite. Il occupe de préférence les zones enrichies en pyrite. Il tient souvent une extinction ondulatoire.

De l'étude sur les roches environnantes à la minéralisation, il résulte qu'autour de celle-ci ont eu lieu des transformations hydrothermales synchrones avec la minéralisation, concrétisées surtout par des carbonatations, silifications et pyritisations des porphyroïdes, des métatufs acides et des roches terrigènes, des environs des corps de minérai.

La genèse du gisement de Paltin est hydrothermale, conclusion qui réside sur la forme du gisement de la minéralisation, les relations de discordance entre ce gisement et les roches environnantes, le fait que la plupart des concentrations sont localisées dans un dyke de métarhyolites (ce qui exclut l'accumulation par voie volcanogène-sédimentaire des minéraux métallifères) et sur la base des transformations hydrothermales des roches environnantes au gisement.

La métamorphose régionale ultérieure du minérai produite en même temps que les autres formations de la série de Tulghes, apparaît évidente grâce à la schistosité du minérai (phénomène fréquent aux espèces riches en galène), au microplissement de celui-ci, à l'absence de la géode en minérai, aux déformations subies par le calcite et le quartz et à la ressemblance entre le minérai de Paltin et celui de Singeroasa. Ce minérai (de Singeroasa) d'âge cambrien inférieur (données isotopiques — Eleonora Vijdea, S. Anastase, op cit., point 3) dénote qu'il est synchrone à la série de Tulghes où apparaît la minéralisation, série qui a été métamorphosée régional à la fin du Cambrien inférieur (Ilieșcu, Mureșan, 1972 a; Kräutner, Popa 1973).

**2. Concentrations de Singeroasa.** Tout près de la localité de Singeroasa (aujourd'hui le village de Valea Frumoasă), dans la zone du versant gauche de la vallée de Bistricioara, on peut observer encore les traces des anciens travaux miniers, en grande partie complètement écroulés, qui ont poursuivi les minéralisations de galène argentifère; elles sont situées le long du ruisseau de Singeroasa, dans le versant gauche de la vallée de Bistricioara (en aval du confluent du ruisseau de Singeroasa), et dans Piatra lui Constantin (le versant gauche du ruisseau de Făget) et le long du ruisseau de Huian (petit affluent de gauche de la vallée de Bistricioara)

Du point de vue géologique, les concentrations métallifères sont localisées dans un dyke de porphyroïdes rhyolitiques, du type de ceux rencontrés à Paltin.

Au-dessous de Piatra lui Constantin, à la base de la carrière ultérieurement faite par les gens du pays dans le même dyke de porphyroïdes rhyolitiques rencontré sur la vallée de Singeroasa, on observe les traces des anciens travaux miniers (galerie?) orientée vers E-W et situé au contact d'un filon de quartz (au nord de ces travaux) avec une zone de remplissage filonnien prédominant calcitique (partiellement limonitisée), à structure brécheuse, à orientation N80E, qui peut être poursuivi sur 10 m de longueur (à épaisseurs variables depuis 0,5 à 1 m); on peut y observer la discordance entre la zone minéralisée et la schistosité métamorphique du porphyroïde similaire à celle de Galeria lui Mihai. Le remplissage filonnien susmentionné est constitué en majorité de fragments anguleuse de calcite, associés à eu de quartz et de pyrite. Le quartz tient des extinctions ondulatoires, le calcite présente des clivages fréquemment déformés; tout l'ensemble est fortement cimenté avec du calcite (à son tour déformé). Ces caractères, et le fait qu'à la base du versant, le long du petit ruisseau (dénommé ruisseau de Făget) qui coule au-dessus de la carrière mentionnée, on a trouvé des fragments de minérai de galène à texture schisteuse, nous autorisent à considérer que ce remplissage filonnien est métamorphosé et qu'il accompagnait la minéralisation; comme nous avons déjà démontré, dans la minéralisation métamorphosée, une partie de la gangue du minérai est représentée par le quartz.

L'association des minéraux métallifères, des concentrations connues dans la zone de Singeroasa présente une constitution relativement simple, de galène, blende, tétraédrine et proustite associés à calcite et quartz.

La galène, qui prédomine dans le minérai, forme des agrégats, filonnets et masses compactes, clivés intensément et à schistosités évidentes. Elle traverse les autres minéraux métallifères, à l'exception du tétraédrine qui tend la remplacer. La galène s'associe bien plus avec la gangue quartzuse.

La blende, subordonnée à la galène, apparaît sous forme de masses compactes et d'aggregats. Elle est souvent associée et traversée par la galène et le tétraédrite. Quand la blende s'associe surtout au calcite, elle prédomine sur la galène.

La pyrite est idiomorphe et hypidiomorphe, constituant des agrégats ou même des masses compactes, associées en spécial au quartz. La pyrite apparaît également disséminée autour des remplissages compacts filonniens, en suggérant l'existence des faibles pyritisations pré métamorphiques des roches environnantes. La pyrite est cimentée et traversée par tous les minéraux métallifères, localisés dans de nombreuses fissures qui la traversent.

Le tétraédrite, qui apparaît en minéral sporadique, constitue des filonnetts et des plages qui remplace partiellement la galène.

Le proustite est associé à la galène, traversée sous forme de filonnetts.

Le quartz, à l'état des granules et des agrégats, présente une extinction ondulatoire, à la suite des pressions durant le métamorphisme régional. On observe parfois des filonnetts de quartz de nature hydrothermale-métamorphique qui traverse le minéral.

Le calcite constitue des nids et des filonnetts qui traversent le minéral et rarement des masses compactes ; nous avons démontré antérieurement que ce minéral présente de nombreux clivages souvent déformés.

Le séricite, sporadique en minéral, est associé d'habitude à la pyrite et provient probablement de la récristallisation métamorphique d'un matériel argileux, qui provient de l'altération hydrothermale (contemporaine à la minéralisation) des rhyolites hôtes, transformées aujourd'hui en porphyroïdes.

La période de formation de la minéralisation de Singeroasa est connue grâce aux déterminations isotopiques Pb/Pb, effectuées par Eleonora Vîjdea, S. Anastase (op. cit., point 3) sur deux échantillons de galène, recueillis du ruisseau de Făget (Singeroasa). Les résultats obtenus par la méthode Holmes-Houtermans (tableau 1) indiquent des âges de 570, respectivement de 610 millions d'années (en moyenne 590 millions d'années), ce qui confirme à la concentration hydrothermale en question l'âge cambrien inférieur ; durant les mouvements baikaliens de la fin du Cambrien inférieur (Ilieșcu, Mureșan, 1972; Krăutner, Popa, 1973), tant les formations de la série de Tulgheș que les accumulations filonniennes plumbo-zincifères ont subi le métamorphisme régional, fait observable aux aspects géologiques, texturaux, structuraux et minéralogiques de la minéralisation décrite. Les âges isotopiques mentionnés coïncident en général à ceux déterminés par la même méthode (mêmes auteurs et Vîjdea, 1968) pour les minéraux de quelques gisements volcanogènes-sédimentaires métamorphisés de la série de Tulgheș (tableau 1), ce qui prouve que toutes ces concentrations se sont formées en même temps, c'est-à-dire pendant le Cambrien inférieur.

**3. Concentrations de Pirlul cu Linia.** Sur le versant droit du ruisseau de Pirlul cu Linia (bifurcation de droite supérieure de la vallée de Bărășău), à approximativement 900 m altitude, se situe quelques travaux miniers (actuellement abandonnés), qui ont poursuit une minéralisation prédominant zincifère (Chelărescu, 1937).

Les roches environnantes sont représentées par schistes séricito-chloriteux-quartzzeux, schistes chloriteux-quartzzeux, porphyroïdes rhyolitiques, métatufs acides et quelques fois lamprophyres.

Des échantillons recueillis ainsi que les descriptions faites par les auteurs (prédécesseurs) il en résulte que la minéralisation est localisée dans des schistes quartzzeux-sériciteux, des porphyroïdes et dans rarement des lamprophyres.

La minéralisation est filonniene, telle qu'elle apparaît clairement dans la galerie de cote no. 2, étant discordante par rapport aux roches environnantes.

La composition minéralogique métallifère est relativement simple, la blende prédominant sur la galène, la pyrite, la chalcopyrite et le proustite qui sont subordonnés. La gangue est représentée par le calcite et subordonné par le quartz. La minéralisation localisée dans les schistes cristallins ressemble jusqu'à l'identité au minéral carbonatique à nids et à filonnetts de blende de Paltin.

La blende constitue des granules, agrégats, plages et filonnetts ; elle est associée avec la gangue de calcite. Ce minéral est souvent diaclasé et bréchifié.

La pyrite est rarement idiomorphe et fréquemment hypidiomorphe ; elle apparaît à l'état de granules et d'aggregats, parfois bréchifiée et cimentée avec la gangue de calcite.



La galène est xénomorphe et apparaît sous forme d'agregats et de filonnets, en association avec la blende, en gangue carbonatique et plus rarement quartzeuse.

La chalcopyrite apparaît sporadiquement soit comme inclusions en blende, soit au contact entre le quartz et la blende.

Le proustite, toujours allotriomorphe, apparaît sous forme de plages et de filonnets associés seulement à la galène.

Le calcite représente fréquemment des masses compactes où apparaissent des nids et des plages de de blende, galène et pyrite, représentant la gangue commune de la concentration de Pirlul cu Linia. Il est à noter que la gangue calcitique est intensément clivée (fait mentionné antérieurement par A. Chelărescu, 1937); de clivages sont fréquemment déformées phénomène rencontré également chez les cristaux calcitiques des filonnets qui traversent le minérai, ce qui révèle une cristallisation sous stress de tout le minérai, à cause du calcite qui est le plus jeune de tous les autres minéraux présents dans la gangue. La genèse de la minéralisation de Pirlul cu Linia a été considérée par les prédecesseurs comme postmétamorphique, vu la présence de la blende et du calcite dans la zone d'intersection d'un filon de lamprophyre avec la zone minéralisée : par conséquent, cette zone est considérée liée aux lamprophyres et située dans une phase hydrothermale-postmétamorphique.

Quand on parle de la genèse de la minéralisation, il faut tenir compte des arguments suivants :

a) dans le voisinage, à Paltin et à Singeroasa apparaît une minéralisation hydrothermale métamorphisée régional, représentée souvent par des remplissages filonniens carbonatiques associés aux nids de blende (la même situation est rencontrée à Pirlul cu Linia);

b) l'apparition sporadique de la minéralisation dans les roches lamprophyriques et la dépendance qualitative de celle-ci en fonction des minéralisations traversées par des lamprophyres ; ainsi, au ruisseau de Baia Mică (à l'ouest de Tulgheș), le minérai étant pyriteaux (de nature volcanogène-sédimentaire), dans le lamprophyre qui le traverse la pyrite prédomine, tandis qu'à Pirlul cu Linia prédominent la blende et le calcite, comme dans la minéralisation localisée dans les schistes cristallins (traversée par le corps éruptif) ;

c) la bréchification fréquente de la pyrite, parfois de la blende, la déformation des clivages du calcite sont des arguments en faveur de la concentration primaire des roches métamorphiques qui a subi ultérieurement à cause de la formation et de la pression tectonique.

En conclusion, nous considérons qu'à Pirlul cu Linia les situations où apparaissent des traces de minéralisations (un peu de blende et de calcite) dans les roches lamprophyriques, sont dues à la contamination des magmes d'où se sont formées ces roches, en temps qu'elles traversaient une minéralisation hydrothermale métamorphisée. Il s'agit donc d'une régénération post-métamorphique, d'une concentration métamorphique d'âge cambrien inférieur.

Tenant compte que les roches lamprophyriques sont non métamorphisées et que dans les Carpates Orientales elles traversent les formations du Carbonifère inférieur métamorphisées régional (série de Tibău, Iliescu, Kräutner, 1975), la formation des brèches de Hăghimăș (Permien supérieur, Mureșan, 1970; Iliescu, Mureșan, 1972 b) et le système de nappes mésocrétacées des Carpates Orientales (se trouvant tant dans la série de Tulgheș, des nappes de Putna et de Mestecăniș que dans la série de Bretila-Rarău, de la nappe de Rarău, (I. Bercia et al., 1971, op. cit., point 23), on arrive à la conclusion que les roches lamprophyriques sont d'âge mésozoïque (post-crétacées inférieures), pas possibles d'être plus récentes, puisqu'elles ne présentent aucune contingence pétrologique avec le nouvel éruptif de la chaîne volcanique de Harghita-Călimani. Donc, les phénomènes complexes physico-chimiques de régénération de quelques anciennes minéralisations (prémésozoïques) de la zone de Tulgheș doivent être attribués à un intervalle mésozoïque.

Chelărescu (1937) a présenté des successions de formations des minéraux métallifères et de gangue, rencontrées dans des concentrations du type de Paltin. Vu que ces minéralisations sont pré-métamorphiques, il en résulte que durant le métamorphisme régional simultanément à celui de la série de Tulgheș, la recristallisation du minérai a déterminé le changement des rapports spatiaux entre les minéraux métalliques et de gangue, particulièrement en fonction des propriétés physiques de ceux-ci ; en effet, les relations actuelles d'entre les minéraux correspondent en ensemble à la succession de minéraux „mous” — minéraux „durs” (Rămdor, 1960) : pyrite, blende, galène, pustite, tétraédrine, chalcopyrite ; notons l'existence des „gouttes” et des inclusions de chalcopyrite en blende, qui suggère soit des exsolutions primaires (pré-



métamorphiques) soit l'exsolution de ces deux minérais pendant le métamorphisme régional. On peut noter encore l'existence des mobilisations strictement locales de la pyrite, sous forme de filonets qui traversent la blende.

En conclusion, les relations présentes entre les minérais ne renseignent pas sur la succession initiale de formation de ceux-ci, mais seulement sur leur comportement au cours du métamorphisme régional, résultant une succession idioblastique.

### B) Caractères géochimiques

Nous disposons de 33 analyses chimiques partielles, concernant les minéralisations du type de Paltin (tableau 2) qui montrent que ces minéralisations tiennent des contenus en Pb et Zn et quelquefois des teneurs de S, Fe, Cu, Ag et Au. Dans les cas où le soufre a été dosé on a pu calculer le fer normatif, tenant compte que ce dernier ne provient pratiquement de la pyrite; quand la fer est connu et le soufre non dosé, le dernier a pu être calculé du point de vue normatif, en sachant qu'il est lié principalement en blende, galène et pyrite. Dans quelques analyses, où le soufre dosé du point de vue analytique était au-dessous de la valeur du soufre contenu en blende et galène normative, nous avons considéré que la pyrite est absente et donc, la teneur de fer est nulle; dans ces situations, le soufre a été remplacé par la quantité de soufre liée normatif au plomb et au zinc analitiques (c'est le cas des analyses 58M, 59M, 29M, 141H).

Le soufre (0,61—29,95 %) est le deuxième élément prépondérant dans le minéral, la première place revenant au zinc. Il provient généralement de la blende, galène et pyrite, est totalement subordonné de chalcopyrite et prustite.

Le zinc (0,28—45,23 %) représente le métal coloré principal du minéral et provient exclusivement de la blende, étant présent dans tous les échantillons recueillis.

Le plomb (à partir de traces jusqu'à 30,50 % et exceptionnellement arrivant à 49,12 % et 76,70 %) apparaît dans tous les échantillons étudiés en quantités variables et dans la majorité des cas subordonné au zinc; cet élément a comme source exclusive la galène.

Le fer (0,00—16,20 %) a été mis en évidence dans quelques échantillons où apparaissent la pyrite à côté des autres sulfures. Une partie insignifiante du fer provient de la chalcopyrite, sporadique elle-même en minéral.

Le cuivre (0,00—0,33 %) peut être considéré presque comme un élément mineur dans le minéral, provenant des quantités bien réduites de chalcopyrite et tétraédrite (qui participent à la composition de ce minéral).

L'argent et l'arsenic (en quantités de l'ordre p.p.m.) représentent des éléments à participation extrêmement réduite et proviennent du proustite, l'arsenic provenant également du tétraédrite. Le nombre assez petit des échantillons ne nous a pas permis d'observer quelle est la relation de ces deux éléments avec le plomb, respectivement d'observer si la galène et le prustite varient dans le même sens ou non; notons que dans les échantillons 1B et 147H le contenu en Pb (76,70 % et respectivement 49,12 %) et les contenus en Ag et As (3560—726,2 p.p.m. Ag et 825—168 p.p.m. As) sont des exceptions.

Prenant comme point de départ la composition minéralogique modale du minéral du type de Paltin, nous avons calculé du point de vue normatif les principaux minéraux métallifères de ce minéral (tableau 3). Il en résulte que (aussi bien que de l'analyse macro- et microscopique du minéral) la blende, galène et pyrite sont prédominantes dans le minéral, la première phase revenant à la blende.

Le diagramme pyrite-blende-galène (fig. 3) dévoile, pour les cas considérés, une tendance de prédominance de la blende et de la pyrite envers la galène, fait qui ne peut pas être toutefois généralisé, tenant compte du nombre relativement petit des échantillons analysés du point de vue chimique et du fait que, les sortes de minéraux où la galène est prédominante ont été analysé du point de vue chimique dans une petite mesure.

Le diagramme reste (en principal pyrite et gangue)-galène-blende (fig. 4) met en relief la richesse en blende et souvent en galène de quelques sortes de minéraux et les contenus réduits de ces deux minéraux.

### C) Cadre métallogénétique

Les concentrations hydrothermales du type de Paltin se localisent dans la plupart des cas, dans des corps de roches porphyroïdes qui représentent des produits acides (rhyolites et dacites) du magmatisme de géosynclinal, synchrones aux formations terrigènes et tuffogènes de la série

de Tulgheș ; dans d'autres cas, les minéralisations du type de Paltin se trouvent également au dehors des porphyroïdes aux environs de celles-ci. Ces situations, corrélées au fait que les porphyroïdes présentent des transformations endométamorphiques et hydrothermales proprement dites, révèlant l'existence d'une filiation génétique entre le magmatisme qui a donné naissance aux produits acides de la série de Tulgheș et des concentrations métallifères du type de Paltin. Nous regardons cette filiation comme :

a) formation des corps acides suivie de leur autométamorphisme (spécialement l'albitisation du feldspath potassique) ;

b) ascension des solutions hydrothermales, comme d'habitude, sur les mêmes voies tout comme les magmas acides ;

c) dépôt des minéraux, de ces solutions, sur les fissures des roches acides ou dans le complexe volcanogène-sédimentaire des environs de celles-ci. Simultanément à la mise en place de la minéralisation a eu lieu l'hydrothermalisation des roches hôtes, aux environs des remplissages filonniens ; les transformations de ce genre présentent un développement plus réduit par comparaison à celles du type autométamorphique qui dépassent comme superficie l'aire à minéralisations (dans les Carpates Orientales), les albitisations premétamorphiques des feldspaths potassiques — par exemple — se rencontrent dans bien des corps de porphyroïdes qui n'hébergent pas des concentrations métallifères.

Partant, les minéraux du type de Paltin appartiennent à la „province des concentrations associées au magmatisme acide cambrien inférieur de la série de Tulgheș“. Ces accumulations métallifères sont spécifiques à la région de Tulgheș, délimitant ainsi le „district de Tulgheș“ ayant une superficie limitée de quelques dizaines de km<sup>2</sup>, à partir du sud de la vallée de Bistricioara, jusqu'à la vallée de Seaca et la vallée de Muncel (pl. V ).

Dans ce district se distingue le champ de Singeroasa qui englobe les concentrations du ruisseau de Singeroasa, du ruisseau du Făget et du ruisseau de Huian. En outre, toujours dans ce district se trouvent les gisements petits de Paltin, le ruisseau Pîrîul cu Linia et le ruisseau d'Argintăria, aussi bien que les affleurements du nord de Paltin (vallée de Runculești) ; tout cet ensemble nous permet de délimiter le champ métallogénétique de Paltin-Pîrîul cu Linia. Dans le district de Tulgheș ont été inclus les affleurements isolés du ruisseau du Borviz, de la vallée de Bistricioara, du ruisseau de l'Alunului, du ruisseau de Păvăloanei et de la vallée du Muncel.

De l'analyse de la distribution de la fréquence des minéraux métallifères, il en résulte que dans le district de Tulgheș il existe une tendance de zonalité ; dans la partie sud, prédomine la galène (Singeroasa), dans la partie médiane, la blende (Pîrîul cu Linia, Paltin) et dans l'extrême nord-ouest, la pyrite (ruisseau du Muncel) ; ce dernier minéral apparaît, quelquefois en quantités importantes, depuis de la partie médiane du district (voir la description du gisement de Paltin).

L'aire relativement réduite à concentrations plombo-zincifères du type de Paltin dans les Carpates Orientales et la fréquence élevée des dykes et des sills de rhyolites dans la région de Tulgheș nous portent à supposer que dans cette zone, durant la formation des parties supérieures de la série de Tulgheș se trouvait un centre volcanique et métallogénétique important, fait favorisé probablement par l'existence des voies d'accès tant pour des magmas que pour les solutions hydrothermales consanguines et l'éventuel rapprochement de superficie du réservoir magmatique.

Cette existence du centre magmatique et métallogénétique est confirmé également par les nombreux affleurements métallifères de nature volcanogène-sédimentaire disposés en direction NW-SE, parmi lesquels les plus connues sont ceux de Hărălgia, ruisseau d'Azod ruisseau de Baia Mică) et Șumuleu.

Vu que les dykes et les sills de roches acides, auxquels s'associent les minéralisations du type de Paltin, sont localisés dans les formations du complexe supérieur (Tg<sub>3</sub>) de la série de Tulgheș, nous concluons que ces concentrations métallifères sont les plus nouvelles de la série en question. Elles sont plus récentes que les principaux gisements volcanogènes-sédimentaires localisés dans le même complexe (Bălan, Hărălgia, Leșu Ursului, Fundu Moldovei, etc. — Kräutner, 1965; H. Kräutner et al., 1975, op. cit., points 24 et 25; Kräutner, Popa 1973; Mureșan, Mureșan, 1972, 1975, op. cit., point 26) ; les minéraux du type de Paltin se localisent discordant dans les formations de la série de Tulgheș, supérieurs du point de vue stratigraphique à ceux où apparaissent les accumulations volcanogènes-sédimentaires mentionnées. Ainsi, les données recueillies nous montrent que, dans la zone de Hărălgia, les dykes de roches acides (qui se trouvent dans le prolongement de ceux avec les-

quels sont associés, les minéralisations du district de Tulgheş) traversent les minéraux du complexe Tg, où s'intercalent des concentrations de sulfures volcanogènes-sédimentaires, contemporaines à celles des horizons de Bălan et de Fundu Moldovei.

Les concentrations analysées se sont formées au cours de la phase métallogénétique „Paltin” subséquente à la phase „Fundu Moldovei” (durant laquelle se sont formées les minéralisations volcanogènes-sédimentaires de Hărălgia (pl. V — Georgea Mureşan, M. Mureşan, 1976).

Si on accepte qu'au moins une partie des gisements volcanogènes-sédimentaires de sulfures des horizons mentionnés se lient génétiquement au même magmatisme acide est responsable de la formation des minéralisations hydrothermales du type de Paltin, il faut admettre que dans ce cas, le chimisme des solutions hydrothermales qui ont engendré les deux types de gisements, a varié en temps à partir d'une chimisme prédominant cuprifère à un chimisme prédominant plombo-zincifère.



## PLANSĂ I



Institutul Geologic al României

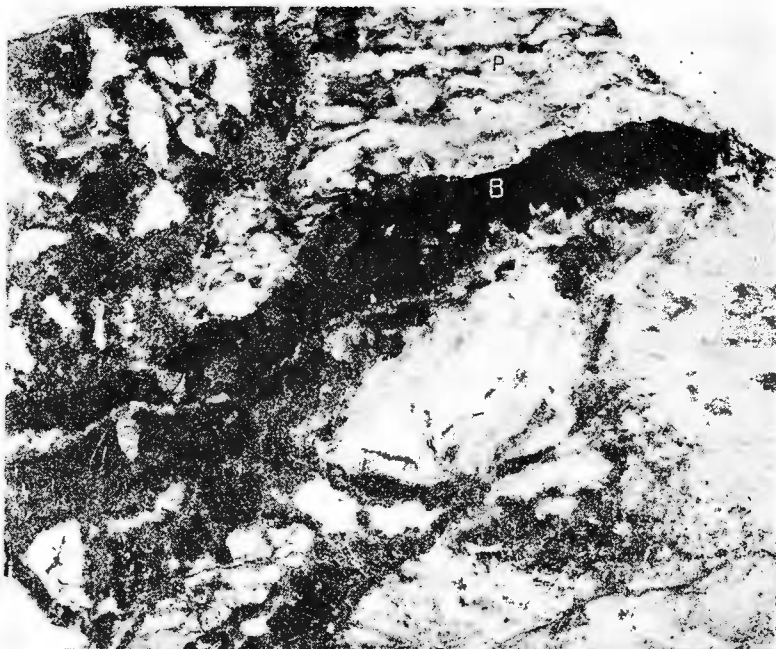
## PLANŞA I

- Fig. 1. — Filon de blendă (B-negru, cenușiu) în porfiroid riolitic (P), silicificat **premetamorfic**.  
Paltin. Suprafață lustruită; 2x.  
Filon de blonde (B-noir, gris) en porphyroïde ryolitique (P), silicifié pré métamorphique. Paltin. Surface polie; 2x.
- Fig. 2. — Filon de galenă (G-negru și cenușiu închis) în porfiroid riolitic (P) cu circulații de  
cuarț (Q-alb) hidrotermal premetamorfic. Paltin. Suprafață lustruită; 3x.  
Filon de galène (G-noir et gris foncé) en porphyroïde ryolitique (P) à circulations  
de quartz (Q-blanc) hydrothermal pré métamorphique. Paltin, Surface polie; 3x.

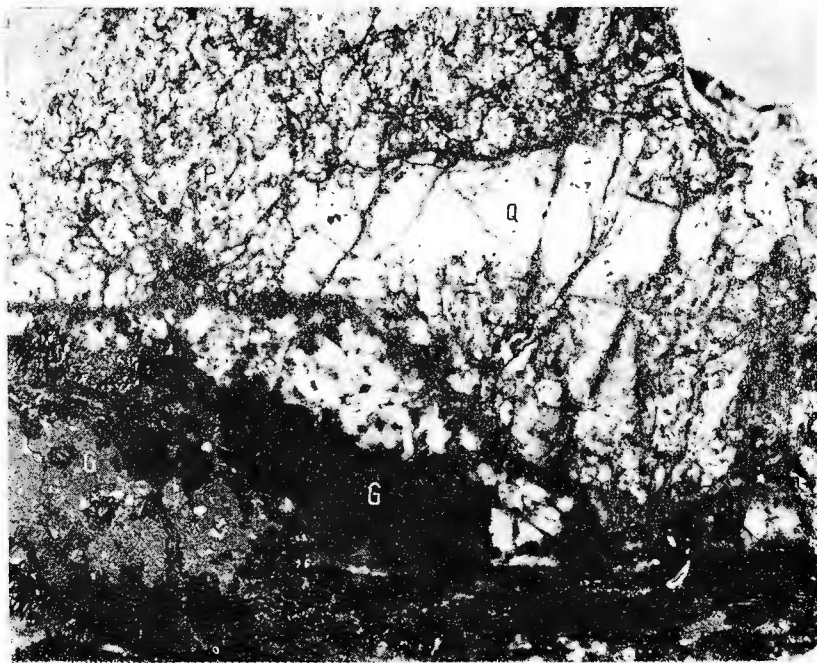


Institutul Geologic al României

M. MUREŞAN, GEORGETA MUREŞAN. Concentraţiile hidrotermale metamorfozate de la Paltin-Singeroasa. Pl. I.



1



2

Studii tehnice și economice, seria A, nr. 12.



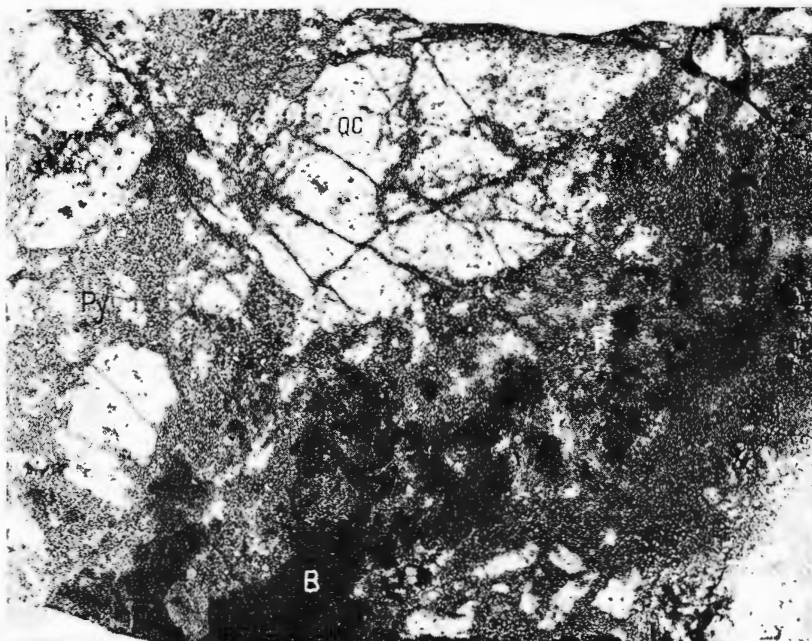
Institutul Geologic al României

## PLANŞA II

- Fig. 1. — Blendă (B-negru) asociată cu pirită (Py-cenușiu) fin granulară și cu gangă de cuarț și calcit (QC-alb). Paltin. Suprafață lustruită ; 2,5x.  
Blende (B-noir) associée à pyrite (Py-gris) finement granulaire et à gangue du quartz et calcite (QC-blanc). Paltin. Surface polie. 2,5x.
- Fig. 2. — Microcăută în galenă șistoasă. Paltin. Suprafață lustruită ; 1,5x.  
Micropoli en galène schisteuse. Paltin. Surface polie ; 1,5x.



M. MUREŞAN, GEORGETA MUREŞAN. Concentrațiile hidrotermale metamorfozate de la Paltin-Singeroasa. Pl. II.



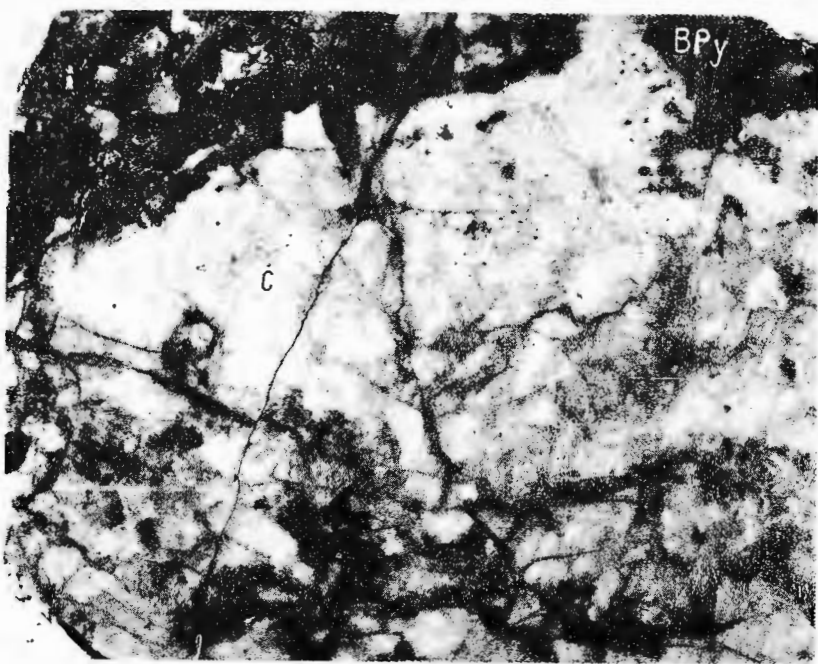
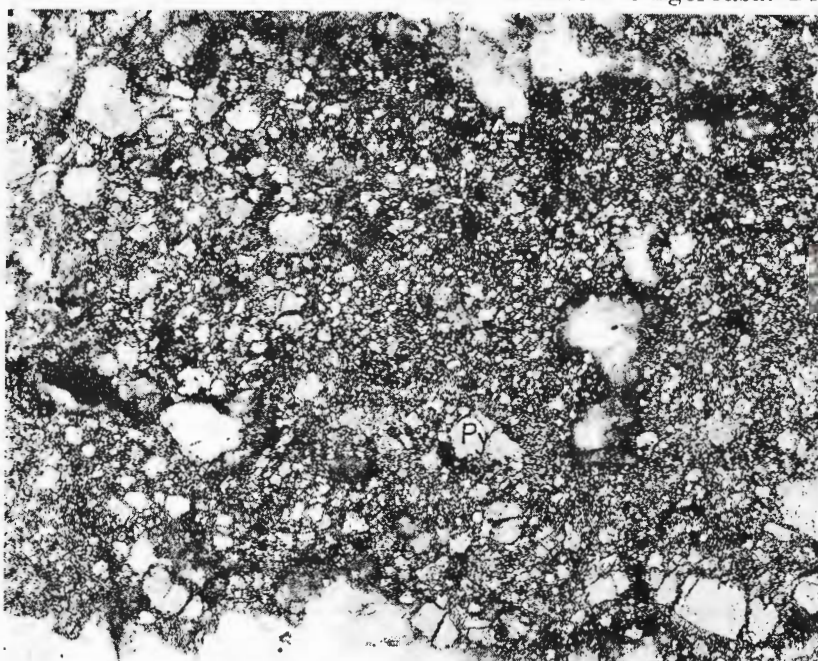
### PLANŞA III

Fig. 1. — Minereu pirolos în care se observă porfiroblaste mari de pirită (Py-alb-cenușiu) dezvoltate într-o matrice fin granulară pirotoasă. Paltin. Suprafață lustruită ; 2,5 x. Minérai pyriteux où on observe des porphyroblastes grandes de pyrite (Py-blanc-gris) développées dans une matrice finement granulaire pyriteuse. Paltin. Surface polie ; 2,5x.

Fig. 2. — Blendă și pirită (BPy-negru) asociată cu gangă de calcit (C-alb). Paltin. Suprafață lustruită ; 2x.  
Blende et pyrite (BPy-noir) associée à gangue de calcite (C-blanc). Paltin. Surface polie ; 2x.



M. MUREŞAN, GEORGETA MUREŞAN. Concentraţiile hidrotermale metamorfozate de la Paltin-Sîngeroasa. Pl. III.



Studii tehnice și economice, seria A, nr. 12.

## PLANŞA IV

Fig. 1. — Galenă (G-cenușiu) cu șistozitate metamorfică (St) care tinde să muleze ganga de quarț și calcit (QC-alb), în care apare pirită (Py) fin granulară. Singeroasa. Suprafață lustruită ; 2x.

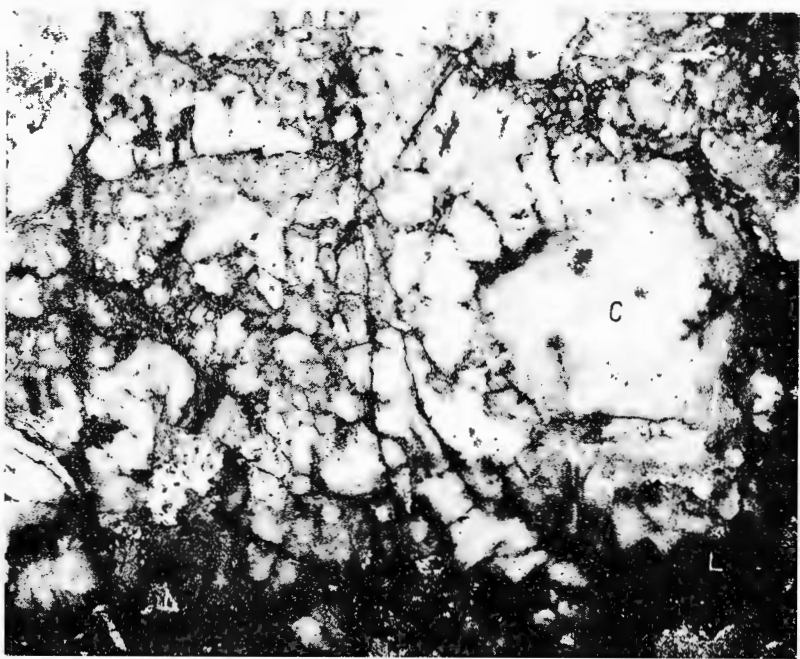
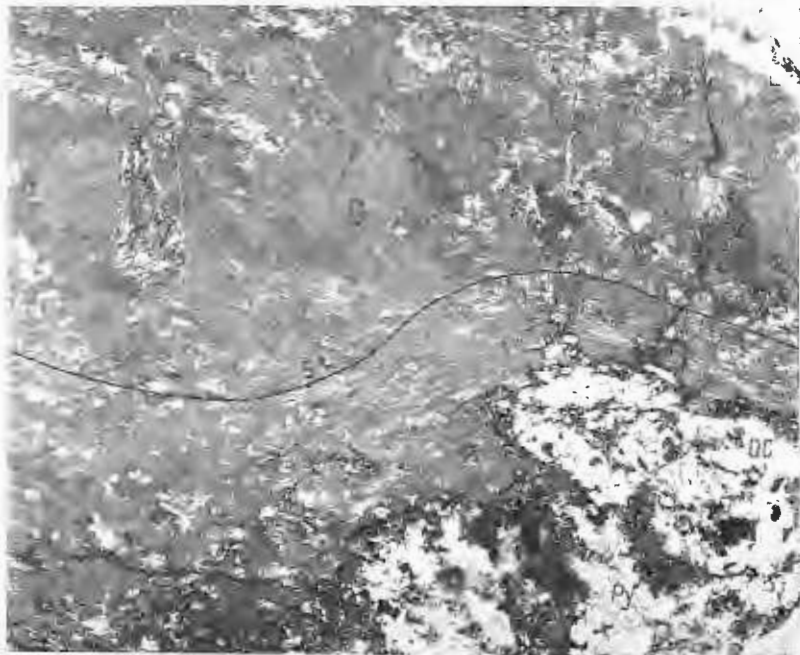
Galène (G-gris) à schistosité métamorphique (St) qui tend à mouler la gangue de quartz et calcite (QC-blanc), où apparaît la pyrite (P) finement granulaire. Singeroasa. Surface polie ; 2x.

Fig. 2. — Gangă brecioasă metamorfozată constituită din fragmente de calcit (C-alb), cimentate cu calcit ; zonele limonitizate (L-negru) provin din oxidarea supergenă a cristalelor fine de pirită. Singeroasa. Suprafață lustruită ; 2x.

Gangue brécheuse métamorphisée constituée de fragments de calcite (C-blanc), cimentés au calcite ; les zones limonitisées (L-noir) proviennent de l'oxydation supergénè des cristaux fins de pyrite. Singeroasa. Surface polie ; 2x.



M. MUREŞAN, GEORGETA MUREŞAN. Concentraţiile hidrotermale metamorfozate de la Paltin-Singeroasa. Pl. IV.



2

Studii tehnice și economice, seria A, nr. 12.

## PLANCHE V

Carte métallogénétique de la zone de Tulgheș

### I. Éléments géologiques :

1, Quaternaire ; A, nappe de Rarău ; 2, Trias-Crétace inférieur ; 3, série de Bretila-Rarău (Précambrien supérieur A), granitoïdes de Hăgħimaş (Précambrien supérieur A), formation des brèches de Hăgħimaş (Permien supérieur) ; B, nappes de Mestecăniș et de Putna non-séparées : 4, série de Tulgheș (Cambrien inférieur) ; C, nappe de Rodna : 5, série de Rebra-Barnar (Infra-cambrien).

### II. Éléments métallogénétiques :

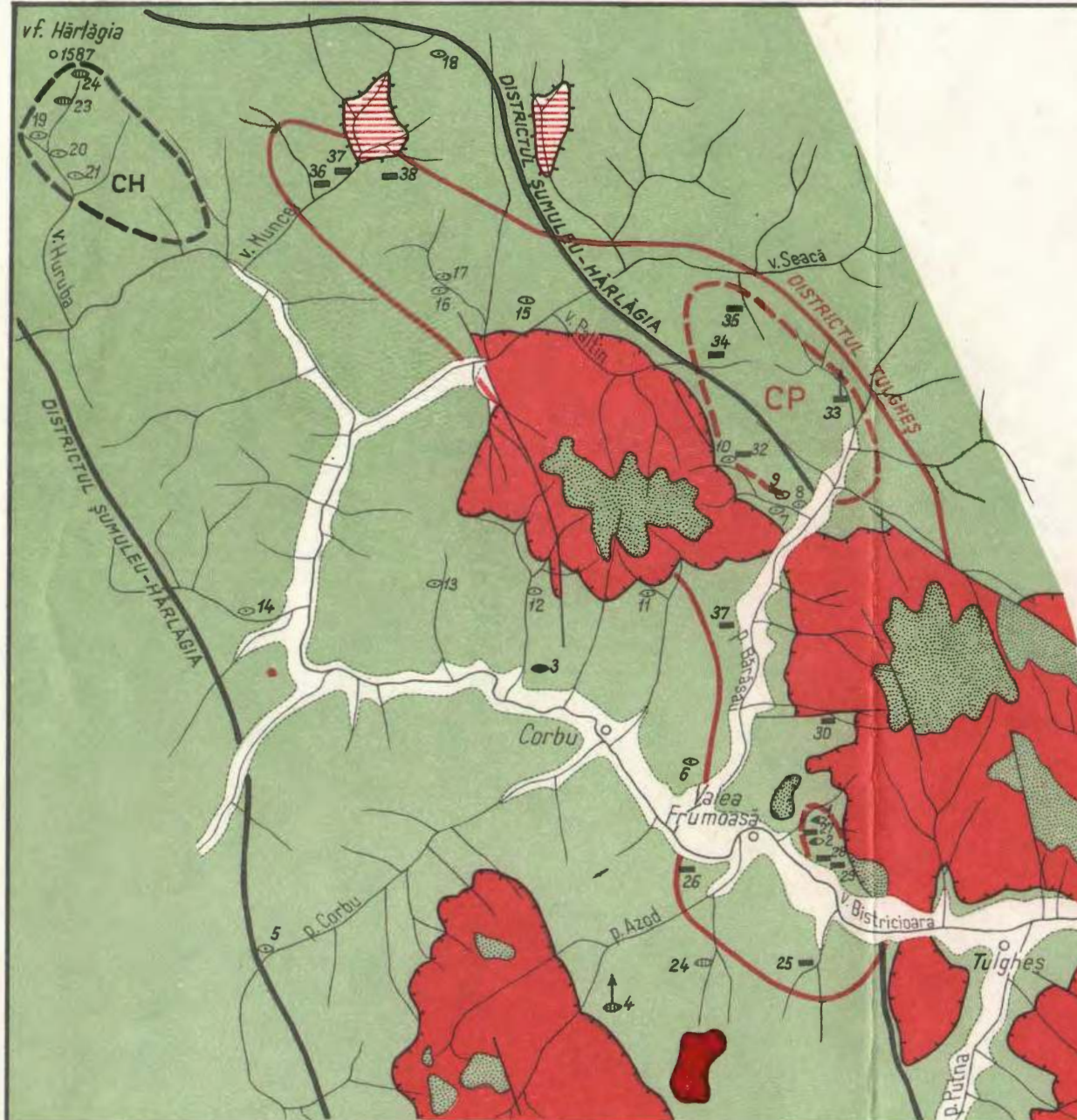
A. concentrations métallifères associées au magmatisme initial (prémétamorphique) cambrien inférieur (métamorphisme régional intracambrien dans le faciès des schistes verts-zone à chlorite) : 6, minéralisations hydrothermales de sulfures de Zn, Pb (Fe, Cu) ; 7, minéralisation volcanogènes-sédimentaires de sulfures de Fe, Cu (Pb, Zn) (a, prédominant compactes; b, prédominant disséminées) ; 8, minéralisations volcanogènes-sédimentaires d'oxydes de Fe (silicates de Fe) ; 9, minéralisations volcanogènes-sédimentaires de carbonats et silicates de Mn ; 10, régénération partielle post-carbonifère inférieure (mésozoïque?) liée aux lamprophyres. B, unités métallogénétiques : 11, district (a) et champ (b) pour les concentrations hydrothermales métamorphisées de sulfures de Pb et Zn (Fe, Cu) ; 12, district (a) et champ (b) pour les concentrations volcanogènes-sédimentaires métamorphisées de sulfures de Fe, Cu (Pb, Zn) ; CH = = champ de Hărălgia ; CP = champ de Paltin ; CS = champ de Singeroasa.

C, liste des points à minéralisations :

Concentrations volcanogènes-sédimentaires métamorphisées cambriennes inférieures : oxydes de Fe, Mn (1, ruisseau de Huian ; 2, Jghiabul lui Mihai) ; carbonats et silicates de Mn (3, Corbu) ; sulfures de Fe, Cu  $\pm$  Zn  $\pm$  Pb (4, ruisseau de Baia Mică ; 5 ruisseau de Gorbu ; 6, Corbu ; 7, 8, 9, 10, ruisseau d'Argintăria ; 11, ruisseau d'Argintăria-Bălătău ; 12, ruisseau de Sobul ; 13, ruisseau de Zlamenul ; 14, ruisseau de Ciungilor ; 15, vallée de Seaca-Piatra Arsă ; 16, 17 ruisseau de Tibleşul ; 18, ruisseau du Muncel ; 19, 20, 21, ruisseau de Huruba ; 22, 23, ruisseau de Hărălgia ; 24, ruisseau de Tisa-Azod).

Concentrations hydrothermales métamorphisées cambriennes inférieures : sulfures de Zn,  $Pt \pm Fe \pm Cu$  (25, Borviz-Singeroasa ; 26, vallée de Bistricioara-Corbu ; 27, ruisseau de Huian ; ruisseau de Făgetului-Piatra lui Constantin ; 29, ruisseau de Singeroasa ; 30, ruisseau d'Alunului-Bărăsău ; 31, ruisseau de Păvăloanei-Bărăsău ; 32, ruisseau d'Argintăria-Bărăsău ; 33, Pirul cu Linia-Bărăsău ; 34, ruisseau de Paltin ; 35, vallée de Runculeşti ; 36, 37, 38, ruisseau du Muncel.





## LEGENDA

## I ELEMENTE GEOLOGICE

- 1 Cuaternar
- A. Pînza de Rarău
- 2 Triasic-Cretacic inferior
- 3 Seria de Bretila-Rarău (Precambrian sup. A), granitoidele de Hăghimăș (Precambrian sup. A), formațiunea breciilor de Hăghimăș (Permian superior)
- B. Pînza de Mestecăniș și pînza de Putna neseparete
- 4 Seria de Tulgheș (Cambrian inferior)
- C. Pînza de Rodna
- 5 Seria de Rebra-Barnar (Infracambrian)

# M. MUREŞAN, GEORGETA MUREŞAN

## HARTA METALOGENETICĂ A ZONEI TULGHEŞ

0 1 2 3 4 Km



Metamorfism intra-cambrian în faciesul de sîsturi verzi (zonă cu clorit)

## II ELEMENTE METALOGENETICE

## A. Concentrații metalifere asociate magmatismului initial (premetamorfic) cambrian inferior

- 6 Mineralizații hidrotermale de sulfuri de Zn, Pb(Fe, Cu)
  - 7 Mineralizații vulcanogen-sedimentare de sulfuri de Fe, Cu(Pb, Zn)
    - a predominant compacte
    - b predominant diseminat
  - 8 Mineralizații vulcanogen-sedimentare de oxizi de Fe (silicati de Fe)
  - 9 Mineralizații vulcanogen-sedimentare de carbonati și silicati de Mn
- Regenerare parțială post-carbonifer inferioară (mezozoică?) legată de lamprofire

## B. Unități metalogenetice

11 a District (a) și cîmp(b) pentru concentrații hidrotermale  
b metamorfozate de sulfuri de Pb și Zn(Fe, Cu)

12 a District (a) și cîmp(b) pentru concentrații vulcanogen-sedimentare metamorfozate de sulfuri de Fe, Cu(Pb, Zn)

CH=cîmpul Hărălgia; CP=cîmpul Paltin; CS=cîmpul Singeroasa

## C. Lista punctelor cu mineralizații

1, pîrîul Huian; 2, Jghiabul lui Mihai

3, Corbu

Concentrații vulcanogen-sedimentare metamorfozate cambrian inferioare

Concentrații hidrotermale metamorfozate cambrian inferioare

4, pîrîul Băii Mici; 5, pîrîul Corbu; 6, Corbu; 7, 8, 9, 10, pîrîul Argintăriei; 11, pîrîul Zlămeni; 12, pîrîul Săbul; 13, pîrîul Ciungilor; 15, valea Seacă (Piatra Arșă); 16, 17, pîrîul Tiblesul; 18, pîrîul Muncelului; 19, 20, 21, pîrîul Huruba; 22, 23, pîrîul Hărălgia; 24, pîrîul Tisa (Azod)

25, pîrîul Borviz (Singeroasa); 26, valea Bistrițioara (Corbu); 27, pîrîul Huian; 28, pîrîul Făgetul (Piatra lui Constantin); 29, pîrîul Singeroasa; 30, pîrîul Alunului (Bărăsău); 31, pîrîul Păvăloanei (Bărăsău); 32, pîrîul Argintăria (Bărăsău); 33, Pîrîul cu Linia (Bărăsău); 34, pîrîul Paltin; 35, 36, valea Runculești; 37, 38, pîrîul Muncelului

Oxizi de Fe  
Carbonati și silicati de Mn

Sulfuri de Fe, Cu(Zn, Pb)

Sulfuri de Zn, Pb(Fe, Cu)

# CONSIDERATII GEOLOGICE ASUPRA CRITERIILOR DE PROGNOZĂ PENTRU CONTURAREA DE ZĂCĂMINTE DE CĂRBUNI SUPERIORI COCSIFICABILI ÎN BANAT-CARPAȚII MERIDIONALI<sup>1</sup>

DE

ALEXANDRU STILLĂ<sup>2</sup>

## Abstract

Geological Considerations on the Prognosis Criteria for the Outlining of Deposits of Coking Superior Coals in Banat-South Carpathians. Depending on the similitude of the geological constitution of the areas with deposits known so far and other ones on the structure, as well as the occurrences of coals, long-term areals can be outlined. Within these areals the geological survey by mining works and drillings has increased chances to identify new deposits of coking superior coals.

Pentru alegerea criteriilor de prognoză în ceea ce privește perspectivele de depistare de noi zăcăminte de huilă cocsificabilă în Banat, discuția trebuie purtată plecind de la ansamblul structural în care se încadrează zăcămintele deja cunoscute și aflate în exploatare.

Funcție de similitudinea constituției geologice dintre sectoarele cu zăcăminte cunoscute și altele din ansamblul structural și de ivirile de cărbuni depistate se pot contura areale de perspectivă în care investigația geologică prin foraje și lucrări miniere are șanse sporite să identifice noi zăcăminte de cărbuni superiori cocsificabili.

Acumularea de cărbuni formind zăcăminte interesante economic se petrece în două dintre momentele de evoluție geosinclinală. Este vorba, pe de o parte, de formațiuni cu cărbuni acumulate în momentul inițial de schițare a foselor domeniului geosinclinal și, pe de altă parte, de depozite carbonifere formate în depresiunile postgeosinclinale, tardigeosincline de tip molasă.

<sup>1</sup> Predată la 21 noiembrie 1974, acceptată pentru publicare la 14 aprilie 1975, comunicată în ședința din 6 mai 1975.

<sup>2</sup> Întreprinderea geologică de prospecții pentru substanțe minerale solide, str. Caransebeș nr. 1, București 32.



Cărbunii din depresiunile tardigeosinclinale reprezintă acumulații de tip platformă, depuși în condiții limnice, în timp ce cărbunii din formațiunile de debut ale unui ciclu geosinclinal sunt formați paralici, în zonele litorale ale bazinului de sedimentare. Funcție de condițiile genetice în care s-au acumulat, zăcămintele de cărbuni au extinderi areale variabile. Astfel, cărbunii limnici depuși în depresiunile postparoxismale au, de obicei, dezvoltări areale relativ reduse decurgînd din extinderea bazinului de acumulare, în timp ce cărbunii paralici, de geosinclinal, își înscrui teritoriile largi de dezvoltare.

În România, zăcămintele de cărbuni superioiri cocsificabili cunoscute aparțin atât tipului de geosinclinal (de exemplu : cărbunii din Liasic, termenul de debut al ciclului geosinclinal alpin) cât și tipului de depresiune postparoxismală (de exemplu cărbunii din bazinele Petroșani, Hășeg, Caransebeș, etc. — bazine tardigeosinclinale alpine cu depozite de molasă). Dintre aceste zăcăminte atenția noastră s-a îndreptat îndeosebi spre cele de tip geosinclinal, liasice, din Banat unde exploatari carbonifere se întreprind de aproape două secole atât în zona sedimentară danubiană Sirinia (Stillă et al. 1971<sup>3</sup>), cât și în zona getică Reșița (Stillă et al. 1973<sup>4</sup>).

În zona sedimentară Sirinia, în care se plasează zăcămintul cu cărbuni liasici de la Cozla sintem în prezență unor cărbuni acumulați în condiții paralice, cu extindere teritorială apreciabilă. La nivelul Liasicului se definesc trei litofaciesuri distințe, generate prin poziția diverselor sectoare față de ansamblul zonei sedimentare. Se deosebesc trei tipuri de facies.

Faciesul grezos, grosier detritic, nedivizabil, acumulat în teritorii marginale, în regim torențial ;

Faciesul grezos-argilos, din sectoarele mediane ale bazinului de sedimentare cuprinde un complex inferior, lagunar, predominant detritic în care, spre partea superioară sunt cantonate stratele de cărbune, un complex mediu și altul superior, cu marne și sisturi argiloase — marnoase și calcaroase, organogene, respectiv gresii cuarțitice, fine, dure ;

Faciesul grezos-calcaros, ocupînd sectorul central, de profunzime maximă a bazinului liasic de sedimentare, cuprinde depozite tipic marine încă din partea sa inferioară.

Pe ansamblul zonei sedimentare Reșița, în mijlocul cărei este amplasat zăcămintul cu cărbuni paralici de la Anina-Steierdorf, cercetările au identificat, de asemenea la nivelul Liasicului, un facies grosier, marginal torențial, fără cărbuni și un altul intern cu cărbuni (Năstaseanu et al., 1974)<sup>5</sup>, probabil un echivalent al faciesului median liasic din zona Sirinia, cu formațiuni lagunare (gresii, sisturi cărbunoase, cărbuni, argile refractare, sisturi bituminoase) în partea inferioară-medie și depozite marine la partea superioară. Este posibil ca echivalentul faciesului central, în totalitate marin din zona Sirinia, să fie dezvoltat, pentru zona Reșița, în arealele sale de extremitate sudică, în afara teritoriului României.

<sup>3</sup>, <sup>4</sup>, <sup>5</sup> Arh. M.M.P.G., București.

Caracterul de extindere areală regională a faciesului cu cărbuni se verifică pentru formațiunile liasice, geosinclinale din zonele Sirinia și Reșița în cuprinsul cărora sănt dezvoltate zăcăminte de la Cozla și Anina.

În zona Sirinia, indicațiile despre prezența faciesului cu cărbuni sănt reprezentate prin aflorimente și urme de vechi încercări miniere. Pe întreaga suprafață de dezvoltare a faciesului median, grezos-argilos cu cărbuni, sănt numeroase indicații despre prezența cărbunilor. Astfel de indicații se inventariază în afara de Cozla, la Camenita, Polesnic, Dragosela, Buschman-Pietrele Albe, Velica Cîrșa, valea Chiacovațului, valea Rudăria, Crivi Berzasca, Fîntîna lui Dănuț, creasta Pregheda, etc. Același caracter de dezvoltare regională a faciesului cu cărbuni este argumentată, pentru zona Reșița, de prezența cărbunilor de la Anina-Steierdorf, Doman, Secul și de indicațiile despre prezența lor la Predilcova, Beul Sec, Fagul Împreunat, Padina Matei, valea Runcia, Prolaz, Tămașa, etc.

Gradul de incarbonizare și calitatea cărbunilor superiori sănt legate de vîrstă formațiunilor în care sănt cantonati și, nu într-o mică măsură de intensitatea fenomenelor tectonice care i-au afectat. Ca o ilustrare a acestei afirmații observăm că pentru cărbunii liasici din zona Sirinia se constată, funcție de poziția lor în cadrul ansamblului zonei de sedimentare și, implicit, funcție de gradul în care au fost afectați de fenomenele tectonice, proprietățile diferite de cocsificare. Astfel, cărbunii din zăcăminte de pe flancurile normale ale structurilor (Buschman-Pietrele Albe, Fîntîna lui Dănuț) cocsifică slab sau de loc, în timp ce zăcăminte situate în imediata apropiere a unor importante rupturi tectonice, suferind din cauza acestora intense solicitări (cărbunii din zăcăminte Cozla, Camenita), se prezintă cu calități de cocsificare foarte bune, chiar excesive.

La Cozla, zăcămîntul de cărbuni superiori cocsificabili este cantonat într-un sinclinal încălecat dinspre vest de șisturi cristaline, în umplutura căruia cele mai noi depozite sănt cele ale flișului cretacic superior. Datorită solicitărilor impuse de apropierea dinspre vest a frontului getic, de-a lungul căruia masele getice au șariat peste domeniul danubian, formațiunile alcătuind sinclinalul Cozla au fost intens solzate, deversate și lamineate. Structura sectorului este, în plus, complicată de falii transversale delimitînd mai multe blocuri. În sectorul Cozla au fost depistați doi solzi principali, divizați la rîndul lor, în mai multe compartimente. Spre nord, încălecarea șisturilor cristaline dinspre vest peste formațiunile sedimentare ale sinclinalului fiind de mai mare anvergură, acestui fapt alăturîndu-i-se și o ridicare centricinală, longitudinal urmărirea solzilor de la Cozla se face anevoieios.

La Anina-Steierdorf, depozitele liasic-inferioare purtătoare de cărbuni și argile refractare alcătuiesc, alături de celelalte formațiuni ale zonei Reșița, un anticlinal orientat aproximativ nord-sud, cu flancul estic răsturnat, laminat și căzut. Chiar în perimetrul Anina, anticlinalul prezintă o accentuată ridicare axială, în nucleul său aflorind formațiunile permian-inferioare ale molasei hercinice. Spre nord și sud, anticlinalul prezintă plonguri, în axul său apărînd depozite din ce în ce mai noi (jurasic-superioare, cretacic-inferioare). Față de imaginea tectonică oferită de observațiile

de suprafață, structura Anina, și probabil în același fel și celelalte structuri din zonă, se prezintă în adîncime mult mai complexă. Este o evidentă dizarmonie între complexul calcaros al Malmului și Cretacicului inferior, pe de o parte și cel grezos-marnos al Liasicului și Doggerului, pe de alta. Prinse între fundamentul rigid și masa calcaroasă suprajacentă, depozitele liasic-doggeriene, mai plastice, sănătoase, sunt strâns cutate, frecvent solzate, îngroșate sau laminate. Este de presupus că în lungul falilor importante care afectează structurile regiunii, se dezvoltă relee de falii secundare, contribuind, și acestea, la complicarea imaginii structurale, aşa cum aceasta apare în sectoarele în care lucrările miniere oferă un bogat material faptic (partea centrală și nordică a anticlinalului Anina).

Complexele cărbunoase ale Liasicului conținând zăcăminte din zonele Sirinia și Reșița, reprezintă formațiuni de tip geosinclinal. Complexele cărbunoase de tip geosinclinal sunt caracterizate printr-un destul de mare număr de strate de cărbuni. Numărul acestora nu este o constantă, stratele de cărbuni prezintând pe direcție variații faciale spre tipul de șisturi cărbunoase, argile sau gresii argiloase. Frecvențele digitării, laminări sau îngroșări ale stratelor de cărbuni sunt rezultate, primar, din condițiile de acumulare și secundar, din solicitările tectonice pe care le-au suferit.

În cadrul zonei Sirinia se notează pînă la 18 intercalații de cărbuni grupate în cinci pachete (intercalațiile inferioare, stratul I, II, III și intercalațiile superioare) în sectorul Obîrșia Dragosela-Stanca (Biger est), zece strate cu 20 intercalații la Camenița, pînă la 11 intercalații alcătuind un complex bazal și unul superior (format din strat bazal, inferior și superior) la Cozla și cinci strate grupate în complexul I (cu stratele 1 bazal și 2), complexul II (cu stratele lenticulare și intercalații) și stratele superioare necorelabile la Crivi Berzasca-Fîntîna lui Dănuț.

Grosimile stratelor și intercalațiilor de cărbuni variază între maxima înregistrată pentru stratul bazal din complexul superior de la Cozla (6,50 m) și completa dispariție (stratul 1 și 3 din sectorul Obîrșia Dragosela-Stanca).

Cele mai multe strate și intercalații de cărbuni în zăcăminte din zona Reșița sunt la Anina-Steierdorf. Grupate în trei serii cărbunoase (inferioară, intermediară și superioară) se cunosc opt strate de cărbune avînd grosimi variabile (uneori dispărînd și fiind înlocuite cu faciesuri argilo-grezoase : stratul 2 în vestul și sudul zăcămîntului) cuprinse între 0,2 m (stratul 4 în centrul zăcămîntului, stratul 5 în sud și est, stratul 6 în centru) și 3–4 m (stratul 7 pe flancul estic al anticlinalului). La Domani, complexul cărbunos este format din cinci strate (la rîndul lor divizate în două-trei intercalații) dintre care s-au exploatat două (stratele 1 și 2). Informațiile vagi oferite de vechile lucrări miniere pentru investigarea Liasicului cu cărbuni din alte sectoare ale zonei Reșița inventariază uneori pînă la cinci strate de cărbune formate din mai multe intercalații la Beuș Sec, Predilcova, Tămașa, strate încă necorelabile cu grupele de strate de la Anina-Steierdorf.

Pentru complexele cărbunoase ale Liasicului din zonele Sirinia și Reșița se observă gruparea termenilor litologici alcătuiitori în cicloteme cu o succesiune de forma gresii sau conglomerate-argile uneori refractare-cărbuni — sisturi argiloase, nu rare fiind cazurile cînd unul sau altul dintre termenii ciclotemei lipsește.

Trecerea în revistă a unora dintre problemele ridicate de cărbunii superiori cocsificabili din zăcămintele Cozla și Anina-Steierdorf, în special, și din zonele sedimentare Sirinia și Reșița, în general, conduce la conturarea unor concluzii funcție de care se pot stabili criterii de prognoză pentru conturarea de sectoare de perspectivă.

Se remarcă, în primul rînd, faptul că o dezvoltare areală apreciabilă își înscriu faciesurile cărbunoase de tip geosinclinal plasate în poziția termenului de debut al unui ciclu sedimentar. Pe ansamblul bazinelor de sedimentare cu complexe cărbunoase de tip geosinclinal se identifică o dispoziție concentrică a faciesurilor, în care de regulă, faciesul lagunar cu cărbuni se plasează între cel continental-torential exterior și faciesurile marine, centrale.

Depuse într-un număr relativ mare, stratele de cărbuni prezintă pe direcție, deseori, efilări, îngroșări sau digitări. Solicitările tectonice ulterioare acumulării cărbunilor au condus, de asemenea, la efilări sau îngroșări de strate. Se evidențiază, în condițiile dezvoltării Liasic-Doggerului din succesiunile zonelor Reșița și Sirinia, în faciesuri grezo-argiloase și a Malm-Cretacicului inferior în faciesuri predominant calcaroase, o dizarmonie între gradul de cutare și fracturare a termenilor, rezultat al capacitatei lor diferite de competență tectonică.

Depuși inițial cu proprietăți calitative similare, cărbunii din Liasicul zonelor Sirinia și Reșița se prezintă astăzi calitativ diferențiate. Acest fapt se explică prin efectele diagenetice ale fenomenelor tectonice care au afectat, în grad diferit diversele sectoare ale ansamblului bazinelor de sedimentare. Calitățile de cocsificare ale cărbunilor sunt evident legate și de gradul lor de tectonizare, situație ilustrată în cazul zăcămintelor intens afectate (Cozla, Camenița, Anina) care se prezintă cu bune calități de cocsificare față de zăcămintele situate pe flancurile liniștite normale ale structurilor (Crivi Berzasca, Fintina lui Dănuț, Obîrșia Dragosela-Stanca).

În sectoarele de perspectivă conturate ținind seama de criteriile de prognoză desprinse din succinta analiză a situației geologice a zăcămintelor Cozla și Anina, în particular și a zonelor sedimentare Sirinia și Reșița, în general, lucrările de prospecție și explorare au șanse sporite de a identifica zăcăminte exploataabile de cărbuni superiori.

## BIBLIOGRAFIE

- Răileanu G. (1953) Cercetări geologice în regiunea Svinia-Fața Mare. Acad. R.P.R. Bul. St. Geol., V/2, p. 107—248, București.  
 — Grigoraș N., Oncescu N., Pliscă T. (1963) Geologia zăcămintelor de cărbuni cu privire specială asupra teritoriului României. Edit. Tehn., București.

- 
- Năstăseanu S., Boldor C. (1964) Sedimentarul paleozoic și mezozoic al domeniului getic din partea de sud-vest a Carpaților Meridionali. *An. Com. Stat. Geol.*, XXXIV/2 p. 5-58 București.
- 

**CONSIDERATIONS GÉOLOGIQUES CONCERNANT LES  
CRITÈRES À PARTIR DESQUELS ON PEUT PRÉVOIR LA  
PRÉSENCE DE GISEMENTS DE CHARBONS SUPÉRIEURS  
COCKIFIABLES DANS LE BANAT  
(CARPATES MERIDIONALES)**

(Résumé)

---

En fonction de la similitude entre la constitution géologique des secteurs à gisements connus (et autres secteurs de l'ensemble structural) et les affleurements de charbons dépistés on peut escompter faire avec succès des investigations géologiques par des travaux miniers et de forage pour y mettre en évidence de nouveau gisements de charbons supérieurs cockifiables

---



Tehnoredactor și corector : OVIDIU RIFAAT  
Traducători : ADRIANA NASTASE, MONICA TOPOR  
Ilustrația : CONstanțA BURLACU

---

Dat la cules : noiembrie 1976. Bun de tipar : februarie 1977.  
Tiraj : 900 ex. Hirtie scris IA 70×100/56 g. Colt de tipar : 10%.  
Comanda : 522. Pentru bibliotecă indicele de clasificare :  
55 (058).

---

Intreprinderea poligrafică „Informația”.  
Str. Brezoianu 23–25, București–România  
c. 522



Institutul Geologic al României



Institutul Geologic al României

Studiile tehnice și economice, seriiile A—J au apărut  
în decursul timpului în cadrul următoarelor instituții :

Institutul Geologic al României

Comitetul Geologic

Comitetul de Stat al Geologiei

Institutul Geologic

Institutul de Geologie și Geofizică



Institutul Geologic al României



Institutul Geologic al României